

بِسْمِ اللَّهِ الرَّحْمَنِ الرَّحِيمِ



مرکز تحقیقات ساختمان و مسکن



جمهوری اسلامی ایران
وزارت مسکن و شهرسازی

رفتار و طرح لرزه‌ای ساختمان‌های بتن مسلح (جلد اول)

تألیف:

عباسعلی تسنیمی، دانشیار دانشگاه تربیت مدرس

شماره نشر: ک - ۳۴۴

چاپ سوم: ۱۳۸۸

| | |
|---------------------|--|
| سرشناسه | : تسنیمی، عباسعلی |
| عنوان و نام پدیدآور | : رفتار و طرح لرزه‌ای ساختمان‌های بتن مسلح/تالیف عباسعلی تسنیمی |
| مشخصات نشر | : تهران: مرکز تحقیقات ساختمان و مسکن، ۱۳۸۰. |
| مشخصات ظاهری | : ج. مصور، جدول، نمودار. |
| فروست | : مرکز تحقیقات ساختمان و مسکن. نشریه شماره ک-۳۴۴. |
| شابک | : (ج. ۱) 964-7404-30-1 ؛ ج. ۱ (چاپ سوم): 978-964-7404-30-3 |
| وضعیت فهرست‌نویسی | : فیپا |
| یادداشت | : ص. ع. به انگلیسی: A. A. Tasnimi. Seismic behaviour and design of reinforced concrete buildings |
| یادداشت | : ج. ۱ (چاپ سوم: ۱۳۸۷) (فیپا). |
| یادداشت | : عنوان روی جلد: رفتار و طرح لرزه‌ای ساختمان‌های بتن مسلح (آبا+۲۸۰۰) |
| یادداشت | : کتابنامه |
| عنوان روی جلد | : رفتار و طرح لرزه‌ای ساختمان‌های بتن مسلح (آبا+۲۸۰۰) |
| موضوع | : ساختمان‌های بتن مسلح - - طرح و محاسبه |
| موضوع | : بتن مسلح - - طرح و محاسبه |
| شناسه افزوده | : مرکز تحقیقات ساختمان و مسکن |
| شناسه افزوده | : ایران. وزارت مسکن و شهرسازی |
| رده‌بندی کنگره | : TA683/2/ص۷.۷ |
| رده‌بندی دیوبی | : ۶۲۴/۱۸۳۴۱ |
| شماره کتابشناسی ملی | : ۸۸-۱۵۸۳۲ |

مصوبه شماره ۸۷/۵۶۹ چاپ کتاب، شورای علمی انتشارات مرکز تحقیقات ساختمان و مسکن



مرکز تحقیقات ساختمان و مسکن

رفتار و طرح لرزه‌ای ساختمان‌های بتن مسلح (آبا + ۲۸۰۰)

تألیف: دکتر عباسعلی تسنیمی، دانشیار دانشگاه تربیت مدرس

شماره نشر: ک-۳۴۴، چاپ اول: ۱۳۸۰، چاپ دوم: ۱۳۸۴، چاپ سوم: ۱۳۸۸

ناشر: مرکز تحقیقات ساختمان و مسکن

شمارگان: ۵۰۰ نسخه

بها: ۲۲۰۰۰ ریال

حروفچینی و صفحه‌آرایی: سهیلا عسگری

طراحی روی جلد: مؤلف

لیتوگرافی، چاپ و صحافی: مرکز تحقیقات ساختمان و مسکن

مسئولیت صحت دیدگاه‌های علمی بر عهده نگارندگان محترم می‌باشد.

کلیه حقوق چاپ و انتشار اثر به ناشر تعلق دارد.

نشانی: تهران، بزرگراه شیخ فضل ا... نوری، خیابان پاس فرهنگیان، خیابان ارشاد خیابان سوم، صندوق پستی: ۱۳۱۴۵-۱۶۹۶

تلفن: ۸۸۲۵۵۹۴۲-۶، دورنگار: ۸۸۲۵۵۹۴۱

پست الکترونیکی: president@bhrc.ac.ir صفحه الکترونیکی: <http://www.bhrc.ac.ir>

دفتر فروش: تهران، خیابان ولی عصر، میدان ولی عصر، مجتمع اداری - تجاری ولی عصر، واحد ۸۲، تلفن: ۸۸۹۴۰۲۶۰

پیشگفتار

ضرورت کاهش خطرات ناشی از زلزله، مستلزم مطالعه و تحقیق در زمینه‌های بکارگیری ضوابط، مقررات و آیین‌نامه‌های مربوط به ساخت و ساز و آموزش و ترویج صحیح دست‌آوردهای حاصل است.

بر این اساس، مرکز تحقیقات ساختمان و مسکن کتاب حاضر را که حاصل فعالیت‌های علمی و تخصصی و تجارب کسب شده است، تحت عنوان "رفتار و طرح لرزه‌ای ساختمانهای بتن مسلح" منتشر ساخته که خوشبختانه مورد توجه جامعه مهندسی کشور قرار گرفته است. اینک چاپ سوم آن در اختیار جامعه علمی و فنی کشور قرار می‌گیرد و امید است نقش مؤثری در استحکام ساختمان‌های بتن مسلح و کاهش خطرات ناشی از زلزله داشته باشد.

این کتاب که در پنج فصل مجزا مسائل مربوط به روش‌های تحلیل و نکات طراحی لرزه‌ای ساختمانهای بتن مسلح را ارائه می‌دهد، تلاش دارد تا ضوابط مندرج در آیین‌نامه بتن ایران (آبا) را در تلفیق با استاندارد ۲۸۰۰ (آیین‌نامه طراحی ساختمانها در برابر زلزله) به نحوی طراحی نماید که خواننده محترم بتواند به سادگی در فرآیند طراحی از آن بهره گیرد.

همچنین در این کتاب مقایسه‌ای در بکارگیری روابط و مفاهیم آیین‌نامه‌ای بین آبا و آیین‌نامه ACI (امریکا) برای انطباق در روش طراحی ارائه شده است.

سید محمود فاطمی عقدا

رئیس مرکز تحقیقات ساختمان و مسکن

این اثر

شکل‌گیری زیرساختارهای بنیادین هر کشوری بدون تکیه بر منابع علمی و فرهنگی غیرممکن بوده و در صورتی کامل خواهد بود که منابع متناسب با نیازهای آن تأمین شود. در کشور ما که مسیر رشد و توسعه را طی می‌کند، لازمست گامهای پیشرفت سریعتر از کشورهای صنعتی برداشته شود. برای رسیدن به این اهداف توجه به اساتید و نوآوران دلسوز از اهمیت قابل ملاحظه‌ای برخوردار است. با توجه به زلزله‌خیز بودن کشور ما که همه ساله خسارت جانی و مالی زیادی را به همراه دارد، توجه به مهندسی زلزله یکی از ضروری‌ترین امور علمی است که باید بدان پرداخته شود. این اثر در راستای همین هدف و برای طراحی ساختمانهای بتنی تهیه و تنظیم شده است.

مطالب این کتاب حاوی مفاهیم اساسی و مطالب کاربردی در زمینه مهندسی زلزله بوده و در طراحی ساختمانهای بتنی از اهمیت خاصی برخوردار است. در تهیه این اثر توانایی‌های علمی و پژوهشی و تجربیات علمی همکار عزیزمان آقای دکتر عباسعلی تسنیمی بخوبی در هم آمیخته و مجموعه ارزشمندی را بوجود آورده است. این کتاب در سطح کارشناسی یک مرجع کلاسیک مهم بوده و در سطح کارشناسی ارشد می‌تواند برای آموزش و توجه به مبانی مسائل پژوهشی مورد استفاده و استناد قرار گیرد. طراحان و مهندسان شاغل در صنعت ساختمان نیز می‌توانند بخوبی از مفاهیم و روشهای ارائه شده در طراحی و اجرای ساختمانهای بتنی بهره‌برداری کنند.

اثر حاضر بصورت بسیار جذاب تهیه و تدوین شده و با نوآوریهای ارزشمندی توأم است. مطالب این کتاب می‌تواند در پیشرفتهای آتی در مهندسی ساختمان و مهندسی سازه نقش قابل توجهی ایفاء کند. شایسته است از زحمات شبانه‌روزی آقای دکتر عباسعلی تسنیمی در تهیه این کتاب تشکر و قدردانی نموده و برای ایشان موفقیت هر چه بیشتر از درگاه ایزد منان خواهانم.

علی کاوه

استاد دانشگاه علم و صنعت ایران

و مشاور مرکز تحقیقات ساختمان و مسکن

مقدمه مؤلف

کتابی که خواننده گرامی در اختیار دارد، تلاشی است بمنظور ارائه مطالبی که از درآمیختن مباحث نظری و منطبق با رفتار لرزه‌ای اعضا و مجموعه سیستم‌های سازه‌ای، ساختمانهای بتن مسلح با نکات مربوط به فرآیند طراحی، شکل گرفته است. اگر چه در نظر داشتیم تا کتابی که جامع کلیه نکات تحلیل و طراحی، بصورتی که با رجوع به آن چندان نیازی به سایر منابع نباشد، تألیف نمایم و البته اکثر مطالب آن کتاب بصورت دست نوشته‌ها گردآوری و تدوین اولیه دارد، لیکن به دلایل اندک بودن فرصت از یکطرف و دریافت سؤالها و اشکالات مهندسان و طراحان در نقاط مختلف کشور که در دوره‌های آموزشی با آنها مواجه می‌شدم، از طرف دیگر، مطالب را بدین جهت هدایت داد، تا این اثر با همه کاستیهایی که می‌تواند داشته باشد به عنوان جلد اول به زینت طبع آراسته شود و در فرصتی دیگر جلد دوم در اختیار جامعه مهندسی کشور قرار گیرد.

مؤلف با اشتغال چندین ساله از دو جهت تدریس و تحقیق و نیز آشنایی با نیازهای جامعه مهندسی در امر ساخت و ساز و پیامدهای مسئولیت‌هایی که داشته است، این اثر را برای دانشجویان و طراحان تهیه نموده است. در قسمت آغازین کتاب کلیاتی درخصوص زلزله و پیامدهای آن اشاره‌ای مختصر شده است و در فصل اول به خواص مهندسی و لرزه‌ای مصالح متداول و مورد استفاده در ساختمانهای بتن مسلح اشاره شده است.

در فصل دوم آنچه مربوط به مجموعه سیستم‌های ساختمانی برای طراحی لرزه‌ای لازم است در قالب توضیح و تشریح الزامات آئین‌نامه طراحی ساختمانها در برابر زلزله (استاندارد ۲۸۰۰ ایران) و نیز ارتباط مستمر مباحث مطروح با مبانی نظری ارائه گردیده است. فصل سوم، چهارم و پنجم به ترتیب رفتار و طرح لرزه‌ای سیستم‌های تیر - ستون (قابها)، دیوارهای برشی و سرانجام شالوده‌ها را مطرح ساخته است.



در خاتمه نویسنده بر خود واجب می‌داند تا از مساعی و کوششهای مجدانه آقای شاهرخ رامزی و آقای سیدعباس حسینی که موجبات چاپ این کتاب را فراهم آوردند و نیز از کلیه پرسنل واحد انتشارات و چاپخانه مرکز تحقیقات ساختمان و مسکن که زمینه نشر آنرا محقق گرداندند سپاسگزاری نماید.

همچنین همکاری صمیمانه و خالصانه خانم سهیلا عسگری که با صبر و شکیبایی و تحمل زحمات فراوان در تحریر، تنظیم و صفحه‌آرایی تمامی قسمت‌های این کتاب اعم از شکلها، متن و فرمولهای عدیده‌ای که با زیبایی خاص با تنظیم اندازه ارقام در کنار حروف لاتین، پذیرا شدند و اینهمه، مبین دقت نظر وافر مشارالیها است بطور صمیمانه تقدیر و تشکر نماید.

بر خود لازم می‌دانم از تشویق‌ها و ترغیب‌های استاد ارجمند جناب آقای دکتر کاوه که با بلندنظری این اثر را برای دلگرمی مؤلف مزین نمودند، تشکر نمایم.

در پایان امید است این کتاب بتواند نقشی ولو اندک در ارتقاء تواناییهای جامعه مهندسی کشور ایفا نماید و با دریافت نظرات نقادانه از طرف تمامی خوانندگان آن زمینه‌های تصحیح و تدقیق بیشتر آن و بستر لازم برای تألیف جلد دوم با آرایشی که در نظر است مهیا شود.

عباسعلی تسنیمی

تابستان ۱۳۸۰ - تهران

فهرست مطالب

| صفحه | عنوان |
|--|---|
| | پیشگفتار |
| | مقدمه |
| ۱ | کلیات |
| فصل اول - خواص مهندسی و رفتار مصالح | |
| ۷ | ۱-۱- مقدمه |
| ۷ | ۲-۱- بتن غیر محصور |
| ۸ | ۳-۱- رفتار بتن تحت بارهای یکنوا (Monotonic) |
| ۱۰ | ۴-۱- مدول ارتجاعی بتن |
| ۱۰ | ۵-۱- پاسخ بتن تحت بارهای تناوبی |
| ۱۱ | ۶-۱- بتن محصور |
| ۱۱ | ۱-۶-۱- مزایای محصور کردن |
| ۱۲ | ۲-۶-۱- روشهای محصور کردن بتن |
| ۱۳ | ۳-۶-۱- عوامل مؤثر بر محصور کردن |
| ۱۵ | ۴-۶-۱- محصور کردن با تنگ‌ها |
| ۱۶ | ۷-۱- اجزای بتن |
| ۱۶ | ۱-۷-۱- بتن |
| ۱۸ | ۲-۷-۱- سنگدانه‌ها |
| ۱۸ | ۳-۷-۱- آب |
| ۱۹ | ۸-۱- فولادهای مسلح‌کننده |



فصل دوم - الزامات کلی تحلیل و طراحی لرزه‌ای

| | |
|----|--|
| ۲۱ | ۱-۲- مقدمه |
| ۲۱ | ۲-۲- آرایش سازه ساختمان |
| ۲۵ | ۳-۲- بارهای وارده بر ساختمان |
| ۲۸ | ۴-۲- مسیر توزیع نیروها در اجزای سازه‌ای |
| ۳۰ | ۵-۲- بارهای طراحی |
| ۳۱ | ۶-۲- ترکیب بارها برای طراحی |
| ۳۵ | ۷-۲- نیروهای ناشی از زلزله |
| ۴۱ | ۸-۲- عوامل و آثار زلزله در طراحی لرزه‌ای ساختمانها |
| ۴۵ | ۹-۲- طیف بازتاب ساختمان در برابر زلزله |
| ۴۷ | ۱۰-۲- زمان تناوب طبیعی |
| ۴۹ | ۱۱-۲- محاسبه زمان تناوب طبیعی ساختمان |
| ۵۱ | ۱۲-۲- انتخاب روش تحلیل لرزه‌ای ساختمانها |
| ۵۳ | ۱۳-۲- روش تحلیل استاتیکی معادل |
| ۵۵ | ۱-۱۳-۲- شتاب مبنای طرح (A) |
| ۵۶ | ۲-۱۳-۲- ضریب بازتاب ساختمان (B) |
| ۵۸ | ۳-۱۳-۲- زمان تناوب اصلی ساختمان |
| ۵۸ | ۴-۱۳-۲- ضریب اهمیت ساختمان (I) |
| ۵۹ | ۵-۱۳-۲- ضریب رفتار و ضریب شکل‌پذیری ساختمان (R) |
| ۶۵ | ۱۴-۲- اثر ترکیب سیستم‌های سازه‌ای بر ضریب رفتار |
| ۶۷ | ۱۵-۲- توزیع نیروی جانبی محاسبه شده در ارتفاع سازه |
| ۷۰ | ۱۶-۲- توزیع افقی نیروی برشی |
| ۷۰ | ۱۷-۲- لنگر پیچشی ناشی از زلزله |
| ۷۳ | ۱۸-۲- لنگر واژگونی |
| ۷۴ | ۱۹-۲- تغییر مکان نسبی طبقات |
| ۷۵ | ۲۰-۲- اثر $P-\Delta$ |
| ۸۰ | ۲۱-۲- مؤلفه قائم نیروی ناشی از زلزله |
| ۸۱ | ۲۲-۲- تحلیل دینامیکی سازه ساختمان |
| ۸۴ | ۱-۲۲-۲- طیف طرح استاندارد |



| | |
|-----|--|
| ۸۵ | ۲-۲۲-۲- طیف طرح ویژه ساختگاه |
| ۸۶ | ۲-۲۳- روش تحلیل دینامیکی |
| ۹۳ | ۲-۲۳-۱- حل معادله تعادل دینامیکی در مختصات نرمال |
| ۹۴ | ۲-۲۳-۲- روش دینامیکی تاریخچه زمانی |
| ۹۷ | ۲-۲۴- روش دینامیکی طیفی |
| ۱۰۰ | ۲-۲۵- اصلاح مقادیر بازتابها |
| ۱۰۱ | ۲-۲۶- اثرات پیچش در تحلیل دینامیکی |
| ۱۰۱ | ۲-۲۷- زلزله سطح بهره‌برداری |

فصل سوم - رفتار و طراحی قابهای بتن مسلح

| | |
|-----|--|
| ۱۰۵ | ۳-۱- مقدمه |
| ۱۰۷ | ۳-۲- عوامل ایجاد خسارت در ساختمانهای بتن مسلح |
| ۱۰۷ | ۳-۲-۱- عوامل مربوط به پلان طبقات |
| ۱۰۷ | ۳-۲-۲- عوامل مربوط به جزئیات |
| ۱۰۸ | ۳-۲-۳- اندرکنش فولاد و بتن |
| ۱۰۸ | ۳-۲-۴- چسبندگی |
| ۱۰۹ | ۳-۳- رفتار خمشی اعضای بتن مسلح |
| ۱۰۹ | ۳-۴- رفتار خمشی تیرها |
| ۱۱۱ | ۳-۵- تحلیل خمشی تیرها یا اعضای با نیروی محوری اندک |
| ۱۱۵ | ۳-۶- رفتار خمشی تیر - ستونها یا قطعات خمشی - فشاری (نیروی محوری حضور دارد) |
| ۱۱۷ | ۳-۷- تحلیل تیر - ستونها |
| ۱۲۰ | ۳-۸- شکل پذیری |
| ۱۲۲ | ۳-۸-۱- شکل پذیری کرنشی |
| ۱۲۳ | ۳-۸-۲- شکل پذیری انحنایی |
| ۱۲۳ | ۳-۸-۲-۱- انحناء حد جاری شدن |
| ۱۲۵ | ۳-۸-۲-۲- حداکثر انحناء یا انحناء نهایی |
| ۱۲۵ | ۳-۸-۳- عوامل مؤثر بر شکل پذیری انحنایی |
| ۱۲۶ | ۳-۸-۳-۱- اثر کرنش نهایی بتن |
| ۱۲۶ | ۳-۸-۳-۲- اثر نیروی محوری |



- ۱۲۶ ۳-۳-۸-۳- اثر مقاومت فشاری بتن
- ۱۲۶ ۳-۳-۸-۴- اثر مقاومت جاری شدن فولاد
- ۱۲۷ ۳-۳-۸-۵- شکل پذیری جابجایی تغییرمکانی
- ۱۲۹ ۳-۸-۴- رابطه بین شکل پذیری تغییرمکانی و شکل پذیری انحناء
- ۱۳۰ ۳-۸-۴-۱- تغییرمکان حد جاری شدن
- ۱۳۰ ۳-۸-۴-۲- توزیع حداکثر تغییرمکان
- ۱۳۱ ۳-۸-۴-۳- طول لولای خمیری
- ۱۳۳ ۳-۸-۵- شکل پذیری عضو و کل سازه
- ۱۳۴ ۳-۹-۹- رفتار برشی اعضای بتن مسلح
- ۱۳۵ ۳-۹-۱- افزایش مقاومت برشی بوسیله فولادهای قطری
- ۱۳۷ ۳-۱۰-۱- مقاومت برشی
- ۱۳۹ ۳-۱۱-۱- طرح تیرها
- ۱۳۹ ۳-۱۱-۱- لنگرهای خمشی
- ۱۴۰ ۳-۱۱-۲- کنترل ابعاد مقطع
- ۱۴۱ ۳-۱۱-۳- میلگردهای خمشی
- ۱۴۳ ۳-۱۱-۴- وصله میلگردها
- ۱۴۴ ۳-۱۱-۵- نیروهای برشی در تیرها
- ۱۴۶ ۳-۱۱-۶- سهم فولادهای برشی
- ۱۴۸ ۳-۱۱-۷- میلگردهای عرضی یا برشی
- ۱۵۰ ۳-۱۱-۸- کنترل برش لغزشی در تیرها
- ۱۵۲ ۳-۱۲-۱- طرح ستونها
- ۱۵۲ ۳-۱۲-۱- مقاومت خمشی ستونها
- ۱۵۳ ۳-۱۲-۲- کنترل ابعاد مقطع
- ۱۵۴ ۳-۱۲-۳- میلگردهای طولی
- ۱۵۴ ۳-۱۲-۴- وصله ها
- ۱۵۴ ۳-۱۲-۵- مقاومت برشی ستون
- ۱۶۰ ۳-۱۳-۱- طرح اتصالات تیر - ستون
- ۱۶۲ ۳-۱۳-۱- نحوه شکست اتصال



- ۱۶۳ ۲-۱۳-۳- نیروی برشی اتصال
۱۶۳ ۳-۱۳-۳- مقاومت برشی
۱۶۵ ۴-۱۳-۳- میلگردهای عرضی
۱۶۶ ۵-۱۳-۳- میلگردهای طولی
۱۶۶ ۱۴-۳- مقاومت چسبندگی

فصل چهارم - رفتار و طراحی دیوارهای برشی

- ۱۶۷ ۱-۴- دیوارهای برشی
۱۶۹ ۲-۴- مزیت‌های دیوارهای برشی
۱۷۰ ۳-۴- انواع دیوارهای برشی
۱۷۰ ۱-۳-۴- دیوارهای برشی کوتاه
۱۷۱ ۲-۳-۴- دیوارهای برشی طره‌ای (بلند)
۱۷۱ ۴-۴- اثر شکل مقطع بر رفتار دیوار
۱۷۲ ۵-۴- مقاطع بالدار
۱۷۳ ۶-۴- اندازه بال و پایداری جانبی دیوارهای برشی
۱۷۶ ۷-۴- تقسیم‌بندی دیوارهای برشی از نظر تغییر در ارتفاع
۱۷۷ ۱-۷-۴- دیوارهای طره بدون بازشو
۱۷۹ ۲-۷-۴- دیوارهای برشی دارای بازشو
۱۸۲ ۳-۷-۴- دیوارهای برشی بر روی ستون
۱۸۳ ۸-۴- نحوه انتخاب محل دیوار برشی در پلان
۱۸۵ ۹-۴- پایداری پیچشی
۱۸۶ ۱۰-۴- نحوه شکست دیوارهای برشی
۱۸۷ ۱-۱۰-۴- تخریب ناشی از برش
۱۸۸ ۲-۱۰-۴- تخریب برشی در لغزش
۱۸۹ ۳-۱۰-۴- تخریب ناشی از چرخش شالوده
۱۹۰ ۱۱-۴- مقاومت خمشی دیوارهای سازه‌ای
۱۹۴ ۱۲-۴- طول لولای خمیری
۱۹۴ ۱۳-۴- مقاومت برشی دیوارهای سازه‌ای
۲۰۲ ۱۴-۴- تیر رابط یا تیر همبند



| | |
|-----|----------------------------|
| ۲۰۶ | ۱۵-۴- سایر الزامات طراحی |
| ۲۰۹ | ۱۶-۴- حداقل میلگردهای لازم |
| ۲۱۱ | ۱۷-۴- تعبیه آرماتورها |
| ۲۱۲ | ۱۸-۴- آرماتورهای عرضی ویژه |

فصل پنجم - شالوده‌ها

| | |
|-----|---|
| ۲۱۵ | ۱-۵- مقدمه |
| ۲۱۶ | ۲-۵- انواع شالوده ها |
| ۲۱۶ | ۱-۲-۵- شالوده‌های منفرد |
| ۲۱۷ | ۲-۲-۵- شالوده‌های مرکب |
| ۲۱۷ | ۳-۲-۵- شالوده‌های نواری |
| ۲۱۷ | ۴-۲-۵- شالوده های گسترده (تخت) |
| ۲۱۹ | ۵-۲-۵- شالوده باسکولی |
| ۲۱۹ | ۶-۲-۵- شالوده‌های حفره‌ای (سلولی) |
| ۲۱۹ | ۷-۲-۵- شمع‌ها |
| ۲۲۰ | ۳-۵- شالوده برای مناطق زلزله‌خیز |
| ۲۲۰ | ۱-۳-۵- تقسیم‌بندی زمین برای طرح لرزه‌ای |
| ۲۲۱ | ۲-۳-۵- تغییرمکان سازه |
| ۲۲۱ | ۱-۲-۳-۵- تغییرمکان ارتجاعی زمین |
| ۲۲۱ | ۲-۲-۳-۵- روش ساده محاسبه تغییرمکان ارتجاعی زمین |
| ۲۲۳ | ۳-۳-۵- نشست خاک |
| ۲۲۴ | ۴-۳-۵- آبگونیگی |
| ۲۲۵ | ۵-۳-۵- اندرکنش خاک و سازه |
| ۲۲۹ | ۴-۵- طراحی شالوده‌ها |
| ۲۲۹ | ۱-۴-۵- بارگذاری |
| ۲۳۰ | ۲-۴-۵- توزیع فشار در زیر شالوده‌ها |
| ۲۳۲ | ۳-۴-۵- تعیین ابعاد شالوده |
| ۲۳۳ | ۴-۴-۵- مقاومت خمشی و برشی |
| ۲۴۰ | ۵-۵- طراحی پی‌های شمعی |



| | |
|-----|---------------------------|
| ۲۴۴ | ۵-۶- خواص مهندسی خاک |
| ۲۴۶ | ۵-۶-۱- ضریب پواسیون |
| ۲۴۷ | ۵-۶-۲- مدول ارتجاعی E |
| ۲۴۷ | ۵-۶-۳- مدول برشی G |
| ۲۴۸ | ۵-۶-۴- میرایی |
| ۲۵۱ | مراجع |
| ۲۵۵ | واژه‌نامه فارسی - انگلیسی |
| ۲۶۱ | واژه‌نامه انگلیسی - فارسی |
| ۲۶۷ | فهرست اسامی |
| ۲۶۹ | فهرست موضوعی |

کلیات:

طراحی لرزه‌ای ساختمانها از ضروری‌ترین روشهای طراحی برای کشورهایی است که در مناطق زلزله‌خیز قرار دارند و از این جهت لازم است که برای این موضوع بطور جدی در ابعاد گوناگون چه در بستر تحقیق و چه در بستر آموزش سرمایه‌گذاری اساسی صورت گیرد.

میلیاردها ریال خسارت مالی و ده‌ها هزار کشته و زخمی، نتیجهٔ رخداد زلزله‌هایی است که هر از چندگاه در گوشه و کنار کشور به وقوع می‌پیوندد. در بیست سال اخیر بیش از صدها هزار نفر از مردم بر اثر وقوع زلزله و تخریب ساختمانها کشته شده‌اند. بطور اساسی باید به این سؤال پاسخ گفت که چگونه می‌توان با این پدیده مقابله کرد یا آثار تخریبی آنرا به حداقل ممکن رساند و یا اینکه اگر زیانهای مالی قابل تحمل باشند، آیا زیانهای جانی قابل پذیرش هستند؟! چنین بنظر می‌رسد که گام نخست این است که دستگاههای اجرایی کشور، ملزم به رعایت آئین‌نامه‌های موجود در همهٔ زمینه‌های مرتبط با موضوع باشند و از طرف دیگر تدوین آئین‌نامه‌ها و ضوابط به جا مانده هرچه سریعتر بمنظور تدقیق روشهای طراحی و بالا بردن سطح کیفی فناوری ساخت و ساز به انجام رسد. مشاهدات عینی نشان داده است که اکثر تلفات و خسارات مربوط به ساختمانهای غیرمهندسی است که تعداد آنها در شهرهای بزرگ هم زیاد است.

شهرهای ایران اکثراً در دامنهٔ کوهها و یا در دشتهای ساخته شده‌اند و با توجه به توپوگرافی و ژئومورفولوژی ایران، فاصله بین قله کوهها و مراکز شهرها تقریباً به طور متوسط بین ۱۵ تا ۲۰ کیلومتر می‌باشد. بنابراین به دلیل عبور بسیاری از گسلها از بلندیها، فاصله شهرها از مناطق زلزله‌خیز در حدود ۱۵ الی ۲۰ کیلومتر خواهد بود. به عنوان مثال تحلیل آماری بر روی زلزله‌هایی که بزرگی آنها بیش از ۶/۵ ریشتر بوده نشان داده است که فاصله شهرهای خراب شده با مراکز زلزله در حدود ۱۱ کیلومتر بوده است.



از سال ۱۲۷۸ تا ۱۳۶۵ (ه.ش) در حدود ۷۴ زلزله مهم در ایران روی داده است که از میان این زلزله‌ها، ۴۵ مورد با بزرگی ۵ الی ۶ ریشتر و ۱۸ مورد به بزرگی ۶ الی ۷ ریشتر و ۹ مورد به بزرگی ۷ الی ۸ ریشتر بوده است [۵].

به طور کلی در اکثر شهرهایی که بر روی گسل بنا شده‌اند زلزله اتفاق افتاده است و نقاطی که در محل تلاقی دو گسل واقع شده‌اند اکثراً به شدت لرزیده‌اند. البته نباید گمان کرد که اگر شهری سابقه زلزله‌خیزی ندارد، در آن زلزله مهمی روی نخواهد داد. برای نمونه شهر طبرس را می‌توان نام برد که با سابقه هزارساله، تنها سیصد سال قبل یک زلزله خفیف در آن روی داده بود با این حال یک زلزله به بزرگی حدود ۷/۸ ریشتر در ۲۵ شهریور ۱۳۵۷ (ه.ش) در آن فاجعه آفرید. جدول ۱-۱ بمنظور خاطر نشان کردن اهمیت خطر زلزله و لزوم چاره‌اندیشی درخصوص کاهش آسیبهای ناشی از آن، زلزله‌هایی را که در قرن اخیر با بزرگی بیش از ۶/۵ ریشتر در کشورمان اتفاق افتاده است به همراه آماری از تعداد کشته‌شدگان این پدیده ارائه می‌دهد. آمار موجود بیانگر این واقعیت است که طی مدت ۶۸ سال (از سال ۱۲۸۱ تا ۱۳۴۹ (ه.ش)، ۱۹۸۰ زلزله در ایران به ثبت رسیده است در نتیجه در هر سال به طور متوسط ۲۹ زلزله اتفاق افتاده است که برخی از آنها مخرب بوده و برخی دیگر خسارات و تلفاتی به همراه نداشته است. تجربه نشان داده است که اگر بزرگی زلزله کمتر از ۵/۵ ریشتر باشد خسارتهای مهمی به کشور وارد نخواهد آمد و حتی در زلزله‌هایی با بزرگی ۵/۵ تا ۶ ریشتر، خسارتهای جزئی وارد آمده است. در نتیجه توجه به زلزله‌های مخرب با بزرگی بیش از ۶ ریشتر باید بسیار جدید تلقی شود.

زلزله‌های مخرب در سطح جهان در حدود یک سه هزارم تعداد کل زلزله‌ها را تشکیل می‌دهند به طوری که از حدود ۴۲۰۰۰۰ زلزله که هر سال اتفاق می‌افتد حدود ۱۳۹ مورد با بزرگی بیش از ۶/۱ ریشتر بوده‌اند [۳]. در ایران از سال ۱۲۸۱ تا ۱۳۶۹، تقریباً ۳۹ مورد، یعنی ۲ مورد در سال زلزله مخرب اتفاق افتاده است که از این تعداد حدود ۱۶ زلزله با بزرگی ۷ ریشتر و یا بیشتر بوده‌اند از اینرو به طور متوسط هر ۶ تا ۷ سال یک زلزله شدید در ایران پیش‌بینی می‌شود.

در جدول ۱-۲ دوره بازگشت زلزله‌های با بزرگی مختلف در ایران آمده است..

معمولاً در آئین‌نامه‌های ساختمانی، فلسفه طراحی ساختمان مقاوم در برابر زلزله بر دو اصل کلی استوار است. یک اینکه در زلزله‌های متوسط، سازه ساختمان آسیب نبیند، و دیگر اینکه در زلزله‌های شدید، ساختمان بدون تخریب کلی، مقاومت کند. در تحلیل سازه ساختمان، مفاهیم زلزله متوسط و زلزله شدید باید به صورت کمی مشخص شوند تا بتوان آن‌ها را در محاسبات به کار گرفت. در آئین‌نامه‌های UBC 1988 و استاندارد ۲۸۰۰ ایران، زلزله طراحی، زلزله‌ای در نظر



جدول ۱-۱- زلزله‌های قرن اخیر ایران با بزرگی بیش از ۶ ریشتر

| بزرگی | تلفات و خسارات وارده | محل وقوع | تاریخ وقوع (شمسی) | ردیف |
|-------|---------------------------------------|--------------------------------------|----------------------|------|
| ۷/۴ | ۶۰۰ تا ۸۰۰ کشته، ویرانی کامل ۶۴ روستا | سیلاخور | ۲۳ بهمن ۱۲۸۸ [۱] | ۱ |
| ۶/۷ | ۷۰۰ کشته، ویرانی کامل ۴ روستا | راور | ۲۹ فروردین ۱۲۹۰ | ۲ |
| ۵/۶ | ۷۷۰ کشته، ویرانی کامل ۵ روستا | تربت حیدریه (کاج درخت) | ۰۴ خرداد ۱۳۰۲ [۱] | ۳ |
| ۶/۵ | ۱۵۷ کشته، تخریب ۱۰ روستا | شمال بجنورد | ۲۵ شهریور ۱۳۰۲ [۱] | ۴ |
| ۶/۹ | ۲۰۰ کشته، ویرانی کامل ۵ روستا | لاله‌زار (کرمان) | ۲۱ شهریور ۱۳۰۲ [۱] | ۵ |
| ۶/۵ | - | بلوچستان | ۱۶ تیر ۱۳۰۶ [۲] | ۶ |
| ۷/۱ | ۳۲۰۰ کشته، ویرانی ۸۸ روستا | کبه داغ | ۱۱ اردیبهشت ۱۳۰۸ [۱] | ۷ |
| ۷/۲ | ۲۵۱۴ کشته، ویرانی ۶۰ روستا | سلماس | ۱۲ اردیبهشت ۱۳۰۹ [۱] | ۸ |
| ۶/۵ | - | زنگزور | ۱۷ اردیبهشت ۱۳۱۰ | ۹ |
| ۷ | - | بلوچستان | ۲۳ فروردین ۱۳۱۳ [۲] | ۱۰ |
| ۶/۳ | ۴۸۰ کشته، ویرانی ۲۶ روستا | کسوت (مازندران) | ۲۳ فروردین ۱۳۱۴ [۱] | ۱۱ |
| ۶/۴ | ۶۸۰ کشته، ویرانی ۱۰ روستا | دوست‌آباد (بیرجند) | ۱۷ بهمن ۱۳۲۰ [۱] | ۱۲ |
| ۸/۲ | ۴۰۰۰ کشته، تخریب چندین شهر و روستا | نزدیکی چاه‌بهار (مرزایران و پاکستان) | ۰۶ آذر ۱۳۲۴ [۱] | ۱۳ |
| ۸/۲ | ۴۰۰ کشته، ویرانی ۵ روستا | دوست‌آباد | ۰۱ مهر ۱۳۲۶ [۱] | ۱۴ |
| | ۱۸۳ کشته، تخریب ۲۰۰ روستا | ترود (سمنان) | ۲۳ بهمن ۱۳۳۱ | ۱۵ |
| ۶/۳ | - | گوده | ۰۹ آبان ۱۳۳۵ [۲] | ۱۶ |
| ۷/۴ | ۱۵۰۰ کشته، ویرانی ۱۲۰ روستا | بند بی (مازندران) | ۱۱ تیر ۱۳۳۶ [۱] | ۱۷ |
| ۷/۳ | ۱۱۳۰ کشته، تخریب ۲۰۰ دهکده | فارسینج (باخران) | ۲۲ آذر ۱۳۳۶ [۱] | ۱۸ |
| ۶/۷ | ۱۹۱ کشته، خسارت به ۱۱۰ دهکده | نھاوند (همدان) | ۲۵ مرداد ۱۳۳۷ | ۱۹ |
| ۶/۱ | ۴۰۰ کشته و ویرانی ۷۵٪ لار | لار (فارس) | ۰۴ اردیبهشت ۱۳۳۹ | ۲۰ |
| ۶/۸ | تلفات نامعلوم، ویرانی ۴٪ شهر | دهکویه | ۲۱ خرداد ۱۳۴۰ | ۲۱ |
| ۷/۲ | ۱۲۲۰۰ کشته، ویرانی ۳۰۰ روستا | بویین‌زهرآ | ۱۰ شهریور ۱۳۴۱ [۱] | ۲۲ |
| ۷/۳ | ۱۰۰۰۰ کشته، ویرانی ۶۱ آبادی | دشت بیاض | ۰۹ شهریور ۱۳۴۷ [۱] | ۲۳ |
| ۶/۴ | ۷۵۰ کشته، تخریب ده‌ها روستا | فردوس | ۱۰ شهریور ۱۳۴۷ [۱] | ۲۴ |
| ۶/۷ | - | بمپور | ۱۶ آبان ۱۳۴۸ | ۲۵ |
| ۶/۷ | ۲۰۰ کشته، خسارات زیاد | مراوه تپه | ۱۶ اسفند ۱۳۴۹ | ۲۶ |
| ۷/۳ | ۵۰۱۰ کشته، آسیب‌دیدگی بیش از ۵۰ روستا | قیروکارزین | ۲۱ فروردین ۱۳۵۱ [۱] | ۲۷ |
| ۶ | ۶۰۰۰ کشته، ویرانی ۳۶۵ خانه | سرخو (بندرعباس) | ۱۶ اسفند ۱۳۵۲ | ۲۸ |
| ۷/۳ | - | ماکو | ۰۳ آذر ۱۳۵۵ | ۲۹ |
| ۷/۰ | ۱۲۸ کشته، خسارت مالی زیاد | خورگو (بندرعباس) | ۰۱ فروردین ۱۳۵۶ | ۳۰ |
| ۷/۷ | ۱۸۲۲۰ کشته، آسیب‌دیدگی ۸۵ روستا | طیس (خراسان) | ۲۵ شهریور ۱۳۵۷ [۱] | ۳۱ |
| ۶/۶ | ۴۲۰ کشته، ویرانی کامل ۴ روستا | کریزان - خواف | ۲۳ آبان ۱۳۵۸ [۱] | ۳۲ |
| ۷/۱ | ۱۳۰ کشته، تخریب ۱۵۰ روستا | کولی - بنیاد | ۰۶ آذر ۱۳۵۸ [۱] | ۳۳ |
| ۶/۷ | ۱۱۰۰ کشته، آسیب‌دیدگی روستاهای زیادی | گلباف (کرمان) | ۲۱ خرداد ۱۳۶۰ [۳] | ۳۴ |
| ۷/۳ | ۱۳۰۰ کشته، ویرانی چندین روستا | سیرج (کرمان) | ۰۶ خرداد ۱۳۶۰ [۱] | ۳۵ |
| ۷/۴ | ۳۵۰۰ کشته، ویرانی چند شهر و روستا | متجیل - رودبار | ۳۱ خرداد ۱۳۶۹ [۳] | ۳۶ |
| ۶/۶ | ۶ کشته، آسیب‌دیدگی ۳۰۰ واحد مسکونی | سفیدآبه | ۰۴ اسفند ۱۳۷۲ [۳] | ۳۷ |
| ۶/۸ | ۱۰۰ کشته، ویرانی ۱۰ روستا | گرمخان بجنورد | ۱۶ بهمن ۱۳۷۵ [۳] | ۳۸ |
| ۶/۱ | ۹۶۵ کشته، ویرانی ۳ روستا | سرعین اردبیل | ۱۰ اسفند ۱۳۷۵ [۳] | ۳۹ |
| ۷/۳ | ۱۵۶۰ کشته، ویرانی کامل ۱۰۰ روستا | زیرکوه قانات | ۲۰ اردیبهشت ۱۳۷۶ [۳] | ۴۰ |
| ۶/۶ | ۵ کشته، آسیب‌های جزئی | گلباف | ۲۳ اسفند ۱۳۷۶ [۳] | ۴۱ |



گرفته شده است که با احتمال بیش از ۱۰ درصد، در طول ۵۰ سال اتفاق خواهد افتاد که آنرا بصورت زلزله ۴۷۵ ساله نشان می‌دهند زیرا دوره بازگشت متوسط چنین زلزله‌ای، ۴۵۷ سال می‌باشد. لازم به ذکر است که زلزله طراحی نه یک زلزله متوسط است و نه یک زلزله بزرگ، در حقیقت بیشتر آئین‌نامه‌ها تعریفی از زلزله بزرگ یا کوچک ارائه نکرده‌اند. در هر حال برای تعیین مقدار خطرپذیری هر ساختمانی باید نوع کاربری، خصوصیات رفتاری سازه در حالت حدی و آثار مترتب بر آن حالت حدی مورد استفاده قرار گیرد. علاوه بر آن براساس نوع ساختمان نیز می‌توان خطرپذیری ساختمان را تعریف کرد. در جدول ۱-۳ مقادیر پیشنهادی هوآنگ و هسو برای مقدار خطرپذیری قابل قبول ارائه شده است.

جدول ۱-۲- دوره بازگشت زلزله در ایران

| دوره بازگشت | بزرگی زلزله (ریشتر) |
|----------------------|---------------------|
| هر ۲ تا ۴ هفته یکبار | ۴ و ۵ |
| هر دو سال | ۶/۵ |
| هر ۵ تا ۱۰ سال | ۷ |

جدول ۱-۳- مقادیر پیشنهادی هوآنگ و هسو برای خطرپذیری قابل قبول

| احتمال حالت حدی موردنظر | | نوع ساختمان |
|-------------------------|----------------------|--------------------------|
| انهدام (در سال) | اولین تسلیم (در سال) | |
| $\frac{1}{1000}$ | $\frac{1}{50}$ | ساختمانهای عادی |
| $\frac{1}{2000}$ | $\frac{1}{100}$ | ساختمانهای با اهمیت زیاد |
| $\frac{1}{5000}$ | $\frac{1}{100}$ | ساختمانهای حیاتی |

بر طبق این پیشنهادها نوع ساختمانها بشرح زیر تعریف شده‌اند:

- ساختمانهای حیاتی: ساختمانهایی هستند که باید در جریان یک زلزله و پس از آن کارایی خود را حفظ کنند؛ مانند بیمارستانها و ایستگاههای آتش‌نشانی.
- ساختمانهای با اهمیت زیاد: ساختمانهایی که محل تجمع تعداد زیادی از مردم هستند؛ مانند مدارس، سالنهای اجتماعات، سینماها.
- ساختمانهای عادی: تمام ساختمانهایی که در شمار موارد فوق نباشند.



حال با توجه به مطالب فوق می‌توان فلسفه طراحی ساختمانهای مقاوم در برابر زلزله را به طور کمی بیان کرد. برای مثال در خصوص ساختمانهای عادی می‌توان موارد زیر را بعنوان عوامل مؤثر در طراحی لرزه‌ای محسوب نمود:

۱- در صورت وقوع زلزله با دوره بازگشت کمتر از ۱۰۰ سال، احتمال رسیدن به حالت تسلیم در هر مقطع سازه کمتر از یک در ۵۰، در هر سال باشد.

۲- در صورت وقوع زلزله با دوره بازگشت کمتر از ۲۰۰۰ سال، احتمال گسیختگی سازه‌ای کمتر از یک در هزار، در هر سال باشد

بنابراین برای طراحی لرزه‌ای ساختمانها باید به مسائل عدیده‌ای پرداخت لیکن این کتاب قصد دارد بطور مجمل و صرفاً برای آشنا نمودن خواننده با مسائل اساسی و مهم در طرح لرزه‌ای ساختمانهای بتن مسلح، به موارد پایه‌ای این نوع طراحی اکتفا نماید. از اینرو در طرح لرزه‌ای ساختمانهای بتن مسلح مطالبی در خصوص مصالح، رفتار اجزاء سازه‌ای و نکات مهم روشهای طراحی منطبق بر آئین‌نامه طراحی ساختمانها در برابر زلزله، بسنده شده است.

فصل ۱ - خواص مهندسی و رفتار مصالح

۱-۱ - مقدمه:

بدلایل عمده‌ای رفتار یا عملکرد ساختمانها و اجزای سازه‌ای آنها به مصالح بکار رفته در آنها وابسته است. از این رو قبل از پرداختن به مباحثی که مستقیماً به تحلیل و طراحی ساختمانهای بتن مسلح مربوط می‌شود، در این فصل خواص مهندسی بتن و فولاد و همچنین عوامل مؤثر بر رفتار آنها که متداولاً در ساختمان سازی بکار می‌روند، تحت بارهای استاتیکی و دینامیکی مورد تجزیه و تحلیل و بررسی قرار می‌گیرند. چسبندگی بین مصالح بکار رفته به عنوان اجزاء بسیط در مجموعه یک عضو سازه‌ای که با هم ترکیب می‌شوند، بحث بسیار مهمی خواهد بود که باید به آن توجه شود. تردیدی نیست که کنترل کیفیت این مصالح در رفتار لرزه ای سازه‌ها نقش بسیار مهم و اساسی ایفا می‌نماید. اما این قبیل مباحث در این کتاب مورد بحث واقع نمی‌شود. ذیلاً آنچه که در رفتار و فرآیند طراحی نقش مهمی ایفا می‌کند در این فصل اشاره می‌شود. مهمترین مصالح مورد بحث بتن و فولاد یا آرماتورها هستند که مورد بررسی قرار می‌گیرند.

۱-۲ - بتن غیرمحصور

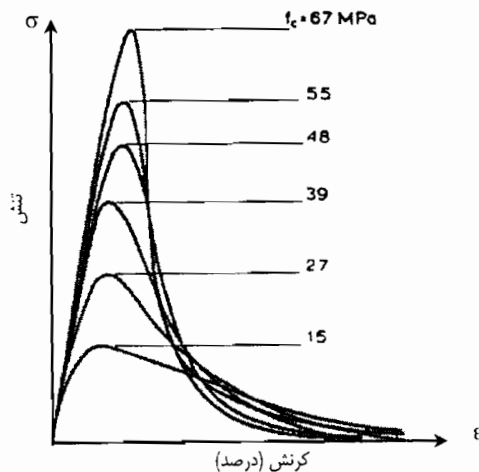
لازم است رفتار بتن مسلح و غیرمسلح را در برابر نیروهای ناشی از زلزله بخوبی شناخت. زیرا بتن مسلح توسط میلگردهای طولی و عرضی (خاموتها) بطور قابل توجهی محصور می‌شود که رفتارش با حالتی که محصور نیست تفاوت قابل توجهی دارد.

خواص مقاومتی مصالح در مقابل نیروی ناشی از زلزله را می‌توان به کمک منحنی‌های تنش- کرنش آنها که مقاومت و تغییرشکل را تفسیر می‌کند ارزیابی کرد. برای بدست آوردن منحنی

تنش- کرنش بتن که تحت نیروهای لرزه‌ای واقع می‌شود معمولاً از دو سیستم آزمایش استفاده می‌کنند. یکی اینکه بتن را تحت تأثیر بارگذاری تکراری و باربرداری تکراری قرار می‌دهند بدون اینکه جهت اعمال بار تعویض شود. دیگر اینکه بتن را تحت بارهای تناوبی یعنی با تغییر جهت در بارگذاری قرار می‌دهند. هر دو حالت بارگذاری بدلیل اینکه شدت پائینی دارند بصورت استاتیکی است. هماهنگ کردن نتیجه این نوع آزمایشها با رفتار واقعی بتن که تحت اثر زلزله واقعی قرار می‌گیرد، بوسیله بارگذاری شدید تبیین می‌شود که از نظر مقاومتی یک روش مطمئن و ایمن است. در این حالت معمولاً نرخ کرنش از $0/01$ تا $0/02$ بر ثانیه تعیین می‌شود، به عبارت دیگر کرنش اعمالی باید بین ۱ تا ۲ درصد بر ثانیه باشد [۶، ۷ و ۸]. از طرف دیگر، بکار بردن نتایج حاصل از تغییر مکان یا جابجایی نهایی چندان اطمینان بخش نخواهد بود.

۱-۳- رفتار بتن تحت بارهای یکنوا (Monotonic)

تاکنون منحنی‌های مختلفی برای روابط تنش-کرنش بتن تحت بارهای یک محوری از طریق آزمایش بر روی استوانه‌های بتن غیرمسلح ارائه شده است که در شکل ۱-۱ چنین روابطی برای مقاومت‌های مختلف ارائه شده است.



شکل ۱-۱- روابط تنش-کرنش نمونه‌های استوانه‌ای بتن تحت فشار یک محوری

در بدست آوردن این منحنی‌ها کنترل تغییرات کرنش پس از رسیدن به حداکثر مقاومت بسیار حائز اهمیت است که تمهیدات خاصی را طلب می‌کند. همچنانکه از شکل بر می‌آید هر چه بر مقاومت بتن افزوده شده است از شکل پذیری آن کاسته شده است اگر چه ممکن است انرژی



مستهلك شده تغییرى نکرده باشد. به عبارت دیگر مقدار کرنش نظیر مقاومت نهایی برای بتن با مقاومت پائین، بیشتر از بتن با مقاومت بالا است.

برای منحنی های تنش-کرنش بتن تحت بارهای یکنوا مدلهای ریاضی یا تحلیلی گوناگونی ارائه شده است که بطور کلی در این مدلها سه بخش مهم برای منحنی تعریف می شود. بخش اول قسمت افزایشی است که تا حداکثر مقاومت بتن را شامل می شود. پس از این مرحله مقاومت بتن کاهش می یابد که قسمت کاهشى نام گذاری شده است. قسمت سوم بنام قسمت افقى نامیده می شود و معمولاً در محاسبات وارد نمی شود.

قسمت اول را می توان به دو بخش تقسیم کرد که عبارتند از:

- ۱- بخش نخستین که معمولاً بسیار شبیه خط مستقیم است و رفتار ارتجاعی بتن را تبیین می کند. این بخش برای روش طراحی ارتجاعی یا روش مبتنی بر تنش مجاز بکار می رود.
- ۲- بخش دوم که در دامنه تغییرات کرنش تا محدوده ۷۰٪ تا ۱۰۰٪ مقاومت بتن محدود می شود تعریف شده است. این بخش بصورت غیرخطی بوده و مقدار مدول ارتجاعی مماسی کاهش چشمگیری دارد. واقعیت این است که رفتار غیرخطی بتن از مقاومت نظیر $0.3f_c$ آغاز می شود، زیرا قبل از این مقاومت ترکهای موئینه ناشی از وارفتگی و اثر تغییر حرارت یا عوامل دیگر، در بتن ایجاد شده است. برطبق مطالعات انجام شده در دو دهه هفتاد و هشتاد میلادی [۹ و ۱۰] مقاومت نظیر $0.5f_c$ تا $0.7f_c$ متناظر با ترکهای ناشی از اختلاف سختی ملات و دانه بندی بتن است که معمولاً بصورت ترک در ملات ظاهر می شود. در قسمت دوم که مربوط به رفتار بتن پس از رسیدن و گذر از مقاومت f_c است، مقدار کرنش با شدت بیشتری افزایش می یابد، در حالیکه مقدار تنش کاهش می یابد. این پدیده را بنام رفتار نرم شدگی یا نرم شدگی کرنشی می شناسند. در این وضعیت است که گسترش ناپایدار و سریع ترکهای داخلی آنها را تبدیل به ترکهای عریض تر می کند به نحوی که به راحتی قابل رویت خواهند بود. در طراحی حداکثر تا بخشی از قسمت دوم که توسط کرنش مرحله نهایی ϵ_{cu} شناسایی می شود برای رابطه تنش-کرنش در نظر می گیرند، زیرا پس از آن مرحله هرگونه خسارت که بر بتن وارد شود برای مقاومت عضو قابل پذیرش نخواهد بود. این مقدار برای طراحی بسیار ضروری است و آئین نامه های مختلف مقادیر مختلفی را ارائه و توصیه کرده اند. مثلاً آئین نامه ACI [۱۱] مقدار آنرا 0.003 و آئین نامه BS8110 [۱۲] و (CEN, 1991) EC2 [۱۳] برابر با 0.0035 در نظر می گیرد. لازم به ذکر است در تمام این آئین نامه ها فرض می شود که تنش فشاری بتن تا این مرحله از کرنش کاهش ندارد، ولی این فرض با رفتار واقعی بتن تطبیق ندارد. اما از آنجا که سطح زیر منحنی مفروض در آئین نامه ها کمتر از منحنی واقعی است این فرض چندان اشکالی ایجاد نمی کند.

۱-۴- مدول ارتجاعی بتن:

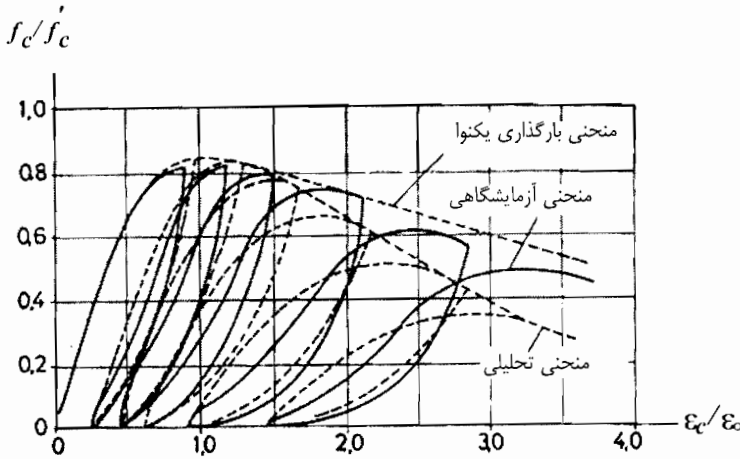
همانگونه که می‌دانیم مقاومت فشاری بتن را بطور معمول یا بر مبنای آزمایشهای شکست استوانه به ارتفاع ۳۰ سانتی‌متر و قطر ۱۵ سانتی‌متر و یا نمونه‌های مکعبی به ابعاد ۱۵ سانتی‌متر بدست می‌آورند. در این آزمایشها منحنی مربوط به تنش - کرنش بتن را غالباً براساس نمونه استوانه‌ای در نظر می‌گیرند. مدول ارتجاعی بتن (E_c) را می‌توان از طریق آزمایش بدست آورد و یا بر مبنای توصیه‌های آئین‌نامه‌ای که آنها نیز مبتنی بر آزمایش‌های زیادی تدوین شده است محاسبه کرد. باید دانست آنچه حائز اهمیت است، تغییرات E_c بر روی منحنی تنش-کرنش است که برای طراحی بطور معمول مقدار مماس اولیه یا مقدار وتری را در نظر می‌گیرند. آئین‌نامه ACI [۱۱] مقدار مدول ارتجاعی بتن را بر طبق رابطه ۱-۱ پیشنهاد می‌نماید.

$$E_c = \gamma_c^{1/5} (0.43 \sqrt{f_c}) \quad (1-1)$$

که در این رابطه مقدار f_c و E_c برحسب Mpa بوده و γ_c وزن مخصوص بتن و ۱۵۰۰ تا ۲۵۰۰ کیلوگرم بر مترمکعب است. برای بتن با وزن مخصوص معمولی ۲۳۰۰ کیلوگرم بر مترمکعب و مقدار مدول ارتجاعی $4700 \sqrt{f_c}$ برحسب Mpa بدست می‌آید. لازم به یادآوری است در این رابطه مقدار E_c شیب خطی است که کرنش صفر را به تنش فشاری $0.45 f_c$ وصل می‌کند. از طرفی مدول ارتجاعی بستگی زیادی به مدول ارتجاعی سنگدانه‌ها دارد.

۱-۵- پاسخ بتن تحت بارهای تناوبی

اگر نمونه‌های استوانه‌ای بتن غیرمحصور را تحت تأثیر نیروهای فشاری تناوبی قرار دهیم رابطه تنش-کرنش آن در تمام مراحل بارگذاری و باربرداری مطابق شکل ۱-۲ خواهد بود. کارزان و جیرسا [۱۴] در پی مطالعات آزمایشگاهی خود نشان داده‌اند که شیب منحنی بارگذاری و باربرداری و بارگذاری مجدد با افزایش تغییرشکل غیرارتجاعی، کاهش می‌یابد که این رفتار حکایت از نرم‌شدگی کرنشی مصالح در اثر بارهای تناوبی دارد. همچنین ثابت شده است که پوش منحنی ناشی از بارهای تناوبی بر منحنی پیوسته ناشی از بار یکنواخت و یکنوا منطبق است. به عبارت دیگر منحنی تنش-کرنش بتن تحت بار یکنوا و استاتیکی همان پوش منحنی ناشی از بارهای تناوبی است.



شکل ۱-۲- تنش- کرنش نمونه استوانه‌ای بتن تحت اثر بار تک محوری تناوبی فشاری

۱-۶-۱- بتن محصور

رفتار و مقاومت بتن در حالت عادی و محصور شده تفاوت‌های زیادی با یکدیگر دارند. شیوه محصور کردن بتن تأثیر مستقیم در این تفاوت دارد. رفتار غیرارتجاعی بتن با شروع ترک‌های بین دانه بندی و خمیر سیمان یا ملات آن آغاز می‌شود و این پدیده تأثیر بسیار زیادی بر قسمت دوم منحنی تنش-کرنش بتن می‌گذارد. همچنین رفتار بتن بر اثر محصور شدن از لحظه‌ای که ترک‌های داخلی شکل می‌گیرند و موجب ازدیاد حجم می‌شوند تغییرات چشم‌گیری دارد. بنابراین بررسی بتن محصور در طرح لرزه‌ای سازه‌ها از اهمیت ویژه‌ای برخوردار است.

۱-۶-۱-۱- مزایای محصور کردن

محصور کردن بتن دارای دو مزیت اساسی است که بر رفتار لرزه‌ای سازه‌های بتن مسلح اثر قابل توجهی می‌گذارد.

۱- افزایش مقاومت بتن. اگر بتن به نحو مناسبی محصور شده باشد و بر اثر نیروهای لرزه‌ای بتن پوششی آن کنده شود، بتن محصور شده بخوبی مقاومت خواهد کرد. باید دانست که معمولاً اگر کرنش سطح خارجی به حدود 0.004 برسد بتن پوشش خرد و پراکنده خواهد شد.



۲- محصور شدن بتن باعث می شود تا قسمت دوم منحنی تنش- کرنش آن از شیب کمتری برخوردار شود و در نتیجه کرنش مرحله نهایی افزایش می یابد و سطح زیر منحنی که مبین استهلاک انرژی است در حد قابل توجهی افزایش خواهد یافت. بنابراین نحوه بکارگیری و تعبیه تنگ ها یا خاموتها بحث مربوط به دستاوردهای جدید طراحی لرزه‌ای را بخود اختصاص داده است.

۱-۶-۲- روشهای محصور کردن بتن

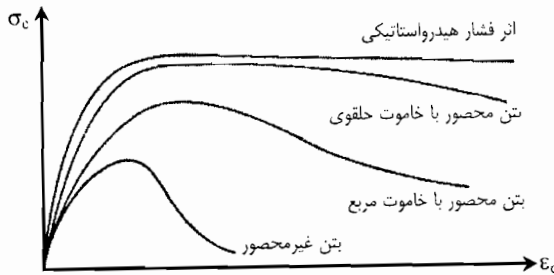
بتن غیرمحصور بدلیل مقاومت و کرنش کمتر، برای رفتار لرزه‌ای سازه‌های بتن مسلح مناسب نیست. علیرغم دقت در تعبیه فولادهای لازم برای تأمین شکل‌پذیری سازه، بندرت بتوان بدون بتن محصور به شکل‌پذیری مطلوب و مورد نظر دست یافت. اگر در رفتار لرزه‌ای، بتن پوششی که در قسمت بیرونی فولادها قرار دارد، خرد و پراکنده شود، لازم است بتن باقیمانده که قسمت عمده‌ای از سازه را تشکیل می‌دهد اولاجبران بخشهایی از بتن از دست رفته را بنماید و ثانیاً نیاز شکل‌پذیری سازه را در همراهی با فولاد تأمین کند. چنانچه بقدر کافی فولاد محصورکننده (خاموتها یا تنگها) برای محصور کردن بتن و به ویژه برای ناحیه فشاری تعبیه نگردد، فولادهای اصلی و طولی فشاری دچار کماتش شدید شده و مقاومت بتن سریعابه مرحله تخریب نزدیک گشته، که در چنین وضعی سازه فروخواهد ریخت. باید دانست در مقطعی از سازه که لولای خمیری در آن مقاطع تشکیل می‌شود و تحت اثر بارهای محوری هم واقع می‌شوند، باید دارای بتن محصور شده باشند. مانند پای ستونها در قابهای بتن مسلح، که در آنها باید تغییر شکل غیرارتجاعی تا بدانجا ایجاد شود که لولای خمیری تبدیل به مکانیزم شود. بنابراین با توجه به اینکه همیشه از قاعده ستون قوی و تیر ضعیف باید استفاده کرد، در عین حال ایجاد لولای خمیری در پای ستون به نحوی که بتن آن ناحیه کاملاً "محصور شده باشد الزامی است. چنانچه بتن غیرمحصور تحت اثر تنشهای فشاری به مرحله مقاومت نهایی برسد، تنشهای کششی جانبی و در نتیجه در آن کرنش کششی جانبی زیادی و پس از آن ترکهای مویی طولی ایجاد خواهد شد. این دو پدیده ناپایداری ناحیه فشاری و مالا فروریزی را موجب می‌شود.

تعبیه فولادهای فرعی بعنوان خاموت یا تنگها، بتن را محصور کرده که در نتیجه مقاومت بتن افزایش یافته و کرنش فشاری تا حد قابل توجهی بالاتر رفته و پایداری ناحیه فشاری را بیشتر خواهد کرد و تخریب مقطع به تأخیر خواهد افتاد. یک مقایسه ساده بین نوع خاموتهای بکار رفته در شکل ۱-۳ نشان داده شده است. بر طبق این شکل هر قدر خاموتها شکل بسته تری داشته



باشند و به سمت نوع حلقوی پیش روند منحنی تنش- کرنش بیشتر اصلاح می شود، تا جائیکه منحنی مربوط به خاموت حلقوی یا ماریچج نزدیک به اثر فشارهای هیدرواستاتیکی (یکنواخت) خواهد بود.

باید توجه داشت که اثر محصور کردن علاوه بر افزایش مقاومت موجب افزایش مدول ارتجاعی نیز شده است که این پدیده نیز در طراحی لرزه ای اثر بسیار چشمگیری دارد.



شکل ۱-۳- منحنی تنش-کرنش بتن تحت شرایط مختلف محصور شدن

۱-۶-۳- عوامل مؤثر بر محصور کردن

از مهمترین عواملی که بر محصور کردن بتن اثر دارد و باید در مدل های منحنی تنش-کرنش دخالت داده شود عبارتند از:

۱- نسبت حجمی فولادهای عرضی (ρ_h)

این نسبت به صورت حجمی است، یعنی نسبت حجم خاموتها به حجم هسته ای است که محصور است. محاسبه هسته محصور باید از محور خاموتها در نظر گرفته شود. روشن است که با افزایش این نسبت که با ρ_h نشان داده می شود، مقاومت و شکل پذیری بتن محصور نیز افزایش می یابد.

۲- مقاومت جاری شدن خاموتها (f_{yh})

کاملاً معلوم است که هر قدر مقاومت جاری شدن خاموتها بیشتر باشد، اثر محصور شدن بتن بیشتر خواهد بود زیرا بعنوان یک عامل بازدارنده در تغییر شکل جانبی نقش بسزایی دارد.

۳- مقاومت فشاری بتن (f_c)

قبلاً دانستیم که هر قدر مقاومت بتن بیشتر باشد رفتار آن تردتر خواهد بود. لیکن واضح است که شکل پذیری آنها از بتن معمولی کمتر است. مضافاً اینکه، برای یک نیروی محوری معین و ثابت، افزایش ابعاد جانبی (بر اثر ضریب پواسیون) در بتن معمولی، یعنی بتن با مقاومت کم، بیشتر



است. پس ضرورت محصور کردن این نوع بتن بیشتر می شود بویژه اینکه اگر از بتن با مقاومت بالا استفاده شود، خاموتها تحت تنش بیشتر واقع می شوند. لذا افزایش مقاومت بتن یا کاهش آن بر محصور کردن اثر مستقیم دارد.

۴- فاصله خاموتها

یقیناً با کم کردن فاصله خاموتها هسته ای که باید محصور شود دارای ابعاد کمتری خواهد بود و بخوبی تحت اثر تنشهای محصورشدگی قرار می گیرد و اثر آن بیشتر می شود. از طرفی با کم کردن فاصله خاموتها از کمانه شدن فولادهای طولی نیز جلوگیری می شود.

۵- آرایش خاموتها

با توجه به نوع آرایش خاموتها اثر محصور شدن تحت تأثیر قرار می گیرد. مثلاً انواع آرایشهای بکار رفته در شکل ۱۷ مشخص می کند آن آرایشی که بتن را بیشتر محصور کند مطلوبتر است یعنی مقاومت و شکل پذیری بیشتری را نتیجه می دهد.

۶- فولادهای طولی

فولادهای طولی نیز به سهم خود در محصور کردن نقش دارند ولی هر قدر آنها بیکدیگر نزدیکتر باشند اثر آنها بیشتر خواهد بود و از افزایش ابعاد جانبی جلوگیری می کنند. نکته دیگر در این مورد قطراین فولادها است که هر قدر بیشتر باشد اثر آنها در محصور کردن بیشتر است.

۷- شدت بارگذاری

وقتی بحث زلزله و اثر آن بر سازه مطرح است، باید به جای استفاده از شدت بار از نرخ کرنش ($\dot{\epsilon}$) در اثر بارهای وارده استفاده کرد. همچنانکه قبلاً بحث شد چنانچه در شرایط بارهای استاتیکی نرخ کرنش $\dot{\epsilon}$ افزایش یابد موجب افزایش مقاومت بتن می شود و اگر کاهش یابد مقاومت کاهش یافته و شیب منحنی تنش-کرنش در قسمت کاهشی نقصان می یابد. تاکنون چنین مشخص شده است که بر اثر نیروهای دینامیکی و از آن جمله زلزله، که نرخ کرنش دینامیکی ایجاد می کند گاهی اثر مثبت و گاهی اثر منفی بر بتن محصور خواهد داشت.

۸- توزیع کرنش

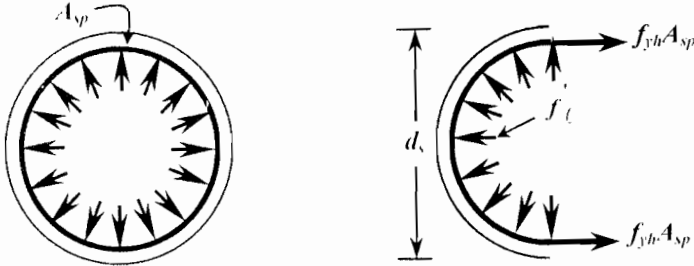
توزیع کرنش در مقاطع مختلف اجزاء سازه ای بستگی به نوع بارگذاری دارد بطور مثال خروج از مرکزیت بار محوری در ستونها از جمله مواردی است که توزیع کرنش را تحت دستخوش قرار می دهد. اما توزیع کرنش بر بتن محصور شده تأثیری ندارد لیکن شکل پذیری مقطع را تحت تأثیر خود قرار می دهد. اگر خاموتها بصورت حلقوی و یا ماریچ تعبیه شوند، کشش حلقوی را بخوبی تحمل می کنند و از انبساط وترک خوردگی بتن جلوگیری خواهند کرد. این عمل موجب استمرار محصور بودن بتن شده که در شکل ۱-۴ این وضعیت بخوبی نشان داده شده است.



در این حالت حداکثر فشار جانبی مؤثر که در بتن ایجاد می‌شود برابر با f_ℓ است. اگر حد جاری شدن فولاد حلقوی f_{yh} باشد، مطابق شکل ۴-۱-ب تعادل نیروها چنین می‌شود:

$$f_\ell \cdot d_s \cdot S_h = \sqrt{2} f_{yh} \cdot A_{sp} \quad (۲-۱)$$

روشن است که d_s قطر حلقه یا ماریج و S_h فاصله طولی بین حلقه‌ها یا فاصله ابتدا تا انتهای یک دور کامل از ماریج است.



الف - بتن محصور شده توسط خاموت‌های حلقوی یا ماریج

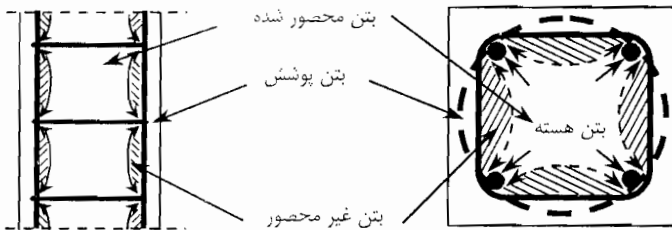
ب - نیروهای اعمال شده در نیم حلقه از بتن محصور شده

شکل ۴-۱- محصور کردن بتن بوسیله حلقه‌های فولادی

۱-۶-۴- محصور کردن با تنگ‌ها

الف- بارهای یکنوا

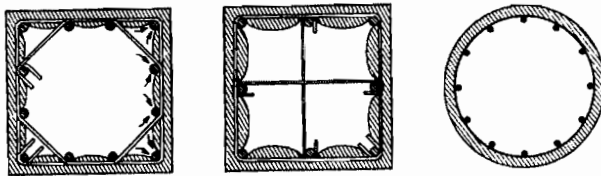
در حالتی که خاموت‌ها بصورت مربع تعبیه شده باشند، تمام بتن نمی‌تواند بطور کامل محصور باشد و فقط درنواحی گوشه محصور بودن کامل، ایجاد خواهد شد. زیرا فشاری که از طرف بتن به بخش مستقیم خاموت‌ها وارد می‌شود، تلاش دارد تا آنها را به سمت بیرون خم کند. این پدیده را در شکل ۵-۱ مشاهده می‌کنیم و قسمت غیرمحصور با قسمت هاشورخورده مشخص شده است.



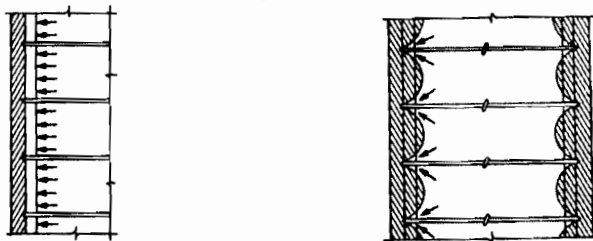
شکل ۵-۱- خاموت غیرحلقوی، بصورت مربع یا مستطیل



برای بیشتر محصور کردن بتن می‌توان خاموتها را هم‌پوشانی کرده و یا اینکه آنها را بصورت متقابل ضربدری یا عمود بر هم در چند مورد بیکدیگر قفل و بست کرد. در شکل ۱-۶ اثر اضافه کردن خاموتها که موجب بیشتر محصور شدن بتن می‌شود نشان داده شده است.



الف- خاموت‌های ماریج یا مدور ب- خاموت‌های مستطیلی به‌مراه ج- فولادهای هم‌پوش
فولادهای ضربدری



د- محصور شدن بتن توسط خاموتها ه- محصور شدن بتن توسط فولادهای طولی
شکل ۱-۶- محصور شدن بتن در مقاطع مختلف توسط خاموتها و فولادهای اصلی

۷-۱- اجزای بتن

۷-۱-۱- بتن

امروزه پنج نوع سیمان پرتلند تولید می‌شوند تا شرایط فیزیکی و شیمیایی معینی را که برای هدفهای خاص لازم است برآورده سازند. این پنج نوع عبارتند از:

سیمان پرتلند تیپ ۱: این نوع سیمان که به سیمان پرتلند معمولی نیز موسوم است، در مواردی که از بتن ویژگی خاصی انتظار نرود، مورد مصرف قرار می‌گیرد. این نوع سیمان باید شرایط مذکور در استانداردهای ایران [۱۵] را برآورده سازد و به همین دلیل بهتر است از کارخانه‌های معتبری که دارای سیستمهای کنترل کیفیت کافی هستند، تهیه گردد.



سیمان پرتلند تیپ ۲: این نوع سیمان معمولاً کندتر از سیمان تیپ ۱ می‌گردد و در زمان گیرش، حرارت هیدراسیون کمتری تولید می‌کند و نسبت به سیمان معمولی در مقابل حمله سولفات‌ها، مقاومت بیشتری از خود نشان می‌دهد.

سیمان پرتلند تیپ ۳: این نوع سیمان که به سیمان زودگیر نیز موسوم است، تا اندازه‌ای ریزتر از سیمان معمولی آسیاب می‌گردد و به دلیل داشتن دانه‌های ریزتر، دارای کسب مقاومت سریعتری نسبت به سیمان معمولی است. البته پس از گذشت چند ماه تفاوت چندانی با هم نخواهند داشت.

سیمان پرتلند تیپ ۴: این سیمان که سیمان دیرگیر نیز نامیده می‌شود، دارای روند کسب مقاومت و آزاد کردن حرارت بسیار کندتر از سیمان معمولی با طرح اختلاط یکسان، در هنگام گیر است. اما در نهایت دارای مقاومت و حرارت هیدراسیون یکسانی خواهد بود. کاربرد اصلی این نوع سیمان در ساختمانهای حجیم بتنی است که به علت حجم زیاد بتن، آزاد شدن سریع حرارت ناشی از گرفتن بتن می‌تواند باعث ایجاد دما و تنشهای بالایی در داخل آن و احتمالاً باعث ایجاد ترکهایی در داخل سازه گردد.

سیمان پرتلند تیپ ۵: این سیمان که سیمان ضدسولفات نیز نامیده می‌شود، نوعی از انواع سیمان پرتلند است که دارای مقدار تری کلسیم آلومینات (C_3A) کمی است و به همین دلیل، بتن ساخته شده با این سیمان در مقابل آب دریا از خود مقاومت بیشتری نشان می‌دهد، چرا که سولفات‌ها با هیدرات تری کلسیم آلومینات واکنش انجام داده و باعث تضعیف بتن می‌گردند. این سیمان نسبت به دیگر انواع سیمان پرتلند دارای رنگ تیره‌تری است و بتن ساخته شده با آن نسبت به مقدار سیمان و نفوذناپذیری و تراکم بتن و نیز براساس غلظت سولفات‌های موجود مقاومت رضایت‌بخشی در مقابل حمله سولفات‌ها از خود نشان می‌دهد. در صورتی که درصد موجود در خاک بیشتر از ۰/۵ و یا مقدار SO_3 به دست آمده از محلول آب و خاک دارای نسبت ۲ قسمت آب و یک قسمت خاک، بیش از $1/9$ (g/lit) باشد و یا SO_3 موجود در آب زیرزمینی دارای غلظت بیش از (ppm) ۱۲۰۰ باشد، استفاده از این نوع سیمان توصیه می‌شود.



۱-۷-۲- سنگدانه‌ها

به طور کلی به انواع سنگها، یعنی سنگهای شکسته و مصالح سنگی دیگری که با سیمان و آب مخلوط می‌گردند تا از اختلاط آنها بتن حاصل گردد، سنگدانه می‌گویند. با توجه به این که سنگدانه‌ها قسمت عمده‌ای از حجم بتن را تشکیل می‌دهند، انتخاب مصالح مناسب از اهمیت بسزایی برخوردار است. سنگدانه‌های مصرفی در ساخت بتن باید قاعدتاً با مشخصات مذکور در استاندارد ۳۰۰ و ۳۰۲ ایران [۱۶ و ۱۷] تطابق داشته باشند.

شن و ماسه و سنگ شکسته‌هایی مانند گرانیت، بازالت و نمونه‌های سختی چون آهک، ماسه و سنگ به طور معمول به عنوان سنگدانه مورد استفاده قرار می‌گیرند. سنگدانه‌ها باید دارای دو خصوصیت تمیزی و دوام باشند. ضمناً علاوه بر سخت بودن، عاری از موادی که احتمال اثرگذاری بر آرماتورها را دارند، باشند و نیز تمیز و عاری از ناخالصی‌های آلی باشند. شن و ماسه معمولاً باید توسط پیمانکار مربوطه شستشو قرار گیرد تا به این طریف، رس و لای و دیگر ناپاکی‌های موجود در آن، از آن جدا گردد. در ضمن سنگدانه‌ها نباید درمقابل سیمان از خود واکنش نشان دهند.

سنگدانه‌هایی نظیر ماسه طبیعی، سنگ یا شن شکسته که قسمت اعظمی از آن الک استاندارد ۵mm (۳/۱۶in) عبور می‌کند، «ریزدانه» و در مقابل، سنگدانه‌هایی نظیر شن طبیعی، شن یا سنگ شکسته‌ای که از الک فوق عبور نکرده و بر روی آن باقی می‌ماند «درشت‌دانه» نامیده می‌شوند. معمولاً بزرگترین اندازه اسمی سنگدانه‌های درشت مورد استفاده در سازه‌های بتن مسلح به (۳/۴in) ۲۰mm محدود می‌شود.

دانه‌بندی و حداکثر درشتی مصالح سنگی مصرفی در بتن در روانی بتن تازه و در مقدار جمع‌شدگی، آب‌بندی و پوکی بتن تأثیر دارد. بنابراین باید از یک دانه‌بندی یکنواخت که شامل سنگدانه‌هایی با ابعاد مختلف از درشت‌دانه تا ریزدانه باشد، استفاده نمود. به خصوص ریزدانه‌ها باید به نحوی انتخاب گردند که ذرات با اندازه‌های مختلف را شامل باشند، بطوری که علاوه بر کاهش مقدار سیمان مصرفی، مخلوطی کارآ و شکل‌پذیر به دست می‌آید.

۱-۷-۳- آب

آب مصرفی در ساخت بتن معمولاً باید برای نوشیدن مناسب و یا منابعی که مناسب بودن آنها ثابت شده است، تهیه گردد. این به خاطر اطمینان از عدم وجود ناخالصی‌هایی مانند جامدات



معلق، مواد آلی و نمکهای غیرمحلولی است که غالباً در آبهای طبیعی یافت می‌شوند. این ناخالصی‌ها ممکن است بر خصوصیات بتن اثر نامطلوب بگذارند. استفاده از آب دریا به عنوان آب اختلاط در سازه‌های بتن مسلح، به دلیل خطر خوردگی فولاد باید شدیداً اجتناب شود.

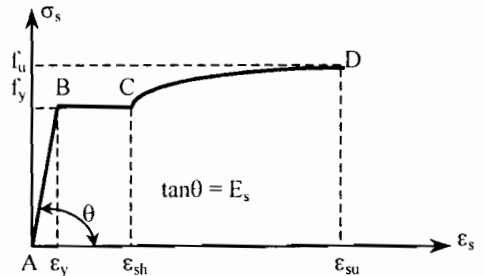
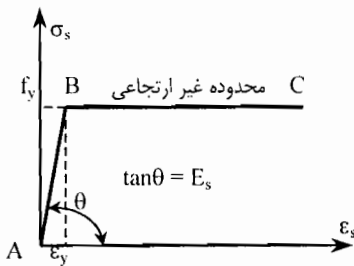
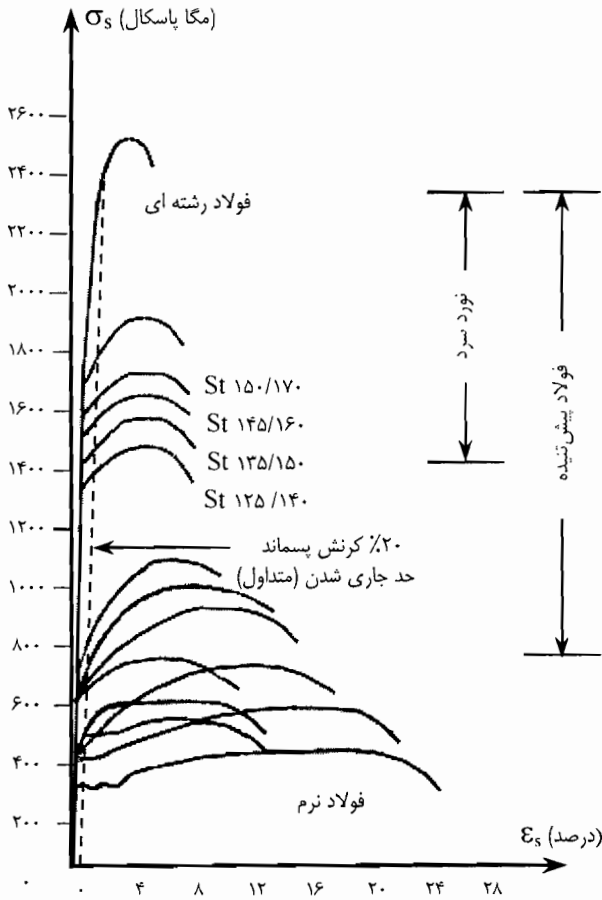
۱-۸- فولادهای مسلح کننده

انواع مختلف فولادهای مسلح کننده که در ایران مورد استفاده قرار می‌گیرند، همراه با خصوصیات مربوطه در جدول ۱-۱ نشان داده شده است.

جدول ۱-۱- مشخصات فولادهای مسلح کننده [۱۸]

| S۵۰۰ | S۴۰۰ | S۳۰۰ | S۲۲۰-۲۴۰ | رده بندی فولادها | |
|----------------|--------|--------|---------------|-----------------------------------|--------------------------|
| ۵۰۰Mpa | ۴۰۰Mpa | ۳۰۰Mpa | ۲۲۰-۲۴۰Mpa | حداقل تنش جاری شدن (f_y) | |
| ۶۰۰Mpa | ۵۵۰Mpa | ۵۰۰Mpa | ۳۴۰-۳۸۰Mpa | حداقل مقاومت کششی (f_u) نهایی | |
| A۴ | A۳ | A۲ | A۱ | گروه نامگذاری | |
| آجدار و پیچیده | آجدار | آجدار | ساده یا آجدار | نوع میلگرد | |
| - | ۰/۰۰۱۴ | ۰/۰۰۱۹ | ۰/۰۰۲۲ | سختی طبیعی | حداقل افزایش طول |
| ۰/۰۰۱۰ | ۰/۰۰۱۲ | ۰/۰۰۱۶ | - | سختی اصلاح شده | نسبی در لحظه گسیختگی با: |

استفاده از میلگردهای آجدار برای میلگردهای اصلی توصیه می‌شود. استفاده از فولادهای گروه A۴ به دلیل ظرفیت پلاستیک محدود، توصیه نمی‌شود. فولادهای رده S۴۰۰ گرانتز از فولادهای رده S۳۰۰ است، اما قیمت آنها برحسب واحد تنش کمتر می‌باشد. فولادهای رده S۳۰۰ ارزاتر بوده و راحت تر خم است. استفاده از فولادهای رده‌های بالاتر در مواقعی که فولادهای رده‌های پائین تر مشخص شده‌اند، ممکن است مجاز نباشد. ضمناً توصیه شده است که از فولادهای با قطر کمتر از ۱۰mm استفاده نشود.



شکل ۱-۷- منحنی‌های تنش - کرنش فولادهای مختلف و منحنی ایده‌آل برای بارهای یکنواخت و تناوبی

فصل ۲- الزامات کلی تحلیل و طراحی لرزه‌ای

۲-۱- مقدمه

برای طراحی ساختمانهای بتن مسلح در برابر زلزله، لازم است آئین‌نامه‌های طراحی ساختمانهای بتن مسلح در اختیار باشد. از اینرو طراح باید بر آئین‌نامه طراحی ساختمانها در برابر زلزله که در واقع آئین‌نامه بارگذاری زلزله است، و نیز آئین‌نامه طراحی ساختمانهای بتن مسلح (مثل آبا) تسلط کافی داشته باشد. البته باید دانست که طراح نمی‌تواند مسئولیت طراحی خود را بر عهده هیچ آئین‌نامه‌ای بگذارد. به عبارت ساده‌تر اگر کلیه جزئیات آئین‌نامه معتبر هم رعایت شود، هیچگونه مصنوعیتی برای طراح در قبال هرگونه حادثه احتمالی در زمان بهره‌برداری ساختمان که ناشی از عدم طرح سازه‌ای مناسب باشد، تأمین نخواهد شد. لذا طراح باید به قضاوت مهندسی خود متکی باشد. بهمین دلیل خوب است بر حداقل ۲ یا ۳ آئین‌نامه مسلط باشد تا در موارد خاص بهترین تصمیم را مبتنی بر استفاده جامع از آئین‌نامه‌ها، اتخاذ نماید.

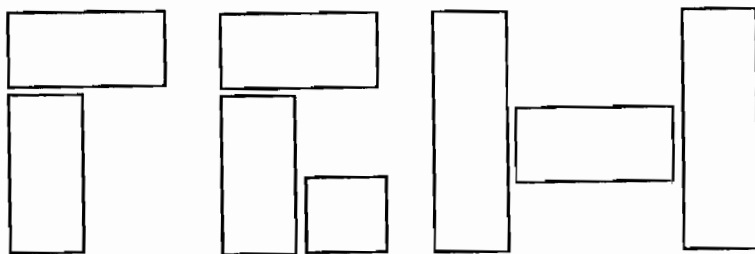
۲-۲- آرایش سازه ساختمان

معمولاً طرح معماری که نیازهای اصلی ساختمان را در زمان بهره‌برداری مشخص می‌کند، نحوه استقرار ستونها، تیرها و سایر اجزای سازه‌ای را تعیین می‌کند. البته پس از مشورت با طراح سازه‌ای و در نظر گرفتن مسائل اقتصادی ناشی از نوع طرح معماری و سازه‌ای و پیش‌بینی عملکرد مناسب سازه ساختمان در برابر بارهای ثقلی [۱۹] و بارهای جانبی (زلزله) آرایش سازه تعیین می‌گردد. طراح سازه باید تلاش نماید تا سازه‌ای که بر می‌گزیند حتی‌المقدور متقارن و منظم باشد و تغییرات سختی قابل ملاحظه‌ای در آرایش اجزای سازه‌ای در پلان و در ارتفاع

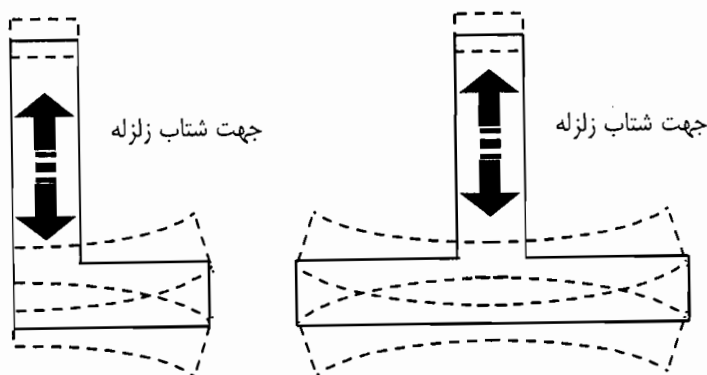


بوجود نیارد. از این جهت نظرات طراح سازه باید همواره مورد توجه معمار و مالک قرار گیرد و البته نقش خود او در لزوم رعایت این نکات بسیار حائز اهمیت است. به عنوان مثال، در شکل ۲-۱ نحوه استقرار بخشهای مختلف ساختمان بصورت بلوکهای مجزا نشان داده شده است. در هر یک از این ساختمانها معلوم می‌گردد که این جداسازی باید مورد توجه معمار قرار گیرد تا نحوه توزیع نیروهای ناشی از زلزله یا باد که موجب حرکت دادن بلوکهای مجزا در دو جهت افقی می‌گردد، باعث وارد آمدن خسارت به آنها نشود. توازن و تقارن در پلان و در ارتفاع از نخستین موارد مهم سازه‌ای است که در طرح معماری باید رعایت شود. در شکل ۲-۲ نشان داده شده است که عدم جداسازی بلوکها نیروهای قابل توجهی بین دو قسمت وارد می‌سازد که با جدا نکردن آنها از یکدیگر حرکت افقی یکی نسبت به دیگری و همچنین تغییر شکل خمشی بخشی از ساختمان نسبت به بخش دیگر ایجاد می‌شود. از اینرو در پلان ساختمان باید تقارن رعایت شود. اگر در پروژه‌ای خاص عدم تقارن در پلان الزامی باشد، باید حدودی برای آن در نظر گرفت. با رجوع به شکل ۲-۳ مشاهده می‌شود که پلانهای نامناسب در کنار پلانهای مناسب آورده شده‌اند. در این شکل ابتدایی‌ترین توصیه‌های مربوط به تعیین پلان ساختمان ارائه شده است تا طراح معماری به این نکته‌ها توجه نماید. البته طراح سازه‌ای نیز باید بداند که عدم رعایت این توصیه‌ها مشکلات تحلیلی عدیده‌ای را برای رفتار کلی و موضعی ساختمان، بوجود می‌آورد. در هر صورت مجموع طول قسمتهای اضافی در یک جهت نباید از ۲۵ درصد طول اصلی همان جهت بیشتر باشد. به عبارت دیگر باید دو شرط زیر محقق شود [۲۰].

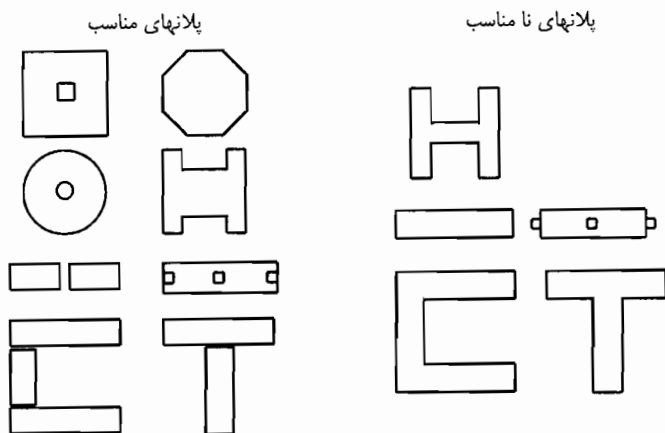
$$\frac{\sum l_{ix}}{L_x} \leq 0.25 \quad , \quad \frac{\sum l_{iy}}{L_y} \leq 0.25 \quad (1-2)$$



شکل ۲-۱- جداسازی بلوک‌های ساختمانی در پلان و ارتفاع

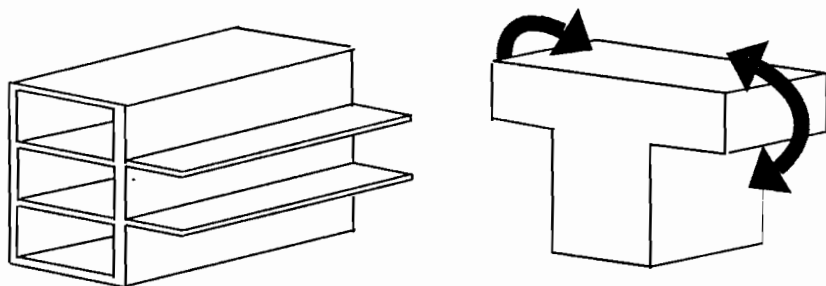


شکل ۲-۲- عدم وجود تقارن در پلان و ارتفاع ساختمان که ایجاد خمش ناشی از زلزله می‌کند.



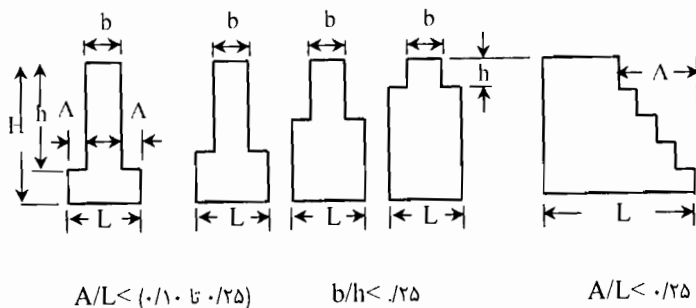
شکل ۲-۳- مقایسه بین پلانهای مناسب و نامناسب

از نکات بسیار مهم دیگر که در رفتار کلی و موضعی ساختمانها باید مورد توجه قرار گیرد، رفتار آنها در برابر شتاب قائم زلزله است که بیشترین اثر را بر روی اعضای طره افقی می‌گذارد. گرچه مسائل مهم دیگری در اثر مؤلفه قائم شتاب زلزله بر ساختمانها بوجود می‌آید، لیکن ابتدایی‌ترین آنها اثر بر اجزای افقی و بویژه طره‌های افقی است. بنابراین طراح معماری باید در هماهنگی با طراح سازه‌ای این اثر را برای قسمتهایی که بصورت طره افقی یا پیشامدگی‌های در ارتفاع باید تعییبه شوند، در نظر بگیرد. در شکل ۲-۴ وضعیت ساده‌ای از این اثر ملاحظه می‌شود.



شکل ۲-۴- اثر خمشی و پیچشی شتاب قائم زلزله بر روی طره افقی و پیش‌آمدگی فوقانی

و اما نکته دیگر که در طراحی لرزه‌ای یک ساختمان باید مورد توجه جدی قرار گیرد این است که تغییرات یا نامنظمی در ارتفاع باید محدود باشد. در شکل ۲-۵ نشان داده شده است که مجموع طول افقی عقب‌نشینی در ارتفاع نباید از ۲۵ درصد طول ساختمان بیشتر باشد. همچنین ارتفاع ساختمان نباید از ۴ برابر عرض آن بیشتر باشد [۲۰] و اگر از این مقدار تجاوز نماید، تغییر مکان جانبی ساختمان زیاد خواهد شد که در این صورت طراح سازه باید شرایط مربوط به مرحله بهره‌برداری را بطور جدی کنترل نماید.



شکل ۲-۵- محدودیت‌های ساختمانی نامنظم

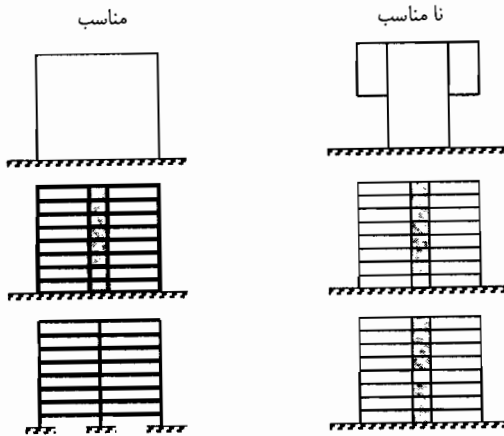
چنانچه به دلایلی لازم باشد در ارتفاع ساختمان نامنظمی خاصی بوجود آید، باید دانست که تحلیل سازه‌ای آنها با روش استاتیکی معادل رفتار مطلوب سازه را بدست نخواهد داد، بلکه لازم است از روشهای دینامیکی تحلیل آنها انجام شود، تا تمرکز تنش در نواحی که اختلاف سختی قابل توجه بین قسمت فوقانی و قسمت تحتانی ایجاد می‌شود، تعیین گردد. در شکل ۲-۶ حالات



مختلفی از ایجاد تمرکز تنش در نواحی که تغییرات سختی یا عدم توزیع سختی یکنواخت در ارتفاع وجود دارد، نشان داده شده است و برای رفع این قبیل مشکلات، توصیه‌های لازم بصورت تفکیک وضع مناسب از نامناسب آورده شده است.

بطور کلی اگر شرایط زیر برای هر ساختمانی فراهم شود، دارای رفتار لرزه‌ای مناسبی خواهد بود.

- ۱- عضوهای سازه‌ای برابر بطور یکنواخت در تمام سطح و ارتفاع سازه توزیع شوند.
- ۲- تمام ستونها و دیوارها بطور یکپارچه تا شالوده ساخته شوند.
- ۳- تمام تیرها بدون خمیدگی یا انحراف باشند.
- ۴- ستونها و تیرها هم‌محور باشند.
- ۵- تا جائیکه امکان دارد عرض تیرها و ستونها با یکدیگر برابر باشد.
- ۶- در هیچ عضو اصلی، تغییر سطح مقطع ناگهانی وجود نداشته باشد.
- ۷- تا جائیکه ممکن است سازه بصورت یک مجموعه کامل، یکپارچه و هماهنگ باشد.



شکل ۲-۶- آرایش المانهای سازه‌ای در ارتفاع

۲-۳- بارهای وارده بر ساختمان

ابتدائی‌ترین بارهای وارده بر هر ساختمانی عبارتند از بارهای ثقلی و بارهای جانبی. بارهای ثقلی و جانبی می‌توانند بصورت استاتیکی یا دینامیکی اعمال شوند ولی معمولاً منشأ بارهای ثقلی چه از نوع مرده و زنده آن بصورت استاتیکی هستند و فقط بارهای جانبی ناشی از باد و زلزله بصورت دینامیکی به ساختمان وارد می‌شوند. گر چه بارهای زنده را در حالت‌های خاصی می‌توان بصورت



دینامیکی در نظر گرفت. مثل هنگامی که حرکت افقی (در دو جهت) و قائم جرتقیل سقفی برای یک سیستم سازه‌ای که اجسام سنگین را جابجا می‌کند، در نظر گرفته شود.

در هر حال توزیع بارهای مرده که بیشتر ناشی وزن اجزاء ساختمان است، بصورت یکنواخت در نظر می‌گیرند و بارهای جانبی ناشی از باد را بر سطح خارجی معادل که عمود بر جهت وزش باد باشد، در واحد آن سطح در نظر می‌گیرند. بطور کلی می‌توان با تقریب قابل قبولی گفت که ساختمانهای فولادی از ساختمانهای بتن مسلح و با مصالح بنایی سبک‌تر هستند. میانگین وزن ساختمانهای فولادی را می‌توان بین 245 Kg/m^2 تا 390 Kg/m^2 و یا بین ۸۰ تا ۱۲۸ کیلوگرم بر مترمکعب تخمین زد.

در مورد ساختمانهای بتن مسلح این ارقام به ترتیب بین ۴۸۰ تا ۷۸۰ کیلوگرم بر مترمربع یا ۱۶۰ تا ۲۵۰ کیلوگرم بر مترمکعب تخمین زده می‌شود، یعنی حدود دو برابر نوع فولادی. اگر بار زنده را نیز بطور متوسط برای کل ساختمان اضافه کنیم وزن ساختمانهای بتن مسلح حدود ۳۰ تا ۴۰ درصد بیشتر از نوع فولادی می‌شود و در این حالت وزن کلی ساختمانهای فولادی و اداری در حدود ۱۶۰ کیلوگرم بر مترمکعب و وزن کلی ساختمانهای بتن مسلح از نوع اداری در حدود ۲۲۰ تا ۲۸۰ کیلوگرم بر مترمکعب و ۳۲۰ کیلوگرم بر مترمکعب برای نوع مسکونی برآورد می‌شود. بی‌تردید اگر از مصالح با مقاومت بالا استفاده شود، از وزن این ساختمانها کاسته می‌شود. لازم به ذکر است که اگر قرار باشد، بهبود رفتار ساختمان را با کنترل مقاومت و نه با کنترل سختی آن بدست آوریم، می‌توان از مصالح با مقاومت بالا استفاده کرد.

تاکنون برآوردها نشان می‌دهد که اگر سقفها را از نوع بتن سبک اختیار کنیم می‌توان وزن ساختمان را در حدود 50 Kg/m^2 تا 100 Kg/m^2 کاهش داد.

وزن اسکلت ساختمانهایی که سازه آنها از نوع قاب است، در حدود ۱۰ تا ۲۰ درصد کل بار مرده را بخود اختصاص می‌دهد. البته این مقدار با تغییر در ارتفاع، تغییر می‌کند. یعنی اگر قاب فولادی ۱۰ طبقه باشد در حدود ۴۹ کیلوگرم بر مترمربع وزن دارد در حالی که اگر همین قاب فولادی ۱۰۰ طبقه باشد (تعداد طبقات ۱۰ برابر شده است) در حدود ۱۴۵ کیلوگرم بر مترمربع وزن خواهد داشت، به زبان دیگر یعنی وزن در حدود ۳ برابر می‌شود.

از دیگر بارهای وارده به ساختمان، بار ناشی از زلزله است. حرکت زمین در اثر زلزله موجب اعمال نیروهای درونی در اجزاء ساختمان می‌شود. به عبارت دیگر ساختمان بر روی زمینی که بصورت تصادفی و غیرهمگن در حال ارتعاش است، برای پایداری خود باید نیروهایی را در خلاف جهت



ارتفاع زمین تحمل نماید. شبیه کسی که در اتومبیل در حرکت نشسته است که اگر شتاب اتومبیل زیاد شود او به عقب رانده می‌شود و اگر شتاب اتومبیل با اعمال ترمز کاهش یابد، او به جلو رانده می‌شود، وضعیت آن بخش از ساختمان که از زمین بیرون است (روی زمین قرار دارد) دچار چنین حالتی که رفت و برگشتی است می‌شود. علت این امر اینرسی مربوط به جرم ساختمان است که باید در مقابل حرکت زمین مقاومت کند.

مدت زمانیکه طول می‌کشد تا ساختمان در برابر شتاب زمین عکس‌العمل نشان دهد، عامل بسیار مهمی است که از خواص لرزه‌ای یا دینامیکی ساختمان محسوب می‌شود. اکنون اگر فرض کنیم که ساختمان بطور کامل صلب است، یعنی عواملی نظیر نرمی، نوع سازه، توزیع جرم، موقعیت محلی و شرایط ساختگاهی را در بازتاب یا عکس‌العمل آن در نظر نگیریم، بر طبق قانون دوم نیوتن حاصلضرب جرم ساختمان در شتاب زمین نیروی جانبی اعمال شده به ساختمان را بدست می‌دهد. در این حالت نسبت وزن ساختمان (W) به شتاب ثقل (g)، جرم (M) آنرا تعیین می‌کند به نحوی که داریم:

$$V = M \cdot a \quad \text{نیروی جانبی اعمالی} \quad (۲-۲)$$

$$V = \frac{W}{g} \cdot a = \left(\frac{a}{g}\right) W \quad (۳-۲)$$

نسبت a/g را ضریب نیروی لرزه‌ای تعریف می‌کنند پس نیروی جانبی برابر است با حاصلضرب این نسبت در وزن ساختمان که آنرا با C نشان می‌دهند.

$$V = C \cdot W \quad (۴-۲)$$

این رابطه بیان می‌کند که نیروی جانبی به شتاب زمین و شتاب ثقل و وزن ساختمان بستگی دارد. اما باید توجه داشت که این مقدار نیرو می‌تواند در اثر عوامل دیگری مانند آنهایی که در بالا اشاره شد، کمتر یا بیشتر شود. بنابراین مسئله مهم این است که اولاً نیروی جانبی درصدی از وزن ساختمان باشد و ثانیاً عوامل مؤثر در این درصد بخوبی شناسایی و بکار برده شوند. به بیان دیگر ضریب C مقداری واقعی باشد. اما از طرفی وقوع زمین‌لرزه و انرژی آزاد شده از طرف آن و عوامل متعدد دیگر در این ضریب دخالت دارند که تعیین آنرا براحتی میسر نمی‌سازد.

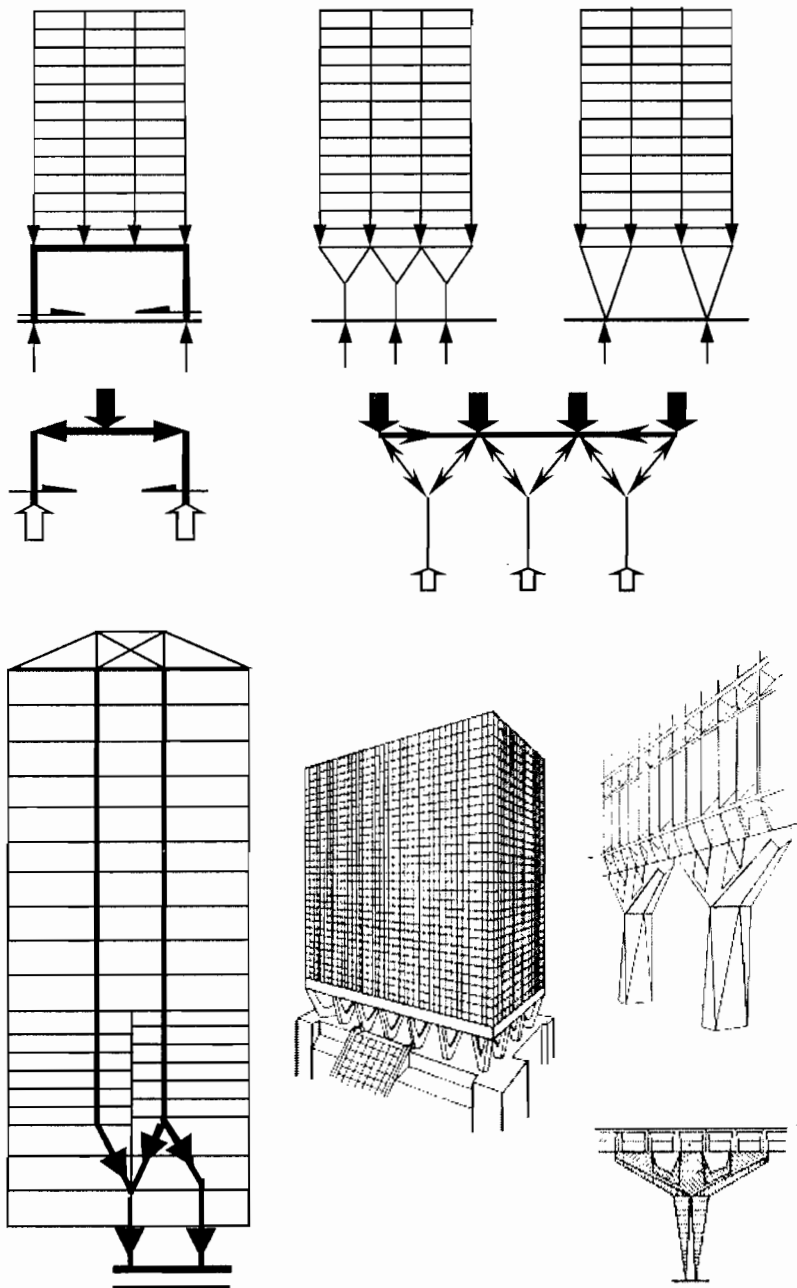


معمولا برای ساختمانهای مرتفع که ارتفاع آنها بیش از ۱۵ طبقه باشد مقدار ضریب C برای ساختمانهای شکل پذیر (نرم) در حدود ۵ درصد و برای ساختمانهایی که توسط دیوارهای برشی سخت تر شده اند تا حدود ۲۰ درصد خواهد بود. البته در مورد قابهای بتن مسلح که وزن بیشتر دارند این ضریب بیشتر از ساختمانهای فولادی است.

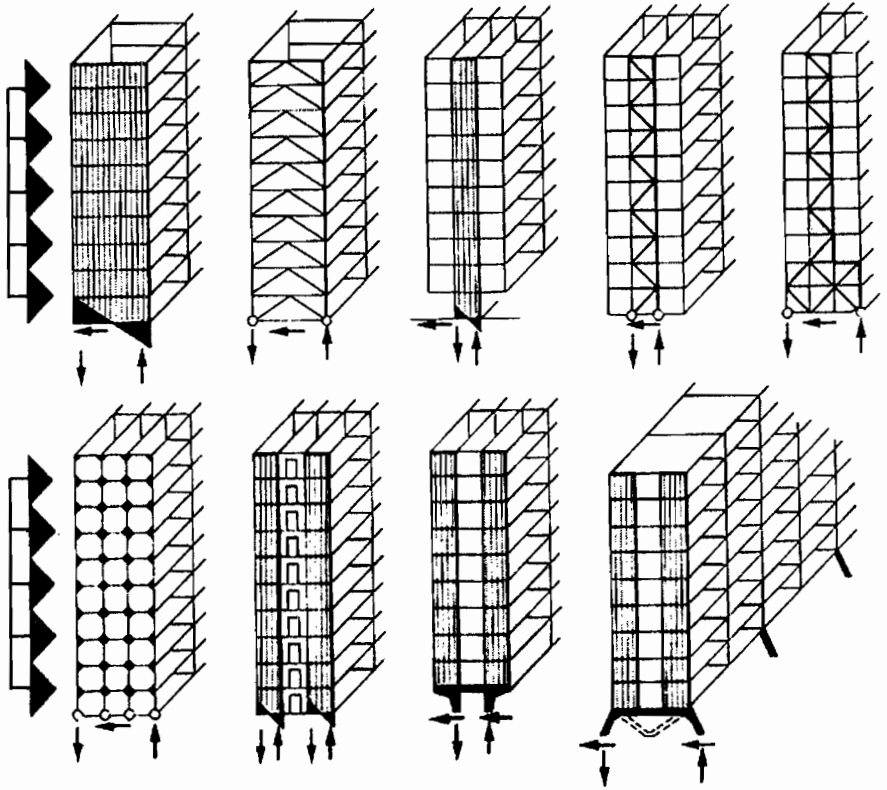
۲-۴- مسیر توزیع نیروها در اجزای سازه‌ای

نیروهای اعمالی به یک ساختمان باید از طریق مقاومت اجزای سازه‌ای آن اولا تحمل شده و ثانيا در یک مسیر قابل قبول که پایداری کلی ساختمان را مخدوش ننماید، به زمین منتقل شوند. در شکل ۲-۷ مسیرهای مختلفی برای عبور نیروهای ثقلی ارائه شده‌اند. آنچه که مسلم است این است که بارهای ثقلی اعم از مرده و زنده به کفها اعمال شده و آنها را تحت اثر خمش یا برش قرار داده که پس از تحمل کردن آنها باید این نیروها به عناصر پیرامونی مثل تیرها منتقل شده و از آنها به ستونها بصورت محوری انتقال یابند تا سرانجام به شالوده و پس از آن به زمین برسند. جای تردید نیست که می‌توان در نوعی از سیستم‌های سازه‌ای از تیرها صرف نظر کرد و فقط از ترکیب دالهای کف و ستونها استفاده نمود. چنانچه در شکل ۲-۷ ملاحظه می‌شود ستونها می‌توانند قائم، مورب یا ترکیبی از این دو در پائین‌ترین قسمت ساختمان باشند.

در قسمت فوقانی پائین‌ترین طبقه ضرورت وجود عناصر پیرامونی (برای کف) که باید متحمل نیروی برشی افقی قابل توجهی شوند، از مهمترین نکاتی است که باید مورد توجه قرار گیرد. اما در مورد نیروهای جانبی، پس از آنکه بطور قابل قبول و صحیحی در ارتفاع ساختمان توزیع شدند، موجب حرکت جانبی ساختمان شده و باید عناصر سازه‌ای آن به نحو مطلوبی آنها را تحمل و به عناصر قائم منتقل و سپس روانه شالوده زمین بنمایند. آنچه که در شکل ۲-۸ نشان داده شده است، حالتی از توزیع نیروهای جانبی در سیستم‌های مختلف سازه‌ای می‌باشد که در نهایت در پای سازه بصورت نیروهای محوری، لنگر خمشی و برش افقی ظاهر می‌شود.



شکل ۲-۷- جریان یا مسیر عبور نیروهای ثقلی [۲۱]



شکل ۲-۸- مقاومت سیستم‌های سازه‌ای مختلف در مقابل واژگونی [۲۱]

۲-۵- بارهای طراحی

برای تعیین مقدار و چگونگی اعمال بارهای مرده و زنده یا نیروهای ناشی از زلزله، باید بر طبق آئین‌نامه خاصی اقدام کرد. اما این کار چندان هم ساده نیست، زیرا، بطور مثال، در طرح اولیه چگونه می‌توان مقدار بار مرده مصالح و اجزایی را که فعلاً در این مرحله مشخص نیستند، بدست آورد. از اینرو داشتن تجربه کافی برای مهندس معمار و مهندس سازه، کمک شایانی به رفع این مشکل خواهد بود. به‌رحال برای بدست آوردن بارهای مرده و زنده باید بر طبق دستورالعمل استاندارد ۵۱۹ ایران عمل کرد. اما در یک ساختمان چند طبقه و چند دهانه، احتمال اینکه همه دهانه‌ها در تمام طبقه‌ها بطور همزمان در حال تحمل بارهای زنده باشند، بسیار ضعیف و بلکه غیرمحمتمل است. از اینرو آئین‌نامه‌های مختلف بارگذاری و منجمله استاندارد ۵۱۹ ایران، برای بارهای زنده ضریب کاهش تحت عنوان "کاهش سربار" اعمال می‌کند.



مثلاً آئین‌نامه حداقل بارهای وارده بر ساختمانها و سایر ابنیه که توسط مؤسسه ملی استاندارد آمریکا (ANSI AS8.1-1982)، برای سطح باربری که برابر یا بیشتر از ۴۰۰ فوت مربع باشد، مقدار بار زنده را به کمک رابطه ۲-۵ کاهش می‌دهد.

$$L = L_o (0.25 + 15 / \sqrt{A}) \quad (5-2)$$

که در آن L بار زنده کاهش یافته برحسب پوند بر فوت مربع و L_o بار زنده کاهش نیافته برحسب پوند بر فوت مربع و A تمامی سطح مؤثر برابر برحسب فوت مربع می‌باشد [۲۱].

شبهه همین رابطه انجمن استانداردهای نیوزلند در آئین‌نامه طراحی ساختمانها و بارگذاری آنها، (NZS 4203:1989) ارائه کرده است که در آن L و L_o مانند رابطه قبلی بوده ولی A برحسب مترمربع بوده و نباید کمتر از ۲۰ مترمربع باشد [۲۲].

$$L = L_o (0.3 + 3 / \sqrt{A}) \leq L_o \quad (6-2)$$

بطور کلی باید بارهای ناشی از وزن اعضای سازه‌ای و غیرسازه‌ای و بارهای زنده و نیز بارهای ناشی از شرایط ساخت و ساز در طرح اولیه و طرح نهایی منظور شوند. یکی دیگر از نیروهای اعمالی، ناشی از نیروهای دینامیکی است که البته آنچه مورد بحث ما در این کتاب است، نیروهای دینامیکی زلزله است. نیروهای دینامیکی در مقایسه با نیروهای استاتیکی به مراتب بزرگتر هستند. هر قدر زمان تناوب در بارهای دینامیکی کوتاه‌تر باشد، نیروی دینامیکی وارده بیشتر خواهد بود. البته نباید از نظر دور داشت که مقدار و چگونگی نیروی دینامیکی به تنهایی تعیین‌کننده نیست، بلکه بازتاب ساختمان یا عکس‌العمل آن که به خواص دینامیکی آن مربوط می‌شود، نقش مهمی در این بحث دارد.

۲-۶- ترکیب بارها برای طراحی

اصلی‌ترین نیروهایی که برای طراحی لرزه‌ای مورد نیاز هستند، قبلاً عنوان شدند، لیکن نباید برخی از نیروهای دیگری که در اثر عوامل مختلفی به سازه وارد می‌شوند از نظر طراح پنهان بماند. گر چه در این کتاب همه آنها بطور مشروح ذکر نشده‌اند، لیکن در نحوه ترکیب بارها سعی بر این است همه آنها مورد توجه قرار گیرند و خواننده محترم برای بارهای دیگر، مثلاً نیروهای ناشی از اختلاف درجه حرارت، به مراجع ذیربط مراجعه نماید. در این قسمت نحوه ترکیب بارها که باید برای طراحی لرزه‌ای مورد استفاده قرار گیرد بیان می‌شود.



در هر صورت بارها یا بصورت منفرد بر سازه اعمال می‌شوند یا بصورت ترکیبی. طراح باید هرگونه احتمال ترکیب آنها را مورد توجه قرار دهد و چنانچه بدترین حالت که به معنای بیشترین ترکیب بارها می‌باشد، در نظر بگیرد. اما باید توجه داشت که گاهی معقول و منطقی نیست که بارها همگی با هم ترکیب شوند، برای مثال، برای نیروهای ناشی از باد که هر ۵۰ سال یکبار ممکن است با نیروهای ناشی از زلزله ترکیب شود و ظرف حداکثر ۳۰ تا ۶۰ ثانیه ساختمان را تحت اثر ترکیبی و حتی تخریبی خود قرار دهد، چنین ترکیبی الزامی باشد. یا اینکه بر اثر همزمانی احتمالی نیروی شدید باد با نیروی ناشی از بار برف بمنظور تخلیه برف از روی بام بخواهیم این دو را با یکدیگر ترکیب کنیم.

بنابراین نحوه ترکیب بارها با یکدیگر باید بر مبنای بیشترین احتمال ترکیب، مورد توجه طراح باشد. البته غالب آئین‌نامه‌های بارگذاری به این مهم توجه نموده‌اند. در هر صورت ترکیب بارها باید با توجه به نوع و هدف طراحی انجام شود. از آنجا که روشهای طراحی مشتمل بر روش‌های تنش مجاز، مقاومت حدی (برای سازه‌های بتن مسلح) و روش ضریب بار و مقاومت (برای سازه‌های فولادی) بکار می‌رود ابتدا این روشها را ذکر کرده و آنچه که در ارتباط با استاندارد ۲۸۰۰ ایران و آئین‌نامه بتن ایران (آبا) آمده است، بیان می‌کنیم.

در طراحی به روش تنش مجاز که معمولاً برای ساختمانهای فولادی و مصالح بنایی بکار می‌رود تنشهای مجاز دارای یک ضریب ایمنی ساده هستند، که بمنظور در نظر گرفتن آثاری از قبیل، اضافه بار احتمالی، تغییر در خواص مهندسی مصالح، تنشهای پس ماند و سایر عوامل ناشناخته و نامعلوم بر رفتار ساختمان، بکار برده می‌شود. معمولاً برای ترکیب بارها در چنین وضعیتی از ضرایب ترکیب بار برای کاهش اثر ترکیبی آنها استفاده می‌شود. شبیه همین روش برای طرح خمیری سازه‌های فولادی بکار می‌رود.

در طراحی به روش مقاومت حدی برای ساختمانهای بتن مسلح از دو ضریب جداگانه استفاده می‌شد، یکی ضریب بارها بمنظور دخالت دادن عوامل ناشناخته و اثرگذار در ترکیب بارها و دیگری ضریب مقاومت بمنظور در نظر گرفتن عوامل نامعلوم و اثرگذار بر مقاومت مصالح بکار رفته. بدین ترتیب در این روش، طراحی مبتنی بر مقاومت واقعی استوار است و نه تنش‌های محاسبه شده غیرواقعی. ذیلاً علائم مربوط به انواع بارها را آورده و برای حالت روش تنش مجاز و روش مقاومت حدی، نحوه ترکیب آنها ارائه می‌شود.

بار مرده ناشی از اعضای سازه‌ای و غیرسازه‌ای که مدام حضور دارند $D=$

بار زنده در اثر اشغال ساختمان توسط ساکنین، اجزاء و وسائل منقول و جداکننده‌های متحرک $L=$



L_r = بار زنده بام

W = بار باد

S = بار برف

E = بار یا نیروی زلزله

R = بارهای ناشی از باران یا یخ که ممکن است اثرگذار باشند

T = بارهای ناشی از اختلاف درجه حرارت، تغییرات رطوبت، وارفنگی، خزش و اختلاف نشست

H = بارهای ناشی از فشارهای جانبی خاک و آب موجود در خاک

F = بارهای ناشی از سیالات که بخوبی فشار آنها تعریف شده باشد

P = (ponding) بارهای ناشی از اثر برخورد

برای طرح تنش مجاز ترکیب بارها بقرار ذیل است:

D

$D + L + (L_r \text{ یا } S \text{ یا } R)$

$D + (W \text{ یا } E)$

$[D + L + (L_r \text{ یا } S \text{ یا } R) + (W \text{ یا } E)] \cdot 0.75$

$[D + L + (L_r \text{ یا } S \text{ یا } R) + T] \cdot 0.75$

$[D + (W \text{ یا } E) + T] \cdot 0.75$

$[D + (L_r \text{ یا } S \text{ یا } R) + (W \text{ یا } E) + T] \cdot 0.66$

(۷-۲)

آئین‌نامه‌ها برای اینکه اثر ترکیبی بارها را منظور نمایند، اجازه می‌دهند که یا تنشهای مجاز افزایش داده شوند و یا اینکه بطور معادل، بارها با یک ضریب کاهنده، کاهش یابند. برای مثال، هنگامی که بار مرده (D) و بار زنده (L) و بار ناشی از باد (W) بطور همزمان در نظر گرفته می‌شوند، تنشهای مجاز را می‌توان ۳۳٪ افزایش داد یا بارها را به مقدار ۲۵٪ کاهش داد. این عمل معادل آن است که ترکیب بارها در ضریب ۰/۷۵ ضرب شود.

در طرح ارتجاعی (الاستیک) باید تنشهای کلیه اعضای سازه‌ای بر پایه تحلیل ارتجاعی محاسبه شود، با این توجه که رفتار مصالح این اعضاء در محدوده ارتجاعی آنها باشد. بنابراین بارهای سرویس باید تنشهایی را ایجاد نمایند که کمتر از تنشهای مجاز باشند. بهمین دلیل آئین‌نامه‌های مختلف تنشهای مجاز را ضریبی از تنش حد ارتجاعی یا تنش تسلیم ارائه می‌دهند. برای مثال، تنش مجاز خمشی برای یک تیر بتن مسلح برابر با $0.45f_c$ می‌باشد. f_c عبارت است از مقاومت یک نمونه استاندارد مکعبی.



طرح خمیری (پلاستیک) نیز شبیه روش طرح ارتجاعی است، با این تفاوت که در این روش نیروها و لنگرها بر مبنای بارهای ضریب‌دار محاسبه شده و موجب می‌شوند تا تمام یا بخش قابل توجهی از سازه به شکست نزدیک شود. در طرح خمیری شکل‌پذیری اعضا و کل سازه در نظر گرفته می‌شود به نحوی که این شکل‌پذیری در مقطعی که مقدار لنگر به حد خمیری رسیده باشد (M_p) دچار دوران شود، به عبارت دیگر لولای خمیری در آن مقطع تشکیل شود. در این وضعیت عمل باز توزیع موجب می‌گردد که تنشهای اضافی از قسمتهایی که شدیداً تحت اثر تنشهای زیاد قرار گرفته‌اند، به قسمت‌هایی که کمتر تحت اثر تنش واقع شده‌اند، منتقل گردد. بدین ترتیب ظرفیت پذیرش بار توسط سازه بیشتر می‌شود.

در هر صورت در سازه‌های بتن مسلح معمولی، به علت پائین بودن ظرفیت شکل‌پذیری، باز توزیع در بین اعضا خیلی زیاد نخواهد بود. بهمین جهت برای این قبیل سازه‌ها سه سطح شکل‌پذیری متفاوت در نظر گرفته می‌شود و لازم است برای مناطق زلزله با خطر نسبی خیلی زیاد و زیاد، سازه‌های بتن مسلح از شکل‌پذیری زیاد برخوردار باشند، تا این نقیصه مرتفع گردد.

همانگونه که بیان شد در طرح حدی مقاومت، مسائل و ناشناختگی‌های اتفاقی یا غیراتفاقی در بارگذاری و در مقاومت مصالح مصرفی در نظر گرفته می‌شوند. در این روش اثر ترکیب بارها باید به نحوی باشد که از مقاومت سازه‌ای اجزاء که با نحوه خاصی از شکست توجیه می‌شود، تجاوز ننماید. به عبارت ساده‌تر در این روش باید مقاومت طراحی (محصول طراحی) باید مساوی یا بیشتر از مقاومت موردنیاز باشد. این محاسبه پس از تحلیل سازه تحت اثر ترکیب‌های گوناگون بارها انجام می‌شود. بنابراین داریم:

$$(مقاومت طراحی) \leq (مقاومت موردنیاز یا اثر بارهای طراحی)$$

در این مباحث، منظور از مقاومت آن است که مقاومت را در دو سطح بهره‌برداری حدی و سطح حدی نهایی در بر می‌گیرد.

در این روش دو نوع ضریب بکار می‌رود، یکی ضریب مقاومت که به ϕ نشان داده می‌شود و دیگری ضریب بار که به γ نشان داده می‌شود. این دو ضریب برای در نظر گرفتن عدم دقت در تئوریها، تغییرات احتمالی در خواص مهندسی مصالح، ابعاد و اندازه اعضای سازه‌ای و همچنین در برآورد بارها بعنوان درجه نامعلومی و ناشناختگی‌ها بکار می‌روند.



جدول ۱-۲ - ضرایب بارهای طراحی و نحوه ترکیب آنها برای سازه‌های بتن مسلح

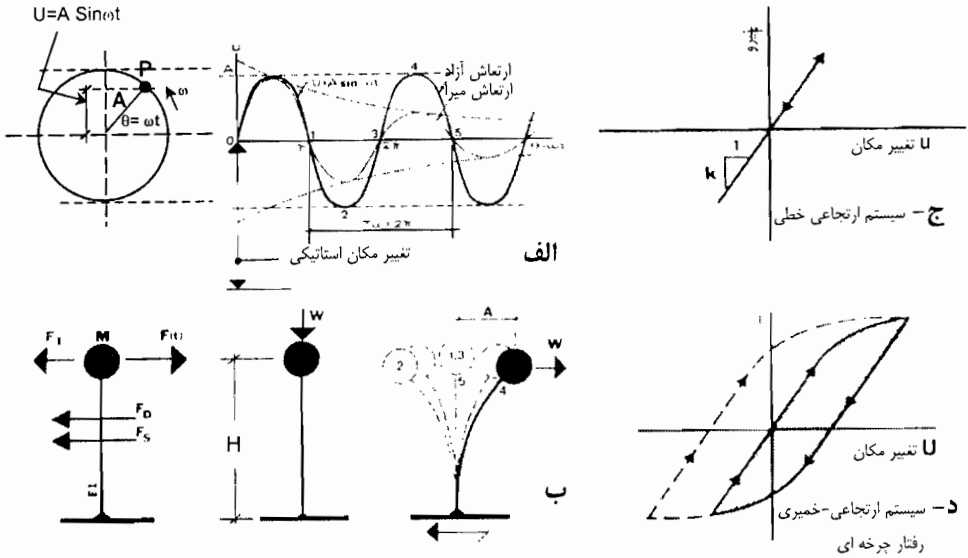
| اثرین نام | ضرایب بارها و نحوه ترکیب آنها | ضرایب کاهش مقاومت ϕ برای حالات مختلف |
|-------------------------------------|--|---|
| اثرین نام بتن ایران] [۳۳ روش آبا | $1/25D + 1/5L$ | ضریب جزئی ایمنی بتن ۰/۶ |
| | $D + 1/2L + 1/2E$ | ضریب جزئی ایمنی آرماتور ۰/۵۸ |
| | $0/85D + 1/2E$ | تنش خمشی بتن ۰/۱۵ |
| | $1/25D + 1/5L + 1/5H$ | در فشار محوری و خمش برای بتن ۰/۱۰۸ |
| | $0/85D + 1/5H$ | در فشار محوری و خمش برای فولاد ۰/۶۸ |
| | $D + 1/2L + T$ $1/25D + 1/25T$ | مقاومت اتکایی نهایی بتن ۰/۵۱ |
| روش ACI آمریکا] [۱۱ | $1/4D + 1/2L$ | برای کشش محوری، خمش، خمش توأم با کشش ۰/۹ |
| | $1/4D + 1/4T$ | برای برش و پیچش ۰/۸۵ |
| | $1/05D + 1/275L + (1/275W یا 1/4025E)$ | خمش برای بتن غیر مسلح ۰/۶۵ |
| | $1/05D + 1/05T + 1/275L$ | لهیدگی در بتن ۰/۷۰ |
| | $0/9D + (1/3W یا 1/43E)$ | ستونها دارای تنگ ۰/۷۰ |
| | | ستونهای دارای خاموت ماریچ یا دوربیچ ۰/۷۵ |

در جدول ۱-۲ نحوه ترکیب بارها و ضرایب آنها برای طراحی سازه‌های بتن مسلح مبتنی بر اثرین نام آبا و ACI آورده شده است. همچنین ضرایب کاهش برای مقاومت ϕ در شرایط مختلف ارائه شده است.

۲-۷- نیروی ناشی از زلزله

معمولا برای طراحی اولیه در قلمرو رفتار ارتجاعی، سازه ساختمان را بصورت یک سیستم یک درجه آزادی ارتجاعی که جرم آن در بالاترین قسمت متمرکز است، فرض می‌کنند. این مدل سازی موجب می‌شود که بتوان آنرا بصورت یک آونگ (پاندول) وارونه که فقط دارای یک نوع حرکت نشان داده شده در شکل ۲-۹ می‌باشد، در نظر گرفت.

رفتار چنین سیستمی تحت بارهای تناوبی کم شدت باید موجب شود تا مصالح آنها در قلمرو ارتجاعی باقی بمانند، اما هنگامی که این سیستم تحت اثر نیروهای ناشی از زلزله واقع



شکل ۲-۹- پاسخ یک سیستم یک درجه آزاد تحت اثر بارهای تناوبی

می‌شود، ممکن است رفتار مصالح آن وارد قلمرو غیرارتجاعی نیز بشود. در شکل ۲-۹-ج تغییرات مکانی سیستم در مقابل نیروهای اعمالی به صورتی است که جرم متمرکز پس از جابجایی به جای اولیه خود باز می‌گردد، به عبارت دیگر رفتار آن ارتجاعی خطی می‌باشد. اما اگر تعداد سیکل‌های بارگذاری تناوبی زیاد باشد، مثل آنچه که در زلزله رخ می‌دهد، رفتار مصالح وارد محدوده غیرارتجاعی خواهد شد و تغییر مکانها، از نوع تغییر مکانهای خمیری خواهند بود، که در شکل ۲-۹-د نشان داده شده است. در این شکل مشاهده می‌شود که با کاهش نیرو پس از ورود به قلمرو خمیری در نظر گرفتن حالت ایده‌ال، سختی سیستم تغییر نکرده و سطح زیرمنحنی بسته که یک دوره تناوب را پشت سر گذاشته باشد، مقدار انرژی استهلاک یافته را بدست می‌دهد. این منحنی را یک چرخه رفتاری یا اصطلاحاً منحنی هیستریزیس می‌گویند. از این جهت رفتار هیستریزیس از نوع ارتجاعی - خمیری است. در حالیکه برای رفتار ارتجاعی - خطی، همان مقدار انرژی که ذخیره شده بود، هنگام باربرداری آزاد شد. لازم بذکر است که شکل ۲-۹-د فقط برای یک سیستم یک درجه آزاد شکل‌پذیر صادق است. اما آنچه که بسیار حائز اهمیت است این است که در یک ساختمان مصالح مختلف و اجزاء گوناگون سازه‌ای و اتصالات عدیده با جزئیات متفاوت وجود دارند که همه اینها تحت اثر نیروهای



ناشی از زلزله واقع می‌شوند و هر یک به نوعی دارای رفتار مستقل بوده و اثر رفتار مجموعه‌ای آنها، رفتار سازه را تشکیل می‌دهد. هنگامی که انرژی استهلاک یافته خیلی زیاد است، کاهش سختی حداقل ممکن خواهد بود. درحالیکه منحنی هیستریزیس کاهنده، بیانگر آن است که در سیکل‌های متناوب، بارهای دینامیکی، مقاومت و سختی کاهش می‌یابد.

در شکل ۲-۹-الف ارتعاش آزاد یک سیستم یک درجه آزادی ایده‌آل بصورت سینوسی آورده شده است که با توجه به جزئیات ارائه شده در این شکل و فرض اینکه خواننده محترم با مبانی دینامیک سازه‌ها آشنایی دارد از شرح مبسوط آن می‌گذریم. چنانچه ملاحظه می‌شود معادله دیفرانسیل حاکم بیان‌کننده ارتعاش هارمونیک و ساده سیستم است که با توابع سینوسی و کسینوسی قابل بیان است.

این حرکت ارتعاشی به کمک تصویر نقطه P که تحت اثر سرعت زاویه‌ای ثابت با فرکانس دایره‌ای " ω " در مسیر محیط دایره دوران دارد، قابل تشریح است. تغییر مکان زاویه‌ای نقطه P در هر لحظه از زمان " t "، برابر با θ می‌باشد.

مقدار این حرکت زاویه‌ای مساوی ωt خواهد بود. از آنجا که هر نقطه‌ای مانند P بر روی دایره، حرکت ارتعاشی و در نتیجه تغییر مکان ارتعاشی را بیان می‌کند، می‌توان تصور کرد که تغییر مکان جانبی جرم متمرکز بصورت تابعی از سرعت و حداکثر جابجایی یا حداکثر دامنه تغییر مکان قابل بیان است. چنانچه شعاع دایره A باشد، حداکثر تغییر مکان برابر با A خواهد بود. بنابراین اگر u مقدار تغییر مکان در هر لحظه از زمان باشد خواهیم داشت:

$$u = A \sin \omega t \quad (۸-۲)$$

مشتق اول و دوم آن نسبت به زمان به ترتیب سرعت و شتاب ارتعاش جرم را در خلال حرکت تناوبی بدست می‌دهد.

$$\frac{du}{dt} = \dot{u} = A\omega \cos \omega t$$

$$\frac{d^2u}{dt^2} = \ddot{u} = -A\omega^2 \sin \omega t \quad (۹-۲)$$

بنابراین نیروی ناشی از این شتاب برابر است با:

$$F_i = m\ddot{u} = -Am\omega^2 \sin \omega t \quad (۱۰-۲)$$



از طرفی نیروی دینامیکی اعمال شده $F(t)$ باید توسط این سیستم مقاومت شود. بنابراین نیروهای مقاومتی متشکل از نیروی ارتجاعی ناشی از سختی F_s ، نیروی اینرسی F_i و نیروی ناشی از میرایی F_d سیستم می‌باشد. نیروی متناظر با ضریب سختی سیستم (یعنی نیروی واحد به ازای واحد جابجایی) برابر با حاصلضرب سختی در تغییر مکان خواهد بود.

$$F_s = k \cdot u \quad (11-2)$$

همچنین نیروی ناشی از میرایی درونی سیستم که متناظر با ضریب میرایی (یعنی نیروی واحد در واحد سرعت) است، برابر خواهد بود با:

$$F_d = c\dot{u} = Ac\omega \cos\omega t \quad (12-2)$$

بدین ترتیب و با تکیه بر نظریه د - آلبرت داریم:

$$\begin{aligned} F_i + F_d + F_s &= F(t) \\ m\ddot{u} + c\dot{u} + ku &= F(t) \end{aligned} \quad (13-2)$$

اکنون مقادیر F_i ، F_d و F_s را در رابطه ۲-۱۳ جایگزین می‌کنیم:

$$-Am\omega^2 \sin\omega t + Ac\omega \cos\omega t + ku = F(t) \quad (14-2)$$

برای یک ارتعاش آزاد، یعنی هنگامی که جرم متمرکز بر روی طره قائم مفروض بصورت آزاد ارتعاش نماید مقدار $F(t) = 0$ است و اگر سازه دارای میرایی نباشد یعنی رفتار ذرات درونی آن انرژی قابل توجهی را مستهلک ننماید، خواهیم داشت:

$$\begin{aligned} Ac\omega \cos\omega t &= 0 \\ -Am\omega^2 \sin\omega t + ku &= 0 \end{aligned} \quad (15-2)$$

نکته جالب توجه در ارتعاش آزاد این است که مهمترین خاصیت دینامیکی سازه یعنی زمان تناوب طبیعی بروز می‌کند. از رابطه ۲-۱۵ داریم:

$$\omega^2 = \frac{k}{m} \quad (16-2)$$

یا مقدار فرکانس زاویه‌ای طبیعی برای سیستم بدون میرایی با ارتعاش آزاد برابر است با:

$$\omega = \sqrt{\frac{k}{m}} \quad \text{rad/s} \quad (17-2)$$



در این حالت که حرکت هارمونیک است، طول موج یک دوره تناوب طبیعی برابر است با:

$$\omega T = 2\pi \quad (18-2)$$

$$T = \frac{2\pi}{\omega} = 2\pi \sqrt{\frac{m}{k}} = 2\pi \sqrt{\frac{W}{gk}} \quad sec \quad (19-2)$$

در این حالت می‌توان حرکت ارتعاشی سازه را برحسب زمان نیز بیان کرد. برای اینکار، تعداد دوره‌های رفت و برگشت (تناوب) را در ثانیه که به آن بسامد (فرکانس) طبیعی ارتعاش می‌گویند، بصورت معکوس زمان تناوب طبیعی تعریف می‌کنند و آنرا با f نمایش داده و با واحد هرتز (Hz) می‌سنجند.

$$f = \frac{1}{T} = \frac{1}{2\pi} \sqrt{\frac{k}{m}} = \frac{1}{2\pi} \sqrt{\frac{gk}{W}} \quad Hz \quad (20-2)$$

این رابطه نشان می‌دهد که زمان تناوب طبیعی ساختمان به جرم و سختی آن وابسته است. هر قدر ساختمان سبکتر باشد زمان تناوب طبیعی آن کوتاهتر و فرکانس طبیعی‌اش بیشتر است و هر قدر سنگین‌تر باشد زمان تناوب طبیعی آن بیشتر و فرکانس طبیعی کمتر خواهد بود. اما اگر سختی ساختمان کاهش یابد زمان تناوب طبیعی بیشتر و فرکانس طبیعی‌اش کمتر می‌شود و اگر سختی افزایش یابد زمان تناوب طبیعی کوتاهتر و فرکانس طبیعی بیشتر می‌شود. نتیجه‌ای که می‌توان گرفت، این است که ساختمانهای خیلی کوتاه که معمولاً سختی زیادی دارند زمان تناوب طبیعی کمتری دارند در حالیکه فرکانس طبیعی آنها زیاد است و برعکس ساختمانهایی که نرم باشند (مثل ساختمانهای بلند) دارای زمان تناوب طبیعی زیاد و فرکانس طبیعی اندک هستند. اکنون از رابطه ۲-۲۱ می‌توان حداکثر شتاب را بدست آورد. برای اینکار کافی است در رابطه ۲-۱۱ مقدار $\sin \omega t = -1$ باشد:

$$\ddot{u} = A\omega^2 = A \frac{k}{m} = A (2\pi f)^2 = A \left(\frac{2\pi}{T}\right)^2 \quad (21-2)$$

گفتیم که ساختمانهای نرم دارای زمان تناوب طبیعی زیاد هستند، بنابراین مقدار شتاب آنها کم خواهد بود و برعکس. ساکنین ساختمانها در برابر شتاب و تغییرات شتاب خیلی حساس هستند، این دو عامل با حرکت ارتعاشی ساختمانها، بویژه ساختمانهای نرم، هماهنگ هستند. معمولاً حداکثر شتاب افقی کمتر از $0.005g$ تا $0.015g$ (0.05 تا 0.15 متر بر مجذور ثانیه) در یک دوره بازگشت ۱۰ ساله، برای ساکنین قابل تحمل است. در حالیکه اگر مقدار حداکثر شتاب



افقی $0.02g$ باشد برای ساکنین نگرانی ایجاد می کند و مقدار $0.05g$ آنها احساس نا امنی می کنند. با این توضیح اگر به رابطه قبل مراجعه کنیم مشخص می شود که کاهش شتاب امری ساده و بی اشکال نیست زیرا اگر قرار باشد شتاب کاهش یابد یا باید جرم ساختمان افزایش یابد که کاری نامعقول و غیرمنطقی است، یا باید فرکانس طبیعی ساختمان کاهش یابد (زمان تناوب طبیعی افزایش یابد) و یا اینکه سرانجام با تعبیه عواملی در سازه، میرایی افزایش داده شود.

و اگر قرار باشد تغییر مکان سازه، A ، کاهش داده شود، در اینصورت لازم است سختی آن در حد چشمگیری زیاد باشد. در چنین وضعیتی که سختی زیاد باشد، زمان تناوب کاهش خواهد یافت و نتیجه آن افزایش شتاب می باشد. به عبارت دیگر اندکی افزایش در سختی موجب افزایش مربع فرکانس طبیعی می شود. ملاحظه می شود که این پدیده ناموزون و مخالف عوامل ذاتی خود، که برای کاهش حرکت جانبی سازه موردنظر است، موجب افزایش فرکانس طبیعی شده و بشدت بر روی شتاب اثر می گذارد.

علاوه بر آن باید توجه داشت که افزایش جرم ساختمان، بطور همزمان سختی را بالا می برد و نیروهای جانبی بیشتری بسوی سازه جذب و جلب می کند.

با توجه به جمیع مطالب ذکر شده، باید اذعان نمود که سازه های بتن مسلح، بطور ذاتی دارای خاصیت میرایی بالایی هستند که این خاصیت تا حدود قابل توجهی، نقصان ناشی از مشکلات فوق را برطرف می کند، مشروط به اینکه سایرخصیصه های لرزه پذیر آن تا حد مطلوب تأمین شده باشد. خواننده گرامی دریافته است که در این قسمت شرح مختصری از رفتار دینامیکی یک سیستم یک درجه آزاد که معمولا برای برخی از سازه ها، بعنوان مدلی که دارای جرم متمرکز در بالاترین تراز و یک فنر بی وزن است، ارائه گردید. اما ساختمانهای چند طبقه که تعداد درجات آزادی آنها خیلی بیشتر است و دارای شکلهای متنوعی از تغییر مکانهای جانبی می باشند، بصورت جرمهای متمرکز در تراز سقفها و میله های قائم، با وزن نه چندان قابل توجه که می توان از آنها در مقابل جرم سقفها چشم پوشی کرد، مدل سازی می شوند.

بنابراین، هر مود جابجایی برای یک سیستم با جرم متمرکز، می تواند بصورت مجموعه اثر چندین سیستم یک درجه آزادی تلقی گردد. یک ساختمان n طبقه، دارای n درجه آزادی است، که n نوع حرکت مستقل با n زمان تناوب طبیعی داشته و n معادله حرکت برای حل آن باید در اختیار باشد.



۸-۲- عوامل و آثار زلزله در طراحی لرزه‌ای ساختمانها

چنانچه در ابتدای این کتاب گفته شد، زلزله یکی از پدیده‌های طبیعی است که با رخداد آن نیروهای دینامیکی به ابنیه و از آن جمله به ساختمانها وارد می‌کند و اگر ساختمانها قادر به تحمل این نیروها نباشند فرو خواهند ریخت و علاوه بر خسارتهای مالی، تلفات جانی نیز در برخواهد داشت، مثلا در سال ۱۵۵۶ میلادی، زلزله مهیب زیان در چین ۸۳۰۰۰۰ نفر را به کام مرگ فرستاد که تاکنون در جهان زلزله‌ای بدین شدت رخ نداده است [۳].

در هر صورت وقوع زلزله دارای عللی است که شرح آنها باید در مباحث ذیربط و معمولا در کتابهای مهندسی زلزله جستجو کرد. گر چه اغلب نویسندگان کتابهای طراحی ساختمانهای مقاوم در برابر زلزله در فصول اولیه، مطالبی را در این زمینه ارائه می‌کنند. لیکن این نگارنده بدلیل اینکه می‌خواهد به مطالب مربوط به طراحی پردازد از آن قسمت صرفنظر می‌نماید. بویژه اینکه یکی از گرایشهای مهندسی عمران در سطح کارشناسی ارشد، مهندسی زلزله است. فرض بر این است که خواننده این کتاب مطالب مربوط زلزله‌شناسی و علل وقوع زلزله و دینامیک سازه‌ها را بخوبی می‌داند. در هر حال در این قسمت بصورت بسیار فشرده ساز و کار (مکانیزم) و عوامل و آثار زلزله و اعمال نیرو به ساختمان هنگام وقوع زلزله ارائه می‌شود.

بر طبق نظریه لایه زمین ساخت، پوسته زمین از لایه‌های مختلفی تشکیل شده است که برخی از آنها نسبت به برخی دیگر دارای سختی بیشتر هستند و بر روی یکدیگر می‌لغزند. این لغزش در حدی است که صفحه‌ها یا لایه‌های سخت در هر سال در حد چند میلیمتر (حدودا ۲۰ تا ۲۵ میلیمتر) بر روی لایه‌های نرم حرکت می‌کنند. در محل نزدیک شدن، لایه‌های حرکت کرده تمایل دارند از روی یکدیگر عبور نمایند. مثلا بر طبق بررسیهایی که در آمریکا انجام شده است، در مسیر گسل سن آندریاس واقع در کالیفرنیا، جائیکه لایه یا صفحه پاسیفیک و صفحه آمریکای شمالی، بصورت هم جهت در مسیر شمال غربی در حرکت هستند ولی شدت حرکت آنها با یکدیگر متفاوت است. در این قبیل لایه‌ها به دلیل اصطکاک یا بدلیل اینکه در مقابل هم قرار گرفته و از حرکت بازداشته شوند، انرژی ارتجاعی قابل توجهی بتدریج در محل خاصی متمرکز و جمع می‌شود تا حدی که نیروی متناظر با این انرژی کرنشی آنقدر زیاد می‌شود که مواد تشکیل‌دهنده آن محل قادر به تحمل آن نخواهند بود.

وقتی که تحمل این نیرو در زمین وجود نداشته باشد شکست ناگهانی یا لغزش ناگهانی اتفاق می‌افتد که موجب می‌شود پوسته یا لایه فوقانی شکسته شود و بدین ترتیب گسلی پدید آید.



برخی گسل‌ها فعال هستند، یعنی طی سال‌های متمادی گذشته (در حد چند صد هزار سال) تحت تغییر شکل بوده و در حال و آینده نیز در حال تغییر شکل هستند، و گاهی سرعت متوسط آنها مثل گسل سن اندریاسن و گسل دره نانکای ژاپن در حد ۳۰ تا ۱۰۰ میلی‌متر در سال است. به عبارت دیگر اگر چنین گسلی در یک زلزله در حد ۳ متر لغزش داشته باشد، بدین مفهوم است که دوره بازگشت زلزله در این قبیل گسل‌ها بین ۱۰۰ تا ۳۰ سال خواهد بود [۲۴ و ۲۵].

در کالیفرنیا آمریکا با مکاشفات بعمل آمده مشخص شده است که علاوه بر وجود گسل‌های سطحی و قابل رؤیت، شبکه‌ای از گسل‌های پنهان در عمق ۴ تا ۱۰ مایل وجود دارند. این گسل‌های پنهان موجب شکست پوسته زمین نمی‌شوند، ولی با فعالیت خود موجب می‌شوند تا تپه ماهورهایی تشکیل شده و این فرآیند موجب زمین‌لرزه می‌شود [۲۴].

بطور خلاصه زلزله‌ها در دو حالت طبیعی و مصنوعی رخ می‌دهند ولی عامل اصلی و مهم همان حرکت لایه‌های زمین است که شرح مختصر آن گذشت. اما وجود آتشفشانها که حرکت زیرزمینی مواد مذاب را دارند می‌تواند موجب زلزله شود. بطور مصنوعی نیز در اثر انفجارهای اتمی زیرزمینی زلزله‌هایی پدید می‌آیند. همچنین با آبیگری سدهای بزرگ نیز زلزله‌هایی رخ می‌دهد. اثر اولیه زلزله که موجب وارد شدن خسارت به ساختمانها می‌شود عبارتند از:

۱- شکست زمین در اثر فعال شدن گسل‌ها

۲- شکست زمین بر اثر لغزش لایه‌های زمین، نشست زمین، لرزش زمین بر اثر آبگونی

۳- سونامی یا پدید آمدن امواج بسیار بزرگ و سهمگین که در اثر حرکت و جابجایی ناگهانی کف اقیانوسها ایجاد می‌شود.

این اتفاق که انرژی ذخیره شده بطور دفعی و ناگهانی آزاد می‌شود، موجب تولید امواج ارتعاشی پیچیده‌ای می‌گردد که با سرعت زیاد در تمام جهات انتشار می‌یابد. این امواج هم در داخل زمین و هم در سطح آن منتشر می‌شوند. محل اصلی وقوع این پدیده را کانون زلزله می‌گویند. هنگامی که این امواج به ساختمانی می‌رسند که دارای زمان تناوب طبیعی خاص خود می‌باشد آنرا مرتعش می‌کنند. امواج منتشر شده را به دو نوع تفکیک کرده‌اند، یکی از امواجی که لرزه قابل توجهی ایجاد می‌کنند و سرعت زیادی دارند. این امواج در مسیر کانون تا محل موردنظر، محل ساختمان، که مسیر طولی در نظر گرفته می‌شود منتشر می‌شوند و بدین جهت به آن امواج طولی P می‌گویند و این امواج پوسته زمین را در جهت طولی و بطرف جلو فشرده می‌کنند و باعث می‌شوند



که شالوده ساختمان در مسیر طولی بطور تناوبی به جلو و عقب رانده شود. به این امواج، امواج فشاری، امواج اولیه نخستین و یا امواج فشار - کشش نیز می‌گویند.

نوع دوم از امواج که منتشر شده و به سطح زمین می‌رسند، امواج عرضی S نام دارند که از سرعت کمتری برخوردار بوده و به آنها امواج برشی یا امواج ثانویه نیز می‌گویند. این امواج در جهت عمود بر مسیر طولی منتشر شده و هنگامی که به شالوده ساختمان می‌رسند، تلاش دارند آنرا به سمت بالا و پائین و یا به دو سمت جانبی (راست و چپ مسیر طولی) حرکت دهند.

امواج P و S را اصطلاحاً امواج درونی (حجمی) می‌گویند که در داخل زمین حرکت می‌کنند. باید دانست که فقط امواج P می‌توانند از گازها و مایعات عبور نمایند. از آنجا که سرعت امواج P بیشتر از امواج S هستند، ثبت آنها بر روی دستگاههای شتابنگار زودتر انجام می‌شود.

دو نوع موج دیگر وجود دارند که بنام امواج سطحی شناسایی شده‌اند. یکی امواج Q (امواج لاو) که فقط دارای حرکت افقی است و دیگری امواج R (امواج رالی) که هر دو حرکت افقی و قائم را دارد. این امواج سرعت کمتری دارند و مسیر انتشار آنها در سطح پوسته زمین است.

تصویر کانون زلزله را بر روی سطح زمین، رومرکز زلزله می‌گویند و فاصله آنرا تا ساختمان موردنظر (تصویر فاصله کانونی بر روی زمین) فاصله تا رومرکز زلزله می‌گویند.

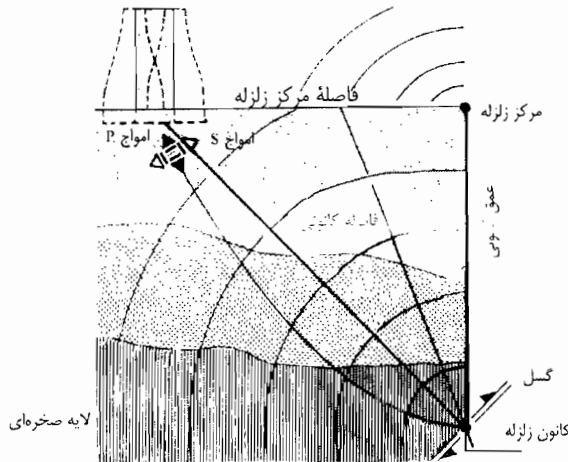
باید دانست که آن دسته از مؤلفه‌های امواج زلزله که دارای فرکانس زیاد (زمان تناوب کوتاه) هستند، در تقابل با مؤلفه‌های امواجی که دارای فرکانس کم (زمان تناوب زیاد) می‌باشند، موجب می‌شود که شدت لرزه با سرعت کاهش یابد و هر قدر که از کانون زلزله یا مرکز زلزله دورتر شویم این کاهش، شدت بیشتری خواهد داشت. از اینرو ساختمانهایی که جرم زیاد دارند یا زمان تناوب طبیعی آنها کم است و یا در زمره ساختمانهای کوتاه محسوب می‌شوند، در نزدیکی مرکز زلزله بیشتر مرتعش می‌شوند و تحت اثر زلزله قرار می‌گیرند، در حالیکه ساختمانهایی که زمان تناوب طولانی‌تر دارند، یا مرتفع‌تر هستند، بیشتر تحت تأثیر امواجی که از مرکز زلزله دورتر شده و دارای زمان تناوب بیشتر و فرکانس کمتری هستند، قرار می‌گیرند.

بنابراین ساختار زمین و لایه‌های متفاوت آن بر روی امواج لرزه‌ای اثر می‌گذارد و زمان تناوب آنها را تحت تأثیر قرار می‌دهد. شاید بدین سبب باشد که معمولاً بیشترین قسمت تأثیرگذار و مخرب امواج زلزله مربوط به ۱۰ تا ۲۰ ثانیه اولیه ارتعاش زمین می‌شود.

زمین‌لرزه‌ها را معمولاً به دو نوع زمین‌لرزه‌های با کانون عمیق و سطحی (کم عمق) تقسیم‌بندی می‌کنند. زمین‌لرزه‌های کم عمق آنها می‌باشند که فاصله بین کانون تا مرکز زلزله کم است و اثر



موضعی بیشتری دارند ولی زمین لرزه‌های عمیق سطح بیشتری از زمین را تحت تأثیر خود قرار می‌دهد. در شکل ۲-۱۰ شمایی از کانون زلزله، مرکز زلزله و امواج آن نشان داده شده است.



شکل ۲-۱۰- شمایی کلی از لایه‌های زمین و امواج زلزله که به یک ساختمان می‌رسند.

اینک با توضیح مختصری که از زلزله داده شد یادآور می‌شویم که اگر ساختمان بصورت یک پاندول وارونه یا سیستم یک درجه آزاد مدل شود با استفاده از قانون دوم نیوتن می‌توان از حاصلضرب جرم ساختمان در شتاب زمین مقدار نیروی جانبی را بدست آورد و چون جرم ساختمان نسبت وزن آن به شتاب ثقل است پس این نیروی جانبی حاصلضرب وزن ساختمان در نسبت شتاب زمین به شتاب ثقل (a/g) خواهد بود. به عبارت ساده‌تر در چنین حالتی نیروی جانبی برابر با درصدی از وزن ساختمان می‌شود. یا می‌توان گفت که اگر شتاب زلزله در حد $0.2g$ تا $0.3g$ باشد نیروی جانبی که به ساختمان وارد می‌شود در حد ۲۰ درصد تا ۳۰ درصد وزن آن خواهد بود. برای بدست آوردن مقدار صحیح این نیروی جانبی باید توجه داشت که جرم ساختمان در مقابل حرکت زمین مقاومت می‌کند و این اتفاق موجب تغییرشکل در ساختمان می‌گردد که بدان مفهوم است که سختی ساختمان بر این مقاومت مستقیماً اثر می‌گذارد. بهر صورت، مشخص شده است که پاسخ ارتجاعی ساختمانها بطور کلی و بویژه ساختمانهای نسبتاً مرتفع تا کاملاً مرتفع در حد بسیار زیادی بر مبنای ارتعاش مود اول آنها انجام می‌شود و از این جهت می‌توان ساختمان را مثل یک دستگاه یک درجه آزاد یا پاندول وارونه در نظر گرفت.



۲-۹- طیف بازتاب ساختمان در برابر زلزله

برای در نظر گرفتن اثر سختی ساختمان بر مقدار نیروی جانبی یا بر شتاب ساختمان، چندین ساختمان ساده و منظم که سختی آنها از زیاد تا کم باشند، بصورت پاندول وارونه در نظر گرفته می‌شوند تا جرم آنها را بصورت متمرکز نشان دهد. با افزایش ارتفاع این مدل‌های سازه‌ای (پاندول‌ها) انعطاف‌پذیری یا نرمی آنها و زمان تناوب طبیعی آنها (T) افزایش خواهد داشت. بر طبق تعریف زمان تناوب طبیعی (T) عبارتست از مدت زمان حرکت جانبی سازه (مدل) در یک رفت و برگشت کامل و آزاد آن.

پاندول‌های انتخاب شده دارای زمان تناوب طبیعی از ۰/۱ تا ۰/۴ ثانیه برای ساختمانهای کم‌ارتفاع و تقریباً از ۱ تا ۳ ثانیه برای ساختمانهای بلند می‌باشند. برای همه آنها ضریب میرایی متوسط که برای میرایی طبیعی فرض شده، در نظر گرفته می‌شود. اگر چه ممکن است بر اثر ارتعاش برخی از المانهای سازه‌ای وارد محدوده رفتار غیرارتجاعی و غیرخطی خود بشوند، لیکن رفتار کلی سازه را بصورت خطی فرض می‌کنند.

این پاندولها را بر روی یک پایه قابل حرکت در دو جهت جلو و عقب نصب می‌کنند و تحت اثر شبه شتاب زمین که از شتابنگاشت اصلی یا مصنوعی یک زلزله بدست آمده است، مرتعش می‌کنند. اکنون اگر حداکثر پاسخ این مدل‌های سازه‌ای را که می‌تواند یکی از سه کمیت، شتاب، جابجایی مطلق یا نیروی اینرسی جانبی باشد، در مقابل زمان تناوب طبیعی در یک دستگاه مختصات ترسیم کنیم، منحنی بدست آمده طیف بازتاب ساختمان خواهد بود.

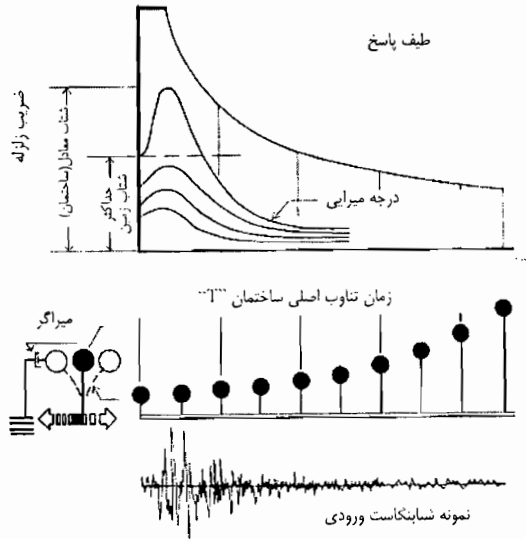
لازم به ذکر است که در این ترسیم شرایط زمین از نظر نوع لایه‌ها را در بر ندارد و هر ساختمانی طیف بازتاب خود را نیز دارد. شکل ۲-۱۱ طیف بازتاب را برای نسبت میرایی مختلف برای پاندولهای مورد بحث نشان می‌دهد.

از این بحث می‌توان چنین نتیجه گرفت که:

- ۱- اگر ساختمان بی‌نهایت سخت باشد بدون تغییر شکل با حرکت زمین، حرکت می‌کند یعنی زمان تناوب طبیعی آن صفر خواهد بود ($T=0$) شتاب آن با شتاب زمین برابر خواهد بود.
- ۲- اگر ساختمان بالنسبه سخت باشد و زمان تناوب طبیعی آن مثلاً در حدود ۰/۳ ثانیه باشد، در صورتیکه زمان تناوب خاک منطقه با زمان تناوب طبیعی آن برابر باشد و هیچگونه میرایی هم نباشد، شتاب آن بیش از شتاب زمین خواهد بود. این وضعیت مرادف پدیده تشدید است که نیروی اعمالی در حد بسیار بسیار زیاد خواهد بود.

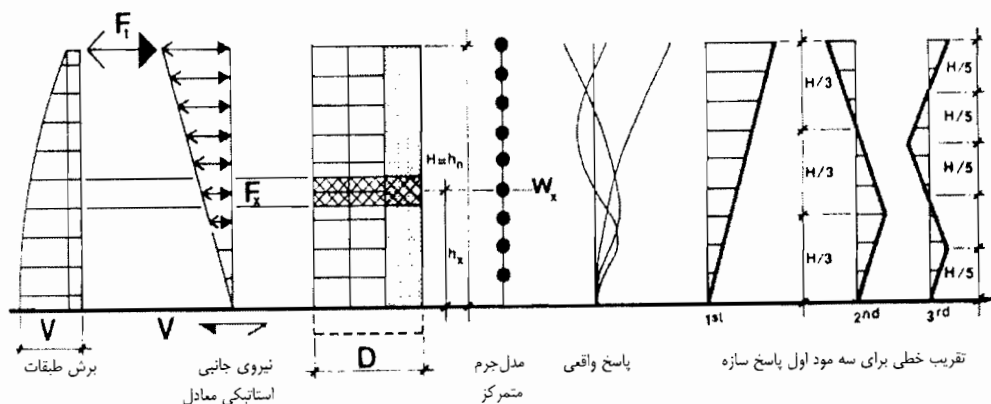


۳- اگر ساختمان نرم باشد و زمان تناوب طبیعی آن در حدود $1/4$ ثانیه باشد، شتاب آن از شتاب زمین کمتر خواهد شد. به بیان دیگر اگر ساختمان انعطاف پذیر باشد، یعنی زمان تناوب طبیعی اش زیاد باشد، برای ساختگاهی مناسب است که زمان تناوب آن کوتاه باشد.



شکل ۲-۱۱- نحوه بدست آوردن طیف بازتاب ساختمان

لازم به ذکر است که میزان میرایی در یک ساختمان بر رفتار آن اثر می گذارد ولی مقدار میرایی بر میزان استهلاک انرژی یا حرکت اثر مستقیم دارد. درصد میرایی به عوامل و مواردی مانند تبدیل انرژی به حرارت در اثر اصطکاک که آنهم وابسته به تعداد المانهای ساختمان و نحوه اتصال آنها بیکدیگر است، و همچنین انواع مصالح بکار رفته بستگی دارد. درصدهای مختلفی از میرایی، طیف بازتاب مختلف ولی هم شکل تولید می کند که در شکل ۲-۱۱ نشان داده شده است. تردیدی نیست که مدل یک درجه آزاد برای ساختمانهای بلند و انعطاف پذیر مدل بسیار ساده ای است و نتایج بدست آمده از آن چندان با رفتار واقعی ساختمان تطبیق ندارد. از این جهت این قبیل ساختمانها را بصورت جرمهای متمرکز در تراز کفها و مطابق شکل ۲-۱۲ مدل می کنند. جرم متمرکز در هر تراز متشکل از جرم آن کف و جرم ستونها، تیرها، دیوارها و سایر عوامل موجود در یک طبقه می باشد. در اینصورت چندین درجه آزادی برای این قبیل سیستمها که دارای زمان تناوب طبیعی متفاوت برای هر مود ارتعاشی می باشند، در نظر گرفته می شود.



شکل ۲-۱۲- توزیع نیروی لرزه‌ای معادل و بازتاب ساختمانهای چند طبقه

۲-۱۰- زمان تناوب طبیعی

می‌دانیم که اگر زمین یا محل احداث ساختمان تحت اثر یک ارتعاش با زمان تناوب خاصی قرار گیرد و این زمان تناوب با زمان تناوب طبیعی ساختمان تقریباً مساوی باشد پدیده‌ای بنام تشدید رخ می‌دهد. نتیجهٔ چنین پدیده‌ای تخریب و فروریزی ساختمان مرتعش‌شونده است. لازم به ذکر است که نیروی ناشی از پدیدهٔ تشدید هیچ شباهتی به نیروهای ضربه‌ای که اثر فوری و زیادی بر ساختمان وارد می‌سازند، ندارد. بنابراین نتیجه می‌گیریم که از خواص دینامیکی بسیار مهم ساختمانها در برابر ارتعاشهای اعمال شده به آنها زمان تناوب طبیعی آنها است، و آن زمان نوسان آزادی است که یک دور رفت و برگشت کامل از جابجایی را در برگیرد. از طرفی در تحریک‌های دینامیکی که موجب می‌شوند تا بارهای بزرگتری در مقایسه با بارهای استاتیکی به ساختمانها وارد شود، هر چه زمان تناوب این بارها کوتاهتر باشد مقدار بار اعمال شده بیشتر خواهد بود و برعکس هر قدر زمان تناوب بیشتر باشد مقدار بار اعمالی کمتر می‌شود. اما این نتیجه‌گیری کامل نیست، زیرا باید دید که پاسخ ساختمان مرتعش‌شونده یا سازه آن چگونه است؟ از اینرو باید درخصوص زمان تناوب طبیعی که یکی از خصیصه‌های مهم دینامیکی سازه‌ها است توجه ویژه‌ای مبذول داشت.

در پی بررسیهای بعمل آمده تاکنون زمان تناوب طبیعی ساختمانها با تقریب قابل قبولی به نسبت ارتفاع آنها و البته با توجه به سیستم مقاومتی در مقابل زلزله در جدول ۲-۲ آورده شده است. این مقادیر باید به عنوان یک "راهنما" برای توجه به حدود تغییرات ساختمانها تلقی شود.



نکته دیگری که از اهمیت بسزایی برخوردار است و در واکنش سازه یا ساختمان مؤثر است خاک منطقه‌ای است که ساختمان در آن منطقه احداث شده است. به عبارت دیگر زمان تناوب مربوط به ارتعاش خاک است که معمولاً از ۰/۱ ثانیه برای زمین سخت تا ۵ ثانیه برای زمین سست متغیر می‌باشد.

جدول ۲-۲ - زمان تناوب طبیعی برخی ساختمانها [۲۱]

| نوع ساختمان | زمان تناوب طبیعی (ثانیه) |
|---|--------------------------|
| ساختمانهای کوتاه یک طبقه با مصالح سنگین | ۰/۱ |
| ساختمانهای ۱۰ طبقه دارای دیوارهای باربر مصالح بنایی | ۰/۱۶ |
| ساختمانهای ۱۰ طبقه دارای قاب صلب | ۱/۰ |
| ساختمانهای ۲۰ طبقه دارای قاب صلب | ۲/۰ |
| ساختمان ۵۹ طبقه (Citicrop) در نیویورک | ۷/۰ |
| ساختمان ۱۰۹ طبقه برج سی‌پرز در شیکاگو | ۷/۱۶ |
| ساختمان ۱۱۰ طبقه مرکز تجاری جهانی در نیویورک | ۱۰ |

اکنون با مقایسه زمان تناوب طبیعی ساختمان با زمان تناوب طبیعی خاک منطقه مشخص می‌شود که در صورت نزدیک بودن این دو بهم، احتمال ایجاد پدیده تشدید وجود خواهد داشت. بنابراین باید به این مسئله توجه کرد که در محل احداث ساختمان زمان تناوب طبیعی خاک مشخص گردد و متناسب با اینکه پدیده تشدید رخ ندهد، نوع سازه را اختیار کرد.

در جدول ۲-۳ حدود زمان تناوب طبیعی مربوط به لایه‌های زمین در منطقه احداث ساختمانها با تقریب کلی آورده شده است. البته روشن است که این ارقام نیز حدود تقریبی را بیان کرده و صرفاً برای حصول یک دیدگاه کلی قابل استناد است.

جدول ۲-۳ - زمان تناوب طبیعی لایه‌های خاک [۲۶]

| نوع خاک | زمان تناوب طبیعی برحسب ثانیه |
|----------------------------|---------------------------------|
| خاکهای سخت و صخره‌ای | ۰/۱ |
| خاکهای نرم و انعطاف‌پذیر | ۵ |
| خاک مناطق بحرانی در آمریکا | ۰/۵ تا ۱/۰ |

از این اشاره مختصر می‌توان نتیجه گرفت که اگر زمان تناوب طبیعی منبع ارتعاش خیلی بیشتر از زمان تناوب ساختمان باشد، می‌توان بارهای اعمالی را به صورت استاتیکی معادل و اعمال کرد.



مثل اینکه ساختمان تحت اثر نیروی باد قرار گرفته باشد. اما اگر زمان تناوب منبع ارتعاش (زمین) خیلی کوچکتر از زمان تناوب ساختمان باشد، به عبارت دیگر محتوای فرکانسی منبع ارتعاش زیاد باشد، مانند امواج زلزله، لازم است بارهای ناشی از ارتعاش را به صورت دینامیکی در نظر گرفت و افزایش تنش‌ها را مدنظر قرار داد.

در هر صورت باید توجه داشت که شرایط دینامیکی ممکن است به نحوی باشد که تغییرات بارهای اعمالی به کندی صورت گیرد اما در عین حال زمان تناوب آن نزدیک و بلکه مساوی زمان تناوب یک ساختمان انعطاف‌پذیر (مثل یک ساختمان بلند با زمان تناوب زیاد) شود، که در این صورت بارهای اعمالی بشدت زیاد خواهد بود.

۲-۱۱- محاسبهٔ زمان تناوب طبیعی ساختمان

اکثر آئین‌نامه‌ها زمان تناوب اصلی ساختمانها را که باید برای مقاومت در برابر زلزله طراحی شوند، به صورت روابط تجربی می‌دهند. از آنجا که این خاصیت مهم دینامیکی سازه در هنگام طراحی مشخص نیست، روابط ارائه شده در آئین‌نامه‌ها به صورت تجربی آمده است. البته روابط تجربی متأثر از عواملی مانند مصالح بکار رفته در ساختمان‌ها، نوع عناصر یا اعضای مقاوم سازه‌ای در برابر ارتعاش می‌باشند. ناگفته آشکار است که در ساده‌ترین حالت ارتعاش (یک درجه آزادی) جرم و سختی که خود متأثر از ابعاد سازه می‌باشند، در زمان تناوب اثر دارند.

روابط ارائه شده در آئین‌نامه آمریکایی UBC [۲۷] و همچنین آئین‌نامه SEAOC [۲۸]، مبتنی بر پروژه‌ای بوده است که خواص دینامیکی و از آن جمله زمان تناوب ساختمانهایی که در اثر زلزله سال ۱۹۷۱ سان فرناندو تحریک شده‌اند، اندازه‌گیری شده بود، تدوین و پیشنهاد گردیده است. این پروژه به پیشنهاد شورای فن آوری کاربردی در آمریکا ATC [۲۹] انجام شده بود.

البته امروزه اطلاعات زیادی در اثر زلزله‌های بعدی و از آن جمله زلزله‌های اخیر مانند زلزله سال ۱۹۸۹ لوماپری‌یتا و زلزله سال ۱۹۹۴ نرتریج در دست است. در اختیار داشتن یک بانک اطلاعاتی قوی از این قبیل اطلاعات می‌تواند بعنوان مهمترین عامل در تعیین زمان تناوب طبیعی یا اصلی ساختمانها که دقیقتر باشد کمک شایانی بنماید.

زمان تناوب طبیعی ساختمانهای بتن مسلح که عنصر اصلی مقاوم در برابر زلزله برای آنها قاب‌های خمشی است، از رابطه مشترک بین UBC, ATC3-06, SEAOC و NEHRP قابل محاسبه است.



$$T = 0.073 H^2$$

H بر حسب متر

$$T = 0.03 H^2$$

H بر حسب فوت

(۲-۲۲)

البته آئین نامه ATC3-06 ضریب ۰/۰۶۰۹ را برای این قبیل ساختمانها توصیه کرده است. رابطه ارائه شده توسط ATC3-06 متبنی بر روش ریلی (Rayleigh) است که با توجه به فرضیات زیر بدست آمده است:

۱- توزیع بارهای جانبی و استاتیکی معادل در تمام ارتفاع ساختمان به صورت خطی است.

۲- برش پایه لرزه‌ای به نسبت $(1/T^2)$ متناسب است.

۳- تغییر مکان جانبی ساختمان از طریق محدودیت‌های تغییر مکان نسبی طبقات کنترل می‌شود. اگر چه دو فرض اول و دوم با رفتار لرزه‌ای سازه تطبیق دارد، اما فرض سوم چنین القاء می‌کند که توزیع سختی در ارتفاع به نحوی است که تغییر مکان نسبی طبقات، تحت توزیع خطی نیروها در تمام ارتفاع ساختمان، به صورت یکنواخت، باشد.

یادآور می‌شود که این روابط و توصیه‌ها فقط در مورد قابهای خمشی است که بدون هیچگونه عناصر یا اعضای کمکی باید تمام نیروی زلزله را تحمل نمایند. اما آنچه آئین نامه ۲۸۰۰ مصوب ایران و ویرایش دوم آن برای زمان تناوب ارائه می‌کند، این است که اگر ساختمان فقط دارای قاب خمشی باشد همان روابط UBC را قابل قبول می‌داند:

$$T = 0.07 H^2$$

برای سازه‌های بتن مسلح (H بر حسب متر)

(۲-۲۳)

و چنانچه قابها توسط جداگرها تقویت شده باشند باید زمان تناوب حاصل از روابط فوق را به میزان ۲۰ درصد کاهش داد. اگر ساختمان دارای قاب خمشی نباشد زمان تناوب به بعد دیگر ساختمان که تحلیل در آن جهت مورد نظر است، وابسته خواهد شد و رابطه زمان تناوب را به صورت زیر ارائه می‌کند:

$$T = 0.09 \frac{H}{\sqrt{D}}$$

(۲-۲۴)

در این رابطه H و D بر حسب متر است.



همچنین ویرایش دوم این آئین‌نامه زمان تناوب ساختمانهایی را که دارای جداگرهای میانقابی باشند و یا نباشند از رابطه ۲-۲۵ توصیه می‌کند:

$$T = 0.05H^{0.75} \quad (2-25)$$

اگر وزن خرپشته از ۲۵ درصد وزن طبقه بیشتر باشد برای محاسبه T ، ارتفاع H تا بالای خرپشته منظور شود. برای تخمین اولیه زمان تناوب طبیعی یا مود اول سازه‌ها می‌توان به یکی از روشهای زیر عمل کرد:

- روابط تجربی
- روش سختی (معکوس کردن ماتریس سختی)
- روش ریلی

باید دانست که زمان تناوب طبیعی باید متناظر با پاسخ ارتجاعی سازه ولی نزدیک به حد جاری شدن خمشی آن بوده باشد. از نکات جالب توجه دیگر اینکه معمولاً زمان تناوب بدست آمده از روابط تجربی، مقدار دست بالا بوده که مفهوم آن اینست که پاسخ سازه افزایش دارد.

بهترین و نسبتاً دقیقترین روش محاسبه زمان تناوب طبیعی روش ریلی است. در این روش زمان تناوب را از تغییرمکانهای جانبی سازه و اعمال نیروهای جانبی در تراز کفها محاسبه می‌کنند. اگر چه نحوه توزیع نیروهای جانبی در روش ریلی تأثیری بر زمان تناوب موردنظر ندارد ولی نسبت به توزیع نیروهای جانبی که منطبق بر توصیه‌های آئین‌نامه‌ای باشد، بستگی دارد. با استفاده از روش ریلی می‌توان زمان تناوب طبیعی را از رابطه زیر بدست آورد:

$$T_i = 2\pi \sqrt{\frac{\sum_{i=1}^n W_i \Delta_i^2}{g \sum_{i=1}^n F_i \Delta_i}} \quad (2-26)$$

که در این رابطه F_i نیروی جانبی در تراز i و از ۱ تا n تغییر می‌کند. Δ_i مقدار جابجایی یا تغییرمکان در تراز i ام است. W_i نیز وزن طبقه i ام می‌باشد و n تعداد طبقات است.

۲-۱۲- انتخاب روش تحلیل لرزه‌ای ساختمانها

هدف از تحلیل هر سازه‌ای در برابر زلزله بدست آوردن نیروی ناشی از زلزله است که از آن بنام نیروی برش پایه یاد می‌کنیم. البته و همانگونه که قبلاً توضیح داده شد، پاسخ ساختمانها در برابر نیروی دینامیکی زلزله یک پاسخ دینامیکی است و از این جهت باید ساختمانها را در برابر زلزله به



شیوه‌های دینامیکی تحلیل کرد. اما بنا به دلایلی که ذکر آن در بخش‌های قبلی گذشت، در مواردی می‌توان ساختمانها را به روش استاتیکی معادل نیز تحلیل کرد.

نخستین کسی که تلاش کرد تا نیروی ناشی از زلزله را که به ساختمان وارد می‌شود، بدست آورد، اوموری از کشور ژاپن بود که بعدها روش او پایه و اساس روش تحلیل استاتیکی معادل شد. روش او فقط برای سازه‌های کاملاً صلب با شالوده صلب مناسب بود، زیرا او فرض می‌کرد که بر اثر ارتعاش زمین، تغییر مکان یا جابجایی ساختمان در بالاترین تراز آن نسبت به پایه، در تمام ارتفاع بصورت یکنواخت از پائین‌ترین قسمت تا فراز ساختمان افزایش دارد. همچنین تغییرات شتاب را در ترازهای مختلف و از پائین به بالا بصورت یکنواخت در نظر می‌گرفت.

روشن است که این دو فرضیه مگر در موارد کاملاً خاص، برای اغلب ساختمانها صادق نیست. بهمین جهت در سال ۱۹۲۰ میلادی مونونوبه فرض کرد که حرکت ارتعاشی زمین یک حرکت ارتعاشی هارمونیک است و ساختمان بصورت یک سیستم یک درجه آزاد تحت تأثیر این ارتعاش هارمونیک قرار می‌گیرد. نتیجه این قبیل بررسی‌ها این بود که برای نخستین بار ژاپنی‌ها برای بدست آوردن نیروی ناشی از زلزله ضریب $0/1$ را در وزن ساختمان ضرب کرده تا کل نیروی برش پایه را بدست آورند. در سخنرانی‌های دکتر کوئیچی سوهیرو در سال ۱۹۳۲ در کالیفرنیا آمریکا چنین آمده بود که ساختمانهایی که در ژاپن با این مقدار نیروی برش پایه طراحی شده بودند، توانستند تا حد نسبتاً خوبی، زلزله کوانتو را در سال ۱۹۲۳ مقاومت کنند.

در آمریکا (کالیفرنیا) نخستین توصیه آئین‌نامه‌ای برای طراحی ساختمانها در برابر زلزله مربوط به سال ۱۹۳۳ میلادی می‌باشد که در آئین‌نامه شهر لوس آنجلس آمده بود. در این آئین‌نامه ضریب $0/08$ برای ساختمانهای معمولی و ضریب $0/1$ برای مدارس توصیه شده بود. به عبارت دیگر آمریکاییها ۱۰ سال پس از ژاپنی‌ها نخستین توصیه‌های آئین‌نامه‌ای را داشته‌اند [۲۱].

در هر صورت با ظهور و تکامل کامپیوترها و پیشرفت‌های قابل ملاحظه در علم دینامیک و زمین‌شناسی مهندسی روشهای دینامیکی برای برآورد دقیقتر نیروی برش پایه و تحلیل سازه‌ها ابداع و ارائه گردید. امروزه در اکثر آئین‌نامه‌های معتبر در کشورهای جهان این روشها مورد توجه قرار گرفته‌اند.

در استاندارد ۲۸۰۰ ایران روح حاکم برای تحلیل ساختمانها مبتنی بر تحلیل دینامیکی می‌باشد لیکن در مواردی که شرایط خاصی حاکم باشد، اجازه داده شده است تا از تحلیل استاتیکی معادل استفاده شود. اما از طرفی اگر روش تحلیل دینامیکی بکار گرفته شود باید نتایج آن با نتایج تحلیل



استاتیکی معادل سنجیده شود تا در صورت نیاز نتایج تحلیل دینامیکی اصلاح شود.

با توجه به مطالب فوق باید برای تحلیل سازه روش مناسبی را برگزید. اما از آنجا که هر سازه‌ای دارای مسائل منحصر بفرد می‌باشد، مانند پلان معماری، موقعیت زمین، مسائل اقتصادی حاکم بر طرح آن و تکنیک ساخت؛ نمی‌توان بطور دقیق و یقین گفت که چه روشی کارآمدترین و بهترین روش تحلیل خواهد بود. اما بطور کلی می‌توان گفت که هر قدر مسائل برشمرده پیچیده‌تر باشد، روش تحلیل باید پیشرفته‌ترین و دقیق‌ترین باشد. از اینرو در جدول ۲-۴ یک راهنمای کلی و در عین حال ساده برای انتخاب روش تحلیل آورده شده است که می‌تواند مورد استفاده قرار گیرد.

جدول ۲-۴ - راهنمای اولیه تعیین روش تحلیل سازه‌ها در برابر زلزله

| روش تحلیل دو بعدی یا سه بعدی | نوع سازه |
|---|------------------------------------|
| ۱- روش استاتیکی معادل | سازه‌های کوچک و ساده |
| ۲- روش طیف پاسخ | سازه‌هایی که بیشتر مورد توجه است. |
| ۳- روش تحلیل مودال | |
| ۴- روش تحلیل دینامیکی | |
| (انتگرال‌گیری مستقیم در قلمرو زمان) | سازه‌هایی که از هر نظر پیچیده است. |
| ۵- تحلیل غیرخطی و در نظر گرفتن اندرکنش سازه و خاک | |

۲-۱۳- روش تحلیل استاتیکی معادل

چنانکه از نام این روش بر می‌آید، نیروهای اعمالی به سازه که ذاتاً دینامیکی هستند، بصورت استاتیکی معادل‌سازی شده و به سازه اعمال می‌شوند. بی‌تردید این روش تقریبی است و برای ساده کردن عملیات تحلیل برگزیده شده است. برای تقلیل درجه تقریب این روش تلاش‌های محققان زیادی صورت گرفته است که به نحوی مناسب خواص دینامیکی سازه‌ها بیش از پیش در فرآیند این روش بکار برده شود.

از طرفی دیگر خواص دینامیکی خاک منطقه هم در تعیین نیروی استاتیکی معادل اثر دارد. بدیهی است که شدت زلزله، محتوای فرکانسی، طول مدت اثر و زمان تناوب آن نیز در این معادل‌سازی اثر دارد. بنابراین ضریب زلزله باید به نحو مناسبی سطح اثر این قبیل عوامل را در برداشته باشد. هر قدر اینگونه عوامل دینامیکی در روابط حاکم بر تحلیل استاتیکی معادل بیشتر باشد، این روش از دقت بیشتری برخوردار خواهد بود.



بطور کلی عوامل مؤثر در تعیین ضریب زلزله که باید در روش تحلیل استاتیکی معادل نیز به نحوی دخالت داشته باشند عبارتند از:

- رفتار مصالح بکار رفته در ساختمان
- خواص دینامیکی ساختمان مانند: زمان تناوب طبیعی، میرایی، سختی، قدرت جذب یا استهلاک انرژی
- شرایط ساختگاهی، نوع خاک، لایه‌های آن و خواص دینامیکی آنها
- نوع یا سیستم سازه‌ای
- اهمیت ساختمان
- شدت زلزله
- محتوای فرکانسی زلزله
- طول مدت اثر زلزله

ملاحظه می‌شود که اگر چه بنظر می‌رسد که این روش خیلی ساده است، لیکن بر مبنای تئوریهای دینامیک پایه‌ریزی شده است و نشان داده شده است که ساختمانهایی که بدین روش تحلیل و طراحی شوند، از مقاومت و شکل‌پذیری نسبتاً خوبی در برابر زلزله برخوردار هستند. بهمین جهت این روش در اکثر آئین‌نامه‌های طراحی در برابر زلزله، در جهان با اندک اختلافی که در روش دارند، آورده شده است.

بر طبق استاندارد ۲۸۰۰ ایران، برای ساختمانهایی که منظم باشند و ارتفاع آنها از تراز پایه از ۵۰ متر کمتر باشد و یا نامنظم باشند اما تعداد طبقات آنها کمتر از ۵ باشد یا ارتفاع آنها کمتر از ۱۸ متر باشد می‌توان از این روش استفاده کرد. اگر ساختمانها در پلان و در ارتفاع منظم باشند ولی ارتفاع بیشتری داشته باشند، چون ممکن است مودهای بالای ارتعاشی (غیر از مود اول) در تعیین بازتاب ساختمان اثر زیادی داشته باشند، باید از تحلیل دینامیکی استفاده کرد.

اگر نیروی برشی پایه که در واقع نیرویی است که باید سازه را برای آن طراحی لرزه‌ای کرد به V نشان دهیم مقدار آن متناسب با وزن ساختمان و ضریب زلزله است. از طرفی ضریب زلزله باید در برگیرنده عوامل مختلف دینامیکی باشند که قبلاً به آنها اشاره شد. پس نیروی برشی پایه برابر است با:

$$V = CW$$



این نیروی دینامیکی معرف حداقل نیرویی است که در تحلیل استاتیکی معادل و بمنظور جانشین کردن نیروهای حاصل از تحلیل های دینامیکی بکار می‌رود.

شرط اساسی این است که رفتار ساختمان تحت اثر زلزله چندین دوره (سیکل) تغییرشکل‌های غیرارتجاعی را تجربه نماید و در عین حال منهدم نشود.

ضریب C در استاندارد ۲۸۰۰ ایران به چهار عامل وابسته شده است که عبارتند از:

- شتاب مبنای طرح (A)
- ضریب بازتاب ساختمان (B)
- درجه اهمیت ساختمان (I)
- ضریب رفتار ساختمان (R)

بی‌گمان هر قدر شتاب بیشتر باشد باید ضریب زلزله نیز بهمان نسبت افزایش یابد و همچنین هر قدر ساختمان از اهمیت بیشتری برخوردار باشد باید پایداری آن در برابر زلزله بیشتر باشد، یعنی لازم است بتواند نیروی بیشتری را تحمل کند، پس با بالا بودن این ضریب مقدار ضریب C بیشتر می‌شود و اما ضریب بازتاب ساختمان که به زمان تناوب طبیعی و شرایط ساختگاهی مربوط می‌شود بر ضریب C اثر مستقیم دارد. به عبارت ساده‌تر با افزایش آن مقدار C افزایش خواهد داشت. ولی در مورد ضریب رفتار، نسبت C با آن معکوس است. زیرا اگر ساختمانی بتواند رفتار مطلوب داشته باشد، یعنی با شکل‌پذیری خود انرژی بیشتری را مستهلک کند، بدان مفهوم است که رفتارش وارد قلمرو غیرارتجاعی شده است پس سطح کمتری از نیروی جانبی را طلب می‌کند تا در قلمرو ارتجاعی باقی بماند. از اینرو مقدار ضریب زلزله (C) چنین ارائه شده است:

$$C = \frac{ABI}{R} \quad (2-28)$$

اینک راجع به هر یک از این عوامل توضیح مختصری ارائه می‌شود تا خواننده محترم در تعیین و استفاده از آنها ابهامی نداشته باشد.

۲-۱۳-۱- شتاب مبنای طرح (A)

شتاب مبنای طرح کمیتی است که به محل احداث ساختمان مربوط می‌شود. یعنی میزان لرزه‌خیزی محل را تعیین می‌کند. ولی این کمیت بنوعی بیانگر حداکثر شتابی است که در هر منطقه برای بالاترین سطح زلزله احتمالی بوجود می‌آید. بنابراین شتاب مبنا بصورت نسبتی از شتاب ثقل بیان می‌شود تا مبتنی بر رابطه ۲-۵ بوده باشد.



بر طبق استاندارد ۲۸۰۰ ایران، شتاب مبنای طرح برای چهار منطقه در کشور ارائه شده است که با رجوع به آن می‌توان برای هر منطقه‌ای که مورد نظر است، مقدار آنرا استخراج کرده و بکار برد. مقدار شتاب مبنای طرح، در این آئین‌نامه برای منطقه باخطر نسبی خیلی زیاد ۰/۳۵ و برای منطقه با خطر نسبی زیاد، متوسط و کم به ترتیب ۰/۳۰، ۰/۲۵ و ۰/۲۰ تعیین شده است و در پیوست آن این مقادیر برای نقاط مختلف کشور ارائه گردیده است.

۲-۱۳-۲- ضریب بازتاب ساختمان (B)

این ضریب در برگیرنده اثر عواملی مانند زمان تناوب طبیعی ساختمان و خواص دینامیکی زمین محل احداث ساختمان می‌باشد. بنابراین ضریب بازتاب تابعی از زمان تناوب طبیعی ساختمان و نوع زمین می‌باشد.

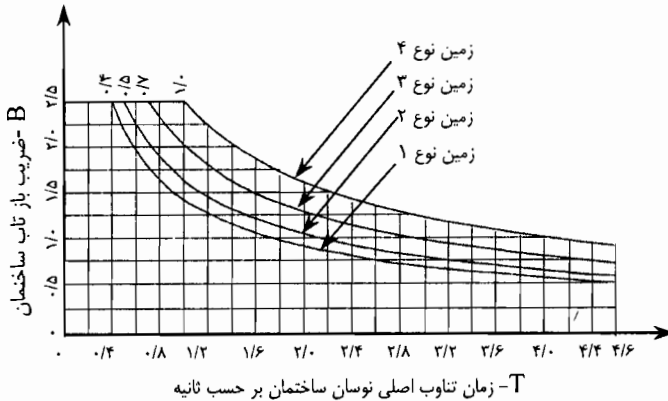
مقدار این ضریب از رابطه ۲-۲۹ محاسبه و یا از روی شکل ۲-۱۳ تعیین می‌شود.

$$B = 2/5 \left\{ \frac{T_0}{T} \right\}^2 \leq 2/5 \quad (2-29)$$

در این رابطه T زمان تناوب اسمی زمین است که متناسب با چهار نوع زمین، مندرج در استاندارد ۲۸۰۰ ایران تعیین شده است.

در این قسمت باید توضیح داد که چگونه می‌توان از چهار منحنی تعیین شده برای بخشهای وسیعی از کشور این ضریب را تعیین کرده و بکار برد. به عبارت دیگر دقت و صحت این ضریب چه میزان اطمینان بخش است. این موضوع یکی از مسائل مهم و پیچیده‌ای است که اغلب آئین‌نامه‌ها راه حل آنرا در تهیه این منحنی‌ها جستجو کرده‌اند و بر این اعتقاد هستند که می‌توان با تقریب قابل قبول انواع زمین را به این چهار نوع تقسیم‌بندی کرد.

شایان توجه است که این منحنی‌ها در واقع طیف پاسخ شتاب هستند که در برگیرنده اثرات مودهای مختلف ارتعاش ساختمان است و از طرفی بر مبنای شتاب ثقل مقیاس شده‌اند. باید دانست که تابعیت B از زمان تناوب طبیعی ساختمان (T) وابسته به متغیر T است که در رابطه ۲-۲۹ ظاهر شده است. لیکن اگر زمان تناوب طبیعی ساختمان برای هر یک از انواع چهارگانه برابر با T_0 شود، B حداکثر مقدار خود را یعنی ۲/۵ خواهد داشت و این مقدار متناسب با ساختمانهایی است که از سختی نسبتاً زیاد برخوردار هستند.



شکل ۲-۱۳ - ضریب بازتاب ساختمان برای زمین‌های چهارگانه [۲۰]

از طرف دیگر T مربوط به طبقه‌بندی نوع زمین است که آئین‌نامه برای هر یک از انواع زمین‌ها با توصیف مواد متشکله آنها ارائه کرده است. چنانچه ملاحظه می‌شود از نکات قابل توجه و بسیار مهم که در تحلیل استاتیکی معادل دخالت داده شده است خواص و رفتار دینامیکی خاک یا زمین محل ساختگاه می‌باشد. به عبارت دیگر نوع زمین و لایه‌های آن بر روی حرکات و ارتعاش زمین اثر دارد که مجموعه اثرات محلی یا موضعی نامگذاری شده است. قبلاً توضیح مختصری در خصوص امواج P و S داده شد و گفتیم که موج فشاری در مسیر فاصله کانونی زلزله تا ساختمان مورد نظر لایه‌های زمین را فشرده می‌کند و موج برشی در جهت عمود بر این مسیر بر ارتعاش زمین اثر می‌گذارد. اما نباید از نظر دور داشت که بین سرعت موج برشی و خواص ژئوتکنیکی لایه‌های زمین رابطه‌ای یا رابطه‌هایی وجود دارد، لیکن تاکنون این وابستگی چندان روشن نشده است. در هر حال گفته می‌شود که سرعت موج برشی مناسبترین عامل برای بررسی اثر موضعی خاک بر مشخصات حرکات زمین می‌باشد. از اینرو در استاندارد ۲۸۰۰ ایران ضمن طبقه‌بندی و توصیف چهار نوع زمین رابطه‌ای برای بدست آوردن سرعت موج برشی ارائه کرده است تا با در اختیار داشتن آن و به کمک آن نوع زمین تعیین شود. در هر صورت مقدار T برای زمین‌های سخت ۰/۴، زمین‌های نسبتاً سخت ۰/۵ و برای زمین‌های سست ۰/۷ و بالاخره برای زمین‌هایی که نرم و با رطوبت زیاد هستند برابر با ۱/۰ داده شده است.



۲-۱۳-۳- زمان تناوب اصلی ساختمان

در مورد زمان تناوب اصلی یا طبیعی ساختمان قبلا توضیحاتی نسبتا مفصل ارائه شد، آنچه ذیلا گفته می‌شود مربوط به استاندارد ۲۸۰۰ ایران است که در تحلیل استاتیکی معادل باید بکار رود. همانطور که گفته شد روابط ۲-۲۲ تا ۲-۲۶ برای محاسبه زمان تناوب اصلی ساختمان‌های بتن مسلح بکار می‌رود. نکته حائز اهمیت این است که هر قدر زمان تناوب اصلی ساختمان بیشتر باشد مقدار ضریب بازتاب (B) کاهش می‌یابد و برعکس هر قدر T کمتر باشد مقدار B افزایش می‌یابد. گر چه آئین‌نامه در هر دو حالت محدودیتی اعمال کرده است، لیکن برای اینکه مقدار نیروی برشی پایه محافظه کارانه محاسبه شود بهتر است در طراحی مراحل اولیه مقدار زمان تناوب اصلی کوچکتر اختیار شود.

البته بر طبق تبصره ۲ بند ۲-۴-۵ آئین‌نامه طراحی ساختمانها در برابر زلزله، اجازه داده شده است که طراح بتواند به جای استفاده از روابط تجربی ارائه شده، زمان تناوب اصلی ساختمان را به کمک مدل‌سازی محاسبه نماید. اما از آنجا که معمولا در مدل‌سازی‌ها اثر عوامل مختلفی از قبیل میانقابها، جرم اجزاء مربوط به تأسیسات و حضور لوله‌های مدفون در دیوارها یا بر روی دیوارها و در داخل کف‌ها و سایر موارد ملحوظ نمی‌شود، و این عوامل بر این محاسبه اثر می‌گذارند، آئین‌نامه مقرر نموده است که زمان تناوب اصلی محاسبه شده با هر روشی نباید بیشتر از ۱/۲۵ برابر زمان تناوب حاصل از روابط تجربی خود باشد. زیرا می‌خواهد با این محدودیت نیروی برشی پایه با تخمین دست پائین محاسبه نشود.

۲-۱۳-۴- ضریب اهمیت ساختمان (I)

باید دانست که طراحی لرزه‌ای هر نوع ابنیه‌ای بر نوع بهره‌برداری از آن اثر مستقیم دارد. بنابراین لازم است طراح اثر کیفی درجه اهمیت ساختمان را بصورت کمی در محاسبات خود وارد کند. برای اینکار استاندارد ۲۸۰۰ ایران ساختمانها را بسته به نوع کاربری آنها به سه گروه تقسیم‌بندی کرده است. زیرا ساختمانهایی که در دوره قبل وقوع زلزله اهمیت اجتماعی و خدمات‌رسانی عمومی دارند، هنگام وقوع زلزله باید یا هیچگونه خسارتی نبینند یا کمترین خسارت ممکن به آنها وارد شود تا پس از رخداد زلزله بتوانند در سطح وسیعتری خدمات خود را ارائه دهند. مثلا بیمارستانها یا مراکز امداد رسانی، مراکز انتقال خون، ستادهای فرماندهی برای دوره مدیریت



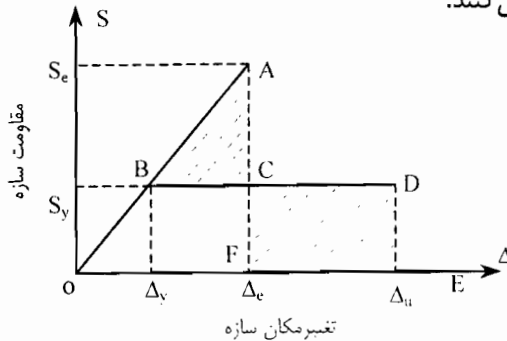
بحران، ساختمانهایی که برای پناه دادن کسانیکه خانه‌های خود را از دست داده‌اند و از این قبیل موارد که در این بحث نمی‌توان به همه آنها اشاره کرد، از مواردی است که از اهمیت بسزایی برخوردار هستند، بنابراین باید بتوان به نوعی این اهمیت را بصورت یک ضریب کمی در محاسبه نیروی برشی پایه دخالت داد. از این جهت آئین‌نامه مقدار ضریب برش پایه را مستقیماً به این ضریب مرتبط دانسته است. لازم به ذکر است که عوامل دیگری مانند سطح فنآوری ساخت، کیفیت مصالح، نحوه اجرا از نقطه نظر رعایت دقیق نکات، جزئیات و الزامات ارائه شده در نقشه‌ها، نقش مهمی در سطح ایمنی ساختمانها دارند و می‌توانند بر ضریب اهمیت ساختمان (I) اثر بگذارند. در هر حال آئین‌نامه سه سطح اهمیت زیاد، متوسط و کم ارائه کرده است. مثلاً برای گروه ۱، یعنی ساختمانهایی که اهمیت زیاد دارند، در مقایسه با گروه ۲، ۲۰ درصد بر مقدار برش پایه اضافه می‌نماید تا بدینوسیله ساختمان از مقاومت بالاتری برخوردار شده و در سطح قویتری از لرزش زمین وارد محدوده رفتار غیرارتجاعی خود شود، اما برای گروه ۲، یعنی ساختمانهایی که اهمیت متوسطی دارند، هیچ تغییری برای برش پایه قائل نمی‌شود و این در حالی است که برای گروه ۳، یعنی آن ساختمانهایی که با اهمیت کم هستند، حدود ۲۰ درصد نیروی برش پایه را در مقایسه با گروه ۲ کاهش می‌دهد.

۲-۱۳-۵- ضریب رفتار و ضریب شکل‌پذیری ساختمان (R)

چنانچه قبلاً توضیح داده شد، اگر اثر عوامل یا پدیده‌های رفتار لرزه‌ای ساختمانها بصورت کمی شناسایی و در روش تحلیل بکار برده شود، دقت روش تحلیل و تطبیق آن با آنچه که هنگام رخداد زلزله انتظار می‌رود، بیشتر خواهد بود. یکی از این عوامل، رفتار ساختمان است. اگر قرار باشد ساختمان بدون هیچگونه تغییرشکل یا تغییر مکان اعضاء نسبت به یکدیگر و یا تغییر مکان سازه نسبت به شالوده یا زمین محل احداث نداشته باشد، بدان مفهوم است که چنین ساختمانی تمام انرژی اعمال شده توسط زلزله را تحمل کرده و مستهلک نموده است. می‌دانیم که چنین امری ممکن نیست زیرا اجزاء و مصالح تشکیل‌دهنده آن نمی‌توانند خاصیت تغییر شکل‌پذیری نداشته باشند. بنابراین در ساختمان تغییرشکل و تغییر مکان بین اجزاء ایجاد می‌شود. اما اگر این تغییر مکانها یا تغییرشکل‌های نسبی با حذف بار یا نیروی اعمالی و یا توقف زلزله اندک باشند، رفتار کلی ساختمان در محدوده ارتجاعی باقی می‌ماند. به عبارت ساده‌تر تنش در تمام اعضای سازه‌ای کمتر از تنش حد ارتجاعی و بلکه کمتر از تنش مجاز خواهد بود و در نتیجه مقاومت آن در قلمرو ارتجاعی با حاشیه ایمنی نسبتاً زیادی موجب پایداری کلی ساختمان می‌شود.



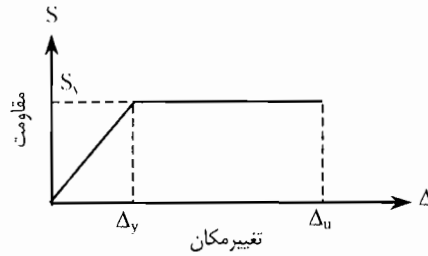
باید دانست که به جز در موارد استثنایی که رفتار کاملاً ارتجاعی سازه‌ای هدف طراحی است، در سایر موارد چنین رفتاری موجب می‌شود که طرح ساختمان غیراقتصادی شده و ابعاد و اندازه‌های اعضای سازه‌ای بیش از حد متعارف بزرگ و یا نیاز باشد از مصالح با مقاومت بسیار زیاد استفاده شود. از اینرو رفتار چنین ساختمانی را با مدل ارائه شده در شکل ۲-۱۴ و توسط منحنی خطی - ارتجاعی OA تشریح می‌کنند.



شکل ۲-۱۴- رفتار لرزه‌ای ساختمان در دو قلمرو ارتجاعی و غیرارتجاعی

بر طبق شکل ۲-۱۴ و منحنی خطی OA مقاومت ساختمان در قلمرو ارتجاعی S_e و تغییر مکان نظیر آن Δ_e می‌باشد. اکنون جای این پرسش است که آیا برای زلزله‌ای که احتمال وقوع آن در طول عمر ۵۰ ساله یک ساختمان فقط ۱۰ درصد است، چنین طرحی مقرون به صرفه است و آیا می‌توان ساختمانی تا بدین حد سخت بنا کرد؟

پاسخ روشن است که باید راه‌حل دیگری جستجو کرد و آن اینکه طراح اجازه دهد تا رفتار ساختمان از محدوده ارتجاعی خود بگذرد و وارد قلمرو رفتار غیرارتجاعی شود. به بیان دیگر، اینکه اگر برای زلزله طرح، مقاومت متناسبی موردنیاز است، که اصطلاحاً به آن مقاومت نیاز می‌گویند، طراح باید سازه را به نحوی طراحی کند تا مقاومت آن هنگام رخداد زلزله کمتر از مقاومت موردنیاز باشد، اما در عوض با پذیرش تغییر شکل و تغییر مکان‌های نسبی، با ورود رفتار خود به قلمرو غیرارتجاعی قادر باشد بخش قابل توجهی از انرژی ورودی ناشی از زلزله را مستهلک نماید، اگر سازه یا ساختمان قادر باشد چنین رفتار شکل‌پذیری از خود بروز دهد می‌گوئیم که ساختمان شکل‌پذیر یا انعطاف‌پذیر است و به قولی نرم است. این شکل‌پذیری را که یک رفتار کیفی است با ضریبی بنام ضریب شکل‌پذیری تفسیر کمی می‌کنند که در شکل ۲-۱۵ این تعبیر آمده است.



شکل ۲-۱۵- رفتار نرم یا شکل‌پذیر ساختمان

با توجه به شکل ۲-۱۵، نسبت حداکثر تغییر مکان ساختمان Δ_u در تراز مقاومت S_y به تغییر مکان نظیر آن یعنی Δ_y را ضریب شکل‌پذیری می‌گویند.

$$\mu = \frac{\Delta_u}{\Delta_y} \quad (۲-۳۰)$$

در تطبیق شکل ۲-۱۵ با شکل ۲-۱۴ در می‌یابیم که رفتار دو خطی ایده‌آل $OBCD$ در شکل ۲-۱۴ متناظر با شکل ۲-۱۵ است. یعنی اینکه مقاومت S_e در قلمرو ارتجاعی، پس از کاهش قابل توجه به مقاومت کاهش یافته S_y رسیده است که تغییر مکان نظیر آن Δ_y می‌باشد. اکنون در شکل ۲-۱۴ می‌گوئیم که نسبت مقاومت S_e به مقاومت S_y ضریب کاهش مقاومت یا ضریب رفتار است.

$$R = \frac{S_e}{S_y} \quad (۲-۳۱)$$

تردید نیست که باید بین دو کمیت ضریب رفتار و ضریب شکل‌پذیری رابطه‌ای که ناشی از عملکرد ساختمان است برقرار باشد. اما بحث فوق برای ساختمانی صادق است که اولاً به صورت یک سیستم یک درجه آزاد باشد و ثانياً خواص دینامیکی آن در دو حالت ارتجاعی و غیر ارتجاعی تحت یک زلزله خاص بدست آمده باشد. به عبارت دیگر رابطه بین R و μ ، برای یک ساختمان معین، تحت زلزله‌های مختلف، متفاوت خواهد بود، زیرا خواص دینامیکی در این پدیده مهم رفتاری دخالت خواهند داشت. پس می‌توان گفت که ضریب رفتار در یک ساختمان بتن مسلح، تابعی از زمان تناوب طبیعی، میرایی ساختمان، درجات نامعینی، شکل‌پذیری و خواص مهندسی مصالح بکار رفته در ساختمان می‌باشد. خواننده گرامی توجه دارد که هر قدر نقش این خواص دینامیکی بصورت کمی در مقدار ضریب رفتار (R) مشخص و معین باشد، به همان میزان ضریب زلزله (C) و مآلاً نیروی برشی پایه از دقت بیشتری برخوردار خواهد بود و اطمینان از روش



تحلیل استاتیکی معادل بیشتر می‌شود. تاکنون و در پی بررسی‌های انجام شده رفتار غیرارتجاعی ساختمانها در برابر زلزله بر سه پایه نظری استوار است که عبارتند از:

الف - نظریه تساوی تغییرمکان رفتار ارتجاعی با رفتار غیرارتجاعی

ب - نظریه تساوی انرژی رفتار ارتجاعی با رفتار غیرارتجاعی

ج - نظریه تساوی شتاب در رفتار ارتجاعی با رفتار غیرارتجاعی

اینک هر یک از این سه نظریه را مورد بررسی اجمالی قرار می‌دهیم.

در تساوی تغییرمکان باید فرض کنیم که حداکثر تغییرمکان در قلمرو غیرارتجاعی با حداکثر تغییرمکان در قلمرو ارتجاعی مساوی باشد. با رجوع به شکل ۲-۱۴ در می‌یابیم که در قلمرو ارتجاعی یعنی محدوده منحنی OA ، حداکثر تغییرمکان Δ_e است و در قلمرو غیرارتجاعی یعنی محدوده دو خطی OBC ، حداکثر تغییرمکان باید Δ_e باشد، بنابراین خواهیم داشت:

$$\mu = \frac{\Delta_e}{\Delta_y} \quad , \quad R = \frac{S_e}{S_y} \quad , \quad \frac{S_e}{S_y} = \frac{\Delta_e}{\Delta_y} \quad (2-32)$$

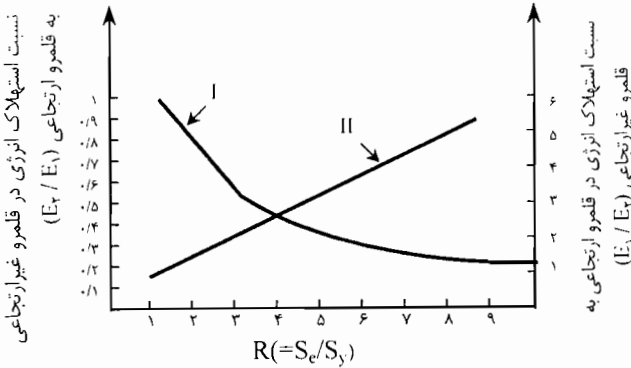
و از این رابطه مقدار شکل‌پذیری یا ضریب رفتار برابر می‌شوند:

$$\mu = R \quad (2-33)$$

مفهوم فیزیکی این رابطه شرح زیر قابل تفسیر و توجیه است.

اگر مقدار مقاومت در قلمرو ارتجاعی (S_e) بعنوان شاخص طراحی در نظر گرفته شود، یعنی اینکه فقط ضریب رفتار یا ضریب کاهش نیرو تغییر یابد اما Δ_e و S_e ثابت بماند و در چنین حالتی اگر $\mu = R = 1$ باشد تمام انرژی ورودی (توسط ساختمان) فقط در قلمرو ارتجاعی مستهلک می‌شود و سازه دارای سختی بسیار بالایی بوده به طوری که می‌توان گفت زمان تناوب صفر خواهد بود. از طرفی هر قدر به مقدار R یا μ اضافه شود، نه تنها استهلاک انرژی بیشتر نمی‌شود بلکه کاهش هم می‌یابد. در شکل ۲-۱۶ تغییرات انرژی استهلاکی متعلق به رفتار غیرارتجاعی نسبت به رفتار ارتجاعی، در مقابل افزایش R نشان داده شده است.

همانگونه که ملاحظه می‌شود با افزایش R ، نسبت فوق‌الذکر بشدت کاهش می‌یابد. ساختمانهایی که چنین رفتاری دارند، دارای زمان تناوب طبیعی بالایی خواهند بود.



شکل ۲-۱۶- کاهش استهلاک انرژی در قلمرو غیرارتجاعی

البته اگر طراحی برای یک ساختمان شکل‌پذیر انجام شود، لازم است بر مبنای نظریه تساوی تغییرمکان، عکس نسبت فوق برای بدست آوردن مقاومت موردنیاز در قلمرو رفتار ارتجاعی بکار رود. به عبارت دیگر منحنی II در شکل ۲-۱۶ استهلاک انرژی بیشتری را با افزایش مقدار R نشان می‌دهد.

بر طبق نظریه تساوی انرژی لازم است طراح مقاومت سازه را کمتر از مقاومت موردنیاز زلزله در نظر بگیرد اما شرط دیگر این است که مقدار انرژی ورودی بطور کامل توسط ساختمان مستهلک گردد و این مقدار استهلاک انرژی صرفاً باید توسط شکل‌پذیری ساختمان انجام شود.

به عبارت دیگر اگر قرار بود که سازه بطور کامل دارای رفتار ارتجاعی بوده باشد، در آنصورت استهلاک انرژی در حالت غیرارتجاعی باید مساوی حالت ارتجاعی باشد. با رجوع به شکل ۲-۱۴، انرژی ارتجاعی برابر سطح مثلث OAF است و انرژی غیرارتجاعی برابر با سطح ذوزنقه $OBDE$ می‌باشد. از تساوی این سطح خواهیم داشت:

$$\frac{1}{4} (\Delta_e \cdot S_e) = \frac{1}{4} (\Delta_u + (\Delta_u - \Delta_y)) S_y \quad (۲-۳۴)$$

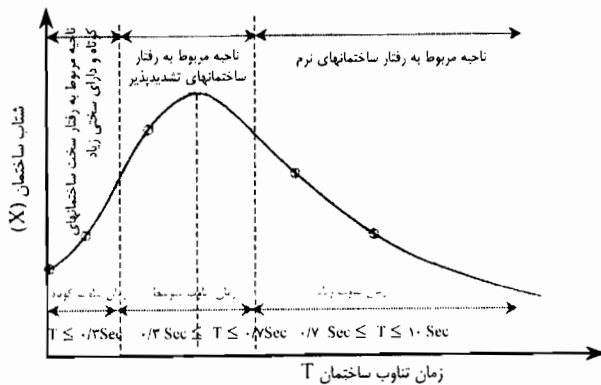
با توجه به این رابطه و رابطه ۲-۳۲ نتیجه می‌گیریم که:

$$R = \sqrt{2\mu - 1} \quad \text{یا} \quad \mu = \frac{1}{4}(R^2 + 1) \quad (۲-۳۵)$$

اکنون باید به این نکته توجه کرد که اگر قرار باشد مقاومت ساختمان از مقاومت موردنیاز، R برابر بیشتر باشد بدان مفهوم است که رفتار ساختمان ارتجاعی بوده و نیرویی که در آن بوجود می‌آید برابر با مقدار نیرویی است که از طیف طرح ارتجاعی بدست می‌آید.



همانگونه که در شکل ۲-۱۴ مشاهده می‌شود اگر مقاومت طراحی بقدری اضافه شود که به مقاومت نیاز یا S_e برسد، در آنصورت تغییر مکان برابر با Δ_e خواهد شد و اگر به هر میزان مقاومت طراحی کمتر از S_e شود، بهمان میزان باید جبران تساوی انرژی را از طریق افزایش تغییر مکان تأمین کرد. به عبارت دیگر باید سازه وارد قلمرو غیرارتجاعی شود. ساختمانهایی که دارای چنین رفتاری باشند معمولاً دارای زمان تناوب طبیعی کوتاه هستند. اگر زمان تناوب طبیعی ساختمان خیلی کوتاه باشد، مثلاً کمتر از 0.12 ثانیه باشد، مقدار ضریب رفتار در رابطه ۲-۳۵ غیرمحافظة کارانه خواهد بود.



شکل ۲-۱۷- تأثیر رفتار سازه بر طیف شتاب [۷]

در مورد نظریه تساوی شتاب باید گفت وقتی که زمان تناوب طبیعی $T = 0$ می‌شود، شتاب ساختمان به شتاب زمین نزدیک می‌شود، به عبارت دیگر جابجایی یا تغییر مکان زمین عیناً به ساختمان منتقل می‌شود. از این جهت شکل‌پذیری ساختمان نتیجه حرکت و تغییر مکان کلی ساختمان است و چندان به رفتار اجزای سازه‌های ساختمان وابستگی ندارد. اما اگر ساختمان قادر نباشد که حداکثر شتاب زمین را تحمل کند، فرو می‌ریزد. از این بحث نتیجه می‌گیریم که ساختمانهای با زمان تناوب طبیعی کوتاه نباید برای نیرویی کمتر از نیروی متناظر با حداکثر شتاب زمین طراحی شوند. در شکل ۲-۱۷ نواحی مربوط به این سه نظریه بر روی طیف شتاب نشان داده شده است.

در هر صورت آئین‌نامه طراحی ساختمانها در برابر زلزله، ضرایب رفتار را براساس طراحی به روش تنش مجاز ارائه می‌دهد و توصیه کرده است که اگر نیروهای اجزای سازه‌ای با استفاده از ضرایب



آن بدست آیند، برای طراحی حدی این اجزای سازه‌ای، باید نیروهای محاسبه شده با توجه به آئین‌نامه طراحی (مثلاً در استفاده از آئین‌نامه بتن ایران «آبا» در طراحی سازه‌های بتن مسلح) افزایش داده شوند. آنچه که حائز اهمیت است، این است که ضرایب رفتار مندرج در این آئین‌نامه وابسته به ارتفاع ساختمان از تراز پایه است که برحسب متر و در مناطق با خطر نسبی زیاد در نظر گرفته شده‌اند.

۲-۱۴- اثر ترکیب سیستم‌های سازه‌ای بر ضریب رفتار

گاهی ممکن است ضرورت‌های طراحی ایجاب کند که چه در پلان و چه در ارتفاع از دو یا چند سیستم سازه‌ای بصورت ترکیبی استفاده شود. استاندارد ۲۸۰۰ ایران، هر مهندس طراحی را از بکارگیری سیستم‌های ترکیبی بر حذر می‌دارد، لیکن برای موارد خاص یا جایی که این ضرورت وجود دارد، توصیه‌هایی نموده است که باید به آنها توجه شود.

بی‌تردید بکارگیری دو سیستم متفاوت، یعنی بکارگیری دو ضریب رفتار متفاوت، از اینرو باید این نکته به طرز صحیحی در محاسبات منظور گردد.

الف- ترکیب سیستم‌های سازه‌ای متفاوت در ارتفاع

اگر در ارتفاع ساختمان از دو سیستم سازه‌ای مختلف استفاده شود باید ضریب رفتار سیستم بالایی بیشتر از ضریب رفتار سیستم پائینی باشد. به عبارت دیگر لازم است سیستم بالایی نسبت به سیستم پائینی از سختی جانبی کمتری برخوردار باشد، یا اینکه بگوئیم انعطاف‌پذیری آن بیشتر باشد و در چنین حالتی زمان تناوب طبیعی سیستم بالایی بیشتر از زمان تناوب طبیعی سیستم پائینی می‌شود. آئین‌نامه الزام می‌کند که محاسبه نیروی زلزله مؤثر بر کل سیستم به یکی از دو روش زیر انجام شود:

۱- از ضریب رفتار کمتر (مربوط به سیستم پائینی) برای محاسبه نیروی زلزله استفاده می‌شود، و در این راه باید به کمک روابط تجربی $2-24$ و $2-25$ زمان تناوب طبیعی دو سیستم بالایی و پائینی محاسبه و کمترین آنها اختیار شود. از طرفی مقدار زمان تناوب طبیعی مجموعه دو سیستم را به دو روش تحلیلی و رابطه تجربی $2-24$ و $2-25$ محاسبه کرده و بیشترین آنها اختیار شود. لازم بذکر است که بر طبق این آئین‌نامه زمان تناوب طبیعی به روش تحلیلی نباید از $1/25$ برابر مقدار بدست آمده از رابطه تجربی بیشتر باشد.



ملاحظه می‌شود که هدایت آئین‌نامه در این جهت است که تا حد ممکن، طراح از سیستم‌های ترکیبی اجتناب ورزد ولی در صورت بکارگیری آنها، لازم است از ایجاد تمرکز تنش و تغییرشکل‌های غیرارتجاعی در سیستم پائینی جلوگیری کند. به عبارت ساده‌تر لازم است قسمت بالایی زودتر از قسمت پائینی وارد قلمرو رفتار غیرارتجاعی شود تا ایمنی ساختمان بیشتر باشد.

۲- اما اگر سیستم بالایی دارای سختی جانبی بسیار کمتر از سختی جانبی سیستم پائینی باشد، لازم است که اولاً هر یک از دو سیستم بطور مجزا منظم باشند و ثانیاً سختی متوسط قسمت پائینی ده برابر سختی متوسط سیستم بالایی باشد و ثالثاً زمان تناوب طبیعی مجموعه دو سیستم (کل ساختمان) ده درصد بیشتر از زمان تناوب طبیعی قسمت بالایی باشد. در این وضعیت سیستم سازه‌ای فوقانی را بصورت یک سیستم مجزا با تکیه‌گاه‌های صلب فرض کرده و نیروی جانبی مربوط به آن با در نظر گرفتن ضریب رفتار خودش، محاسبه می‌گردد. برای سیستم سازه‌ای زیرین با منظور کردن ضریب رفتار آن و اینکه بصورت مجزا فرض می‌شود، نیروی جانبی مربوط به آن محاسبه می‌شود. برای طراحی سیستم پائینی باید از حاصلجمع نیروی جانبی خود با حاصلضرب عکس‌العمل نیروی جانبی سیستم بالایی در نسبت ضریب رفتار بالایی به ضریب رفتار سیستم پائینی، استفاده کرد.

ب- ترکیب سیستم‌های سازه‌ای متفاوت در پلان

اگر طراح نیاز داشته باشد تا از ترکیب سیستم‌های سازه‌ای در پلان استفاده کند، لازم است به دو مورد مطرح شده در استاندارد ۲۸۰۰ ایران توجه نماید که عبارتند از:

۱- اگر از سیستم سازه‌ای دیوارهای باربر در یک جهت استفاده می‌شود، لازم است تا ضریب رفتار در امتداد دیگر از ضریب رفتار جهت دیوارهای باربر کمتر باشد. تا اینکه جهت عمود بر امتداد دیوارهای باربر دیرتر وارد قلمرو رفتار غیرارتجاعی شوند. بدین ترتیب نقصانی در ظرفیت باربری دیوارهای باربر پدیدار نخواهد شد.

۲- اگر ارتفاع ساختمان از ۵۰ متر کمتر باشد یا تعداد طبقات آن ۱۵ و یا کمتر باشد، هر یک از سیستم‌هایی را که ضریب رفتار آنها در استاندارد ۲۸۰۰ ارائه شده است، (جدول ۳-۲۸۰۰) می‌توان در دو امتداد پلان استفاده کرد. اما در مورد سایر ساختمانها فقط از ترکیب قاب خمشی ویژه و سیستم دوگانه می‌توان استفاده کرد.



ج- سیستم‌های سازه‌ای از تراز پایه تا روی پی

اگر سیستم سازه‌ای پائینی از روی پی تا تراز پایه استقرار داشته باشد، یعنی اینکه تراز پایه بالاتر از روی شالوده باشد، باید سختی و مقاومت جانبی سیستم سازه‌ای پائین‌تر از تراز پایه بیشتر از سختی و مقاومت جانبی سیستم روی تراز پایه باشد. مثلاً در مورد سازه‌های بتن مسلح، اگر در دوسیستم پائینی و بالایی، در هندسه سازه و پلان آنها تغییراتی وجود نداشته باشد، لازم است کلیه جزئیات فولادگذاری در تیرها و ستونهای قاب خمشی، دیوارهای برشی، در سیستم سازه‌ای بالایی (روی تراز پایه)، عیناً در سیستم سازه‌ای پائینی (پائین‌تر از تراز پایه) تکرار شود. تمام نکات فوق ناظر بر این تمهید است که تا حد امکان نوعی یکپارچگی و همخوانی بین رفتار قسمت بالایی و قسمت پائینی برقرار شود، تا اینکه سیستم مجموعه از ایمنی نسبتاً قابل توجهی برخوردار باشد.

۲-۱۵- توزیع نیروی جانبی محاسبه شده در ارتفاع سازه

با توجه به اقدامات قبلی و تعیین نیروی برش پایه در می‌یابیم که عوامل مختلفی بر ضریب برش پایه (C) اثر دارند. نیروی برشی پایه در واقع با توجه به شرایط هر طبقه در تراز کف طبقه‌ها توزیع می‌شود. تردیدی نیست که توزیع این نیرو در ارتفاع ساختمان به آن دسته از عوامل که مربوط به خواص لرزه‌ای ساختمان هستند مربوط می‌شود. این عوامل عبارتند از:

۱- نحوه توزیع جرم در ارتفاع ساختمان

۲- نحوه توزیع سختی در ارتفاع ساختمان

۳- اثر مودهای نوسان ساختمان

۴- نقش هر مود نوسان بر بارگذاری (اثر زمان تناوب هر مود و شکل هر مود)

۵- طیف پاسخ زلزله

با توجه به این عوامل مشخص می‌شود که توزیع نیروی برشی پایه در هر تراز، بستگی به چگونگی تغییرشکل ساختمان دارد، یعنی چگونگی جابجایی جرم در آن تراز و حداکثر دامنه جابجایی در آن تراز. معمولاً تغییرات توزیع جرم و جابجایی را در ارتفاع بصورت خطی فرض می‌کنند. مهمترین مودهای ارتعاشی را سه مود اول که در شکل ۲-۱۲ نشان داده شده‌اند، در نظر گرفته ولی اگر ساختمان خیلی بلند باشد دارای چندین درجه آزادی و با حالت‌های مختلفی از تغییرشکل است. مثلاً یک ساختمان ۳۰ طبقه که از قاب صلب تشکیل شده باشد، زمان تناوب مود اول آن بطور تقریبی برابر با $T_1 = 0.1N = 0.1 \times 30 = 3$ ثانیه می‌شود، و تقریباً برای مود دوم و



سوم ارتعاش به ترتیب زمان تناوب آنها برابر با $T_3 = \frac{1}{3} T_1 = 1$ و $T_2 = \frac{1}{2} T_1 = 0.6$ ثانیه خواهد بود. ملاحظه می‌شود که زمان تناوب مود اول بسیار بیشتر از مود دوم و سوم می‌شود و در تمام حالت این مسئله که مود اول بیشترین اثر را بر رفتار لرزه‌ای دارد، حاکم است، بویژه در مورد ساختمانهایی که زمان تناوب کوتاه دارند این موضوع بیشتر صادق می‌شود. ساختمانهای انعطاف‌پذیر با زمان تناوب زیاد، دارای پاسخی آرام، طول‌المدت و حرکت یا جابجایی پیچیده‌تری بوده به نحوی که جابجایی در تراز فوقانی خیلی شدید و ناگهانی است و اثری ناموزون بر تغییر شکل ساختمان در بالاترین تراز می‌گذارد. این اثر را بنام اثر شلاقی می‌گویند و آنرا بصورت کمی با نیروی F_t در بالاترین تراز ساختمان جایگزین می‌کنند. این نیروی شلاقی در شکل ۲-۱۲ آورده شده است. توزیع نیروی برشی در ارتفاع ساختمان از یک مود ارتعاشی به مود ارتعاشی دیگر متفاوت است و اگر سازه ساختمان دچار تغییرشکلهای زیاد غیرارتجاعی نشده باشد، می‌توان با حاصلجمع اثر مودها، نیروی جانبی لحظه‌ای را برای آن بدست آورد، گاهی این اثر باعث جمع شدن نیروها و گاهی کسر شدن آنها از یکدیگر می‌شود. همچنانکه در شکل ۲-۱۲ نشان داده شده است می‌توان توزیع نیروی جانبی در ارتفاع ساختمان را بصورت مثلثی در نظر گرفت که در واقع پوش حاصلجمع اثر مودها تلقی می‌شود. آئین‌نامه طراحی ساختمانها در برابر زلزله (استاندارد ۲۸۰۰) برای ساختمانی که در ارتفاع و پلان منظم باشد، توزیع جرم و سختی در ارتفاع یکنواخت باشد، وزن کفها و ارتفاع طبقات مساوی باشند، توزیع نیروی جانبی را بصورت خطی در نظر می‌گیرد.

با در نظر گرفتن اثر شلاقی در بالاترین تراز ساختمان انعطاف‌پذیر، بخشی از تمام نیروی برشی پایه (V) بنام F_t بصورت نیروی متمرکز در بالای سازه اعمال می‌شود و مابقی آن یعنی $(V-F_t)$ در ارتفاع ساختمان توزیع می‌گردد. نیروی F_t را باید وقتی در نظر گرفت که زمان تناوب اصلی ساختمان بیش از 0.7 ثانیه باشد. چنانچه زمان تناوب اصلی ساختمان برابر با 0.7 ثانیه یا کمتر از آن باشد، می‌توان مقدار F_t را برابر با صفر در نظر گرفت. ولی در هر صورت F_t نباید از ۲۵ درصد نیروی برش پایه بیشتر باشد. پس مقدار F_t از رابطه ۲-۳۶ قابل محاسبه و کنترل است.

$$F_t = 0.07TV \leq 0.25V \quad (2-36)$$

بر طبق شرح فوق نیروی $(V-F_t)$ بصورت نیروهای متمرکز در تراز سقفها و در تمام ارتفاع ساختمان بصورت خطی (مثلثی) توزیع می‌گردد. اگر برای هر سقف فرض کنیم که نیروی وزن



ثابت است، در این صورت نیروی افقی که در تراز هر سقف اعمال می‌شود می‌تواند متناسب با ارتفاع مربوط به آن سقف توزیع گردد. یعنی نیروی افقی در تراز x برابر است با:

$$F_x = h_x \left(\frac{F_1}{h_1} \right) = h_x \left(\frac{F_2}{h_2} \right) = \dots = h_x \left(\frac{F_i}{h_i} \right) = \dots = h_x \left(\frac{F_n}{h_n} \right) \quad (۳۷-۲)$$

از طرفی تعادل نیروهای افقی ایجاب می‌کند که داشته باشیم:

$$(V - F_t) = F_1 + F_2 + F_3 + \dots + F_i + \dots + F_n \quad (۳۸-۲)$$

$$= F_x \frac{h_1}{h_x} + F_x \frac{h_2}{h_x} + \dots + F_x \frac{h_i}{h_x} + \dots + F_x \frac{h_n}{h_x}$$

$$= \frac{F_x}{h_x} (h_1 + h_2 + \dots + h_i + \dots + h_n)$$

$$(V - F_t) = \frac{F_x}{h_x} \sum_{i=1}^n h_i \quad (۳۹-۲)$$

پس مقدار F_i را می‌توان بدست آورد:

$$F_x = (V - F_t) \frac{h_x}{\sum_{i=1}^n h_i} \quad (۴۰-۳)$$

اما باید دانست که ممکن است مقدار وزن یا نیروی ثقلی مؤثر در تراز یا در هر سقف با هم مساوی نباشند، بنابراین اثر نیروهای ثقلی در هر تراز به تناسب ارتفاع آنها خواهد بود، یعنی خواهیم داشت:

$$F_x = (V - F_t) \frac{h_x W_x}{\sum_{i=1}^n h_i W_i} \quad (۴۱-۲)$$

در این رابطه W وزن طبقه‌ای است که شامل وزن سقف و مقدار سربار آن به اضافه نصف وزن دیوارها و ستونهایی که در بالا و پایین سقف قرار گرفته‌اند. اندیس i از یک تا n که تعداد طبقات است بوده و اندیس x ، تراز موردنظر است که نیروی افقی قابل اعمال بر سازه در آن تراز محاسبه می‌شود.

از آنجا که در اغلب ساختمانها برای راه پله‌ها خرپشته تعبیه می‌شود، آئین‌نامه توصیه‌ای برای اعمال محل اثر نیروی F_t دارد و آن اینکه اگر وزن کل خرپشته از ۲۵ درصد وزن بام کمتر باشد، نیروی F_t در تراز بام اعمال می‌شود ولی اگر بیش از ۲۵ درصد وزن بام باشد بعنوان بخشی از سازه در رفتار ارتعاشی نقش داشته و بدین جهت باید نیروی F_t را تراز فوقانی (سقف) خرپشته



اعمال کرد. اکنون که توزیع نیروی افقی در تراز سقفها مشخص شده است می‌توان به کمک روش‌های تحلیلی یا عددی سازه را تحلیل کرده و مقدار نیروها و تنش‌ها را برای اعضای سازه‌ای بدست آورد و سپس آنها را طراحی کرد. ولی آئین‌نامه الزامات دیگری را نیز بیان کرده است که باید مورد توجه قرار گیرد. ذیلاً به آنها بصورت اختصار اشاره می‌کنیم.

۲-۱۶- توزیع افقی نیروی برشی

همانطور که نیروی ناشی از زلزله تمام ساختمان را تحت اثر نیروی برشی قرار می‌دهد، در هر طبقه از ساختمان نیز نیروی برشی (که برابر است با حاصلجمع نیروهای جانبی در تراز سقفهای بالاتر از آن)، اعمال می‌شود. این نیروی برشی باید توسط عناصر سازه‌ای در آن طبقه تحمل شوند. البته اگر سقفها بطور کامل صلب باشند تمام نیروی برشی طبقه بین اعضای سازه‌ای همان طبقه به نسبت سختی آنان توزیع می‌گردد.

اگر سقفها بقدر کافی صلب نباشند، در آنها تغییرشکل‌هایی ایجاد می‌شود که بر توزیع نیروی برشی در هر طبقه اثر می‌گذارد. از اینرو باید اثر تغییرشکل‌های سقفهای غیرصلب در توزیع نیروی برشی هر طبقه بین اعضای سازه‌ای دخالت داده شود.

۲-۱۷- لنگر پیچشی ناشی از زلزله

معمولاً هر ساختمانی که تحت اثر زلزله واقع می‌شود، تحت اثر لنگر پیچشی قرار می‌گیرد. عامل تولید یا ایجاد لنگر پیچشی در یک ساختمان بستگی به عوامل مختلفی دارد که مهمترین آنها توزیع جرم و سختی در پلان و در ارتفاع است.

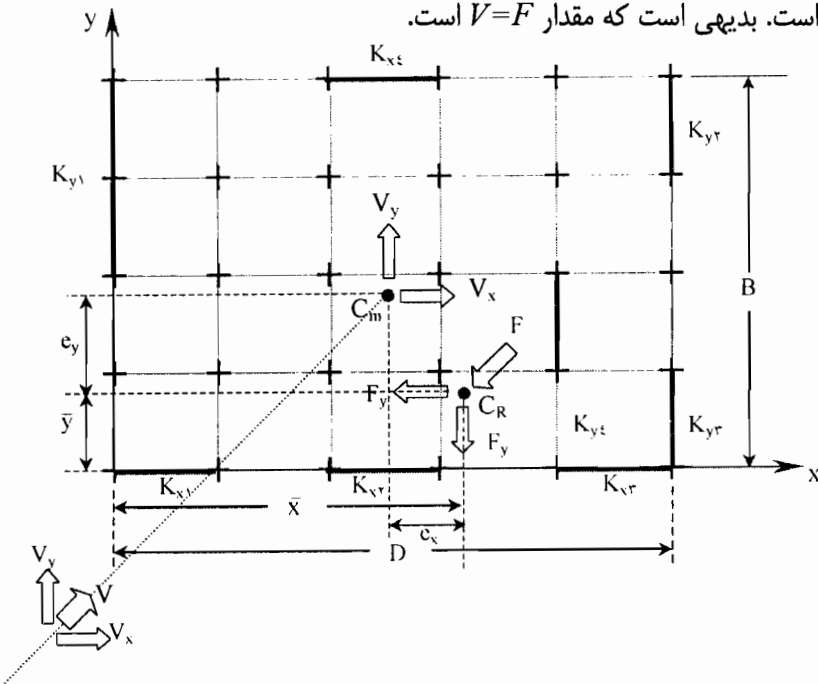
لنگر پیچشی از دو ناحیه بوجود می‌آید، یکی لنگر پیچشی ناشی از عدم انطباق مرکز جرم بر مرکز سختی و دیگری لنگر پیچشی تصادفی.

مرکز جرم در هر طبقه ممکن است با مرکز جرم طبقه دیگر متفاوت باشد که در اینصورت مرکز جرم طبقات در یک راستای قائم نخواهند بود که باید این اختلاف محاسبه شود و در طرح لرزه‌ای مورد استفاده قرار گیرد. نیروی برشی طبقات که در واقع نیروی اینرسی ناشی از زلزله است بر جرمهایی که تحت شتاب قرار می‌گیرند اعمال می‌شود. و از آنجا که جرم طبقات در تراز سقفها بصورت متمرکز در نظر گرفته می‌شود، نیروی برشی به تراز سقفها وارد می‌شود که آنهم از مرکز جرم طبقه می‌گذرد. بنابراین نیروی زلزله همواره از مرکز جرم طبقه یا ساختمان عبور می‌کند. مرکز جرم را مرکز برش نیز می‌گویند.



اما این نیروها باید توسط عناصر سازه‌ای مقاومت شوند و این مقاومت بستگی زیادی به سختی آنها دارد. به عبارت دیگر هر عضوی که سخت‌تر باشد سهم بیشتری در تحمل نیروهای اعمالی خواهد داشت. پس اگر عضوهای سازه‌ای در یک طبقه دارای سختی‌های مختلفی باشند هر یک به سهم خود بخشی از این نیروها را تحمل می‌کنند و برآیند نیروهای عکس‌عملی از محل سختی معادل عبور خواهد کرد. به بیان دیگر محل اثر نیروهای مقاومتی یا عکس‌عملی مرکز سختی طبقه خواهد بود. به مرکز سختی، مرکز صلبیت یا مرکز مقاومت نیز می‌گویند. در این حالت اگر مرکز سختی طبقات مختلف یک ساختمان چند طبقه در یک راستا نباشند، باید اختلاف آنها محاسبه شود و تأثیر آن در تحمل لنگر پیچشی مورد توجه قرار گیرد.

اکنون باید گفت که اگر نیروی زلزله که از مرکز جرم می‌گذرد با نیروی عکس‌عملی که از مرکز سختی می‌گذرد و در جهت مخالف یکدیگر هستند در یک راستا باشند مقدار لنگر پیچشی صفر می‌شود. زیرا در این صورت مرکز جرم بر مرکز سختی منطبق است. ولی اگر این دو مرکز بر هم منطبق نباشند این دو نیرو، لنگر پیچشی ایجاد خواهد کرد. در شکل ۲-۱۸ که پلان یک ساختمان را نشان می‌دهد، نیروی زلزله (V) نسبت به دو جهت متعامد پلان دارای دو مؤلفه که به ترتیب V_x و V_y هستند تجزیه می‌شود و نیروی عکس‌عملی (F) نیز به دو مؤلفه F_x و F_y تجزیه شده است. بدیهی است که مقدار $V=F$ است.



شکل ۲-۱۸ - نیروی زلزله و نیروی عکس‌عملی در پلان ساختمان



خروج از مرکزیت یا فاصله بین مرکز جرم (C_m) و مرکز سختی (C_R) در مسیر نیروی V و نیروی عکس‌العملی F برابر با e است که در دو جهت x و y دارای دو مؤلفه e_x و e_y می‌باشد. مقدار لنگر پیچشی که در این طبقه اعمال می‌شود برابر است با:

$$M_t = V \cdot e = F \cdot e \quad (۲-۴۲)$$

لنگر پیچشی M_t از دو قسمت M_{tx} و M_{ty} تشکیل شده است که مقدار آنها برابر است با:

$$M_{tx} = V_x \cdot e_y = F_x \cdot e_y \quad (۲-۴۳)$$

$$M_{ty} = V_y \cdot e_x = F_y \cdot e_x \quad (۲-۴۴)$$

$$M_t = M_{tx} \cdot M_{ty} \quad (۲-۴۵)$$

$$V \cdot e = F \cdot e = V_y \cdot e_x + V_x \cdot e_y = F_x \cdot e_y + F_y \cdot e_x \quad (۲-۴۶)$$

برای بدست آوردن مرکز سختی کافی است که از سختی اعضای سازه‌ای که باید بارهای جانبی را تحمل کنند، نسبت به مبدأ مختصات لنگر گرفته شود، در آنصورت محل مرکز سختی یعنی مختصات \bar{x} و \bar{y} بدست می‌آید که روابط مربوط ذیلا و با توجه به شکل ۲-۱۸ آورده شده است:

$$\bar{x} = \frac{\sum K_{yi} x_i}{\sum K_{yi}}, \quad \bar{y} = \frac{\sum K_{xi} y_i}{\sum K_{xi}} \quad (۲-۴۷)$$

در این شکل عناصر سخت‌کننده دیوارهای برشی هستند، در حالیکه به جای آنها می‌توانست از بادبندیها نیز (در سازه‌های فولادی) استفاده شود که همین شرایط حاکم می‌بود. ضمناً اگر سازه بدون دیوار برشی باشد، در آنصورت قابها می‌بایست کل نیروی جانبی را تحمل کنند که به نسبت سختی قابها نیرو بین آنها توزیع می‌شود. در این وضعیت اگر سختی دیوارها را در دو جهت x و y به K_{xi} و K_{yi} نشان دهیم می‌توان سهم هر یک از آنها را در تحمل نیروی برشی بدست آورد. این سهم بر مبنای سختی آنها خواهد بود. بنابراین برای جهت x خواهیم داشت:

برای جهت x :

$$V_{ix} = \left(\frac{K_{xi}}{\sum K_{xi}} \right) V_x \quad (۲-۴۸)$$

برای جهت y :

$$V_{iy} = \left(\frac{K_{yi}}{\sum K_{yi}} \right) V_y \quad (۲-۴۹)$$



تردیدى نیست که به جای V_x و V_y می‌توان F_x و F_y نوشت.

و اما لنگر پیچشی دیگری که به ساختمان اعمال می‌شود، لنگر پیچشی تصادفی نام دارد. این لنگر در اثر عوامل زیر ایجاد می‌شود:

الف- حرکت‌های پیچشی که در بستر یا زمین رخ می‌دهد (مؤلفه پیچشی حرکات زمین حول محور قائم)

ب- تغییر در سختی سازه و اعضای سازه‌ای ساختمان در مقایسه با مقادیر فرض شده

ج- کاهش سختی غیریکنواخت در اعضای سازه‌ای در خلال رفتار غیرارتجاعی آنها

د- تغییرات تصادفی در نحوه توزیع بارهای مرده و بارهای زنده که بسیار محتمل است.

هـ- تغییر یا زوال مقاومت در اعضای سازه‌ای، در خلال رفتار غیرارتجاعی آنها

از این جهت است که تمام آئین‌نامه‌ها و بخصوص استاندارد ۲۸۰۰ ایران، بطور جدی ملزم می‌کند که حتی اگر مرکز جرم بر مرکز سختی منطبق شود، لازم است لنگر پیچشی تصادفی را محاسبه کرد. برای محاسبه آن خروج از مرکزیت موردنظر باید برابر با ۵ درصد بعد ساختمان در دو جهت x و y باشد. بنابراین با رجوع به شکل ۲-۱۸ مقدار خروج از مرکزیت (اختلاف بین مرکز جرم و مرکز سختی) طراحی برابر خواهد بود با:

$$e_{dx} = e_x + 0.05D \quad (50-2)$$

$$e_{dy} = e_y + 0.05B \quad (51-2)$$

لازم به توضیح است که برای ساختمانهای با اهمیت زیاد، باید لنگر پیچشی اتفاقی یا تصادفی محاسبه شود. لیکن در مورد ساختمانهایی که ارتفاع آنها کمتر از ۱۸ متر باشد، یا تعداد طبقات آنها کمتر یا مساوی ۵ باشد، چنانچه e_x یا e_y کمتر از ۵ درصد بعد ساختمان باشد، می‌توان از محاسبه لنگر پیچشی آنها صرفنظر کرد و اگر برابر با ۵ درصد یا بیشتر باشد باید لنگر پیچشی محاسبه شود ولی از لنگر پیچشی تصادفی می‌توان صرفنظر کرد.

۲-۱۸- لنگر واژگونی

یکی دیگر از عوامل مهم در کنترل پایداری ساختمان، محاسبه لنگر مقاوم آن در برابر لنگرواژگونی است. ممکن است بر اثر نیروهای جانبی، لنگر واژگونی موجب گردد تا در یک طرف ساختمان نیروی فشاری بسیار زیاد و در طرف مقابل آن نیروی کششی بسیار زیاد ایجاد شود. از این جهت لازم است لنگر مقاوم در برابر لنگر واژگونی در طبقات مختلف کنترل گردد. اما مهمترین عامل کنترل در پایداری ساختمان محاسبه لنگر واژگونی در تراز زیر شالوده است که



برابر است با مجموع حاصلضرب نیروی جانبی هر تراز در فاصله آن تراز تا زیر شالوده، یا حاصلضرب برآیند نیروهای جانبی که در ترازهای مختلف به سازه اعمال می‌شوند در فاصله آن برآیند تا تراز زیر شالوده.

بر طبق استاندارد ۲۸۰۰ ایران لازم است نسبت لنگر مقاوم به لنگر واژگونی حداقل برابر با ۷۵ باشد. یعنی لنگر مقاوم باید ۷۵ درصد بیشتر از لنگر واژگونی باشد.

در محاسبه لنگر مقاوم، باید لنگر ناشی از بارهای ثقلی مرده بطور کامل و آن بخشی از بارهای زنده که در تعیین نیروی جانبی (زلزله) بکار گرفته شده است، منظور شود. البته وزن شالوده و خاک روی آن در مقدار لنگر مقاوم باید در نظر گرفته شود. مقدار لنگر واژگونی در تراز شالوده برابر است با:

$$M_{ove} = F_i h_n + \sum_{i=1}^n F_i h_i \quad (52-2)$$

۱۹-۲- تغییر مکان نسبی طبقات

تغییر مکان نسبی یک طبقه عبارتست از مقدار تغییر مکان آن طبقه نسبت به طبقه دیگر. در طراحی لرزه‌ای ساختمانهای بتن مسلح لازم است علاوه بر کنترل‌هایی که تاکنون عنوان شده است، تغییر مکان طبقات نسبت به یکدیگر به نحوی محدود شود تا از وارد آمدن خسارتهای احتمالی به عناصر و اجزای غیرسازه‌ای جلوگیری شود.

نکته حائز اهمیت در کنترل تغییر مکان نسبی طبقات این است که اگر فرض کنیم که نیروهای طراحی متناسب با شکل‌پذیر بودن سازه محاسبه شده‌اند، باید دانست که چنین سازه‌ای دارای رفتار غیرارتجاعی بوده و مقدار تغییر مکان واقعی در آن بیش از تغییر مکانی است که در تحلیل ارتجاعی بدست می‌آید. به عبارت دیگر تغییر مکان واقعی ساختمان در اثر زلزله شدید به مراتب بیش از آن است که تحلیل و محاسبات ارتجاعی و در تحلیل استاتیکی معادل بدست می‌دهد. اگر بخواهیم این اختلاف را با تقریب قابل قبولی بسنجیم باید داشته باشیم:

$$\Delta_m = \mu_{\Delta} \cdot \Delta_e \quad (53-2)$$

که در این رابطه Δ_e ، تغییر مکان ارتجاعی و μ_{Δ} شکل‌پذیری تغییر مکانی سازه و Δ_m ، مقدار تغییر مکان غیرارتجاعی سازه است. چنانچه روشهای طراحی آئین‌نامه‌ها را در نظر بگیریم، با



تقریب قابل قبولی می‌توان مقدار تغییرمکان ارتجاعی را مساوی تغییرمکان غیرارتجاعی در نظر گرفت یعنی $\mu_{\Delta} = R$ باشد. بنابراین مقدار تغییرمکان ارتجاعی برابر خواهد بود با:

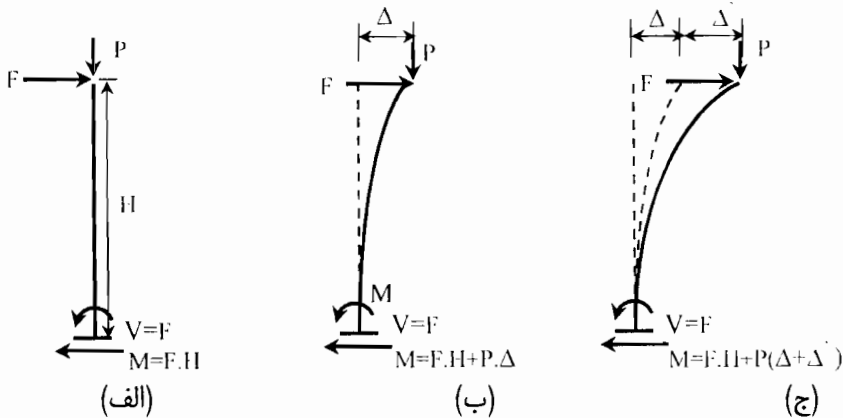
$$\Delta_e = \frac{\Delta_m}{\mu_{\Delta}} = \frac{\Delta_m}{R} \quad (2-54)$$

ملاحظه می‌شود که محدودیت تغییرمکانهای نسبی براساس رفتار سازه در قلمرو غیرارتجاعی تعیین می‌شود. به عبارت دیگر تغییرمکان مجاز طبقات به ضریب رفتار R وابسته است. از اینرو آئین نامه طراحی ساختمانها در برابر زلزله (استاندارد ۲۸۰۰ ایران)، می‌گوید که تغییرمکان نسبی هر طبقه (i) و یا بام نباید از $\frac{0.3}{R} h_i$ بیشتر باشد.

از این محدودیت در می‌یابیم که مقدار ($0.3 h_i$) حداکثر تغییرمکانی است که برای رفتار غیرارتجاعی قائل می‌شود. رابطه ۲-۵۴ فقط برای تغییرمکانی است که مرادف با برآیند نیروی جانبی یا نیروی زلزله است که به ساختمان وارد می‌شود، که معمولاً محل اثر آن در $\frac{2}{3}$ ارتفاع خواهد بود. از طرفی باید توجه داشت که تغییرمکان نسبی در طبقات پائین‌تر، از مقدار محاسبه شده (که برابر است با حاصلضرب تغییرمکان نسبی ارتجاعی در ضریب رفتار سازه) به مراتب بیشتر خواهد بود. از موارد دیگری که در کنترل تغییرمکان جانبی و نسبی حائز اهمیت است این است که تا حد امکان از اثرات ناشی از $P-\Delta$ کاسته شود.

۲-۲۰- اثر $P-\Delta$

همانطور که اشاره شد، تغییرمکان جانبی ساختمان در اثر نیروهای ناشی از زلزله اگر کنترل نشود می‌تواند منشأ خسارتهایی به اجزای سازه‌ای و غیرسازه‌ای باشد. اما با تغییرمکان افقی ساختمان، بارهای ثقلی هم به همان میزان تغییرمکان می‌یابند. اثر تغییرمکان جانبی بارهای ثقلی بصورت لنگر ظاهر می‌شود که به آن لنگر ثانویه می‌گویند. از طرفی تغییرمکان نیروها اثر تجمیعی بر رفتار سازه می‌گذارد. بدین معنا که بر مقدار تغییرمکانها، لنگرها و نیروها اضافه می‌شود که این مقادیر اضافه شده در تحلیل و طراحی اولیه ملحوظ نشده‌اند، و بدین جهت به آنها اثرات ثانویه یا اثرات $P-\Delta$ می‌گویند. در شکل ۲-۱۹ اثر $P-\Delta$ بر روی یک طره قائم که تحت اثر نیروی ثقلی P و نیروی جانبی F است، نشان داده شده است.



شکل ۲-۱۹- اثر $P-\Delta$ بر روی یک طره قائم

در شکل ۲-۱۹-الف وضعیت طره قائم قبل از تغییر مکان جانبی در بالاترین تراز نشان داده شده است و مقدار نیروی برشی پایه برابر با F و لنگر پای طره $F.H$ می‌باشد. اما در اثر نیروی F طره در بالاترین تراز به اندازه Δ جابجا شده و بهمان مقدار نیروی ثقلی P نیز جابجا شده است. جابجایی نیروی P موجب می‌شود تا بصورت برون محوری لنگری معادل $P.\Delta$ به لنگر پای طره اضافه شود که در شکل ۲-۱۹-ب نشان داده شده است.

ولی باید توجه داشت که در حالت ب نیز نیروی افقی F اعمال شده است، بنابراین اثر تجمیع در شکل ۲-۱۹-ج بصورت تغییر مکان بیشتر Δ' ظاهر می‌شود. که مقدار لنگر پای طره بهمان میزان افزایش یافته است. به چنین اثری که در پی تغییر مکان سازه ظاهر شود اثر $P-\Delta$ می‌گویند. لازم به ذکر است که در برخی موارد اثر ثانویه کوچک است و می‌توان از آن صرف‌نظر کرد، اما در موارد دیگری مثل ساختمانهای بلند، ساختمانهایی که تحت بارهای ثقلی زیادی قرار دارند، یا ساختمانهایی که تحت پیچش قرار می‌گیرند، اثرات ثانویه می‌تواند بسیار تعیین‌کننده باشد و از این جهت باید در تحلیل سازه مورد توجه قرار گیرد.

در هر حال باید برای طراحی اعضای سازه‌ای، اثر ثانوی یا اثر $P-\Delta$ منظور شود. ولی اکثر آئین‌نامه‌ها با کنترل تغییر مکان جانبی ساختمان یا تغییر مکان نسبی طبقات اثر $P-\Delta$ را محدود می‌کنند. بطور مثال استاندارد ۲۸۰۰ می‌گوید اگر تغییر مکان نسبی هر طبقه‌ای با ارتفاع h_i از

$$\frac{h_i}{R} \leq 0.02$$

کمتر شد، و یا نسبت لنگرهای ثانوی به لنگرهای اولیه کمتر از ۰/۰۱ شد، می‌توان از اثر

$P-\Delta$ صرف‌نظر کرد.



به این محدودیت‌ها که بنوعی پایداری ساختمان را تأیید می‌کند، شاخص پایداری می‌گویند. اکنون با رجوع به شکل ۲-۲۰ یک ساختمان چند طبقه که در پلان و ارتفاع منظم است در دو حالت قبل از تغییرمکان جانبی و بعد از تغییرمکان جانبی نشان داده شده است. بر طبق این شکل که کف‌ها بطور کامل صلب در نظر گرفته شده‌اند، بارهای ثقلی در هر طبقه فقط دارای جابجایی افقی هستند. چنانچه تغییرمکان نسبی طبقه i ام را با Δ_i و ارتفاع آنرا با h_i و بار ثقلی آنرا با P_i که عبارتست از مجموع بارهای زنده و مرده طبقه i و کلیه طبقات بالاتر از آن (از i تا n) در نظر بگیریم، مقدار لنگر ثانوی که در این طبقه ایجاد می‌شود برابر است با:

$$M_i = P_i \Delta_i \quad (۵۵-۲)$$

با تقسیم این لنگر به ارتفاع طبقه مقدار برش اضافی در این طبقه بدست می‌آید:

$$\delta V_i = \frac{M_i}{h_i} = \frac{P_i \Delta_i}{h_i} \quad (۵۶-۲)$$

اکنون بر طبق تعریف نسبت برش ثانویه که بر اثر $P-\Delta$ بوجود می‌آید، به برش کل طبقه V_i ، شاخص پایداری گفته می‌شود و معمولاً آنرا با θ_i نشان می‌دهند. بنابراین شاخص پایداری برابر است با:

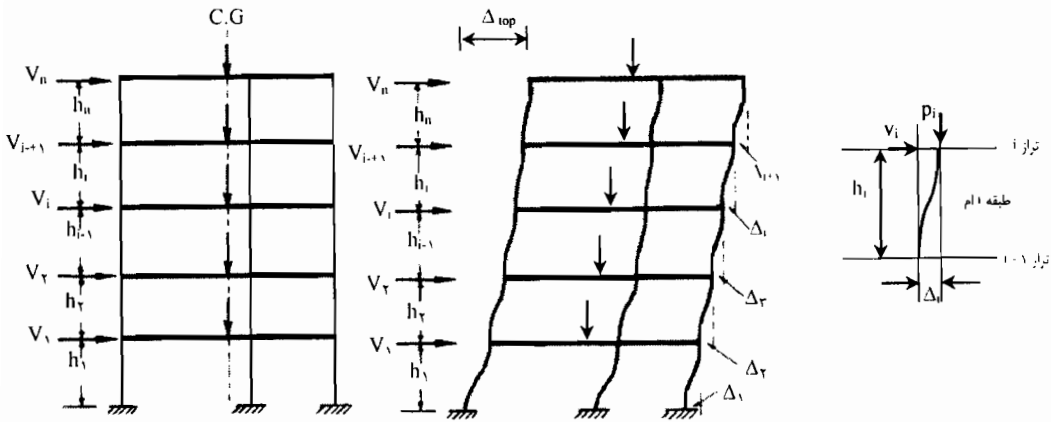
$$\theta_i = \frac{\delta V_i}{V_i} = \frac{P_i \Delta_i}{h_i V_i} \quad (۵۷-۲)$$

همانطور که بیان شد باید با محدود کردن Δ_i ، شاخص پایداری را محدود کرد. اگر θ_{max} را حداکثر مقدار شاخص پایداری بنامیم، بر طبق استاندارد ۲۸۰۰ باید این مقدار برابر باشد با:

$$\theta_{max} = \frac{1/25}{R} \leq 0/25 \quad (۵۸-۲)$$

به عبارت دیگر اگر θ_i بزرگتر از مقدار θ_{max} شود بدان مفهوم است که ساختمان در نتیجه اثر $P-\Delta$ ناپایدار شده است. اگر چه بدون در نظر گرفتن این اثر پایدار می‌بود. در هر صورت اگر مقدار شاخص پایداری که در واقع نسبت لنگرهای ثانوی به لنگرهای اولیه است در رابطه ۲-۵۹ صدق کند باید اثر $P-\Delta$ را به صورت اثر ثانوی در نظر گرفت.

$$0/1 < \theta_i < \theta_{max} \quad (۵۹-۲)$$



شکل ۲-۲۰- تغییر مکان جانبی سازه و نیروهای ثقلی

اکنون با فرض اینکه رابطه ۲-۵۹ محقق شده است، باید مقدار نیروها و تنش‌ها را در اعضای سازه‌ای کنترل کرد تا مطمئن شد که طراحی آنها شرایط ناشی از اثر $P-\Delta$ را ارضاء می‌کند. برای این منظور لازم است سازه ساختمان را برای بار دوم تحلیل کرد که اصطلاحاً به آن تحلیل مرتبه دوم می‌گویند. برای انجام این تحلیل روشهای مختلفی وجود دارد که عبارتند از:

۱- روش تحلیل کمانش

۲- روش تکرار یا روش اصلاح تغییر مکان

۳- روش مستقیم

۴- روش مهار منفی

۵- روش دقیق

۶- روش کامپیوتری

روشهای ۱ تا ۴ در زمره روشهای تقریبی هستند که روش چهارم اغلب برای سازه‌های فولادی بکار برده می‌شود.

در هر صورت با بکار بردن هر یک از این روشها می‌توان نیروی برشی اضافی در طبقه و سپس لنگرها و نیروها را در اعضای سازه‌ای بدست آورد. شرح نسبتاً مبسوط این روشها در مرجع [۳۰] آمده است که خواننده گرامی می‌تواند به آن رجوع نماید. لیکن در این جا روش تقریبی مندرج در استاندارد ۲۸۰۰ ایران که بر روش تقریبی تکرار یا اصلاح تغییر مکان استوار است، ارائه می‌شود.



اساس این روش بر مبنای اصلاح تغییرمکان اولیه‌ای است که از تحلیل اولیه سازه بدست می‌آید. برای اینکار برش حاصل از اثر $P-\Delta$ را محاسبه کرده و آنرا به مقدار برش طبقه موردنظر اضافه می‌کنیم.

از آنجا که اثر $P-\Delta$ یک اثر تجمیعی است، یعنی برش اضافی موجب تغییرمکان اضافی است و تغییرمکان اضافی اثر جدید $P-\Delta$ دارد و نتیجه آن برش اضافی مرتبه بعدی و تغییرمکان اضافی مرتبه بعدی و بهمین ترتیب این اثر بصورت تجمیعی ظاهر می‌شود که در یک تحلیل تکراری می‌توان اصلاحات پی در پی تغییرمکان را به نحوی انجام داد تا جوابها همگرا شوند.

اگر برش در طبقه i ام و قبل از تحلیل مرتبه یکم برابر با V_i بوده باشد مقدار برش اضافی (δV_i) برطبق رابطه ۲-۶۰ محاسبه شده و به V_i اضافه می‌شود تا برش دور اول تکرار را برای طبقه i ام بدست دهد، یعنی:

$$V_{i1} = V_i + \delta V_i = V_i + \frac{P_i \Delta_i}{h_i} \quad (2-60)$$

از رابطه ۲-۵۷ استفاده کرده مقدار برش را برحسب شاخص پایداری می‌نویسیم:

$$V_{i1} = V_i + V_i \theta_i = V_i (1 + \theta_i) \quad (2-61)$$

اگر مرتبه دوم تکرار را برای همین طبقه i ام انجام دهیم خواهیم داشت:

$$V_{i2} = V_{i1} + \delta V_{i1} = V_{i1} + V_i \delta \theta_i + \theta_i \delta V_i \quad (2-62)$$

و با استفاده از رابطه ۲-۶۱ و صرفنظر کردن از قسمت‌های کوچک، داریم:

$$V_{i2} = V_i (1 + \theta_i + \theta_i^2)$$

و در تحلیل n ام یا دوره n ام از تکرار خواهیم داشت:

$$V_{in} = V_i (1 + \theta_i + \theta_i^2 + \theta_i^3 + \dots) \quad (2-63)$$

با استفاده از حد سری داخل پرانتز که برابر با $(\frac{1}{1-\theta_i})$ است خواهیم داشت:

$$V_{in} = V_i \left(\frac{1}{1-\theta_i} \right) \quad (2-64)$$

با استفاده از این رابطه در پایان عملیات تکرار مقدار برش طبقه i ام بدست می‌آید. چنانچه اشاره شد این روش براساس رفتار خطی استوار است، اما در زلزله‌های نسبتاً شدید، تغییرشکلهای غیرخطی در سازه ایجاد می‌شود که بسیار بیشتر از نتایج یک تحلیل خطی و ارتجاعی بدست



می‌آید. برای رفع این نقیصه و رعایت رفتار واقعی سازه، آئین‌نامه مقرر داشته است که ضریب بزرگنمایی $0.4R$ باید در تغییرمکانهای جانبی ضرب شود و محاسبات $P-\Delta$ بر این اساس انجام گیرد. بنابراین تغییرمکان جانبی و واقعی برابر است با:

$$\Delta_{iNL} = \frac{0.4R}{\text{خطی}} \Delta_{iL} \quad (2-65)$$

خطی غیرخطی

اکنون با جایگذاری Δ_{iNL} به جای Δ_i در رابطه ۲-۵۷ و پس از آن در رابطه ۲-۶۴ خواهیم داشت:

$$V_{in} = V_i \left(\frac{1}{1 - 0.4R\theta_i} \right) \quad (2-66)$$

بنابراین برای بدست آوردن برش معادل طبقه i ام در مرحله n ام تکرر که جوابها همگرا شده باشند، باید از رابطه ۲-۶۶ استفاده شود.

۲-۲۱- مؤلفه قائم نیروی ناشی از زلزله

استاندارد ۲۸۰۰ ایران برای برخی از اجزای سازه‌ای مانند پیش‌آمدگی‌ها، بالکن‌ها که به صورت طره احداث می‌شوند، مؤلفه قائم زلزله را نیز در نظر می‌گیرد. بر طبق آن مقدار نیروی قائمی که به این قبیل اجزاء اعمال می‌شوند، برابر است با:

$$F_v = \frac{2AI}{R_v} W_p \quad (2-67)$$

که در آن A و I همان تعاریف قبلی را دارند که در تعیین نیروی افقی زلزله بکار برده می‌شدند و R_v ضریب رفتار این قبیل اجزای طره‌ای است که استاندارد ۲۸۰۰ ایران مقدار آنرا برای عناصر بتن مسلح طره‌ای برابر با ۲ در نظر می‌گیرد و W_p بار مرده به‌مراه کل سربار عضو طره‌ای است. بنابراین مقدار نیروی قائم ناشی از زلزله برابر می‌شود با:

$$F_v = AIW_p \quad (2-68)$$

نظر آئین‌نامه در ملحوظ داشتن اثر مؤلفه قائم نیروی ناشی از زلزله بر این جهت استوار است که اثر این نیرو را با اثر بارهای ثقیلی در طراحی عضو بکار گیرد، تا از این طریق طراحی عضو طره‌ای دست بالا و در جهت اطمینان باشد. از طرفی برای جهت رو به بالا بدون در نظر گرفتن اثر منفی بارهای ثقیلی، می‌خواهد این قبیل عضوها را برای لنگرهای جهت مخالف نیز مقاوم نماید. بنابراین



آرماتورگذاری عضوهای طره‌ای افقی در طرح لرزه‌ای متفاوت از طرح غیرلرزه‌ای خواهد شد. بویژه هنگامی که مقدار نیروی قائم (رو به بالا) ناشی از زلزله برابر یا بیشتر از جمع بارهای ثقلی باشد که در اینصورت تسلیح عضو در قسمت فوقانی مقدار قابل توجهی خواهد شد. از طرفی مؤلفه قائم نیروی ناشی از زلزله برای تیرهای پیش‌تنیده که اساس طراحی آنها بر پایه توزیع تنش کنترل شده است، می‌تواند موجب تغییر در توزیع تنش شود و بطور کلی رفتار آنها را تحت دستخوش تغییرات تنش قرار دهد. تیرهای بتن مسلح با دهانه‌های بسیار بزرگ نیز از مواردی بحساب می‌آید که می‌توانند بشدت تحت اثر این مؤلفه قائم قرار گیرند. شتاب‌نگاشت‌های ثبت شده نشان داده‌اند که حداکثر شتاب قائم زلزله تقریباً در حد دو سوم حداکثر شتاب افقی است ولی برای مواردی که از حساسیت بالایی برخوردار است، نباید با این تقریب عمل شود، بلکه لازم است بر طبق اطلاعات بدست آمده مقدار نیروی قائم ناشی از زلزله را بدست آورد.

۲-۲۲- تحلیل دینامیکی سازه ساختمان

چنانچه در ابتدای مطالب مربوط به تحلیل استاتیکی معادل گفته شد، هر قدر آثار و خواص لرزه‌ای اجزاء یا کل ساختمان بصورت کمی در روابط مربوط به تحلیل استاتیکی معادل گنجانده شود، نتایج بدست آمده از آن روش به رفتار واقعی لرزه‌ای ساختمان مأنوس‌تر و نزدیکتر خواهد بود. لکن روش استاتیکی معادل نمی‌تواند با تمامی خصوصیات رفتار لرزه‌ای ساختمان متناسب و منطبق باشد. از اینرو لازم است از روش تحلیل دینامیکی که سعی دارد منطبق با خصوصیات لرزه‌ای ساختمان باشد، استفاده کرد. به عبارت ساده‌تر روش تحلیل دینامیکی مبتنی بر خصوصیات دینامیکی سازه ساختمان استوار است.

این کتاب قصد ندارد که بطور مشروح روشهای تحلیل دینامیکی را ارائه کند، بلکه صرفاً برای بیان اینکه روشهای تحلیل دینامیکی در چه مواقعی باید بکار روند و اینکه چه نکاتی در طراحی باید مورد توجه قرار گیرد، اشاراتی خواهد داشت. خواننده محترم برای دریافت جزئیات تحلیلی می‌تواند به کتابهای دینامیک سازه‌ها یا مهندسی زلزله مراجعه نماید. در هر حال برای تحلیل دینامیکی سازه هر ساختمان بتن مسلح، می‌توان از چند روش استفاده کرد. ناگفته نماند در این روشها می‌توان سازه را بصورت یک سیستم چند درجه آزاد در نظر گرفت. روشهای مزبور به دو نوع تقسیم می‌شوند یکی روش دینامیکی در قلمرو زمان یا اصطلاحاً روش دینامیکی تاریخچه‌زمانی و دیگری روش دینامیکی مودال. تحلیل دینامیکی را برای دو حالت از رفتار سازه‌ها می‌توان بکار برد، یکی برای حوزه ارتجاعی (خطی) و دیگر حوزه غیرارتجاعی (غیرخطی).



استاندارد ۲۸۰۰ ایران استفاده از روش تحلیل دینامیکی را برای موارد زیر الزامی می‌داند:

- ۱- ساختمانهایی که در پلان و ارتفاع منظم هستند و ارتفاعشان از ۵۰ متر از تراز پایه بیشتر باشد.
 - ۲- ساختمانهایی که در پلان یا ارتفاع نامنظم بوده و تعداد طبقاتشان بیش از ۵ طبقه باشد یا ارتفاعشان بیش از ۱۸ متر از تراز پایه است.
 - ۳- ساختمانهایی که در ارتفاع از دو قسمت متفاوت سازه‌ای تشکیل شده باشند و شرایط زیر در مورد آنها صادق باشد؛
 - الف- هر یک از دو قسمت سازه‌ای به تنهایی نامنظم باشند.
 - ب- سختی قسمت پائینی کمتر از ده برابر سختی قسمت بالایی باشد.
 - ج- زمان تناوب اصلی کل ساختمان کمتر از $1/1$ برابر زمان تناوب اصلی قسمت بالایی باشد، به نحوی که قسمت بالایی و پائینی بصورت گیردار به یکدیگر مرتبط باشند.
 - ۴- ساختمانهای خیلی مهم و ویژه مانند نیروگاههای اتمی، سدهای بزرگ و موارد مشابه.
- البته استاندارد ۲۸۰۰ رعایت شرایط ساختگاهی را در بکارگیری این روش، با عنایت به جمیع جهات مورد توجه جدی دارد و ضوابطی را در این رابطه دیکته می‌کند. از جمله اینکه، برای تعیین ضریب بازتاب ساختمان (B)، که شرح آن در تحلیل استاتیکی معادل گذشت، و در واقع تبیین‌کننده پاسخ ساختمان در مقابل حرکات زمین است، باید با توجه به تحقق هر یک از موارد زیر، مطالعات ویژه خطر زلزله با توجه به شرایط ساختگاهی انجام پذیرد. مواردی که باید این ضرورت را مشخص کند عبارتند از:
- ۱- قرار باشد ساختمانی که برای طراحی آن اقدام شده است، بر روی زمین نوع IV-۲۸۰۰، یعنی زمینی که از نهشته‌های نرم با رطوبت زیاد (در اثر بالا بودن سطح آبهای زیرزمینی) یا زمینی که هرگونه پروفیل خاک آن اولا حداقل ۶ متر خاک رس با اندیس خمیری بیش از ۲۰ و ثانیا رطوبت بیش از ۴۰ درصد داشته باشد، احداث شود. چنین ساختمانی باید از اهمیت زیادی برخوردار بوده و ارتفاعش بیش از ۵۰ متر باشد.
 - ۲- ساختمان موردنظر دارای ارتفاعی بیش از ۵۰ متر بوده و قرار باشد که بر روی زمین نوع II- ب- ۲۸۰۰، یعنی زمینی که ضخامت لایه‌های خاک آن بیش از ۶۰ متر بوده و از خاکهای سخت مانند شن و ماسه متراکم یا رس بسیار سخت تشکیل شده باشد یا زمین نوع



III - ب - ۲۸۰۰ ، یعنی زمینی که دارای خاکهای با تراکم متوسط و طبقات شن و ماسه با پیوند متوسط بین دانه‌ای و رس با سختی متوسط، به نحوی که ضخامت لایه خاک بیش از ۶۰ متر بوده باشد.

ملاحظه می‌شود که برای تحلیل دینامیکی لازم است مطالعات ویژه ساختگاهی انجام پذیرد، زیرا تحلیل دینامیکی برای ساختمانهایی که شرایط فوق را ندارند، اولاً ضرورت ندارد و ثانیاً در مقایسه با نتایج بدست آمده از روش استاتیکی معادل چندان تفاوت قابل توجهی بدست نمی‌دهد. فلذا اگر قرار باشد تحلیل دینامیکی انجام پذیرد بدون در دست داشتن نتایج مطالعات ویژه ساختگاهی به نتیجه مطلوب از تحلیل ساختمان دست نخواهیم یافت.

در هر صورت برای اینکه روش تحلیل دینامیکی بتواند مزیت و برتری خود را در مقایسه با سایر روشهای تحلیل نشان دهد باید شرایط زیر در بکارگیری آن بطور مناسبی ملحوظ شود.

۱- برای مدلسازی سازه، از فرضیات صحیحی که بیشترین انطباق را با اجزاء سازه‌ای دارد، استفاده شود. به عبارت ساده‌تر هر قدر فرضیات بکار رفته برای ارائه مدل ریاضی سازه‌ای جامع‌تر باشد، نتایج تحلیل دینامیکی با رفتار واقعی سازه همخوانی بیشتری خواهد داشت.

۲- عوامل مربوط به مشخصه‌های مصالح و شرایط هندسی اجزای سازه‌ای، از دیگر مواردی است که مستقیماً بر نتایج بدست آمده از تحلیل دینامیکی مؤثر است.

۳- تنظیم مدل سازه‌ای به نحو مطلوبی دربرگیرنده اندرکنش سازه با خاک محل احداث (از طریق شالوده) بوده باشد، این موضوع نیز بر نتایج تحلیل اثر دارد.

۴- از مهمترین مواردی که باید در تحلیل دینامیکی بکار برده شود، اثر حرکت زمین است، زیرا حرکت زمین به عنوان اصلی‌ترین عامل تحریک ساختمان تلقی می‌شود. حرکت زمین دارای خصیصه‌هایی است که باید به صورت مناسبی تنظیم و بعنوان داده‌های ورودی در تحلیل دینامیکی بکار برده شود.

چنانکه در بخش کلیات آمده "لزله طرح" یعنی زلزله‌ای که دارای دوره بازگشت معینی باشد. بر طبق استاندارد ۲۸۰۰ ایران، دوره بازگشت زلزله طرح حدود ۴۷۵ سال است، یعنی اینکه احتمال وقوع چنین زلزله‌ای در طول ۵۰ سال عمر مفید و اولیه ساختمان طراحی شده کمتر از ۱۰ درصد است. اگر برای چنین زلزله‌ای طیف پاسخ شتاب را بدست آوریم به آن "طیف طرح" می‌گویند. بنابراین برای زلزله طرح باید مشخصاتی تهیه کرد که بتوان از آن در تحلیل استفاده کرد.



مشخصات زلزله طرح به سه صورت تعریف و تعیین می‌شود که عبارتند از:

۱- طیف طرح استاندارد

۲- طیف طرح ویژه ساختگاه

۳- تاریخچه زمانی تغییرات شتاب یا شتابنگاشت

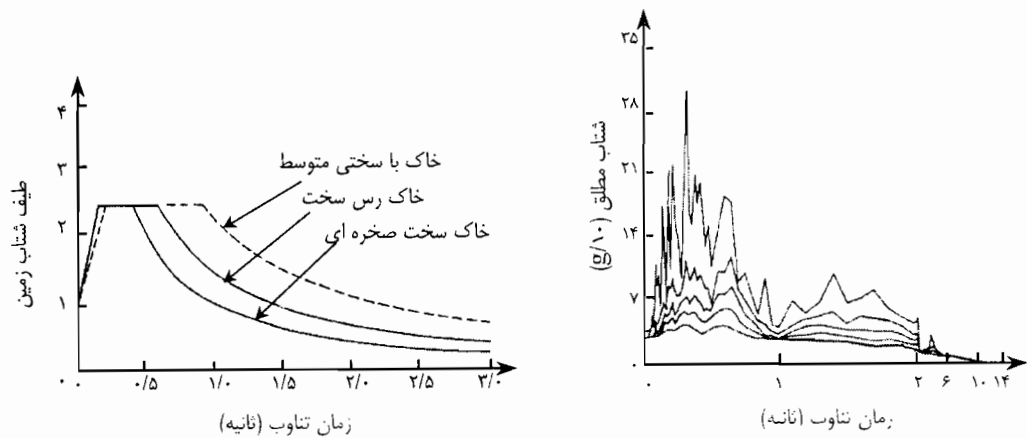
یادآور می‌شود که هر طیف بازتاب یا طیف پاسخ دارای دو ویژگی بسیار مهمی است که عبارتند از؛ شکل طیف و دامنه طیف. اما استاندارد ۲۸۰۰ ایران لازم می‌داند که نتایج بدست آمده از روش دینامیکی با نتایج حاصل از روش استاتیکی معادل مقایسه شود و در صورت وجود اختلاف به نحوی که بعداً تشریح می‌شود اصلاحات لازم در نتایج تحلیل دینامیکی اعمال گردد. از اینرو شکل طیف به نتایج حاصل از تحلیل اثر قابل توجهی دارد. اینک هر یک از مشخصات سه‌گانه زلزله طرح را به اختصار شرح می‌دهیم:

۲-۲۲-۱- طیف طرح استاندارد

بطور کلی طیف طرح یک زلزله عبارتست از یک منحنی که تابع آن مؤلفه‌های پاسخ (شتاب، سرعت و تغییر مکان) و متغیر آن زمان تناوب طبیعی یک سیستم یک درجه آزاد باشد. برای بدست آوردن طیف طرح شتاب از اطلاعات بدست آمده از شتابنگارهای مختلف در ساختگاههای مختلف استفاده می‌کنند تا به کمک آن نیروی زلزله را در یک سازه مشخص بدست آورند. اما باید توجه داشت زلزله‌ای که معلوم نیست در چه زمانی و با چه بزرگی و با چه مدتی و دارای چه محتوای فرکانسی، قرار است به این ساختمان در دست طراحی اعمال شود؟ چگونه می‌توان از طیف طرح یک زلزله برای طراحی آن استفاده کرد و از نتیجه طراحی هم برای مقابله با زلزله احتمالی مطمئن بود؟ این سؤالی است بسیار اساسی ولی جواب آن هم بسیار پیچیده، مشکل و بطور جدی نامطمئن. ولی برحسب اطلاعات و آمار می‌توان با تقریب قابل قبول و بار روشی منطقی طیف طرح را به نوعی بدست آورد که احتمال در برداشتن خصیصه‌های احتمالی زلزله موعود را در خود داشته باشد. جالب است بدانیم که اگر یک زلزله خاص را به سازه خاصی اعمال کنیم به دلایل عدیده‌ای مانند تناوب و میرایی سازه پاسخهای متفاوت بدست می‌آید. پس به طریق اولی برای زلزله‌های مختلف این پاسخها با یکدیگر هیچگونه مشابهتی ندارند. برای رفع این مشکل چاره‌ای نیست جز آنکه از طریق میانگین‌گیری طیف طرح چند زلزله اقدام به تهیه طیف طرح استاندارد نمود. برای اینکار مؤلفه‌های افقی چند زلزله بزرگ را بر حسب شتاب ثقل



همپایه می‌کنند، یعنی اینکه شتابنگاشتها را بر شتاب اوج (PGA) تقسیم کرده و در نسبتی از (g) مثلا $0/2g$ ضرب می‌نمایند، بدین ترتیب طیف ارتجاعی این شتابنگاشتهای همپایه شده را میانگین‌گیری کرده و پس از رفع ناهمواریهای آن (فیلتر کردن) یعنی حذف بریدگیها و اعوجاجها، نتیجه را به عنوان طیف طرح ارتجاعی استاندارد ارائه می‌کنند. البته برای نسبت‌های مختلف میرایی می‌توان طیف‌های مختلفی بدست آورد ولی نسبت میرایی $0/05$ را برای تهیه طیف ارتجاعی استاندارد در نظر می‌گیرند. از تقسیم این طیف به ضریب رفتار (R) طیف غیرارتجاعی استاندارد بدست می‌آید.



شکل ۲-۲۱- طیف پاسخ شتاب (زلزله سان‌فرناندو ۱۹۷۱) و طیف طرح نمونه برای خاکهای مختلف [۸]

در مورد طیف طرح استاندارد ایران باید گفت که توزیع ضریب بازتاب ساختمان در برابر زمان تناوب، همان طیف طرح است که اگر مقادیر آنرا در ضریب اهمیت (I) و شتاب مبنای طرح (A) ضرب کنیم طیف طرح ارتجاعی استاندارد بدست می‌آید و با تقسیم آن به ضریب رفتار، طیف طرح غیرارتجاعی استاندارد بدست خواهد آمد. نکته‌ای که باید در این قسمت یادآوری کرد این است که طیف طرح استاندارد ایران برای روش استاتیکی معادل را می‌توان برای تحلیل دینامیکی نیز بکار برد و دلیل این امر در این است که احتیاط بیشتری در طراحی بکار برده شود تا طراحی انجام شده محافظه‌کارانه باشد.

۲-۲۲-۲- طیف طرح ویژه ساختگاه

طیف طرح ویژه ساختگاه را زمانی تهیه کرده و بکار می‌بریم که با بررسیهای انجام شده، مشخص شود که طیف طرح استاندارد با مشخصات حرکت زمین تفاوت قابل توجهی داشته باشد.



بنابراین چنین طیفی باید منعکس کننده خواص ساختگاه، از قبیل خصیصه‌های محل تولید زلزله، مسیر انتشار امواج زلزله و سایر مشخصات ژئوتکنیکی خاک منطقه باشد. شرط دیگر این طیف در آن است که دوره بازگشت آن همانطور که قبلاً گفته شد، ۴۷۵ سال باشد. چنانچه قبلاً گفتیم اگر شتابنگاشت‌های کافی از محل احداث ساختمان در دست طراحی، در اختیار باشد، باید طیف پاسخ همه آنها تهیه شده، سپس با متوسط‌گیری و هموار کردن، منحنی نهایی، که طیف طرح ویژه آن ساختگاه است، بدست خواهد آمد. اما اگر بقدر کافی شتابنگاشت از محل موردنظر در اختیار نباشد، می‌توان از نگاشت‌های مناطقی که شرایط ساختگاهی و تکنونیکی و ژئوتکنیکی آنها مشابه محل ساختمان در دست طراحی است، استفاده کرد.

بر طبق استاندارد ۲۸۰۰ ایران نباید مقادیر طیف طرح ویژه ساختگاه از $\frac{2}{3}$ مقادیر نظیر طیف طرح استاندارد کمتر باشد.

۲-۲۳- روش تحلیل دینامیکی

این روش برای سازه‌هایی که منظم یا دارای بی‌نظمی باشند بکار می‌رود و چون اساس آن بر پاسخ دینامیکی سازه استوار است، روشی قابل قبول در تطبیق با واقعیت رفتار لرزه‌ای تلقی می‌شود. به کمک این روش می‌توان ساختمانهای چند طبقه که بصورت سازه‌های دارای چنددرجه آزادی مدل می‌شوند، تحلیل کرد. برای اینکه نتایج این روش دقیقتر باشد، باید مدل انتخابی با نوع سازه هماهنگی نزدیکی داشته باشد. از آنجا که معمولاً و ترجیحاً کفها را صلب در نظر می‌گیرند تا نیروهای جانبی بخوبی به اعضای قابها منتقل شوند، در یک مدل سه بعدی تعداد درجات آزادی در هر کف به ۳ درجه آزادی محدود می‌گردد که دو درجه آزادی مربوط به حرکت انتقالی و یک درجه مربوط به حرکت دورانی یا پیچشی سازه است. اگر مدل موردنظر دو بعدی باشد، درجه آزادی در این وضعیت فقط مربوط به حرکت انتقالی در یک جهت خواهد بود.

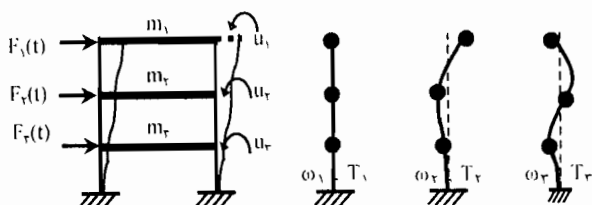
در مورد ساختمانهایی که دارای چندین طبقه هستند، حتی با فرض اینکه جرم هر طبقه در تراز کف متمرکز باشد، ساختمان تبدیل به یک مدل چند درجه آزادی می‌گردد که دارای مودهای ارتعاشی متعدد می‌باشد. در این روش حداکثر پاسخ سازه برای هر مود ارتعاشی محاسبه می‌شود، بعداً پاسخهای مودهای مختلف را به نحو مقتضی با یکدیگر ترکیب کرده و بعد از آن حداکثر پاسخ کلی سازه معلوم می‌شود.



هنگام اعمال زلزله به ساختمان با چند درجه آزادی، تغییر مکان جانبی سازه ترکیبی از اثر تمام شکل‌های مودی سازه می‌باشد، اما اگر در میان مودهای مختلف، مودهایی وجود داشته باشند که زمان تناوب طبیعی آنها با زمان تناوب ارتعاشی زمین نزدیک باشند، این مودها بر روی تغییر شکل سازه بیشتر از بقیه مودها اثر می‌گذارند. برای اغلب ساختمانها مشارکت مودهای بالاتر یعنی مودهایی که زمان تناوب کمتر و یا فرکانس بالاتری دارند، نسبت به مودهای پائین‌تر ناچیز بوده و می‌توان از آنها صرف‌نظر کرد. بنابراین مودهای اول، دوم و سوم بیش از سایر مودها در پاسخ سازه اثر دارند.

اما در ساختمانهای بلند که زمان تناوب طبیعی آنها زیاد است، یعنی نرم‌تر هستند، یا ساختمانهای نامنظم، مودهای ارتعاشی دوم، سوم و چهارم و بالاتر می‌توانند بر روی پاسخ مورد نظر اثر زیادی بگذارند. البته میزان مشارکت هر مود ارتعاشی به ویژگیهای مدل ساختمان و طیف پاسخ بستگی دارد. بنابراین برای ساختمانی که دارای چند مود ارتعاشی است، باید روشی مناسب برای ترکیب اثر مودهای آن در پاسخ سازه بکار برد.

اگر یک قاب سه طبقه با یک دهانه بصورت آنچه که در شکل ۲-۲۲ نشان داده شده است، در نظر بگیریم و جرم ساختمان را در تراز کفها متمرکز فرض کنیم مدل سازه‌ای و مودهای ارتعاشی اول، دوم و سوم آن که متناظر با زمان تناوب طبیعی هر یک از این مودها است، خواهد بود.



شکل ۲-۲۲- یک قاب دو بعدی تحت اثر نیروی دینامیکی

برای جرم هر یک از طبقات می‌توان یک معادله تعادل دینامیکی یا معادله حرکت بصورت زیر نوشت که در آن سه نیروی اینرسی F_I ، نیروی استهلاکی F_D و نیروی سختی F_K می‌باشد.

$$\begin{aligned}
 & \text{(برای جرم } m_1) \quad F_{I1} + F_{D1} + F_{K1} = F_1(t) \\
 & \text{(برای جرم } m_2) \quad F_{I2} + F_{D2} + F_{K2} = F_2(t) \\
 & \text{(برای جرم } m_3) \quad F_{I3} + F_{D3} + F_{K3} = F_3(t)
 \end{aligned}
 \tag{۲-۶۹}$$



و بطور کلی برای یک ساختمان چند طبقه برای جرم Z_j می‌توان نوشت:

$$F_{Ij} + F_{Dj} + F_{Kj} = F_j(t) \quad (\text{برای جرم } Z_j) \quad (70-2)$$

نیروی اینرسی برای جرم‌های سه‌گانه m_1 ، m_2 و m_3 که نتیجه شتاب نظیر هر یک است در حالت کلی چنین می‌شود:

$$F_{Ij} = m_j \ddot{u}_j \quad (71-2)$$

که اگر بصورت ماتریسی نوشته شود چنین است:

$$\begin{Bmatrix} F_{I1} \\ F_{I2} \\ F_{I3} \end{Bmatrix} = \begin{bmatrix} m_1 & 0 & 0 \\ 0 & m_2 & 0 \\ 0 & 0 & m_3 \end{bmatrix} \begin{Bmatrix} \ddot{u}_1 \\ \ddot{u}_2 \\ \ddot{u}_3 \end{Bmatrix} \quad (72-2)$$

و یا بطور خلاصه:

$$\{F_I\} = [M] \{\ddot{u}\} \quad (73-2)$$

در این رابطه $\{F_I\}$ ماتریس ستونی نیروهای اینرسی، $[M]$ ماتریس قطری جرم‌ها و $\{\ddot{u}\}$ ماتریس ستونی شتاب‌ها می‌باشد. چنانچه ملاحظه می‌گردد ماتریس جرم قطری است و علت آن در این است که جرم طبقات در تراز کفها متمرکز فرض شد ولی در حالت کلی، یعنی اگر جرم‌ها در تراز طبقات متمرکز فرض نشوند، این ماتریس قطری نبوده و حل معادلات در چنین شرایطی مشکل‌تر خواهد بود. و این دلیل اصلی متمرکز فرض کردن جرم‌ها است.

بهمین ترتیب نیروی ارتجاعی یا نیروی متناظر با سختی برای هر یک از این جرم‌ها برابر است با:

$$F_{K1} = K_{11}u_1 + K_{12}u_2 + K_{13}u_3$$

$$F_{K2} = K_{21}u_1 + K_{22}u_2 + K_{23}u_3 \quad (74-2)$$

$$F_{K3} = K_{31}u_1 + K_{32}u_2 + K_{33}u_3$$

که خلاصه آن چنین است:

$$\{F_K\} = [K] \{u\} \quad (75-2)$$



در رابطه ۷۵-۲، $\{F_K\}$ ماتریس ستونی نیروهای ناشی از سختی طبقات، $[K]$ ماتریس سختی و $\{u\}$ ماتریس ستونی تغییرمکانها می‌باشد. مشابه آنچه که برای نیروهای اینرسی و نیروهای ارتجاعی گفته شد، می‌توان برای نیروهای مستهلک کننده بیان کرد و در نتیجه خواهیم داشت:

$$\{F_D\} = [C]\{\dot{u}\} \quad (۷۶-۲)$$

که در آن $\{F_D\}$ ماتریس ستونی نیروهای مستهلک کننده، $[C]$ ماتریس استهلاک یا میرایی و $\{\dot{u}\}$ ماتریس ستونی سرعت می‌باشد. معادلات سه گانه ۷۳-۲، ۷۵-۲ و ۷۶-۲ را معادلات دینامیکی یک سازه با چند درجه آزادی می‌گوئیم. پس:

$$\{F_I\} + \{F_D\} + \{F_K\} = \{F(t)\} \quad (۷۷-۲)$$

این رابطه با رابطه ۷۸-۲ معادل است:

$$[M]\{\ddot{u}\} + [C]\{\dot{u}\} + [K]\{u\} = \{F(t)\} \quad (۷۸-۲)$$

لازم به یادآوری است که $\{F(t)\}$ ماتریس ستونی نیروهای وارده بر سازه می‌باشد.

$$\{F(t)\} = \begin{Bmatrix} F_1(t) \\ F_2(t) \\ \vdots \\ F_r(t) \end{Bmatrix} \quad (۷۹-۲)$$

از آنجا که پاسخ دینامیکی ساختمان به زمان‌های تناوب ارتعاشی (فرکانس‌ها) و نحوه تغییر شکل آن بستگی دارد، لاجرم در تحلیل دینامیکی آن باید فرکانس‌های ارتعاشی و مقدار تغییر شکل‌ها را محاسبه کرد. برای اینکار اگر حرکت دینامیکی ساختمان را بدون میرایی (میرایی صفر) و بصورت ارتعاش آزاد در نظر بگیریم معادله ۷۸-۲ بصورت ساده‌تر زیر نوشته می‌شود:

$$[M]\{\ddot{u}\} + [K]\{u\} = \{0\} \quad (۸۰-۲)$$

چون ارتعاش از نوع نوسانی آزاد است داریم:

$$\{u\} = \{\phi\} (\sin \omega t + \alpha) \quad (۸۱-۲)$$



که $\{\phi\}$ ماتریس ستونی دامنه ارتعاش می‌باشد، اگر از این رابطه دو بار نسبت به زمان مشتق بگیریم خواهیم داشت:

$$\{\ddot{u}\} = -\omega^2 \{\phi\} (\sin \omega t + \alpha) \quad (۸۲-۲)$$

از روابط ۲-۸۱ و ۲-۸۲ استفاده کرده مقدار $\{u\}$ و $\{\ddot{u}\}$ را در رابطه ۲-۸۰ جایگزین می‌کنیم:

$$[K] \{\phi\} - \omega^2 [M] \{\phi\} = 0 \quad (۸۳-۲)$$

ملاحظه می‌شود که رابطه ۲-۸۳ معادله‌ای برحسب فرکانس زاویه‌ای (ω) است که به آن معادله فرکانس یا معادله مقادیر مشخصه می‌گویند. اگر سازه دارای چندین درجه آزادی باشد می‌توان به کمک برنامه‌های کامپیوتری این معادله را حل کرد و از حل آن فرکانس زاویه‌ای (ω) و تغییر شکل سازه یا شکل ارتعاشی سازه که به آن شکل مودی نیز می‌گویند، بدست آورد.

پس برای n درجه آزادی، n شکل مودی و n فرکانس زاویه‌ای وجود دارد که برای هر یک از n مود سازه، یک فرکانس زاویه‌ای ω و ماتریس ستونی شکل مودی $\{\phi\}$ وجود دارد. کوچکترین مقدار ω اولین فرکانس زاویه‌ای (ω_1) است (بزرگترین تناوب T_1) که مربوط به مود اول خواهد بود و بترتیب مودهای بعدی شماره‌گذاری می‌شود.

هنگامی که ساختمان در مود i ام در حال ارتعاش است، همه طبقات (جرم‌های متمرکز مفروض) با فرکانس زاویه‌ای ω_i در حال نوسان هستند و هر یک از آنها با دامنه نوسان خود ارتعاش می‌کند که این نکته از رابطه ۲-۸۱ نتیجه می‌شود. بدین ترتیب برای مودهای متوالی، فرکانس‌های زاویه‌ای و زمان تناوب مرتب می‌شوند.

$$\omega_1 < \omega_2 < \omega_3 < \dots < \omega_i \dots < \omega_n$$

$$T_1 > T_2 > T_3 > \dots > T_i \dots > T_n$$

n تعداد مودهای نوسان است.

اکنون با استفاده از رابطه ۲-۸۳ می‌توان ماتریس شکل مودی را برای مودهای i ام و j ام بدست آورد.

$$[K] \{\phi_i\} = \omega_i^2 [M] \{\phi_i\} \quad (۸۴-۲)$$

$$[K] \{\phi_j\} = \omega_j^2 [M] \{\phi_j\} \quad (۸۵-۲)$$



رابطه ۲-۸۴ را در وارونه $\{\phi_j\}$ یعنی $\{\phi_j\}^T$ پیش ضرب و وارونه معادله ۲-۸۵ را در $\{\phi_i\}$ پس ضرب می‌کنیم. توجه داریم که ماتریس جرم $[M]$ و ماتریس سختی $[K]$ قطری هستند و وارونه آنها با خودشان یکی است. پس داریم:

$$\{\phi_j\}^T [K] \{\phi_i\} = \omega_i^2 \{\phi_j\}^T [M] \{\phi_i\} \quad (۲-۸۶)$$

$$\{\phi_j\}^T [K] \{\phi_i\} = \omega_j^2 \{\phi_j\}^T [M] \{\phi_i\} \quad (۲-۸۷)$$

طرف اول دو رابطه ۲-۸۶ و ۲-۸۷ یکسان است پس طرف دوم آنها باید با یکدیگر مساوی باشد:

$$\omega_i^2 \{\phi_j\}^T [M] \{\phi_i\} = \omega_j^2 \{\phi_j\}^T [M] \{\phi_i\} \quad (۲-۸۸)$$

و یا اینکه:

$$(\omega_i^2 - \omega_j^2) \{\phi_j\}^T [M] \{\phi_i\} = 0 \quad (۲-۸۹)$$

تردیدی نیست که فرکانس زاویه‌ای مود i ام و j ام با هم برابر نیستند یعنی:

$$\omega_i \neq \omega_j$$

پس از رابطه ۲-۸۹ نتیجه می‌گیریم که:

$$\{\phi_j\}^T [M] \{\phi_i\} = 0 \quad (۲-۹۰)$$

معادله ۲-۹۰ به رابطه تعامد بین مودهای ارتعاشی نسبت به ماتریس جرم معروف است بهمین ترتیب با تقسیم رابطه ۲-۸۶ بر ω_i^2 و رابطه ۲-۸۷ بر ω_j^2 سمت راست این دو معادله برابر شده که نتیجه می‌گیریم باید سمت چپ آنها نیز با هم برابر باشند یعنی خواهیم داشت:

$$\frac{1}{\omega_i^2} \{\phi_j\}^T [K] \{\phi_i\} = \frac{1}{\omega_j^2} \{\phi_j\}^T [K] \{\phi_i\}$$

و یا اینکه:

$$\left(\frac{1}{\omega_i^2} - \frac{1}{\omega_j^2}\right) \{\phi_j\}^T [K] \{\phi_i\} = 0 \quad (۲-۹۱)$$

در این وضعیت نیز $i \neq j$ است پس داریم:

$$\{\phi_j\}^T [K] \{\phi_i\} = 0 \quad (۲-۹۲)$$



معادله ۲-۹۲ را نیز به رابطه تعامد بین مودهای ارتعاشی نسبت به ماتریس سختی معرفی می‌کنند. از این خاصیت تعامد بین مودها برای تعیین مختصات مودی استفاده می‌شود که ذیلاً شرح داده می‌شود.

با توجه به آنچه تاکنون شرح داده شد، مشخص می‌شود که هر یک از مودهای ارتعاشی در تغییر مکان کل ساختمان سهمیم هستند به طوری که می‌توان ماتریس تغییر مکان را به صورت حاصلضرب ماتریس شکل مودی و یک ماتریس ستونی دیگر بنام ماتریس ستونی مختصات نرمال $\{X\}$ بیان کرد. بنابراین برای حالت کلی می‌توان نوشت:

$$\{u\} = \sum_{n=1}^N \{\phi_n\} X_n = [\Phi] \{X\} \quad (2-93)$$

که در رابطه ۲-۹۳، N تعداد درجات آزادی است و ماتریس‌های ستونی شکل‌های مودی $\{\phi_1\}, \{\phi_2\}, \dots, \{\phi_n\}$ را می‌توان در یک ماتریس مربع بنام ماتریس شکل‌های مودی بیان کرد به طوریکه ستون اول آن $\{\phi_1\}$ ، ستون دوم آن $\{\phi_2\}$ و ستون n ام آن $\{\phi_n\}$ باشد. یعنی اینکه:

$$[\Phi] = [\{\phi_1\}, \{\phi_2\}, \dots, \{\phi_n\}] = \begin{bmatrix} \phi_{11} & \phi_{21} & \phi_{n1} \\ \phi_{12} & \phi_{22} & \phi_{n2} \\ \phi_{1n} & \phi_{2n} & \phi_{nn} \end{bmatrix} \quad (2-94)$$

رابطه ۲-۹۴ را به صورت سری زیر برای درجه آزادی i ام می‌نویسیم:

$$u_i = \sum_{j=1}^n \phi_{ij} X_j \quad (i = 1 \text{ تا } n) \quad (2-95)$$

n تعداد مودها یا درجات آزادی است.

برای بدست آوردن مختصات نرمال X_n رابطه ۲-۹۳ را در عبارت $\{\phi_n\}^T [M]$ پیش ضرب می‌کنیم:

$$\{\phi_n\}^T [M] \{u\} = \{\phi_n\}^T [M] [\Phi] \{X\} \quad (2-96)$$

طرف دوم رابطه ۲-۹۶ را بصورت زیر بسط می‌دهیم:

$$\{\phi_n\}^T [M] \{u\} = \{\phi_n\}^T [M] \{\phi_1\} X_1 + \{\phi_n\}^T [M] \{\phi_2\} X_2 + \dots + \{\phi_n\}^T [M] \{\phi_n\} X_n \quad (2-97)$$

با توجه به طرف دوم رابطه ۲-۹۷ ملاحظه می‌شود که با استفاده از وجود رابطه تعامد مودها نسبت به ماتریس جرم، تمام جمله‌ها به جز عبارت جمله n ام برابر با صفر می‌شود.



بنابراین خواهیم داشت:

$$\{\phi_n\}^T [M] \{u\} = \{\phi_n\}^T [M] \{\phi_n\} X_n \quad (98-2)$$

از این رابطه می‌توان مقدار X_n یا ماتریس مختصات نرمال را بدست آورد.

$$X_n = \frac{\{\phi_n\}^T [M] \{u\}}{\{\phi_n\}^T [M] \{\phi_n\}} \quad (99-2)$$

این رابطه تأیید می‌کند که هر مود ارتعاشی، دارای حرکتی مستقل از مود دیگر است.

۲-۲۳-۱- حل معادله تعادل دینامیکی در مختصات نرمال

قبلاً معادله تعادل دینامیکی یک سازه چند درجه آزادی را که همان رابطه ۲-۷۸ است بدست آوردیم. اینک اگر در آن رابطه به جای شتاب، سرعت و تغییر مکان، مقادیر متناسب با مختصات نرمال X_n قرار دهیم، معادله تعادل دینامیکی در مختصات نرمال بدست می‌آید.

$$[M][\Phi]\{\ddot{X}\} + [C][\Phi]\{\dot{X}\} + [K][\Phi]\{X\} = \{F(t)\} \quad (100-2)$$

برای حل این معادله طرفین آنرا در $\{\phi_n\}^T$ پیش ضرب می‌کنیم:

$$\{\phi_n\}^T [M][\Phi]\{\ddot{X}\} + \{\phi_n\}^T [C][\Phi]\{\dot{X}\} + \{\phi_n\}^T [K][\Phi]\{X\} = \{\phi_n\}^T \{F(t)\} \quad (101-2)$$

در این رابطه اگر عبارات جرم و سختی را بسط دهیم ملاحظه می‌شود که بعلت وجود روابط تعامد نسبت به جرم و سختی تمام جمله‌ها به جز جمله n ام برابر با صفر می‌شوند. در اینصورت رابطه ۲-۱۰۱ به صورت زیر در می‌آید:

$$\begin{aligned} \{\phi_n\}^T [M] \{\phi_n\} \{\ddot{X}_n\} + \{\phi_n\}^T [C] \{\phi_n\} \{\dot{X}_n\} + \{\phi_n\}^T [K] \{\phi_n\} \{X_n\} \\ = \{\phi_n\}^T \{F_n(t)\} \end{aligned} \quad (102-2)$$

معادله ۲-۱۰۲ یک معادله عمومی برای ارتعاش یا حرکت است که برحسب X_n بیان شده است. برای اینکه این رابطه ساده‌تر بیان شود، از اصطلاحات مخصوصی استفاده می‌شود که عبارتند از: جرم مودی یا جرم تعمیم یافته که برابر است با:

$$M_n = \{\phi_n\}^T [M] \{\phi_n\}$$

میرایی تعمیم یافته

$$C_n = \{\phi_n\}^T [C] \{\phi_n\}$$



$$K_n = \{\phi_n\}^T [K] \{\phi_n\}$$

اکنون رابطه ۲-۱۰۲ را می‌توان بصورت ساده‌تر زیر نوشت:

$$M_n \{\ddot{X}_n\} + C_n \{\dot{X}_n\} + K_n \{X_n\} = \{\phi_n\}^T \{F(t)\} \quad (2-103)$$

طرفین این رابطه را بر M_n تقسیم می‌کنیم:

$$\{\ddot{X}_n\} + \frac{C_n}{M_n} \{\dot{X}_n\} + \frac{K_n}{M_n} \{X_n\} = \frac{\{\phi_n\}^T \{F(t)\}}{M_n} \quad (2-104)$$

با توجه به تعاریف قبلی $\omega = \sqrt{\frac{K}{m}}$ و $2\xi\omega = \frac{C}{m}$ داریم:

$$K_n = \omega_n^2 M_n$$

$$C_n = 2\xi_n \omega_n M_n$$

این مقادیر را در رابطه ۲-۱۰۴ جایگزین می‌کنیم:

$$\{\ddot{X}_n\} + 2\xi_n \omega_n \{\dot{X}_n\} + \omega_n^2 \{X_n\} = \frac{\{\phi_n\}^T \{F(t)\}}{M_n} \quad (2-105)$$

رابطه ۲-۱۰۵ از مهمترین معادلات تحلیل دینامیکی سازه‌ها است. در واقع این معادله n معادله غیرهمبسته یک درجه آزادی را ارائه می‌دهد. به عبارت دیگر در این روش یک سازه‌ای که دارای n درجه آزادی است، به یک سازه‌ای که دارای n دستگاه یک درجه آزادی مستقل است تبدیل می‌شود.

۲-۲۳-۲- روش دینامیکی تاریخچه زمانی

چنانچه نیروی خارجی بر روی سازه اعمال نشود و فقط تکیه‌گاه ساختمان تحت تأثیر شتاب $\ddot{u}_g(t)$ قرار گیرد، یک تغییرمکان مربوط به ساختمان است و یک تغییرمکان مربوط به زمین که تغییرمکان کلی ساختمان برابر با حاصلجمع این دو خواهد بود. اگر $\{u_i\}$ تغییرمکان کل و $\{u\}$ تغییرمکان نسبی ساختمان (نسبت به زمین) و $\{u_g\}$ تغییرمکان زمین باشد داریم:

$$\{u_i\} = \{u\} + \{u_g\} \quad (2-106)$$



با توجه به اینکه تغییر مکان زمین (ماتریس ستونی) دارای عناصر مساوی است می‌توان رابطه ۲-۱۰۶ را بصورت زیر نوشت:

$$\{u_i\} = \{u\} + u_g \{I\} \quad (2-107)$$

که $\{I\}$ یک ماتریس ستونی واحد است و همه عناصر آن واحد می‌باشد. از رابطه ۲-۱۰۷ دو بار نسبت به زمان مشتق می‌گیریم:

$$\{\ddot{u}_i\} = \{\ddot{u}\} + \ddot{u}_g \{I\} \quad (2-108)$$

اکنون و با استفاده از رابطه ۲-۷۸ معادله حرکت را می‌نویسیم:

$$[M] \{\ddot{u}_i\} + [C] \{\dot{u}\} + [K] \{u\} = 0 \quad (2-109)$$

از رابطه ۲-۱۰۸ در رابطه ۲-۱۰۹ استفاده می‌کنیم:

$$[M] \{\ddot{u}\} + [C] \{\dot{u}\} + [K] \{u\} = -[M] \{I\} \ddot{u}_g \quad (2-110)$$

اگر این رابطه را با رابطه ۲-۷۸ مقایسه کنیم نتیجه می‌گیریم که:

$$\{F(t)\} = -[M] \{I\} \ddot{u}_g \quad (2-111)$$

در رابطه ۲-۱۱۱ ماتریس ستونی $\{F(t)\}$ ناشی از نیروهای مؤثر ناشی از حرکت تکیه‌گاه است. حال در رابطه ۲-۱۰۵ ضمن صرف نظر کردن از علامت منفی مقدار $\{F(t)\}$ را جایگزین می‌کنیم:

$$\{\ddot{X}_n\} + 2\xi_n \omega_n \{\dot{X}_n\} + \omega_n^2 \{X_n\} = \frac{\{\phi_n\}^T [M] \{I\}}{M_n} \ddot{u}_g \quad (2-112)$$

از طرف دوم رابطه ۲-۱۱۲ مقدار صورت کسر بنام ضریب تحریک یا ضریب مشارکت مود n معروف است و آنرا با L_n نشان می‌دهند.

$$L_n = \{\phi_n\}^T [M] \{I\} \quad (2-113)$$

بنابراین معادله حرکت مود n ام نسبت به شالوده ساختمان چنین می‌شود.

$$\{\ddot{X}_n\} + 2\xi_n \omega_n \{\dot{X}_n\} + \omega_n^2 \{X_n\} = \frac{L_n}{M_n} \ddot{u}_g \quad (2-114)$$

در این معادله $\{X_n\}$ حرکت مود n ام نسبت به زمان، ω_n فرکانس زاویه‌ای مود n ام، ξ_n میرایی مود n ام و \ddot{u}_g شتاب پی ناشی از زلزله است.



اکنون اگر جرم مؤثر ساختمان را که برابر با $\frac{L_n^y}{M_n}$ است در نظر بگیریم، وزن مؤثر ساختمان در مود n ام از رابطه ۲-۱۱۵ بدست می‌آید:

$$W_n = \frac{L_n^y}{M_n} g \quad (2-115)$$

برای حل معادله ۲-۱۱۴ می‌توان از انتگرال دوهمال استفاده کرد که نتیجه چنین می‌شود:

$$X_n(t) = \frac{L_n}{M_n \omega_n} \int \ddot{u}_g(\tau) e^{-\xi_n \omega_n (t-\tau)} \sin \omega_n (t-\tau) d\tau \quad (2-116)$$

با در اختیار داشتن X_n در زمان t می‌توان تغییر مکان جرم i را در زمان t با ترکیب نمودن جواب همه مودها در زمان t از رابطه ۲-۹۵ بدست آورد.

$$\{u(t)\} = \sum_{n=1}^N \{\phi_n\} X_n(t) = [\Phi] \{Y(t)\} \quad (2-117)$$

پس از بدست آوردن تغییر مکان‌ها می‌توان شتابهای مؤثر، نیروی زلزله در هر جرم را بدست آورد و سپس با ترکیب کردن آنها نیروهای زلزله در کل ساختمان محاسبه می‌شود. شتاب مؤثر نظیر X_n برابر است با:

$$\ddot{X}_{ne}(t) = \omega_n^y X_n(t) \quad (2-118)$$

و از آن نتیجه می‌گیریم که شتاب نظیر در کل سازه برابر است با:

$$\{\ddot{u}_{ne}(t)\} = \{\phi_n\} \ddot{X}_{ne}(t) = \omega_n^y \{\phi_n\} X_n(t) \quad (2-119)$$

و نیروی زلزله ناشی از مود n ام برابر است با:

$$\{q_n(t)\} = [M] \{\ddot{u}_n(t)\} = [M] \omega_n^y \{\phi_n\} X_n(t) \quad (2-120)$$

با ترکیب کردن سهم مودها، نیروی زلزله در کل ساختمان برابر است با:

$$q(t) = \sum_{n=1}^N q_n(t) = [M][\Phi][\Omega]\{X(t)\} \quad (2-121)$$

در این رابطه $[\Phi]$ ماتریس مربع دامنه نسبی مودهای مختلف است و $[\Omega]$ یک ماتریس قطری است که عناصر قطری آن برابر با ω_i^2 برای مودهای مختلف است (n تا $i=1$).



اکنون می‌توان برش پایه ساختمان را از حاصلجمع نیروهای مؤثر زلزله که در ارتفاع ساختمان توزیع شده است، بدست آورد که برابر است با:

$$V_n(t) = \sum_{i=1}^H q_{in}(t) \quad (2-122)$$

۲-۲۴- روش دینامیکی طیفی

روش دیگری که در مقایسه با روش قبل خیلی ساده‌تر است این است که به جای در نظر گرفتن تمام تاریخچه حرکت فقط مقادیر حداکثر ناشی از مودهای مختلف را در نظر می‌گیریم و بدین ترتیب تحلیل دینامیکی به مقدار قابل ملاحظه‌ای ساده می‌شود. برای اینکار با استفاده از طیف پاسخ زلزله و با توجه به اینکه معادله دیفرانسیل X_n خطی است، می‌توان مقادیر $(X_n)_{max}$ و $(\ddot{X}_n)_{max}$ را به شیوه ذیل بدست آورد.

$$(X_n)_{max} = \{\phi_n\} \frac{L_n}{M_n} \frac{T_n^*}{\sqrt{\pi}} S_{an} \quad (2-123)$$

$$(\ddot{X}_n)_{max} = \{\phi_n\} \frac{L_n}{M_n} S_{an} \quad (2-124)$$

ماتریس‌های ستونی یا بردارهای X_n و \ddot{X}_n که به ترتیب تغییرمکان مودی و شتاب مودی هستند دارای n مؤلفه به ازای n درجه آزادی حرکت سازه‌ها هستند.

در این دو رابطه S_{an} شتاب طیفی است که برای هر مودی مانند مود n ام با استفاده از منحنی طیف بازتاب شتاب، به ازای زمان تناوب ویژه آن مود یعنی T_n ، قرائت می‌شود.

اکنون با در اختیار داشتن تغییر مکان مودی می‌توان تغییر مکان نسبی هر طبقه مانند طبقه i را که تفاضل حداکثر تغییرمکان جانبی ترازهای بالا و پائین آن طبقه در جهت موردنظر و در مود n است، بدست آورد.

$$\delta_{ni} = X_{ni} - X_{ni-1} \quad (2-125)$$

همچنین با در اختیار داشتن جرم مودی و شتاب مودی می‌توان نیروی مودی در هر طبقه را از رابطه ۲-۱۲۶ بدست آورد.

$$f_n = [M] \ddot{X}_n \quad (2-126)$$



می‌دانیم که حداکثر برش در هر طبقه برابر است با مجموع نیروهای طبقات بالاتر، بنابراین حداکثر برش در طبقه i در هر امتداد در مود n ام برابر است با حاصلجمع مؤلفه‌های بردار نیروی طبقات بالاتر که متناظر با آن امتداد هستند. اکنون برای قابهای دو بعدی خواهیم داشت:

$$V_{ni} = \sum_{j=i}^K f_{nj} \quad (2-127)$$

در این رابطه K تعداد کل تراز طبقات است که اگر برش پایه ساختمان در مود n ام موردنظر باشد، $i = 1$ خواهد بود.

نیروی برشی پایه را در مود n ام می‌توان از رابطه زیر نیز بدست آورد.

$$V_n = \frac{L_n^*}{M_n} S_{an} \quad (2-128)$$

مقدار حداکثر لنگر واژگونی در هر امتداد در مود n ام برابر است با جمع حاصلضرب‌های نیروی هر طبقه در ارتفاع آن طبقه

$$OM_n = [h] f_n \quad (2-129)$$

که در آن ماتریس $[h]$ برابر است با:

$$[h] = [h_1, h_2, \dots, h_K]$$

با در اختیار داشتن نیروهای جانبی و تغییرمکان جانبی طبقات، نیروی داخلی اعضا (شامل اثر $P-\Delta$) برای هر مود ارتعاشی و به کمک روشهای متداول تحلیل استاتیکی جداگانه محاسبه شده و سپس نیروی نهایی اعضا از ترکیب نتایج تحلیل مودها بدست می‌آید.

باید دانست که در سازه‌هایی که تعداد درجات آزادی آنها زیاد است، بیشترین انرژی ارتعاشی در مودهای اولیه مستهلک و جذب می‌شود، از اینرو کافی است که فقط چند مود اولیه را با یکدیگر ترکیب نمود. آئین‌نامه طراحی ساختمانها در برابر زلزله (استاندارد ۲۸۰۰ ایران) می‌گوید که در هر یک از دو امتداد متعامد ساختمان باید حداقل سه مود اول ارتعاش و یا تمام مودهایی که زمان تناوب آنها بیشتر از 0.4 ثانیه، یا تمام مودهایی نوسان که مجموع جرم‌های مؤثر ساختمان L_n^*/M_n در آنها حداقل برابر با ۹۰ درصد جرم کل ساختمان باشد، هر کدام که تعدادشان بیشتر است، باید در محاسبه منظور گردد.

از آنجا که مودهایی مختلف بطور همزمان به نقطه اوج خود نمی‌رسند، پس پاسخ‌های کلی سازه باید در اثر برآیند مودها بدست آید، به عبارت دیگر اثر مودها را باید به نحو صحیحی ترکیب کرد.



برای این کار بهتر است حداکثر پاسخ‌ها را در مودهای مختلف با یکدیگر ترکیب کنیم و در این ترکیب اثر تداخل احتمالی پاسخ را که ممکن است به یکدیگر نزدیک باشند، در نظر گرفت. در استاندارد ۲۸۰۰ ایران دو روش متداول آماری بشرح زیر که معمولاً در اغلب روشهای تحلیل مودال بکار می‌رود، بیان شده است که عبارتند از روش جذر مجموع مربعات (SRSS) و روش ترکیب مربعی کامل (CQC).

الف- روش جذر مجموع مربعات

در این روش پاسخ کلی (u) در امتداد هر درجه آزادی از رابطه زیر محاسبه می‌شود:

$$U = \sqrt{\sum_{n=1}^N u_n^2} \quad (۲-۱۳۰)$$

در این رابطه u_n پاسخ درجه آزادی موردنظر در مود n ام و N جمع تعداد مودهای تحت بررسی است. هنگامی که زمان تناوب مودهای مختلف با یکدیگر تفاوت داشته باشند و بقدر کافی از یکدیگر دور باشند و شرط زیر محقق باشد، دقت این روش قابل قبول خواهد بود. یعنی استفاده از این روش تنها در چنین مواردی نتیجه قابل قبولی خواهد داد.

$$r = \frac{T_m}{T_n} \leq 0.67 \quad (T_n > T_m) \quad (۲-۱۳۱)$$

در این رابطه نسبت میرایی برابر با ۵ درصد فرض شده است و T_n و T_m به ترتیب زمانهای تناوب در مودهای m و n هستند.

ب- روش ترکیب مربعی کامل

در صورتیکه رابطه ۲-۱۳۱ برای مودهای m و n برقرار نباشد، جوابهای بدست آمده از روش جذر مجموع مربعات از قابلیت اعتماد لازم برخوردار نبوده و باید روش ترکیب مربعی کامل بکار برده شود. این روش قابلیت کاربرد عمومی برای اغلب حالات دارد. در این روش پاسخ کلی سازه برابر است با:

$$u = \sqrt{\sum_{n=1}^N u_n^2 + 2 \sum_{n=1}^N \sum_{m=n+1}^N \rho_{nm} u_n u_m} \quad (۲-۱۳۲)$$

در این رابطه مقادیر u_n و u_m حداکثر پاسخهای سازه در درجه آزادی موردنظر به هنگام ارتعاش سازه به ترتیب در مودهای n و m بوده و ρ_{nm} ضریب بین مودی است که از رابطه ۲-۱۳۳ بدست می‌آید.



$$P_{nm} = \frac{8\xi^2(1+r)r^2}{(1-r)^2 + 4\xi^2r(1+r)^2} \quad (2-133)$$

در این رابطه ۲ نسبت تناوب مودی در رابطه ۲-۱۳۱ است. مقدار ξ برابر با ۵ درصد منظور می‌شود.

۲-۲۵- اصلاح مقادیر بازتابها

چنانکه در مباحث قبل مطرح شد، در تحلیل استاتیکی معادل، اثر عوامل مهمی همچون میزان استهلاک انرژی، زمان تناوب طبیعی و شکل‌پذیری سازه‌های مختلف در نظر گرفته می‌شود و هر قدر این عوامل و سایر عوامل دیگر که مربوط به رفتار لرزه‌ای سازه باشد، در این روش دخالت داده شوند، نتایج بدست آمده از آن دقیقتر و طراحی سازه مطمئن‌تر می‌شود. در هر حال تجربه در سایر کشورها نیز نشان داده است که ساختمانهایی که به روش تحلیل استاتیکی معادل طراحی شده و زلزله‌هایی را تجربه کرده‌اند، رفتار نسبتاً خوبی داشته‌اند. از طرفی منظور کردن عوامل برشمرده در تحلیل دینامیکی چندان ساده و سهل نیست و دارای پیچیدگیهایی است که ممکن است بر نتایج بدست آمده تأثیر گذارد. از این رو استاندارد ۲۸۰۰ ایران مقرر می‌دارد که باید مقادیر پاسخ‌های بدست آمده از روش تحلیل دینامیکی اصلاح شوند، این اصلاح برای تحلیل دینامیکی طیفی و تاریخچه زمانی مشابه بوده و به قرار زیر می‌باشد:

الف- در صورتیکه برش پایه بدست آمده از تحلیل دینامیکی کمتر از مقدار برش پایه بدست آمده از تحلیل استاتیکی معادل باشد، برای دو حالت ساختمانهای منظم و نامنظم به شرح زیر عمل شود.

۱- در ساختمانهای نامنظم، باید مقدار بازتابها در نسبت برش پایه استاتیکی معادل به برش پایه دینامیکی ضرب شده تا بدین ترتیب بازتابها افزایش داده شوند. به عبارت دیگر در چنین حالتی بازتابها نباید کمتر از مقدار نظیر در روش استاتیکی معادل باشد.

۲- در ساختمانهای منظم مقدار پاسخها را باید در ۸۰ درصد نسبت برش پایه استاتیکی معادل به برش پایه دینامیکی ضرب کرد ولی نتایج بدست آمده نباید کمتر از نتایج روش دینامیکی باشد.



ب- چنانچه برش پایه بدست آمده از تحلیل دینامیکی بیشتر از برش پایه استاتیکی معادل باشد، می‌توان بازتاب‌های بدست آمده از روش دینامیکی را به نسبت برش پایه استاتیکی معادل به برش پایه دینامیکی، کاهش داد.

۲-۲۶- اثرات پیچش در تحلیل دینامیکی

در تحلیل دینامیکی طیفی باید اثرات پیچش را که شامل پیچش اتفاقی نیز می‌باشد مطابق آنچه که قبلاً در قسمت ۲۰۰۰... بیان شد، منظور نمود. اگر در تحلیل سازه از مدل‌های سه بعدی استفاده شود، باید اثرات پیچش اتفاقی را با جابجا کردن مرکز جرم طبقه به اندازه برون مرکزی اتفاقی در نظر گرفت.

۲-۲۷- زلزله سطح بهره‌برداری

بر طبق تعریف به زلزله خفیف یا متوسط که احتمال رخداد آن در مدت ۵۰ سال عمر مفید یک ساختمان بیش از ۹۹/۵ درصد باشد، یعنی دارای دوره بازگشت حدود ۱۰ سال باشد، آسیب چندان زیادی به ساختمان وارد نسازد به نحوی که همچنان مورد بهره‌برداری قرار گیرد، زلزله سطح بهره‌برداری می‌گویند.

بر طبق استاندارد ۲۸۰۰ ایران طراحی کلیه ساختمانها باید به نحوی باشد که با تجربه کردن زلزله سطح بهره‌برداری آسیب عمده سازه‌ای به آنها وارد نشود ولی ساختمانهای با اهمیت زیاد یا ساختمانهایی که ارتفاع آنها بیش از ۵۰ متر یا بیش از ۱۵ طبقه باشد، باید پس از دریافت بارهای ناشی از زلزله سطح بهره‌برداری، همچنان مورد بهره‌برداری باشند.

ملاحظه می‌شود که هدف این استاندارد کنترل رفتار ساختمان در محدوده ارتجاعی است به عبارت دیگر علاوه بر سایر محدودیت‌ها و عوامل کنترل‌کننده در قسمت‌های دیگر از ضوابط خود، مانند کنترل تغییر مکان‌های نسبی، مقادیر ضریب رفتار و رعایت نکات خاصی برای طراحی اجزاء سازه‌ای و اتصالها و موارد مشابه آنها، این محدودیت نیز برای ساختمانهای با اهمیت زیاد یا ساختمانهایی که ارتفاع آنها بیش از ۵۰ متر یا بلندتر از ۱۵ طبقه باشند، اعمال می‌شود، تا سطح ایمنی بالاتری را در طراحی منظور کرده باشد. از طرفی اعمال این محدودیت مربوط به سطح زلزله است، یعنی اینکه بیشینه شتاب یا نسبت بیشینه شتاب حرکت زمین به شرایط ساختگاهی و لرزه‌خیزی منطقه بستگی دراد تا در طیف طراحی ظاهر شود. بنابراین بیشینه شتاب زلزله سطح بهره‌برداری برای یک منطقه خاص باید در پی مطالعات ویژه خطر لرزه‌خیزی آن منطقه



تعیین شود. اما در حالت کلی بیشینه شتاب برای زلزله سطح بهره‌برداری برابر با $A/6$ در نظر گرفته شده است.

بنابراین مقدار برش پایه در زلزله سطح بهره‌برداری از رابطه ۲-۱۳۴ محاسبه می‌گردد:

$$V_{ser} = \frac{ABI}{6R} W \quad (2-134)$$

در این رابطه W, I, B, A و R همان تعاریفی را دارند که قبلاً برای روش استاتیکی معادل گفته شده بود، ولی نکته مهمی که باید بدان اشاره کرد این است که، $ABI/6$ بیانگر طیف بازتاب ارتجاعی زلزله سطح بهره‌برداری می باشد، لذا برای ساختمانی که طراحی آن مطابق زلزله طرح (زلزله شدید) باید انجام شود و در زلزله سطح بهره‌برداری کنترل گردد، مقدار R در رابطه ۲-۱۳۴ برابر با یک می‌شود، پس رابطه مزبور چنین خواهد شد:

$$V_{ser} = \frac{ABI}{6} W \quad (2-135)$$

اکنون باید دانست که در پی اعمال بارهای ناشی از زلزله سطح بهره‌برداری وضعیت نیروها و تنش‌ها متفاوت از مقادیر نظیر در زلزله طرح است. بر طبق استاندارد ۲۸۰۰ ایران، در سازه‌های بتن مسلح ترکیب بارهای اعمالی باید بدون ضریب در نظر گرفته شود، یعنی ترکیب بارهای مختلف در سطح بهره‌برداری منظور می‌شود و نتایج بدست آمده از تحلیل نباید از مقاومت نهایی هیچ عضوی بیشتر باشد. از آنجا که در سیستم سازه‌ای قاب خمشی امکان باز توزیع نیروها وجود دارد و اضافه مقاومت ناشی از سخت‌شدگی کرنشی نیز محتمل است، اجازه داده شده است تا مقدار تنش در ۱۰ درصد از ستونها و ۱۵ درصد از تیرهای هر طبقه، از تنش حد جاری شدن بیشتر شود. بنظر می‌رسد این مجوز که توجه به تشکیل لولاهای خمیری در مراحل اولیه رفتار غیرخطی سازه‌های بتن مسلح دارد، فقط در مورد قابهای خمشی با شکل‌پذیری زیاد قابل اعمال باشد. زیرا در سایر موارد یعنی شکل‌پذیری کم و متوسط محدود کردن تنش‌ها برای قلمرو ارتجاعی و صدور مجوز تشکیل لولای خمیری برای تعداد محدودی از ستونها و تیرها چندان توجیهی ندارد. ضمن اینکه ارتفاع مجاز برای قابهای خمشی با شکل‌پذیری متوسط حداکثر ۵۰ متر و برای شکل‌پذیری کم، کمتر از ۵۰ متر تعیین شده است. نکته دیگر که رعایت آن الزامی است، کنترل تغییر مکان نسبی طبقات یا کل ساختمان است که نباید به ترتیب بیش از ۰/۰۰۵ ارتفاع طبقه یا ارتفاع کل ساختمان باشد.



برای یک قاب خمشی ویژه با ارتفاع ۱۸۰ متر و قاب خمشی متوسط با ارتفاع ۵۰ متر مقدار تغییرمکان نسبی هر طبقه یا کل ساختمان در طراحی برای زلزله طرح $0.03/R$ برابر ارتفاع طبقه یا ارتفاع کل ساختمان تعیین شده است که با توجه به ضریب رفتار ۱۰ و ۸ این نسبت برابر با 0.003 و 0.00375 می‌گردد. یعنی تغییرمکان نسبی یا تغییرمکان کل ساختمان در زلزله طرح برای این دو قاب خمشی بتن مسلح با شکل‌پذیری زیاد و متوسط به ترتیب ۴۰ و ۲۵ درصد کمتر از مقدار نظیر در زلزله سطح بهره‌برداری است. به عبارت دیگر در طراحی یک قاب خمشی بتن مسلح با شکل‌پذیری زیاد تحت یک زلزله شدید (تشکیل تعداد قابل توجهی لولای خمیری در سازه) تغییرمکان نسبی کمتر از مقدار نظیر تحت زلزله خفیف یا متوسط توصیه شده است. جالب توجه اینکه استاندارد ۲۸۰۰ می‌گوید اگر نوع مصالح و نحوه اتصال قطعات غیرسازه‌ای به گونه‌ای باشد که بتوانند تغییرمکان بیشتری را بدون خسارت تحمل کنند، ضریب تغییرمکان نسبی به 0.008 افزایش می‌یابد. یعنی تغییرمکان نسبی طبقات در قلمرو ارتجاعی یا حداکثر در آستانه جاری شدن می‌تواند خیلی بیشتر از حد رفتار شکل‌پذیر کامل باشد؟

از اینرو بنظر می‌رسد که یک تعادل مناسب بین دو سطح طراحی مندرج در استاندارد ۲۸۰۰ ایران وجود ندارد و بهتر است گفته شود طراحی اصلی برای زلزله شدید و کنترل طراحی برای زلزله خفیف و متوسط انجام شود.

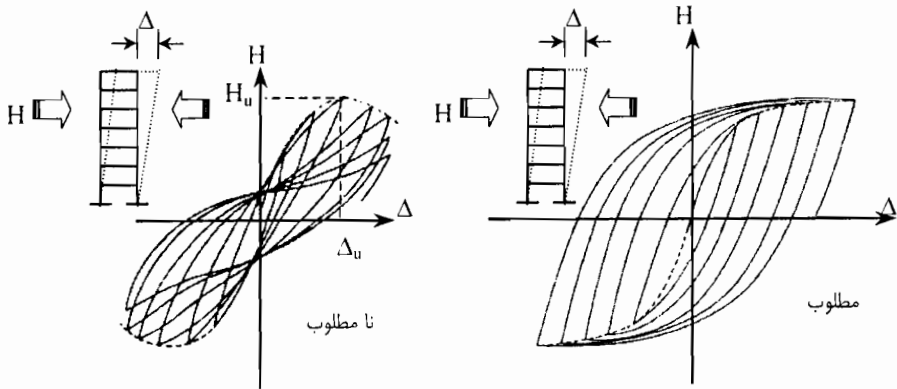
فصل ۳ - رفتار و طراحی قابهای بتن مسلح

۱-۳ - مقدمه

برای طرح یک ساختمان در مقابل زلزله، لازم است اطلاعات جامع و کامل از رفتار آن در مقابل نیروهای ناشی از زلزله در دست باشد. باید دانست که رعایت ضوابط و مقررات مندرج در آئین نامه ها تضمین کننده مقاوم شدن کامل ساختمانها در برابر نیروهای ناشی از زلزله نیست. بهمین جهت باید رفتار سازه ها را بطور کلی و به دقت مورد توجه قرار داد. یکی از راههای این توجه مطالعه بر رفتار سازه ها پس از وقوع زلزله می باشد. چنانچه در زلزله سان فرانسیسکو آمریکا در سال ۱۹۰۶ میلادی و همچنین زلزله سال ۱۹۲۳ در کانتو ژاپن نشان داده شده که ساختمانهای بتن مسلح به مراتب بهتر از ساختمانهای با مصالح بنایی رفتار دینامیکی و لرزه پذیری داشته اند و مقاومت خوبی از خود بروز داده اند. از آنجا که احداث این ساختمانها مقرون به صرفه است بطور وسیعی حتی در مناطق زلزله خیز مورد توجه قرار گرفته اند. از طرفی به علت توصیه هایی که در آئین نامه های زلزله شده است، خسارات ناشی از زلزله به طور قابل ملاحظه ای کاهش یافته است [۳۰].

در اوائل سال ۱۹۶۰ میلادی سازه های بتن مسلح به عنوان مصالح شکل پذیر مورد توجه قرار گرفتند. این توجه مرهون تحقیقات و ارائه گزارشاتی بود که توسط افرادی همچون بلومی، نیومارک و کورنینگ در سال ۱۹۶۱ انتشار یافت. در این گزارش ها نحوه فولادگذاری و جزئیات مربوط به آنها به نحوی توصیه شده است که تیرها وستونها قادر باشند در مقابل نیروهای لرزه ای مقاومت خوبی از خود نشان داده و در حرکت رفت و برگشتی یعنی تنشهای متناوب به خوبی جذب انرژی داشته باشند. البته مشخص است که عکس العمل سازه ها در مقابل بارهای لرزه ای

بستگی به عوامل مختلفی دارد تا آنها را در مقابل زلزله یا هر پدیده دینامیکی دیگری حفظ نماید. اگر دو قاب بتن مسلح مطابق شکل ۱-۳ در نظر بگیریم دارای دو نوع رفتار لرزه ای به صورت منحنی بار - جابجایی می باشند. رفتار قابی که در شکل ۱-۳-الف آمده است دارای مقاومت نامطلوبی در برابر زلزله می باشد. زیرا در هر لحظه از بارهای وارده مقاومتش کاسته شده تا جایی که سازه فرو می ریزد. شکل پذیری این قاب نیز اندک بوده و قدرت جذب انرژی بالایی ندارد و منحنی حلقه هیستریزس آن فشردگی زیادی در مرکز دارد که حاکی از حاکمیت برش یا سرخوردگی آرماتور می باشد. در حالیکه قاب شکل ۱-۳-ب ضمن دارا بودن مقاومت خوب از قدرت جذب انرژی بالایی برخوردار است. به عبارت ساده تر شکل پذیری این قاب بسیار خوب بوده و کاهش سختی آن تدریجی و اندک می باشد. از این دو شکل الف و ب نتیجه می گیریم که طراحی یک سازه بتن مسلح باید موجب شود تا رفتار آن ضمن دارا بودن مقاومت و سختی خوب، جذب انرژی بالایی را داشته باشد.



شکل ۱-۳- حلقه های هیستریزس مطلوب و نامطلوب

در دهه هفتاد میلادی، در دانشگاه کانتربری نیوزیلند پرفسور پارک و پاولی بکارگیری دیوارهای برشی را برای تأمین شکل پذیری در سازه های بتن مسلح مورد توجه و تحقیق قرار داده و نتایج جالب توجهی را بدست آوردند [۷ و ۳۱]. امروزه آئین نامه های معتبری برای طراحی در اختیار مهندسين قرار دارد تا بكمك توصیه های آنها بتوانند جزئیات طرح لرزه ای را به دقت بكار برند.



در طراحی معمولی ساختمانها، در نظر گرفتن ظرفیت شکل پذیری یا شرایط لازم برای ایجاد شکل پذیری، ضرورتاً لازم الرعایه نیست. از طرفی سازه های خیلی نامنظم علیرغم دارا بودن جزئیات خوب و دقیق فولادگذاری، از ظرفیت شکل پذیری کمتری برخوردار می باشند. در برخی آئین نامه ها برای طراحی مطلوب، شکل پذیری مشخصی را توصیه می کنند و برای تأمین آن جزئیات فولادگذاری تحت تأثیر قرار می گیرد. مبنای این توصیه ها در این است که برای نیروهای طراحی بسیار زیاد، شکل پذیری معینی اعمال می شود. بدیهی است در این روش جزئیات فولادگذاری شرایط خاصی دارد. از آئین نامه هایی که این روش را توصیه می کنند می توان به آئین نامه کمیته اروپایی بتن ۱۹۸۵-CEB [۳۲]، آئین نامه نیوزلند ۱۹۸۲-NZS3101 [۳۳] اشاره کرد. همین طریق را می توان برای مناطقی که شدت لرزه خیزی آنها متوسط و یا کم هستند بکار گرفت. غالب آئین نامه ها برای مناطقی که زلزله های آن از شدت کمی برخوردار است توصیه می کنند که ساختمانها برای شکل پذیری کمتر و مآلاً با جزئیات آرماتورگذاری ساده تر طراحی شوند. شایسته توجه است که خسارات ناشی از زلزله های مختلف زمینه های اصلاح آئین نامه ها را فراهم آورده است، لیکن در هر حال موارد ذیل در زمره مهم ترین عوامل خسارت در سازه های بتن مسلح به شمار می روند. این عوامل را به دو گروه اصلی تقسیم می کنند. یکی از عوامل مربوط به پلان طبقات در ساختمان و دیگری عوامل مربوط به جزئیات است.

۳-۲- عوامل ایجاد خسارت در ساختمانهای بتن مسلح

۳-۲-۱- عوامل مربوط به پلان طبقات

عواملی که در پلان طبقات مختلف یک سازه بتن مسلح می تواند زمینه های خسارت ناشی از زلزله را فراهم کنند عبارتند از:

- ۱- کمبود عناصر سازه ای قائم مانند ستونها و دیوارها که مقاومت برشی طبقه را شدیداً کاهش می دهد.
- ۲- شکست ترد یا برشی دیوارهای سازه ای ساده یا زوج و بویژه آنهایی که دارای باز شو هستند.
- ۳- ایجاد نیروها و لنگرهای پیچشی که بر اثر عدم انطباق مرکز سختی بر مرکز جرم در پلان بوجود می آید.
- ۴- عدم توزیع مناسب سختی اعضاء در ارتفاع که موجب می شود شکست متمرکز در یک طبقه بخصوص ایجاد شود.

۳-۲-۲- عوامل مربوط به جزئیات

از آنجا که در سازه های بتن مسلح رعایت جزئیات خوب و مناسب برای مقاومت کافی لرزه ای از اهمیت بسیار بالایی برخوردار است، موارد ذیل را می توان به عنوان عوامل مؤثر در شکست سازه های بتن مسلح بشمار آورد.



- ۱- شکست ترد یا برشی ستونها که معمولاً ناشی از عدم تعبیه فولاد کافی برای مقاومت خمشی است.
- ۲- شکست ترد یا برشی ستونهایی که به وسیله عناصر غیرسازه‌ای کوتاه می شوند.
- ۳- سرخوردگی فولادهای مهاری و یا شکست برشی در منطقه اتصال تیر به ستون.
- ۴- جدا شدن اعضاء ثانویه مانند دیوارهای خارجی به علت وجود اتصالات ضعیف آنها

۳-۲-۳- اندرکنش فولاد و بتن

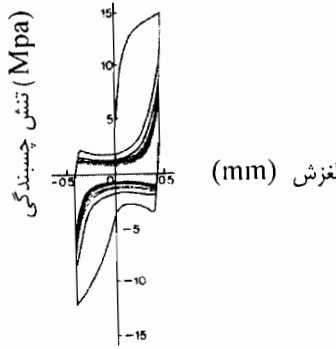
همانطور که می‌دانیم تسلیح بتن توسط آرماتورهای مختلفی که هم به صورت فولادهای اصلی و هم به صورت خاموت یا تنگ بکار می رود انجام می شود. نوع گیرداری فولاد و آرایش استقرار آن در مقاطع مختلف و محل اتصالات عناصر مختلف سازه ای از عوامل بسیار مهم در اندرکنش فولاد و بتن محسوب می شوند. این اثر به صورتهای مختلف در رفتار لرزه‌ای سازه‌های بتن مسلح ظاهر می شود که اهم آنها عبارتست از چسبندگی و محصور شدن بتن. عدم وجود چسبندگی بین بتن و فولاد موجب سرخوردگی فولاد و در نتیجه کاهش مقاومت و شکل پذیری می شود. همچنین محصور شدن بتن توسط فولادهای طولی و عرضی اثر بسیار مهمی در رفتار لرزه‌ای سازه های بتن مسلح دارد که شرح آنها در بحث مصالح آورده شد.

۳-۲-۴- چسبندگی

مقاومت چسبندگی بین فولادهای صاف و بتن توسط چسبندگی شیمیایی و اصطکاک حاصل می شود. چنانچه فولاد دچار سرخوردگی شود، مقاومت چسبندگی صرفاً از طریق اصطکاک تأمین خواهد شد. اگر آرماتورها از نوع آجدار باشند مقاومت چسبندگی در اثر سرخوردگی اولیه آنها چندان تفاوتی با آرماتور ساده ندارد. لیکن در مورد آرماتورهای آجدار با ازدیاد سرخوردگی، مقاومت چسبندگی افزایش می یابد زیرا در چنین وضعی وجود آج ها گیرداری بیشتری با بتن داشته و مقاومت بیشتری در مقابل سرخوردگی ایجاد می کند. شایان توجه و دقت است که اگر آرماتور آجدار دارای پوشش بتنی کافی باشد و در جهت عمود بر مسیر شکافته شدن بتن تعبیه شده باشد، بتن محصور بین آج ها خرد شده و آرماتور بیرون کشیده می شود. این پدیده موجب می شود که با بیرون کشیده شدن آرماتور، بتن اطراف که نقش پوشش را دارد، خرد شده و از چسبندگی شدت کاسته شود. روشن است که با افزایش ضخامت پوشش بتنی و نیز افزایش مقدار فولادهای عرضی مقاومت چسبندگی اضافه می شود.



در شکل ۳-۲ رابطه بین تنش چسبندگی و سرخوردگی برای بارگذاری متناوب توسط موریتا و کاکو نشان داده شده است [۶]. همانطور که در شکل آمده است منحنی هیستریزیس مشخص می‌کند که با افزایش بار، مقاومت چسبندگی بتدریج کاهش می‌یابد.



شکل ۳-۲- رابطه تنش چسبندگی با لغزش یا سرخوردگی [۶]

۳-۳- رفتار خمشی اعضای بتن مسلح

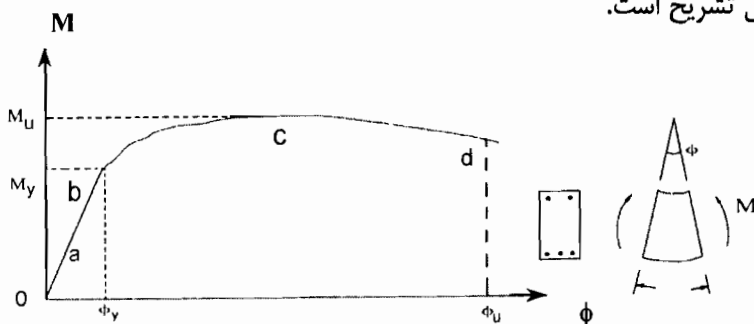
مقدمه: در این قسمت از بحث رفتار اعضای سازه‌ای بتن مسلح که تحت تأثیر خمش واقع می‌شوند مورد ارزیابی و شناسایی قرار می‌گیرد. اگر چه در شرایط کاملاً محدود و خاصی مقاطع بتن مسلح ممکن است تحت اثر خمش خالص واقع شوند و معمولاً تنش‌های خمشی به‌مراه تنشهای برشی چه ناشی از برش و چه ناشی از پیچش قرار دارند، لیکن برای سهولت تداوم بحث چنین فرض می‌شود که مقاطع تحت اثر خمش قرار دارند. گرچه در تحلیل و بررسی رفتارشناسی خمشی گاهی ممکن است عوامل دیگری و از آن جمله برش نیز مورد اشاره قرار گیرد.

۳-۴- رفتار خمشی تیرها

یکی از روابط مهمی که رفتار اعضای خمشی یا تیرها را تبیین می‌کند منحنی بار-تغییر مکان می‌باشد. در این رابطه منظور از بار در واقع هر یک از عواملی مانند لنگریا نیرو بوده و منظور از تغییر مکان انحناء یا خیز و حتی در برخی موارد چرخش (θ) خواهد بود.

اگر در یک تیر بتن مسلح که بوسیله میلگردهای دوگانه مسلح شده است مقدار فولادهای تعبیه شده از مقدار نظیر حالت تعادل کمتر باشد. بر اثر بارهای اعمالی تیر دارای رفتاری شکل پذیر

و نرم خواهد بود. اگر مقدار انحناء را برای چنین تیری بدست آورده و در برابر لنگر اعمالی ترسیم کنیم به منحنی شکل ۳-۳ دست خواهیم یافت که هر یک از مراحل رفتاری در این رابطه لنگر - انحناء قابل تشریح است.



شکل ۳-۳- رابطه لنگر - انحناء در یک تیر بتن مسلح [۶]

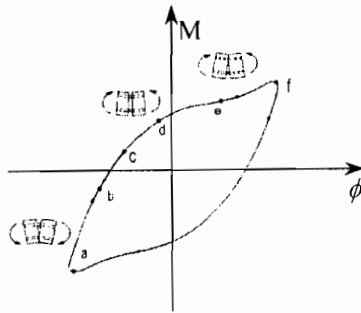
با توجه به شکل مشخص است که با افزایش بار، مقدار لنگر رشد کرده تا به مرحله ترک خوردگی می رسد. در این حالت مقدار انحناء و مقدار لنگر متناظر با اولین ترک خوردگی مقطع به صورت M_{cr} و ϕ_{cr} نشان داده ایم (نقطه a).

واضح است که از نقطه 0 تا نقطه a که محدوده ارتجاعی خالص است سختی مقطع بیشترین مقدار خود را دارد و ثابت می باشد. پس از این مرحله قدری کاهش لحظه ای و ناگهانی در سختی مقطع رخ داده ولی سپس افزایش می یابد. اما همچنان از سختی قبل از ترک خوردگی کمتر خواهد بود. در حد فاصل نقطه ترک خوردگی a تا نقطه b که متناظر با نخستین لحظه تسلیم فولادهای کششی است (فولادهای کششی به حد جاری شدن رسیده) مقاومت در مقطع باز توزیع شده و همچنان تا نقطه c افزایش دارد.

همانطور که در روی منحنی نمایان است از نقطه c تا نقطه d مقاومت با شدت کمی کاهش دارد تا اینکه در نقطه d بتن فشاری شروع به خرد شدن می کند و پس از این مرحله است که بتن ناحیه فشاری قادر به تحمل نیروها نخواهد بود و در نتیجه آرماتورهای طولی تیر دچار کمانه می شوند. همانطور که قبلا و بطور مفصل بحث شد اگر این بتن به مقدار قابل توجهی محصور شده باشد ظرفیت مقطع بالا رفته و وجود تنگ های کافی نیز به این امر کمک شایانی می کند. کاملا واضح است که پس از نقطه e مقطع شدیداً دچار گسیختگی خواهد شد.



توضیح شکل ۳-۳- مربوط به اعمال بار افزایشی یکطرفه می‌باشد ولی اگر مقطع تیر بتن مسلح را در یک قاب بتن مسلح که تحت اثر زلزله واقع شده باشد در نظر بگیریم به تناوب مقاطع فوقانی و تحتانی تیر تحت اثر فشار و کشش واقع می‌شوند. در چنین وضعی منحنی لنگر - انحناء به صورت شکل ۳-۴ در خواهد آمد.



شکل ۳-۴- منحنی هیستریزس حاصل از انحناء-لنگر یک تیر بتن مسلح تحت اثر بارهای تناوبی رفت و برگشتی [۶]

در شکل ۳-۴ منحنی هیستریزس مربوط به رابطه انحناء - لنگر یک تیر بتن مسلح که تحت اثر بارهای تناوبی رفت و برگشتی قرار گرفته است، نشان داده شده است. از نقطه o تا a محدوده ارتجاعی و سپس از a تا b کاهش سختی که مربوط به محدوده غیرارتجاعی است اتفاق می‌افتد. با تغییر جهت بارگذاری نقطه c بدست آمده و از c تا d مرادف مرحله o تا a خواهد بود. از نقطه d تا a که مراحل e , f را در خود دارد ترک خوردگی در تمام عمق مقطع نفوذ کرده و بسته نمی‌شوند در حالیکه محدوده a تا b مخالف محدوده b تا c می‌باشد که جهت ترک خوردگی با تغییر جهت بارگذاری عوض می‌شود. بنابراین در محدوده d تا e , f , a فقط فولادها هستند که در مقطع مقاومت می‌کنند. از این پس حلقه هیستریزس شکل له شده به خود می‌گیرد. روشن است که نرم شدگی بین b_1 تا c و از e تا f بر اثر پدیده بوشینگر است.

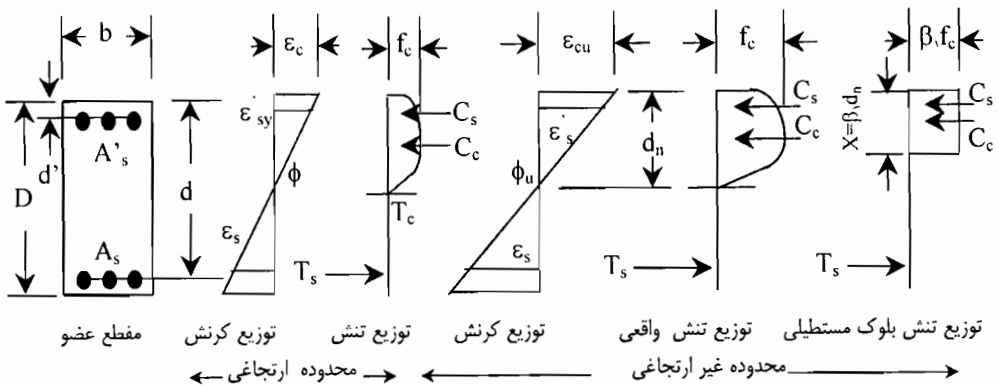
۳-۵- تحلیل خمشی تیرها یا اعضای با نیروی محوری اندک

بر طبق تعریف آئین نامه بتن ایران (آبا) چنانچه عضوی تحت اثر لنگر خمشی و نیروی محوری کمتر از مقدار $0.09 A_g f_c$ باشد در زمره اعضای خمشی محسوب می‌شود و اثر این مقدار نیروی محوری تأثیری بر رفتار خمشی خالص آن ندارد. در این قسمت تحلیل خمشی تیرهای بتن مسلح



در حالت کلی که فولادهای فوقانی و تحتانی در مقطع وجود دارد مورد نظر است. روشن است که اگر رابطه تنش-کرنش بتن در اختیار باشد می توان مقدار مقاومت درونی یا لنگر مقاوم را در هر لحظه از بارگذاری بدست آورد. لیکن برای مرحله نهایی مطابق آنچه که از طریق تئوری ویتنی از تنش فشاری معادل شده به صورت بلوک مستطیلی است، استفاده می شود.

این روش مورد قبول کلیه آئین نامه های طراحی قرار دارد لیکن در تعریف ضرایب مربوط به بلوک فشاری مستطیلی معادل اختلاف های اندکی وجود دارد. اگر مقطع مستطیلی یک تیر را مطابق شکل ۳-۵ در نظر بگیریم روابط کلی برای محاسبه لنگر خمشی به صورت زیر ارائه می شود.



شکل ۳-۵- مقطع یک تیر بتن مسلح و توزیع کرنش و تنش در محدوده ارتجاعی و نهایی

همچنانکه در شکل ۳-۵ مشخص شده است عوامل تعریف شده در شکل باید به صورت مشخصی با یکدیگر مرتبط باشند تا بتوان مقدار نیروهای موجود در مقطع را بدست آورد. آئین نامه ها با اختلاف اندکی این عوامل را تعریف کرده و روابط بین آنها را ارائه کرده اند که در جدول ۳-۱ براساس سه آئین نامه انگلستان و آمریکا و بتن ایران (آبا) آنها تعریف شده اند [۱۲، ۱۱ و ۲۳]. اگر عمق محور خنثی را با d_n و عمق بلوک فشاری را با x نمایش دهیم نسبت آنها را می توان از جدول ۳-۱ استخراج کرد. f_{cu} مقاومت مشخصه نمونه مکعبی و f_c مقاومت مشخصه نمونه استوانه ای است.



جدول ۳-۱- تعریف پارامترهای مربوط به شکل ۳-۵ براساس آئین نامه های مختلف

| عمق بلوک فشاری x | تنش معادل بلوک فشاری βf_c | مقاومت مشخصه بتن استوانه‌ای f_c | کرنش مرحله نهایی ϵ_{cu} | آئین نامه |
|---|---|---|--|--------------------|
| $x = \beta_1 d_n$ $\beta_1 = 0.19$ | $\beta f_c = 0.167 f_{cu} / \gamma_m$ $= 0.145 f_{cu}$ ($\gamma_m = 1.5$) | $0.167 f_{cu}$ | 0.0035 | انگلستان BS8110 |
| $x = \beta_1 d_n$ $\beta_1 = 0.185$ برای f_c کوچکتر یا مساوی ۲۷/۶ pa و به ازای هر ۶/۹ Mpa افزایش در f_c ، به میزان ۰/۰۵ از β_1 کاسته می‌شود. | $\beta f_c = 0.185 f_c$ | f_c | 0.003 | آمریکا ACI |
| $x = \beta_1 D_n$ $\beta_1 = 0.185$ برای $f_c = 30$ و به ازای هر ۱ Mpa افزایش در f_c به میزان ۰/۰۰۸ از مقدار β_1 کاسته می‌شود ولی در هر حال $\beta_1 \geq 0.165$ باشد. | $\beta f_c = 0.185 f_c \phi_c$ $= 0.151 f_c$ ($\phi_c = 0.16$) | f_c | از ۰/۰۰۳ تا ۰/۰۰۳۵ | بتن ایران آبا |

لازم به توضیح است که تنش بدست آمده از آزمایش تک محوری نمونه استوانه‌ای در ACI با f'_c و در آبا با f_c بیان می‌شود. ضریب جزئی ایمنی برای بتن در خمش متوسط در BS8110 برابر با $\gamma_m = 1.5$ و در آبا $\phi_c = 0.16$ (در خمش) بیان می‌شود. f_{cu} تنش بدست آمده از آنالیز فشاری نمونه مکعبی است که برابر با $1/49 f_c$ در نظر گرفته شده است.

برای چنین مقطعی لازم است در مقاومت نهایی ابتدا فولادهای کششی به حد جاری شدن برسند و سپس بتن ناحیه فشاری خرد شود تا اینکه مقطع دارای رفتار نرمی باشد. بنابراین تنش فولاد در شرایط تعادل نیروها در مقطع برابر با تنش حد جاری شدن آن است. سپس لنگر نهایی براساس نیروهای فشاری در مقطع برابر است با:

$$M_u = f_c \cdot x \cdot b(d - x/2) + A_s' f_c (d - d') \quad (1-3)$$



از تعادل نیروهای فشاری و کششی در مقطع خواهیم داشت:

$$C_s + C_c = T_s + T_c \quad (2-3)$$

از مقاومت کششی بتن صرفنظر می شود پس $T_c = 0$ خواهد شد.

$$f_c x_c b + A_s' f_s' = A_s f_{sy} \quad (3-3)$$

از این رابطه عمق بلوک فشاری بدست می آید:

$$x = \frac{A_s f_{sy} - A_s' f_s'}{f_c b} \quad (4-3)$$

ولی این عمق بلوک فشاری نسبتی از عمق محور خنثی است پس:
و در نتیجه داریم:

$$\therefore \beta_1 = \frac{A_s f_{sy} - A_s' f_s'}{f_c b d_n} \quad (5-3)$$

در این رابطه:

$$f_{sy} = \text{تنش حد جاری شدن فولاد}$$

$$f_s' = \text{تنش در فولاد فشاری}$$

$$f_c = \text{تنش بتن (نمونه استوانه‌ای)}$$

اکنون با فرض اینکه توزیع کرنش در مقطع خطی است و تا قبل از حد جاری شدن، رابطه تنش-کرنش فولاد نیز خطی است می توان نوشت:

$$f_s' = E_s \cdot \epsilon_s' \quad (6-3)$$

$$\frac{\epsilon_s'}{\epsilon_{cu}} = \frac{d_n - d'}{d_n} = \left(1 - \frac{d'}{d_n}\right)$$

و از توزیع کرنش داریم:

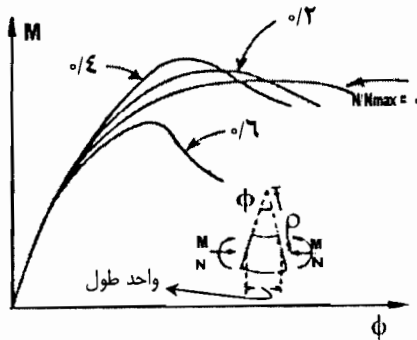
$$\epsilon_s' = \epsilon_{cu} \left(1 - \frac{d'}{d_n}\right) \quad (7-3)$$

حال می توان به نسبت رفتاری که از مقطع انتظار می رود روابط خاصی بین عوامل تعریف شده در شکل ۳-۵ بدست آورد. بدیهی است مبنای مقایسه رفتاری، یک مقطع متعادل است که در آن فولادهای کششی در همان زمانی که کرنش بتن به مقدار ϵ_{cu} می رسد، به حد جاری شدن برسد. بنابراین اگر یکی از دو حالت قبل و بعد از حالت تعادل رخ دهد مقطع یا نرم است یا ترد. چنانچه



ابتدا فولادهای کششی به حد جاری شدن برسند و مقطع گسیخته شود، رفتار آن نرم است و اگر اول بتن به کرنش ϵ_{cu} برسد و مقطع فرو ریزد، رفتار آن ترد خواهد بود. نتیجه اینکه ما همواره رفتار نرم مقطع را برای حصول به شکل پذیری مناسب انتظار می کشیم، به همین جهت همواره باید ابتدا فولادهای کششی به حد جاری شدن برسند و سپس بتن وارد مرحله نهایی خود شده و کرنش متناظر به مقدار ϵ_{cu} که هر یک از آئین نامه ها مقدار خاصی به آن اختصاص داده اند، برسد. این موضوع چه برای مقطع مستطیل و چه غیر آن صادق است و برای روشن شدن مطلب باید به کتابهای درسی رجوع شود که از شرح مبسوط آن در این قسمت چشم پوشی می کنیم. همانطور که قبلا اشاره شد بر طبق آئین نامه بتن ایران (آبا)، چنانچه مقدار نیروی محوری در مقطع کمتر از مقدار $0.09 A_g f_c$ باشد آن مقطع در زمرة مقاطع خمشی محسوب می گردد.

۳-۶- رفتار خمشی تیر-ستونها یا قطعات خمشی - فشاری (نیروی محوری حضور دارد) چنانچه یک عضو بتن مسلح هم تحت اثر نیروی محوری ثابت و هم لنگر خمشی افزایش یافته باشد، منحنی لنگر - انحناء آن به صورت منحنی شکل ۳-۶ خواهد بود.

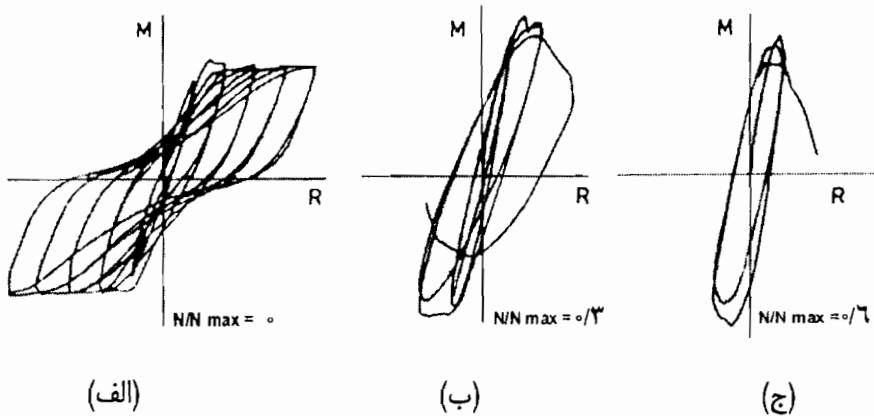


شکل ۳-۶- رابطه لنگر - انحناء تیر ستون تحت بار محوری ثابت و لنگر خمشی افزایشی

همانطور که از شکل برمی آید وجود نیروی محوری در مقطع باعث می شود تا سختی آن افزایش داشته باشد. اگر حداکثر نیروی محوری را برابر با P_{max} در نظر بگیریم برای نسبت های مختلفی از اعمال نیروی محوری P در مقایسه با حداکثر مقاومت فشاری مقطع می توان منحنی های متفاوتی بدست آورد. اگر نسبت $P/P_{max} = 0$ باشد یعنی نیروی محوری برابر با صفر



باشد همان منحنی شکل ۳-۳ را بدست خواهد آمد تنها تفاوت این است که سطح زیرمنحنی در حالت قبلی بسیار بیشتر است. بنابراین با افزایش نیروی محوری مقاومت خمشی نیز افزایش نشان می دهد ولی نسبت P/P_{max} باید از مقدار معینی کوچکتر باشد. این مقدار معین یک معیار است زیرا اگر نسبت نیروی محوری P/P_{max} از آن بیشتر شود مقاومت خمشی نه تنها افزایش نمی یابد بلکه کاهش هم خواهد داشت. زیرا هر قدر P به P_{max} نزدیک شود توزیع تنش به تنش یکنواخت فشاری که متناظر با حداکثر ظرفیت مقطع باشد، نزدیکتر می شود. از طرفی با افزایش یافتن نیروی محوری P مقطع سخت تر شده و شکل پذیری کاهش می یابد. در شکل ۳-۷ منحنی های هیستریزیس لنگر- دوران را برای تیر- ستونهایی که تحت بار محوری ثابت و لنگر خمشی حاصل از بار تکراری متناوب ولی متقارن قرار دارد نشان می دهد.



شکل ۳-۷- منحنی های هیستریزیس برای نسبت های مختلف P/P_{max} تیر - ستونها [۶]

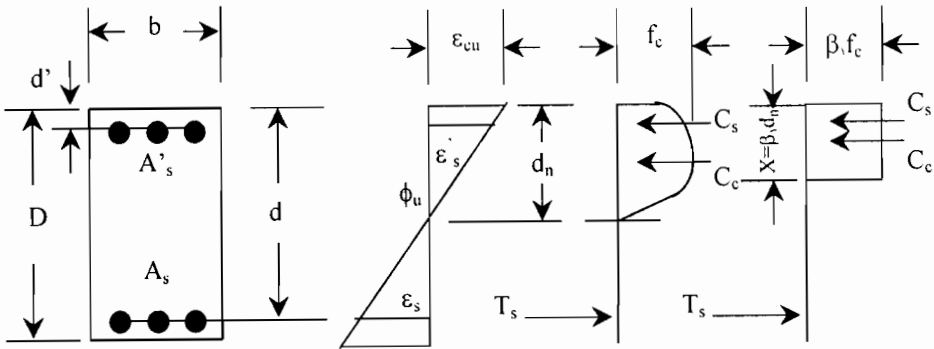
بر طبق اطلاعات بدست آمده از بررسی های آزمایشگاهی موارد الف، ب و ج از شکل ۳-۷ بیان کننده سه حالت از نسبت های ۰، ۰/۳ و ۰/۶ برای P/P_{max} می باشد. در حالت (الف) که نسبت نیروی محوری اعمالی به ظرفیت محوری مقطع برابر با صفر است منحنی یا حلقه هیستریزیس تحت اثر برش موجود در مقطع، در محل مرکزی خود فشرده شده و به صورت دوک درآمد است. در این وضعیت شکل پذیری نسبتا خوب و بالا است اما سختی طی دوره های بار گذاری پی در پی کاهش دارد. گر چه جذب انرژی مقطع هم در حد قابل قبولی می باشد. ضمنا



کاهش مقاومت آن خیلی اندک است. در حالت (ب) که نسبت $P/P_{max} = 0/3$ است مقاومت تیر-ستون در مراحل اولیه و البته پس از رسیدن به حداکثر مقاومت کاهش نشان می‌دهد. گرچه کاهش سختی خیلی چشمگیر نیست، اما از طرفی مقدار جذب انرژی کاهش قابل ملاحظه‌ای را نشان می‌دهد. اما در حالت (ج) که نسبت نیروی محوری به ظرفیت تحمل نیروی محوری برابر با $0/6$ شده است شکست مقطع ترد بوده و از نظر لرزه‌ای قابل قبول نمی‌باشد. بنابراین پس از اخذ نتایج تحلیل، لازم است قبل از طراحی، برای مقاطعی که چنین وضعیتی خواهند داشت توجه جدی شود تا مقطع به صورت ترد عمل نکند.

۷-۳- تحلیل تیر - ستونها

یک ستون بتن مسلح که تحت اثر نیروی محوری و لنگر خمشی قرار می‌گیرد در واقع یک تیر-ستون است اگر مقاومت نهایی آن در برابر بار محوری P_{max} باشد با توجه به شکل ۳-۸ مقدار آن از رابطه ۳-۸ محاسبه می‌شود.



شکل ۳-۸- یک ستون تحت بار محوری خارج از محور در حالت نهایی

اگر سطح کلی مقطع را A_g و سطح مقطع کل فولادها را A_{st} نامگذاری کنیم، خواهیم داشت:

$$P_{max} = f_c (A_g - A_{st}) + A_{st} \cdot f_y \quad (۳-۸)$$

در این رابطه چنین فرض شده است که فولادها به حد جاری شدن رسیده‌اند البته مقدار f_c و f_y بر طبق هر یک از آئین‌نامه‌ها مقدار خود را متناسب با مقاومت مشخصه فولاد بتن خواهد داشت.



(بطور مثال بر طبق آئین نامه بتن ایران (آبا) حداکثر مقدار نیروی محوری مقاوم برابر است با:

$$P_{max} = 0.41 f_c (A_g - A_{st}) + 0.68 f_{sy} A_{st}$$

برای محاسبه مقاومت نهایی این ستون که بار محوری خارج از محوریت آن P_u باشد از همان اصول حاکم بر روابط تیرها استفاده می شود. یعنی:

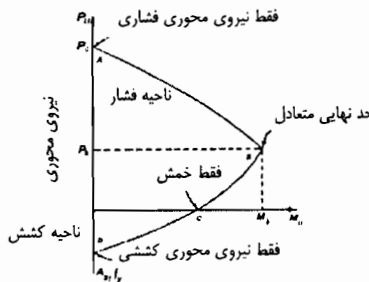
$$P_u = f_c \beta_1 d_n \cdot b + A'_s f'_s - A_s f_s \quad (9-3)$$

و رابطه تعادل لنگرها حول مرکز ستون برابر است با:

$$P_u \cdot e = f_c \beta_1 d_n \left(h/2 - \frac{b_1 d_n}{4} \right) + A'_s f'_s (h/2 - d') - A_s f_s (h/2 - d_s) \quad (10-3)$$

عوامل مختلف بر روی شکل مشخص شده اند و از آن جمله e که خروج از محوریت نیروی فشاری P_u است. برای محاسبه تنش و کرنش فولادهای فشاری می توان از روابط ۳-۶ و ۳-۷ نیز استفاده کرد.

از آنجا که نیروی محوری بر روی رفتار مقطع اثر دارد معمول ترین روش در تحلیل رفتاری مقطع بررسی اندرکنش نیروی محوری و لنگر خمشی آن است. حالت کلی چنین اندرکنشی به صورت منحنی شکل ۳-۹ می باشد. همانگونه که از شکل بر می آید برای لنگر صفر خروج از محوریت صفر است و نیروی محوری موجب می شود تا مقطع تحت تنش یکنواخت فشاری قرار گیرد و اگر خروج از محوریت خیلی کوچک باشد محور خمشی در خارج از مقطع واقع می شود و در اینصورت توزیع تنش فشاری به شکل دوزنقه خواهد شد.



شکل ۳-۹- منحنی اندرکنش لنگر خمشی و نیروی محوری در یک مقطع تیر- ستون



بنابراین در نقطه a توزیع تنش یکنواخت است و با افزایش e مقدار M از صفر بیشتر شده تا به نقطه b می‌رسد. در این محل مقدار لنگر و نیروی محوری موجب می‌شوند تا رفتار مقطع متعادل شود یعنی فولادهای کششی به حد جاری شدن رسیده و همزمان کرنش فشاری دورترین تار بتن به مقدار ϵ_{cu} خواهد رسید. واضح است که رفتار مقطع از a تا b رفتار ترد است و از b تا c رفتار نرم بدست می‌آید. در حد فاصله c تا d از مقدار M کاسته شده و مقدار P جهت منفی به خود می‌گیرد یعنی نیروی محوری به صورت نیروی کششی به مقطع وارد می‌شود بنابراین در نقطه d تعادل نیرو با رابطه ۳-۱۱ بیان می‌گردد.

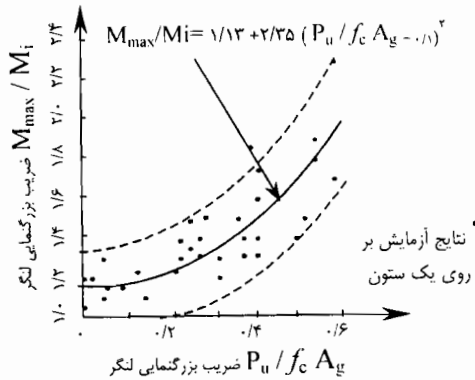
$$P = A_s f_y \quad (۳-۱۱)$$

چنانچه بتن ستون محصور فرض شود و مقدار $\epsilon_{cu} < 0.004$ باشد باید از بتن پوششی صرفنظر شود و در تحلیل به حساب نیاید و ضرائب بتن محصور ملحوظ گردد. اما اگر نیروی محوری خیلی کم باشد خواص بتن محصور چندان تأثیری در مقاومت مقطع ندارد ولی اگر نیروی محوری زیاد باشد بالاجبار باید خواص بتن محصور در تحلیل ملحوظ شود.

بر طبق بررسیهای بعمل آمده در شکل ۳-۱۰ اثر افزایش نیروی محوری بر مقاومت خمشی آورده شده است. در این شکل مقاومت خمشی ستونهای بامقطع دایره، مربع و مستطیل که از آزمایش بدست آمده اند با نتایج حاصل از محاسبه نظری و مبتنی بر کرنش نهایی بتن که برابر با 0.003 در نظر گرفته شده است بهمراه بتن پوششی در تمام مقطع و با فرض ضریب کاهش مقاومت برابر با $\phi = 1/0$ مقایسه شده اند.

اثر بتن محصور در محاسبه نیروی فشاری با افزایش نیروی محوری ستون که خود موجب افزایش عمق ناحیه فشاری می‌شود بسیار چشمگیر است و بویژه اینکه موجب افزایش لنگر فشاری مقطع می‌شود. در این وضعیت مقاومت خمشی نیز اضافه تر می‌شود.

در این بررسیها نشان داده شده است که اگر نیروی محوری اندک باشد، میانگین نسبت مقاومت بدست آمده از آزمایش به مقاومت محاسبه شده براساس روابط آئین نامه‌ای که مبتنی بر خواص مهندسی اندازه گیری شده مصالح است، برابر با $1/13$ می‌شود [۸ و ۹]. این افزایش سیزده درصد در مقاومت، ناشی از سخت شدگی کرنش فولادهای خمشی متناظر با ضریب شکل پذیری زیاد است.



شکل ۳-۱۰- ضریب بزرگنمایی مقاومت خمشی یک ستون محصور برای بارهای محوری متفاوت [۷]

در حالیکه نیروی محوری زیاد باشد و بویژه هنگامی که $P/f'_c A_g \geq 0.3$ باشد ضریب بزرگنمایی مقاومت سریعاً افزایش دارد و برای بدست آوردن بزرگنمایی مقاومت می توان از رابطه ۳-۱۲ استفاده کرد و بدیهی است که هسته بتن محصور و ابعاد آن در محاسبات می آید.

$$\frac{M_{max}}{M_i} = 1/13 + 2/35 \left(\frac{P_i}{f'_c A_g} - 0.1 \right)^2 \quad (3-12)$$

در حالیکه M_i و P_i به ترتیب لنگر مقطع و نیروی محوری مقطع می باشند.

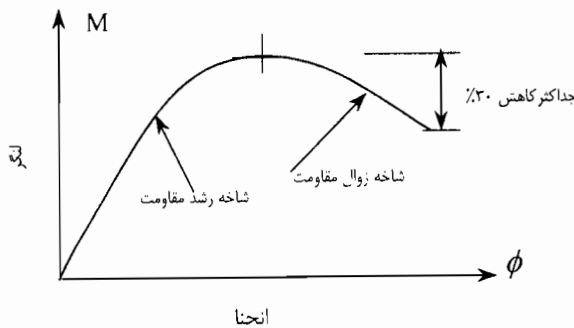
۳-۸- شکل پذیری

شکل پذیری یکی از خواص بسیار مهم سازه هائی است که اگر تحت تأثیر بارها یا نیروهای لرزه‌ای واقع شوند باید از خود بروز دهند. شکل پذیری عبارت است از توان و تحمل یک سازه به‌مراه اعضای انتخاب شده آن که تحت رفتار غیرارتجاعی و بدون کاهش در مقاومت و سختی خود بتوانند تغییر شکل قابل توجهی را داشته باشند.

همچنانکه می دانیم از مهمترین مسائل و خصیصه های سازه در مقابل نیروهای لرزه‌ای و از جمله نیروهای ناشی از زلزله رفتار شکل پذیر آنها یا دارا بودن خصلت شکل پذیری است. به عبارت دیگر هر سازه پایدار یا مقاوم در برابر زلزله باید هم بصورت کلی و یک مجموعه کامل شکل پذیر باشد و هم اعضای آن به تفکیک شکل پذیر باشند.



شکل پذیری هر عضو یعنی اینکه اولاً قادر باشد بقدر کافی تغییر شکل‌های غیرارتجاعی زیادی را تحمل کند بدون اینکه مقاومتش بطور چشمگیری کاسته شود و ثانیاً قادر باشد مقدار قابل توجهی از انرژی زلزله را از طریق رفتار هیستریزس (چرخه های رفتاری) پایدار، جذب و مستهلک نماید. برای اینکه معیاری برای شکل پذیر بودن اعضاء در اختیار باشد لازم است از طریق انجام تحقیقات گسترده به چنین معیاری دست یافت. البته این بحث چندان ساده و راحت نیست زیرا پیچیدگیهای زیادی در رفتار سازه ها وجود دارد که مشخص کردن صریح آن خالی از اشکال نیست. در هر حال آئین نامه نیوزلند [۳۳] برای نخستین بار معیاری برای شکل پذیر بودن اعضای سازه‌ای ارائه کرد که بر طبق آن باید هر عضو سازه ای حداقل چهار سیکل (چهار چرخه رفتاری) از بارگذاری دینامیکی را به نحوی تحمل کند که ضریب شکل پذیری تغییر مکانی آن برابر با $\mu_{\Delta} = 4$ باشد و کاهش مقاومت آن حداکثر به ۳۰ درصد برسد. در حالیکه در آئین نامه اروپایی CEB - ۱۹۹۵ [۳۴] چنین آمده است که شکل پذیری اعضاء براساس ضریب شکل پذیری انحنایی آنها تعریف می شود و در این حالت بر روی قسمت کاهشی منحنی لنگر-انحناء $(M-\phi)$ فقط ۱۵ درصد کاهش مقاومت ظاهر شود.



شکل ۳-۱۱- منحنی کلی لنگر-انحناء برای یک عضو بتن مسلح

چنین بنظر می‌رسد که توصیه آئین نامه نیوزلند بیشتر برای سازه‌هایی که شکل‌پذیری بالایی دارند صادق است. بنابراین با توجه به نوع سازه ای که برای مناطق زلزله خیز طراحی می‌شود باید مصالح بکار رفته در آنها به نحوی اختیار و ترکیب شوند که نتیجه رفتار آنها، شکل پذیر بودن را تأمین نماید. مثلاً در مورد سازه های بتن مسلح، اصلی‌ترین مصالح بتن و میلگردها هستند. البته نحوه توزیع میلگردها نیز نقش بسزایی در این رفتار دارند لیکن در مبحث مصالح توجه به رفتار خود آنها از اهمیت بسزایی برخوردار است.



تعریف عمومی و کلی ضریب شکل پذیری عبارت است از نسبت تغییر شکل نهایی به تغییر شکل مرحله جاری شدن. در این تعریف مقصود از تغییر شکل هر یک از مؤلفه های جابجایی از قبیل خیز، چرخش (زاویه دوران)، انحناء و کرنش را شامل می شود. بهمین دلیل ذیلا تعاریف و انواع شکل پذیری را مورد ارزیابی و تجزیه و تحلیل قرار می دهیم.

انواع شکل پذیری عبارتند از:

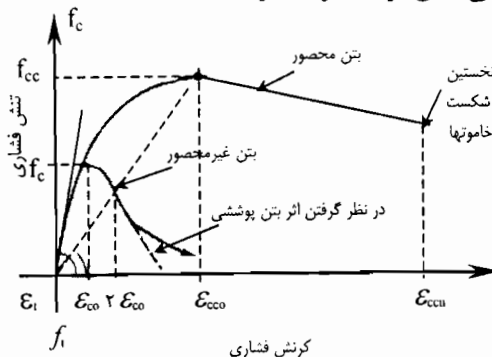
- شکل پذیری کرنشی
- شکل پذیری انحنایی
- شکل پذیری تغییر مکانی

۳-۸-۱- شکل پذیری کرنشی

اصولی ترین و مبنایی ترین منبع شکل پذیری را باید در توان و قدرت مصالح سازه ای دانست که تحت شرایط بارگذاری تغییر شکل نسبی آن (کرنش) وارد مرحله خمیری شده، بدون اینکه کاهش در تنش آن رخ داده باشد. بنابراین اگر ϵ_y کرنش جاری شدن و ϵ کل کرنش اعمالی باشد خواهیم داشت:

$$\mu_g = \epsilon / \epsilon_y \quad (3-13)$$

لازم به ذکر است که کرنش اعمالی ϵ نباید از مقدار کرنش حداکثر (ϵ_m) که مربوط به ظرفیت مصالح است بیشتر باشد. قبلا بیان شد که بتن غیرمحصور کرنش محدودی دارد، به عبارت دیگر شکل پذیری کرنشی آن اندک است در حالیکه در بتن محصور این مقدار کرنش شدیداً افزایش یافته و شکل پذیری کرنشی قابل توجه خواهد بود.



شکل ۳-۱۲- منحنی تنش - کرنش بتن محصور و بتن غیرمحصور [۷]



در بتن محصور مقدار شکل پذیری کرنشی از رابطه زیر بدست می آید:

$$\mu_e = \varepsilon_m / \varepsilon_y \geq 20 \quad (14-3)$$

این مقدار شکل پذیری کرنشی بسیار قابل توجه است لیکن برای فولادها بیشتر از این مقدار را می‌توان بدست آورد.

شایان دقت است که شکل پذیری کرنشی در یک عضو سازه ای فقط هنگامی بدست می آید که در طول قابل توجهی از آن عضو کرنش غیرارتجاعی بوجود آمده باشد. چنانچه کرنشهای غیرارتجاعی در طول کوتاهی از عضو ایجاد شود، در این صورت نیاز شکل پذیری کرنشی خیلی زیاد خواهد بود. این پدیده در مورد پاسخ سازه ای غیرارتجاعی با شکل پذیری متوسط نیز صادق است.

۳-۸-۲- شکل پذیری انحنایی

یکی از عمومی ترین و مهمترین منابع برای مطالعه جابجایی غیرارتجاعی سازه، انحناء می باشد که خود بستگی به دوران دارد. زیرا انحناء عبارتست از دوران مقطع در واحد طول. بدیهی است که این دوران در محل لولای خمیری موردنظر است. مقدار شکل پذیری انحنایی را از رابطه ۳-۱۵ محاسبه می کنند.

$$\mu_\phi = \phi_m / \phi_y \quad (15-3)$$

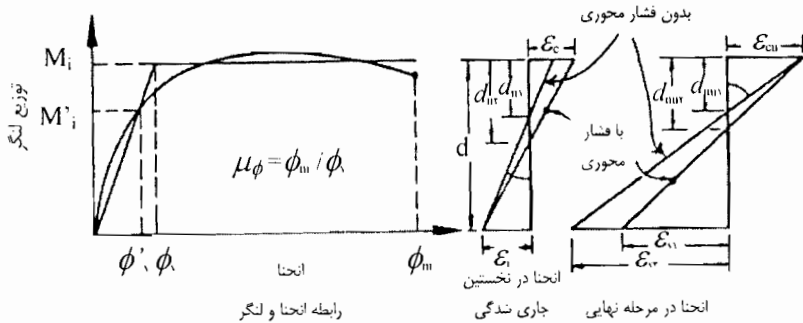
در این رابطه ϕ_m و ϕ_y به ترتیب حداکثر انحناء و انحناء جاری شدن می باشند.

۳-۸-۲-۱- انحناء حد جاری شدن

بدست آوردن مقدار شکل پذیری موردنیاز مبتنی بر رابطه بین آن و ضریب کاهش نیرو (ضریب رفتار) است که قبلا در مورد آن بحث شده است. این روابط بر پایه منحنی دو خطی نیرو - تغییرمکان استوار است که برای تبیین رفتار ارتجاعی - خمیری سازه تقریب زده می شود. برای رابطه لنگر - انحناء نیز مطابق شکل ۳-۱۳ می توان با تقریب خوبی رفتار ارتجاعی-خمیری را با منحنی دو خطی تقریب زد. مفهوم چنین تقریبی این است که ضرورت ندارد انحناء جاری شدن (ϕ_y) منطبق با نخستین جاری شدن فولادهای کششی باشد که معمولا این اتفاق در سازه منطبق با انحناء کمتری است. به مقدار ϕ'_y در شکل ۳-۱۳ مراجعه شود.



چنین وضعی معمولاً هنگامی رخ می دهد که فولادها در اطراف مقطع توزیع شده باشند، مانند ستونها که فولادها در چهاروجه تعبیه می شوند. شایسته است که شیب مربوط به محدوده ارتجاعی را با سختی و تری مطابق با نخستین جاری شدگی در مقطع اختیار کنیم.



شکل ۳-۱۳- تعاریف شکل پذیری انحنایی

برای حالت عمومی مقدار انحناء متناظر با نخستین جاری شدن ϕ'_y و با رجوع به شکل ۳-۱۳- ب چنین می شود.

$$\phi'_y = \frac{\epsilon_y}{d - d_{n1,2}} = \frac{\epsilon_c}{d_{n1,2}} \quad (3-16)$$

در این رابطه $\epsilon_y = f_y / E_s$ بوده و $d_{n1,2}$ عمق محور خنثی است که برای هر یک از دو حالت بدون نیروی فشاری محوری و یا با نیروی فشاری محوری صادق می باشد. با توجه به اینکه شیب منحنی ایده آل خطی است با برون یابی خطی تا مقدار M_i که لنگر ایده آل است ادامه داده و بر طبق شکل ۳-۱۳- الف خواهیم داشت:

$$\phi_y = \frac{M_i}{M_i} \phi'_y \quad (3-17)$$

اگر مقطع دارای فولاد زیاد باشد یا اینکه تحت اثر نیروی محوری باشد، ممکن است کرنش فشاری زیادی در بتن ایجاد شود در حالیکه هنوز فولاد به حد جاری شدن نرسیده است. در این وضعیت مقدار انحناء جاری شدن بر مبنای کرنشهای فشاری بتن محاسبه می شود.

$$\phi'_y = \frac{\epsilon_c}{d_n} \quad (3-18)$$

در حالیکه مقدار ϵ_c برابر با 0.0015 در نظر گرفته می شود.



یک روش تقریبی و قابل قبول برای بدست آوردن کرنش فولاد و بتن برای مقاطع تیرها و مآلا انحناء (ϕ_y) بر مبنای روش متداول ارتجاعی و مقدار فرضی لنگر $M_i = 0.75 M_i$ توسط پاولی ارائه شده است که در نتیجه آن مقدار انحناء جاری شدن چنین می شود:

$$\phi_y = \frac{M_i}{0.75 M_i} \phi'_y = 1.33 \phi'_y$$

این مقدار تقریبی است ولی می توان برای محاسبات "کنترل" بکار برد.

۳-۸-۲-۲- حداکثر انحناء یا انحناء نهایی

حداکثر انحناء قابل دسترس در یک مقطع عبارت است از انحنایی که مبتنی بر حداکثر کرنش در دورترین تار فشاری بتن محاسبه شود. زیرا در این وضعیت کرنش فولادهای کششی بسیار زیاد بوده و نمی توان براساس آن مقدار انحناء را محاسبه کرد. بنابراین خواهیم داشت:

$$\phi_m = \frac{\epsilon_{cu}}{d_{nu}} \quad (3-19)$$

در حالیکه c_u مقدار عمق محور خنثی در مرحله نهایی است. برای محاسبات نظری، حداکثر انحناء یا انحناء نهایی برای تیرها، ستونها و دیوارها حداکثر مقدار کرنش دورترین تار فشاری بتن معمولی را برابر با 0.004 در نظر می گیرند. ولی برای بتن محصور این مقدار افزایش خواهد داشت اما بتن پوشش که احتمال جدا شدن و کنده شدن آن زیاد است نباید در محاسبات وارد شود ولی قطعاً مقدار کرنش نهایی بتن باید متناظر با تراز وسط فولادهای (عرضی) باشد.

۳-۸-۳- عوامل مؤثر بر شکل پذیری انحنایی

از مهمترین عوامل که بر شکل پذیری انحنایی اعضای سازه های بتن مسلح اثر مستقیم دارد، می توان موارد زیر را بر شمرد:

- کرنش نهایی فشاری بتن ϵ_{cu}
- نیروی محوری
- مقاومت فشاری بتن
- مقاومت جاری شدن فولاد

در مورد هر یک از این عوامل شرح نسبتاً مفیدی در فصل اول ارائه شده است و در سایر فصول نقش آنها به تفکیک در فرآیند تحلیل و طراحی آمده است.



۳-۸-۳-۱- اثر کرنش نهایی بتن

در مورد این عامل قبلاً مطالبی در فصل دوم بحث شد که بهمان فصل ارجاع داده می شود.

۳-۸-۳-۲- اثر نیروی محوری

وجود نیروی محوری موجب فشرده تر شدن بتن شده و در نتیجه افزایش کرنش آنرا بدنبال دارد. با افزایش کرنش فشاری بتن، عمق محور خنثی نیز بیشتر خواهد شد. این موضوع در شکل ۳-۱۳-الف و ج بخوبی مشاهده می شود. بدیهی است این پدیده هم برای حالت جاری شدن و هم برای حالت نهایی صادق است. با رجوع به شکل ۳-۱۳ به وضوح در می یابیم که مقدار انحناء در حالت جاری شدن افزایش دارد، در حالیکه در حالت نهایی کاهش یافته است. نتیجه این اثر کاهش شدید شکل پذیری مقطع است زیرا از یک طرف ϕ_u کاهش یافته و از طرف دیگر ϕ_c افزایش یافته است بنابراین وجود نیروی محوری در مقطع موجب کاهش شکل پذیری شده است. مفهوم روشن تر این مطلب این است که با کاهش ظرفیت شکل پذیری، بتن پوشش پوسته یا کنده شده و سطح بتن مؤثر کاهش می یابد. این رفتار در مقایسه با تیرها شدیدتر است. بنابراین محصور کردن بتن ستونها بسیار بسیار مهم تر است. روشن است که اگر نیروی محوری بصورت کششی عمل کند موجب افزایش شکل پذیری خواهد شد.

۳-۸-۳-۳- اثر مقاومت فشاری بتن

افزایش مقاومت فشاری بتن بر روی شکل پذیری در جهت عکس اثر نیروی محوری است. زیرا با افزایش مقاومت عمق محور خنثی چه در مرحله جاری شدن چه در حالت نهایی کاهش یافته و در نتیجه انحناء جاری شدن کاهش می یابد در حالیکه انحناء مرحله نهایی افزایش خواهد داشت. نتیجه کلی اینکه با افزایش مقاومت بتن، ظرفیت شکل پذیری افزایش می یابد.

۳-۸-۳-۴- اثر مقاومت جاری شدن فولاد

چنانچه به جای فولاد کششی لازم با مقاومت جاری شدن مورد نیاز، از فولاد با سطح کمتر ولی با مقاومت جاری شدن بیشتر استفاده شود، انحناء حالت نهایی دچار تغییری نمی شود مگر اینکه کرنش فولاد بیشتر از کمترین کرنش کششی نهایی آن شود. در هر حال افزایش کرنش جاری شدن ϵ_y به مفهوم افزایش انحناء جاری شدن است. بنابراین برای فولادهای با مقاومت بالاتر شکل پذیری انحنایی کمتر خواهد بود.



۳-۸-۳-۵- شکل پذیری جابجایی تغییر مکانی

جابجایی یا تغییر مکان از مهمترین کمیت‌هایی است که برای محاسبه شکل پذیری سازه در نظر گرفته می‌شود. برای تعیین کمیت شکل پذیری از ضریب شکل پذیری که در رابطه ۳-۲۰ آمده است، استفاده می‌شود.

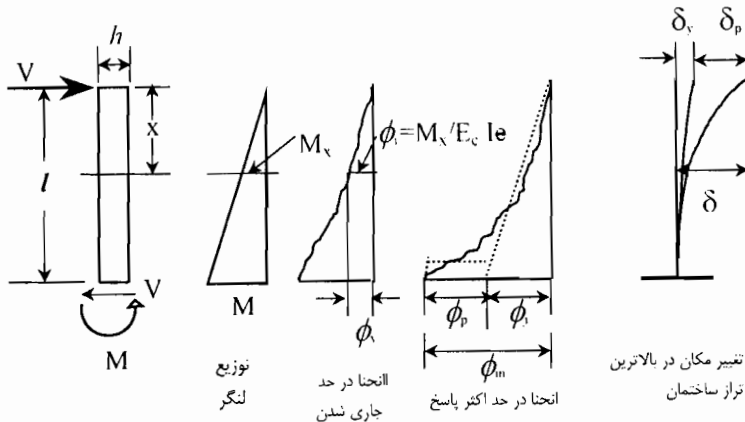
$$\mu_{\Delta} = \frac{\Delta}{\Delta_y} \quad (3-20)$$

مقدار Δ در این رابطه متشکل از دو قسمت است یکی Δ_y که متناظر با جاری شدن مقطع سازه در نزدیکی پایه یا شالوده است و دیگر Δ_p که متناظر با رفتار خمیری کامل می‌باشد. بنابراین Δ که خیز یا تغییر مکان بالاترین تراز است برابر است با:

$$\Delta = \Delta_y + \Delta_p \quad (3-21)$$

در شکل ۳-۱۴ این تغییر مکان نشان داده شده است.

برای قابها مقدار کل تغییر مکان را در بالاترین تراز در نظر می‌گیرند. گرچه با توجه به ضریب کاهش نیرو لازم است مقدار تغییر مکان افقی قابها را در تراز می‌متناظر با محل مرکز ثقل نیروهای جانبی در نظر گرفت، لکن تقریبی که بین این محل و بالاترین تراز یعنی بام در نظر گرفته می‌شود خیلی اختلاف برانگیز نخواهد بود و نتایج قابل قبولی بدست می‌دهد. بنابراین بدست آوردن مقدار شکل پذیری تغییر مکانی را متناظر با بالاترین تراز در نظر می‌گیرند.



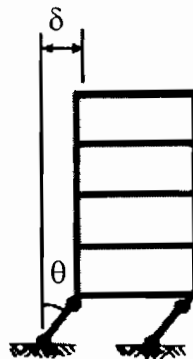
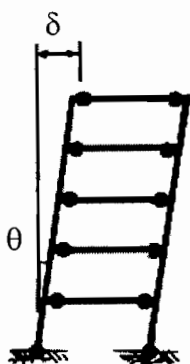
شکل ۳-۱۴- لنگر، انحناء و تغییر مکان افقی یک طره قائم بتن مسلح [۷]



از نکات جالب توجه در طراحی اینست که شکل پذیری را متناظر با حداکثر جابجایی در نظر می‌گیرند یعنی $\Delta = \Delta_m$. نکته دیگر و قابل اهمیت اینکه، ضریب شکل پذیری تغییر مکانی (μ_{Δ}) با تغییر مکان نسبی افقی طبقات بستگی دارد. با رجوع به شکل ۳-۱۴ متوجه می‌شویم که اگر شکل پذیری را در ارتباط با تغییر مکان بالاترین تراز سازه در نظر بگیریم، جابجایی بدست آمده با شکل پذیری مرتبط با تغییر مکان طبقه اول بسیار متفاوت خواهد بود. نتیجه‌ای که از این مقایسه می‌توان گرفت اینکه شکل پذیری قابها μ_{Δ} تا حد بسیاری به توانایی تشکیل لولای خمیری در انتهای تیرها و یا ستونها بستگی دارد.

همانطور که از شکل ۳-۱۴ برمی‌آید، برای کلیه قابهای بتن مسلح فرض می‌شود که تغییر مکان حد جاری شدن (Δ_p) با انحناء حد جاری شدن (ϕ_y) در پای سازه، بطور همزمان اتفاق می‌افتد. بدست آوردن مقدار واقعی Δ_p بسیار با اهمیت است، زیرا محاسبه قدر مطلق حداکثر تغییر مکان (Δ_m) نیز به ارتفاعی که در آن ارتفاع این تغییر مکان اتفاق می‌افتد، بستگی دارد.

در شکل ۳-۱۵ دو شکل ممکن از رفتار غیرارتجاعی برای قابهای خمشی نشان داده شده است. اگر فرض کنیم که این دو قاب دارای توزیع جرم و سختی یکسان هستند و تحت یک زلزله معین قرار گیرند، با استناد به نظریه تساوی تغییر مکان، می‌توان نتیجه گرفت که تغییر مکان قابها در بالاترین تراز با هم مساویند. با توجه به رابطه ۳-۲۱ اگر بار جاری شدن قابها یکسان باشد، نتیجه می‌گیریم که تغییر مکان قابها در دو مرحله جاری شدن و خمیری با یکدیگر مساویند یعنی تغییر مکان جاری شدن تیر با تغییر مکان جاری شدن ستون مساوی می‌شود و همین تساوی برای تغییر مکان غیرارتجاعی آنها صادق است. اکنون اگر فرض کنیم که تمام لولای خمیری در یک لحظه در این دو سازه بوجود می‌آیند، در اینصورت دوران لولای خمیری برای حالت ب (طبقه نرم) $\theta_c = \Delta_p / h$ بوده ولی برای حالت الف برابر با $\theta_b = \Delta_p / 4h$ می‌شود. بنابراین نتیجه می‌گیریم که برای یک سازه شکل‌پذیر لازم است از ایجاد طبقه نرم تا حد امکان جلوگیری شود. به عبارت دیگر جذب و استهلاک انرژی در اثر تغییر شکل و دوران غیرارتجاعی تیرها به مراتب بهتر و مطلوب‌تر از همین اثر در نتیجه رفتار طبقه نرم یا به عبارتی تغییر شکل ستونها می‌باشد.



الف- قاب شکل‌پذیر و پایدار

ب- طبقه نرم و انهدام

شکل ۳-۱۵- مقایسه تغییر شکل دو قاب با لولای خمیری متفاوت

۳-۸-۴- رابطه بین شکل‌پذیری تغییر مکانی و شکل‌پذیری انحناء

برای یک سازه ساده مانند یک طره قائم، رابطه بین شکل‌پذیری انحنایی و تغییر مکانی بسیار ساده و از طریق انتگرال انحناء بدست می‌آید. زیرا انتگرال انحناء مقدار جابجایی یا تغییر مکان را بدست می‌دهد. بنابراین داریم:

$$\mu_{\Delta} = \frac{\Delta_m}{\Delta_y}$$

و برحسب انحناء چنین می‌شود:

$$\mu_{\Delta} = \frac{\int \phi(x) x dx}{\int \phi_e(x) x dx} \quad (۳-۲۲)$$

در این رابطه $\phi(x)$ و $\phi_e(x)$ به ترتیب عبارتند از توزیع انحناء در حداکثر پاسخ و در حد جاری شدن. اگر چنانچه مقدار انحناء متناظر با حداکثر پاسخ را ϕ_m و انحناء جاری شدن را با ϕ_y نشان دهیم می‌توان نوشت:

$$\mu_{\Delta} = \frac{k_1 \phi_m}{k_2 \phi_y} = k \mu_{\phi} \quad (۳-۲۳)$$

مقدار x از بالای طره به طرف پایه در نظر گرفته می‌شود. باید توجه داشت که در عمل بدست آوردن انتگرال رابطه ۳-۲۲ مشکل است و غالباً با تقریب عمل می‌شود. مقدار k_1 ، k_2 و k



ثابت هستند. در هر حال نحوه بدست آوردن مقدار تغییر مکان متناظر با جاری شدن و حداکثر تغییر مکان به شرح زیر اقدام می شود.

۳-۸-۴-۱- تغییر مکان حد جاری شدن

توزیع واقعی انحناء در مرحله جاری شدن $\phi_e(x)$ به صورت غیرخطی است. دلیل غیرخطی بودن این توزیع این است که اولاً رابطه بین لنگر و انحناء اساساً غیرخطی است و ثانیاً سخت شدگی بتن کششی بین ترکها نیز غیرخطی است. اگر برای ساده شدن محاسبات این توزیع را با تقریب قابل قبولی به صورت خطی فرض کنیم مقدار تغییر مکان حد جاری شدن از رابطه ۳-۲۴ محاسبه می شود.

$$\Delta_y = \phi_y \ell^2 / 3 \quad (3-24)$$

۳-۸-۴-۲- توزیع حداکثر تغییر مکان

توزیع انحناء واقعی در مرحله حداکثر پاسخ (Δ_m) در شکل ۳-۱۴-د نشان داده شده است که این پاسخ متناظر با حداکثر انحناء در پایه طره قائم می باشد (ϕ_m) . برای ساده شدن محاسبات، طولی معادل طول لولای خمیری به میزان ℓ_p به نحوی اختیار شده است که انحناء خمیری $\phi_p = (\phi - \phi_y)$ مساوی حداکثر انحناء خمیری یعنی $(\phi_m - \phi_y)$ فرض شود. همچنین طول ℓ_p به نحوی اختیار شده است که تغییر مکان خمیری در بالاترین تراز طره (Δ_p) که از توزیع ساده بدست می آید، مساوی با مقدار آن در توزیع واقعی انحناء باشد. مقدار چرخش خمیری (θ_p) متناظر با معادل طول خمیری ℓ_p از رابطه ۳-۲۵ بدست می آید.

$$\theta_p = \phi_p \ell_p$$

$$\theta_p = (\phi_m - \phi_y) \ell_p \quad (3-25)$$

مقدار چرخش خمیری (θ_p) یکی از شاخصهای مهم در ظرفیت مقاطع بتن مسلح است تا وضع آنرا در باقی ماندن در حالت خمیری مشخص کند. اگر فرض کنیم که θ_p در $1/2$ طول لولای خمیری متمرکز باشد، می توان مقدار تغییر مکان خمیری را در بالاترین تراز طره به صورت زیر بدست آورد.



با فرض اینکه رابطه Δ و θ بصورت خطی فرض شود داریم:

$$\Delta_p = \theta_p (\ell - \circ / \Delta \ell_p) = (\phi_m - \phi_y) \ell_p (\ell - \circ / \Delta \ell_p) \quad (26-3)$$

حال با داشتن Δ_p می‌توان مقدار شکل پذیری را بدست آورد.

$$\mu_\Delta = \frac{\Delta}{\Delta_y} = \frac{\Delta_p + \Delta_y}{\Delta_y} = 1 + \frac{\Delta_p}{\Delta_y}$$

و یا

$$\mu_\Delta = 1 + \frac{(\phi_m - \phi_y) \ell_p (\ell - \circ / \Delta \ell_p)}{\phi_y \ell^2 / 3} = 1 + 3 \left(\frac{\phi_m}{\phi_y} - 1 \right) \frac{\ell_p}{\ell} \left(1 - \circ / \Delta \frac{\ell_p}{\ell} \right)$$

$$\mu_\Delta = 1 + 3(\mu_\phi - 1) \frac{\ell_p}{\ell} \left(1 - \circ / \Delta \frac{\ell_p}{\ell} \right) \quad (27-3)$$

و یا اینکه می‌توان مقدار شکل پذیری انحنایی را از همین رابطه بدست آورد که چنین می‌شود:

$$\mu_\phi = 1 + \frac{(\mu_\Delta - 1)}{3 \left(\frac{\ell_p}{\ell} \right) \left[1 - \circ / \Delta \frac{\ell_p}{\ell} \right]} \quad (28-3)$$

این دو رابطه در واقع رابطه بین شکل پذیری تغییر مکانی و شکل پذیری انحنایی برای یک سیستم یک درجه آزاد است. از رابطه ۳-۲۷ در می‌یابیم که هر قدر نسبت ℓ_p / ℓ کوچک شود مقدار شکل پذیری جابجایی کاهش می‌یابد. همانطور که گفته شد، تردیدی نیست که این رابطه برای دستگاه یک درجه آزاد قابل اعمال است و اگر قرار باشد دستگاه سازه ای چند درجه آزاد باشد، لازم است از طریق دیگری که چندان ساده هم نیست عمل شود.

۳-۸-۴-۳- طول لولای خمیری

مقدار نظری طولی که معادل طول لولای خمیری (ℓ_p) باشد، بر مبنای توزیع انحناء یک عضو خاص بدست می‌آید و متناسب با طول عضو می‌باشد. نشان داده شده است که این طول معادل (طول لولای خمیری) با مقدار بدست آمده از آزمایش همخوانی و هماهنگی ندارد. علت هم در این است که مثلاً برای طره قائم توزیع انحناء در محل پایه متمرکز است در حالیکه کرنش فولاد کششی به علت چسبندگی و اتصال خوب با شالوده تاحدودی در داخل شالوده امتداد خواهد داشت.



در چنین حالتی، کشیدگی بیشتر فولادهای کششی که بیش از مقدار نظری است موجب می شود تا مقدار چرخش و انحناء و یا تغییر مکان بیشتر شود. این پدیده را "نفوذ کرنش کششی" می نامند. نشان داده شده است که یکی از عوامل بسیار مهم در این پدیده (نفوذ کرنش کششی) قطر فولادها است، زیرا هر قدر قطر فولادها بیشتر باشد طول بیشتری را برای نفوذ کرنش لازم دارد. دلیل دیگر اختلاف بین تئوری و آزمایش این است که افزایش و گسترش حالت خمیری در نتیجه ترکهای مورب خمشی - برشی است.

یکی از تخمین های خوب و مناسب برای طول لولای خمیری رابطه ای است که توسط پاولی [۷] ارائه شده و ذیلا آورده می شود.

$$\ell_p = 0.08 \ell + 0.22 d_b f_y \quad (29-3)$$

در این رابطه d_b قطر اسمی فولاد است و f_y مقاومت جاری شدن آن برحسب Mpa می باشد. برای تیرهای معمولی و ستونهای متناسب با رابطه ۳-۲۹ مقدار ℓ_p برابر است با:

$$\ell_p = 0.5 h$$

که در آن h عمق مقطع است. این رابطه دقت خوب و قابل قبولی دارد و می توان از آن استفاده کرد. باید دانست که طول لولای خمیری (ℓ_p) که با توجه به مطالب فوق بدست می آید متفاوت از منطقه ای است که بنام منطقه خمیری مشهور است و باید در آن منطقه توزیع خاصی برای فولادها بکار برد تا اینکه دقیقاً آن منطقه بصورت لولای خمیری عمل کند. در اینصورت ظرفیت چرخشی مقطع تأمین می شود.

رابطه دیگری را متوک در سال ۱۹۷۶ ارائه کرده است [۶] که طول لولای خمیری را بر طبق رابطه ۳-۳۰ را بدست می دهد.

$$\ell_p = d / 2 + 0.05 z \quad (30-3)$$

در این رابطه d عمق مؤثر مقطع و z فاصله بین مقطع بحرانی تا نقطه عطف است. بطور مثال در یک تیر طره فاصله z برابر با طول تیر می شود.



مثال: طره قائمی مانند آنچه که در شکل ۳-۱۴ آمده است دارای ارتفاع ۳/۵ متر و طول ۰/۵ متر می‌باشد. اگر ضریب شکل‌پذیری تغییر مکانی آن برابر با ۶ باشد مطلوب است مقدار شکل‌پذیری انحنایی این طره قائم.

$$f_y = 40 \text{ Mpa}$$

میلی متر ۲۸ = قطر فولاد

حل: با توجه به رابطه ۳-۲۹ داریم:

$$l_p = 0.08 \times 3/5 + 0.022 \times 0.28 \times 400 \\ = 0.526 \text{ m}$$

$$\frac{l_p}{\ell} = \frac{0.526}{3/5} = 0.150$$

$$\frac{l_p}{h} = \frac{0.526}{0.5} = 1.05$$

حال از رابطه ۳-۲۸ استفاده می‌کنیم:

$$\mu_\phi = 1 + \frac{(6-1)}{3(0.150)[1-0.5 \times 0.150]} = 13/0.1$$

همانطور که مشاهده می‌شود نسبت $\frac{\mu_\phi}{\mu_\Delta}$ برابر با ۲/۱۶۹ است یعنی شکل‌پذیری انحنایی از شکل‌پذیری تغییر مکانی خیلی بیشتر است.

۳-۸-۵- شکل‌پذیری عضو و کل سازه

آنچه قبلاً رابطه بین انحناء و تغییر مکان را بصورت ساده بیان داشت، مبتنی بر این فرض بود که مجموع تغییر مکان در بالاترین تراز سازه ($\Delta = \Delta_y + \Delta_p$) مرکب از تغییر مکان جاری شدن و تغییر مکان پلاستیک بود که همه آنها ناشی از تغییر شکل خمشی سازه با پایه کاملاً گیردار باشد. اگر شالوده دچار چرخش شود، مقدار تغییر مکان جاری شدن به اندازه تغییر مکان ناشی از چرخش شالوده افزایش خواهد داشت. اما مقدار Δ_p یا تغییر مکان خمیری بدون تغییر باقی می‌ماند زیرا چرخش شالوده که پائین‌تر از محل لولا رخ داده است بر مقدار آن تأثیر ندارد و Δ_p فقط در اثر چرخش خمیری عضو طره‌ای بوجود می‌آید.

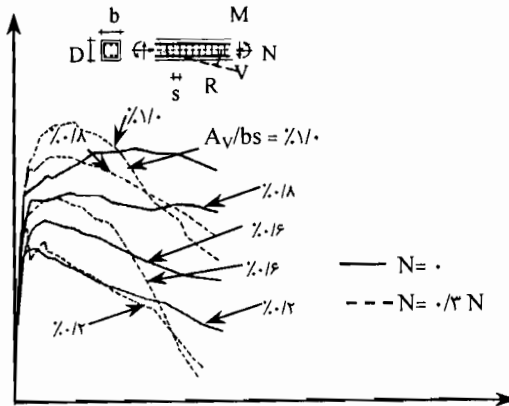
$$\mu_\Delta = 1 + \frac{\Delta_p}{\Delta_y} \quad (3-31)$$

نتیجه چنین وضعی کاهش ضریب شکل پذیری است. چنانچه توزیع لنگر در ارتفاع سازه غیر از آن باشد که در شکل ۳-۱۴ ب آمده است، روابط ۳-۲۷ و ۳-۲۸ قابل استفاده نخواهند بود.

۳-۹- رفتار برشی اعضای بتن مسلح

برای بررسی رفتار برشی اعضای سازه های بتن مسلح نیز مانند رفتار خمشی از منحنی بار-تغییر مکان استفاده می شود. معمولاً نیروی برشی را به جای بار و دوران را به جای تغییر مکان بکار می برند. بر طبق مطالعات و تحقیقاتی که طی سالهای ۱۹۷۴ تا ۱۹۸۰ توسط افرادی چون واکابایاشی، پارک و پاولی بر روی رفتار برشی اعضای بتن مسلح انجام شده است. مشخص گردیده که وجود نیروی محوری زیاد موجب رفتار ترد برشی آنها می شود.

بر طبق اینگونه مطالعات، منحنی شکل ۳-۱۶ برای درصدهای متفاوتی از فولادهای برشی و در دو حالت نیروی محوری صفر و نیروی محوری برابر با ۳۰ درصد مقاومت نهایی یک ستون، بدست آمده است. مقطع موردنظر نیز در شکل نشان داده شده است. اگر سطح مقطع فولادهای برشی را با A_v و فاصله آنها را s بگیریم چنانچه b و h به ترتیب عرض و عمق مقطع باشد و مقطع تحت اثر نیروی محوری (صفر تا ۳۰ درصد مقاومت نهایی) و لنگر خمشی بوده باشد با افزایش نسبت $A_v/b.s$ شکل پذیری افزایش یافته و با افزایش نیروی محوری رفتار برشی تردتر می شود. این تحقیق توسط واکابایاشی و مینامی و سایر همکاران آنها در سال ۱۹۷۴ گزارش شده است [۶].



شکل ۳-۱۶- رابطه تغییر شکل دورانی و نیروی برشی در تیرستونهای دارای شکست بری [۶]



از این بررسی ها مشخص شد که اگر سازه های بتن مسلح تحت اثر بارهای رفت و برگشتی دچار شکست برشی شوند حتماً در رفتار آنها موارد ذیل قابل مشاهده است:

الف - مقاومت آنها در اثر بارهای رفت و برگشتی شدیداً کاهش می یابد.

ب - در حلقه های هیستریزاس استهلاک انرژی خیلی پائین بوده و در مرکز این منحنی ها حالت فشرده شده ای وجود دارد.

ج - شکل پذیری بسیار اندک بوده و مقاومت پس از رسیدن به حداکثر خود با شدت بسیار زیادی کاهش می یابد.

۳-۹-۱- افزایش مقاومت برشی بوسیله فولادهای قطری

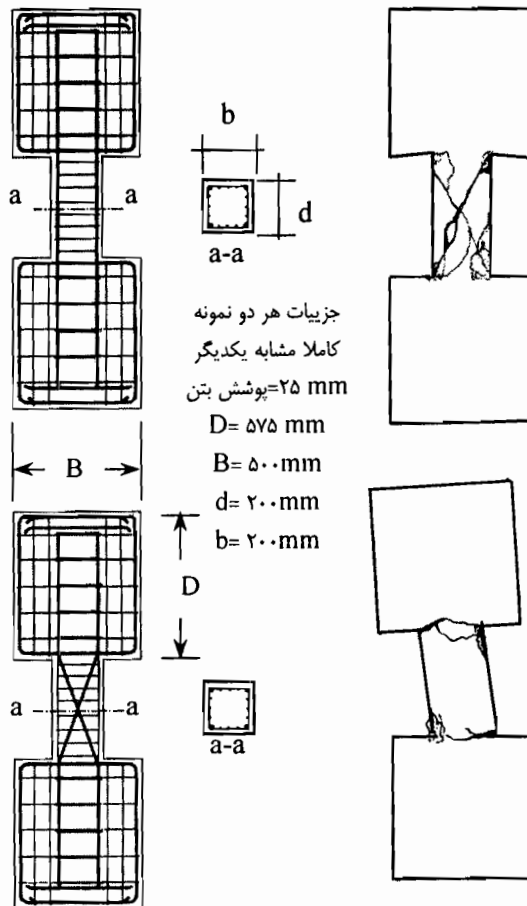
یکی از راه های افزایش مقاومت برشی مقاطع بتن مسلح مانند تیرهای رابط در دیوارهای برشی و یا تیرهای عمیق و یا بطور کلی مقطعی که دارای جان نسبتاً بلند هستند، تعبیه فولادهای قطری است. تحقیقاتی که توسط پارک و پاوولی در سال ۱۹۷۵ در نیوزلند انجام شد [۳۱] اثر تعبیه فولادهای قطری را در اصلاح رفتار برشی این قبیل مقاطع مشخص کرد. در این تحقیقات مشخص شد که حتی با افزایش خاموتهای معمولی مقاومت برشی چندان اضافه نمی شود و بهمین دلیل فولادهای تسلیح قطری بسیار مطلوب تشخیص داده شد. البته اثر دیگر بکارگیری فولادهای قطری افزایش شکل پذیری و بالا بردن میزان جذب و استهلاک انرژی است. تحقیقات دیگری را واکایاباشی در ژاپن به همراه همکاران خود انجام داد که نتیجه بکارگیری فولادهای قطری برای اصلاح رفتار برشی اتصال تیر - ستونهای بتن مسلح می باشد [۶].

در این بررسی ها مشخص شده است که رفتار هیستریزاس تیر- ستونها با فولادگذاری قطری بهتر از فولادگذاری متداول است. همانطور که در شکل ۳-۱۷ نشان داده شده است برای دو حالت فولادگذاری متداول (موازی) و فولادگذاری قطری مقایسه ای صورت گرفته است و البته مقدار فولاد در هر دو حالت یکسان می باشد. ضمن اینکه رفتار برشی در حالت آرایش قطری فولادها بهبود دارد نتایج دیگری به شرح زیر بدست آمده است:

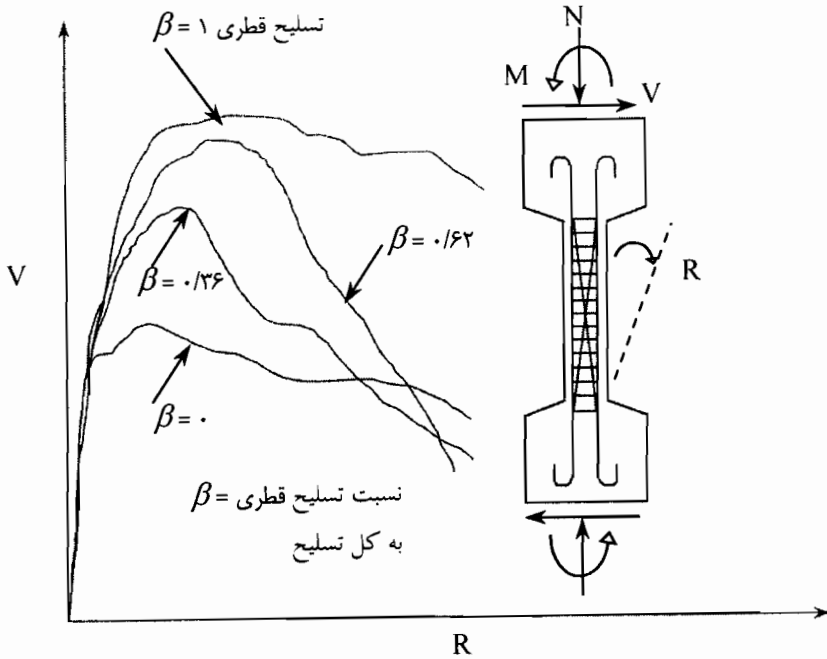
- ۱- فولادگذاری قطری تا حد بسیار زیادی مقاومت برشی را افزایش می دهد.
- ۲- شکل پذیری مقطع و عضو سازه ای زیاد می شود.
- ۳- ظرفیت جذب و استهلاک انرژی در حد بسیار خوبی افزایش دارد.
- ۴- سختی عضو به صورت تدریجی کاهش دارد.
- ۵- گسیختگی مقطع در برش نبوده و به صورت خمشی خواهد شد.

در سال ۱۹۸۱ واکایاباشی به همراه مینامی نشان دادند که با تعبیه فولادهای قطری و فولادهای موازی تا حد بسیار مطلوبی هم شکل پذیری و هم مقاومت برشی افزایش نشان می دهد. با

رجوع به شکل ۳-۱۸ مشخص می شود که برای نسبت‌های مختلفی از فولادهای قطری به کل فولادها رفتار برش - دوران تا حدی اصلاح می شود. با افزایش فولادهای قطری (رشد ρ درصد فولادهای قطری) هم مقاومت برشی رشد کرده و هم سطح زیر منحنی افزایش یافته است. بنابراین در عمل و در طراحی می توان هم از فولادگذاری متداول (موازی) و هم از فولادگذاری قطری استفاده کرد.



شکل ۳-۱۷- مقایسه رفتار دو ستون با آرایش فولادهای موازی (متداول) و فولادگذاری قطری در رفتار برش - دوران (هر دو نمونه تحت بار محوری ثابت و لنگر خمشی مساوی رفت و برگشتی) [۸]



شکل ۳-۱۸- افزایش مقاومت برشی و شکل پذیری در اثر افزایش نسبت فولادهای قطری [۶]

۳-۱۰- مقاومت برشی

از آنجا که سازه‌های بتن مسلح و مقاوم در برابر زلزله تحت بارهای متناوب واقع می‌شوند، نوع ترک‌های برشی که در آنها ایجاد می‌گردد به نحوی است که مقاومت برشی بتن به تنهایی برای مقاوم ساختن مقطع کافی نبوده و حتماً لازم است با تعبیه فولاد برشی، مقطع را در مقابل نیروی برشی مقاوم ساخت. به عبارت ساده‌تر برای طراحی لرزه‌ای به هیچ وجه نباید به مقاومت برشی بتن ولو در شرایط کاملاً استثنایی بسنده کرد.

طراحی مقاطع بتن مسلح برای مقاومت برشی، بیشتر بر پایه مدل تحلیلی برش استوار است. مدل خرابایی بطور عموم مورد پذیرش قرار گرفته است و در این مدل، بتن قسمت فشاری و فولادهای برشی یا تنگ‌ها قسمت کششی خرابی فرضی را تشکیل می‌دهند. این مجموعه خرابی در جان عضو قرار دارد. در نتیجه مقاومت برشی مقطع ترکیبی از مقاومت فشاری بتن و مقاومت کششی فولادهای برشی در این خرابی است.



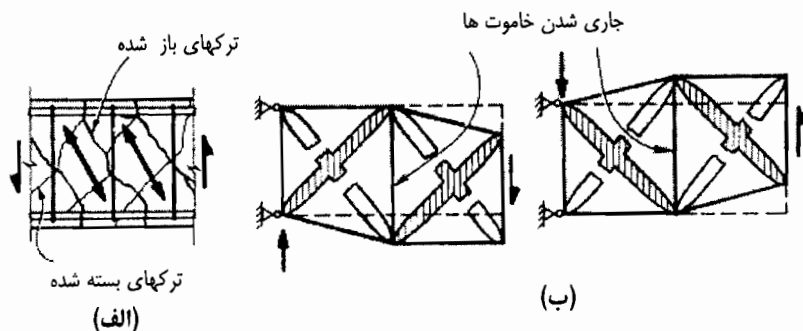
ولی در برخی از مدل‌های دیگر به جای استفاده از مدل خریایی، بخشی از مقاومت برشی بعهده یک مکانیزم قرار داده می‌شود و برخی از آئین نامه‌ها از این روش استفاده کرده‌اند. [۱۱ و ۳۳].

چنین مکانیزم پیچیده‌ای دارای عوامل مقاومتی مختلفی است که عبارتند از:

- مقاومت کششی بتن ترک نخورده در مقطع
- قفل و بست دانه بندیها در طول ترک و اثر آن
- رفتار دوگانه فولادهای مورب
- مقاومت برشی بتن در مقاطع فشاری - خمشی
- رفتار طاق دیسی بتن ترک نخورده

مجموعه این عوامل را در مقاومت برشی مقاطع بتن مسلح، بنام "سهام بتن در برش" می‌نامند. باید دانست که نیروی برشی در یک مقطع بر اثر بارهای ثقلی و حتی بر اثر تغییرات بارهای زنده، تغییر نخواهد کرد و یا اگر هم دچار تغییرات شود چندان در خور توجه نخواهد بود. اما در اثر بارهای لرزه‌ای و از آن جمله در اثر نیروی زلزله که بصورت متناوب اعمال می‌شود، نیروی برشی در یک مقطع و یا در طول یک عضو تغییر جهت خواهد داشت.

چنانچه رفتار فولادهای برشی در محدوده ارتجاعی باشد، پاسخ آنها در مقابل نیروهای لرزه‌ای و متناوب چندان موجب تغییر و کاهش سختی نخواهد شد. در حالیکه بتن جان عضو چنین وضعیتی نخواهد داشت و قطعا تحت تأثیر تغییر جهت نیروی اعمالی و رفتار عضو قرار خواهد گرفت و این در حالی است که این بتن بعنوان عضو فشاری خریای موردنظر در تحلیل مقاومت برشی دارای اهمیت است. علت این امر در آن است که بر اثر تغییر جهت در نیروی برشی مقطع عضو فشاری بتنی نیز در حدود ۹۰ درجه تغییر جهت خواهد داد. در نتیجه چنین وضعی است که جهات تنشهای کششی اصلی در مقطع نیز در حدود ۹۰ درجه عوض شده و بالاخره ترکهای کششی مقطع نیز ۹۰ درجه تغییر جهت می‌دهند. یعنی با زاویه ۶۰ درجه یکدیگر را قطع می‌کنند. این پدیده را می‌توان در شکل ۳-۱۹ بخوبی مشاهده کرد. بهمین دلیل است که باید پاسخ فشاری بتن ترک خورده قطری با تناوب باز و بسته شدن ترک، مورد توجه طراحان قرار گیرد. از طرفی نیروی برشی قابل انتقال در مقطع و در مسیر ترک قطری، بستگی به کرنش بوجود آمده در فولادهای جان که عمود بر مسیر ترک تعبیه می‌شوند، خواهد داشت.



(ب) تغییر شکل برشی در اثر جاری شدن خاموتها (الف) ترکهای قطری بسته میشود. کنش خرابایی در یک لولای خمیری

شکل ۳-۱۹- نحوه انتقال نیروی برشی در یک لولای خمیری [۷]

اگر اجازه داده شود که فولادهای جان به حد جاری شدن برسند، قطعاً تغییر شکل برشی قابل توجهی در مقطع ایجاد می شود. بسته شدن ترکهای قطری که در اثر تغییر جهت نیرو ایجاد می شود نیروی برشی کاهش یافته و نتیجه اش بهبود نسبی مقاومت لرزه‌ای مقطع خواهد بود ولی توالی این پدیده یعنی باز و بسته شدن ترکهای قطری موجب می شود که کاهش قابل توجهی در استهلاک انرژی مقطع در خلال پاسخ هیستریزس عضو، بوجود آید که حاصل این اتفاق فشرده شدن حلقه هیستریزس (کمر باریک شدن) می باشد. بهمین جهت است که در طرح لرزه‌ای، جلوگیری کردن از جاری شدن فولاد جان در خلال رفتار هیستریزس و لرزه‌ای عضو از هدفهای اصلی است.

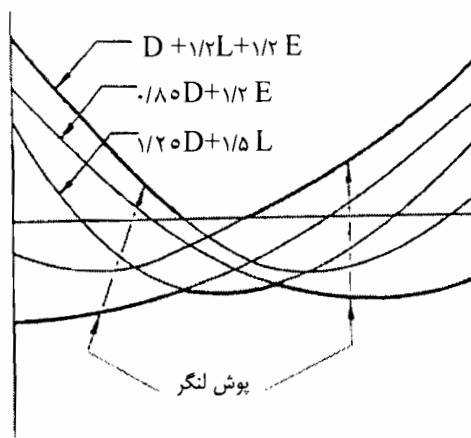
۳-۱۱- طرح تیرها

۳-۱۱-۱- لنگرهای خمشی

برای تعیین لنگرهای خمشی باید براساس تحلیل سازه تحت اثر بارهای نهایی و ترکیب مختلف آنها، به نحوی که نامساعدترین شرایط بارگذاری منظور شده باشد، اقدام کرد. در ترکیب بارهای مختلف باید توجه داشت که اگر اثر بارهای زنده کاهش دهنده هستند، این اثر کاهش را برابر با صفر منظور گردد تا حاشیه اطمینان بیشتر شود. چنانچه در منطقه‌ای اثر باد حاکم باشد در ترکیب بارها به جای اثر زلزله می توان اثر باد را با همان ضرایب بکار برد. بنابراین برای بدست آوردن



پوش طراحی لنگر خمشی می‌بایست لنگرهای محاسبه شده از ترکیبات مختلف بارگذاری را همانگونه که در شکل ۳-۲۰ نشان داده شده است استفاده کرد. برای بدست آوردن توزیع مناسبتر لنگرهای مثبت و منفی، می‌توان ماکزیمم لنگرهای منفی را براساس مقررات باز توزیع لنگر آیین‌نامه آبا افزایش و کاهش داد.



شکل ۳-۲۰- لنگرهای خمشی طرح

۳-۱۱-۲- کنترل ابعاد مقطع

چنانچه مقدار نیروی محوری در تیر کمتر از $0.09 f_c A_g$ باشد حاکمیت رفتاری از نوع خمشی است و محدودیت‌های هندسی مقطع بر طبق آبا عبارتست از:

$0.3 \geq$ نسبت عرض به ارتفاع مقطع تیر

یک چهارم طول دهانه آزاد تیر \leq ارتفاع مؤثر تیر

$\left[\left(\frac{3}{4} \text{ ارتفاع تیر} \right) + \left(\text{عرض ستون تکیه‌گاهی} \right) \right] \leq$ عرض تیر

$\left[\left(\frac{1}{4} \right) \text{ بعد ستون در جهت محور طولی تیر} \right] + \left(\text{عرض ستون تکیه‌گاهی} \right) \leq$ عرض تیر

عرض تیر $\geq 250 \text{ mm}$



۳-۱۱-۳- میلگردهای خمشی

الف- در طراحی تیرها، حداقل دو میلگرد باید بطور ممتد، چه در بالا و چه در پایین مقطع تیر تعبیه شود. این مقدار باید شرایط زیر را ارضاء کند:

$$\rho \geq \frac{1}{4} f_y \text{ یا } \frac{0.25 \sqrt{f_c}}{f_y} \quad (3-32)$$

ب- در تکیه‌گاه تیر یا انتهای تیر که امکان تشکیل لولای خمیری وجود دارد باید حداقل میلگرد فشاری برابر با $\frac{1}{3}$ میلگردهای کششی همان مقطع باشد.

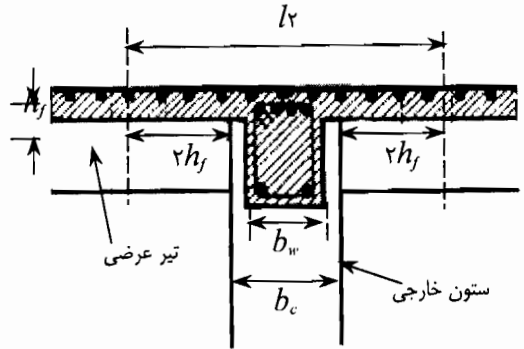
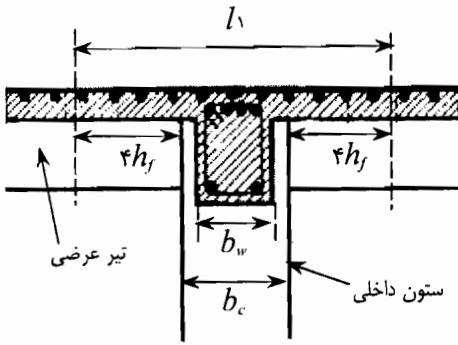
ج- به میزان یک چهارم میلگردهای موجود در هر تکیه‌گاه تیر که بیشترین میلگرد را دارد، باید در سراسر طول تیر در بالا و در پائین ادامه داده شود.

د- حداقل میلگرد لازم برای بالا و پائین تیر که در سراسر طول ادامه یابد، دو میلگرد با قطر مساوی یا بزرگتر از ۱۲ میلیمتر می‌باشد (توضیح اینکه مرجع ۳۴ این میلگردها را از نوع S400 و با قطر ۱۴ میلیمتر توصیه می‌کند).

ه- در اعضای خمشی T و یا L شکل که با دالها بصورت یکپارچه اجرا می‌شوند، در محل تکیه‌گاه علاوه بر فولادهای فوقانی باید برخی از فولادهای بال را در طول معینی از بر ستون برای حالات مختلف که در شکل ۳-۲۱ آمده است در نظر گرفت. بدیهی است در نظر گرفتن این فولادها برای محاسبه خمش مؤثر در مقطع تیر است. این مطلب برای ستونهای داخلی و خارجی و برای حالتی که تیرهای عرضی (جانبی) به محل اتصال برسند یا نرسند متفاوت خواهد بود که ذیلا آورده شده است.

در تمام حالات لازم است حداقل ۷۵ درصد از آرماتورهای فوقانی و تحتانی که ظرفیت خمشی مورد لزوم را تأمین می‌کنند از ناحیه هسته ستون عبور کنند و یا در آن مهار شوند.

لازم به توضیح است که در انتخاب ابعاد، تعداد و آرایش میلگردهای خمشی باید شرایط اجرایی را در نظر گرفت. این موضوع به خصوص در محل اتصال تیر - ستون که از تراکم میلگرد بیشتری برخوردار است، و می‌تواند مشکلات اجرایی بیشتری ایجاد کند، بسیار حائز اهمیت است. برای پیش‌بینی و رفع مشکلات فوق، می‌توان جزئیات اتصال را در مقیاس بزرگ ترسیم کرده و در آن کلیه تیرها و ستونها و آرماتورهای اتصال نشان داد.



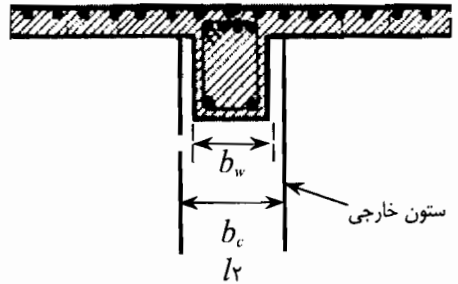
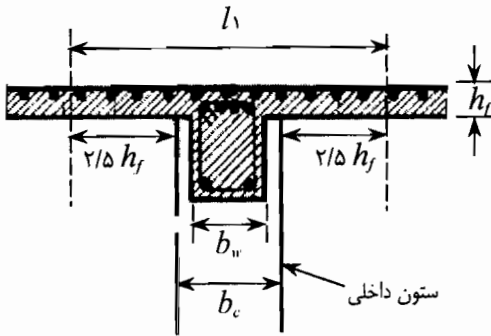
الف- ستون داخلی، آرماتورهای بال در محدوده l_1 باید در نظر گرفته شوند. ابعاد تیر عرضی در حدود ابعاد تیر اصلی است.

$$l_1 = b_c + 2(4h_f)$$

ب- ستون خارجی، تیر عرضی تقریباً هم بعد تیر اصلی و آرماتورهای بال در محدوده l_2 باید در نظر گرفته شوند.

$$l_2 = b_c + 2(2h_f)$$

در این حالت باید میلگردهای طولی عضو خمشی مهار شوند.



ج- ستون داخلی، تیر عرضی وجود ندارد. آرماتورهای محدوده l_1 (در بال) باید ملحوظ شوند.

$$l_1 = b_c + 2(2/5 h_f)$$

د- ستون خارجی، تیر عرضی وجود ندارد. آرماتورهای محدوده l_2 (در بال) باید ملحوظ شود.

$$l_2 = b_c$$

شکل ۳-۲۱- توزیع میلگردهای خمشی در تیرهای T و L شکل بر مبنای آبا [۲۳]



۳-۱۱-۴- وصله میلگردها

استفاده از وصله‌های پوششی در میلگردهای طولی خمشی فقط در شرایطی مجاز است که در تمام طول وصله آرماتور عرضی از نوع تنگ یا ماریچ موجود باشد. فواصل آرماتورهای عرضی که وصله‌ها را در بر می‌گیرند نباید بیشتر از $\frac{1}{4}$ ارتفاع مؤثر مقطع یا ۱۰۰ میلیمتر، هر کدام که کمتر است، اختیار شود.

در محلهای زیر استفاده از وصله پوششی مجاز نیست:

- ۱- در محل اتصالات تیرها به ستونها
- ۲- در طولی معادل دو برابر ارتفاع مقطع از بر تکیه‌گاه
- ۳- در محل‌هایی که امکان تشکیل لولای خمیری در اثر تغییر مکان جانبی غیرارتجاعی قاب، وجود دارد.

بکار بردن وصله‌های جوشی در مقاطع بحرانی یا طول بحرانی l_b مجاز نیست. البته اطلاعات جامع و کاملی هم در رابطه با میزان شکل‌پذیر بودن چنین وصله‌هایی تحت بار لرزه‌ای در اختیار نیست. در هر صورت بکار بردن وصله‌های جوشی فقط در شرایط زیر مجاز است:

الف- وصله جوشی در هر سرفه آرماتور یا فولاد به صورت یک در میان بکار رود و فاصله وصله‌ها در میلگردهای مجاور، در امتداد طول عضو، کمتر از ۶۰۰ میلیمتر نباشد.

ب- اگر وصله در کشش خواهد افتاد باید مقاومت آن حداقل برابر با $1/25 A_b \cdot f_y$ باشد، که در آن A_b سطح مقطع آرماتور وصله است.

ج- اگر مقدار آرماتور موجود در مقطعی که لازم است از وصله جوشی استفاده شود، از دو برابر مقدار موردنیاز کمتر باشد، باید مقاومت وصله برابر با مقدار فوق باشد (در بند ب) ولی اگر مقدار آرماتور کمتر از دو برابر موردنیاز نبود، می‌توان مقاومت وصله را کمتر از مقدار فوق (مندرج در بند ب) اختیار کرد بشرط آنکه موارد زیر محقق شود

۱- مقاومت وصله در هر میلگرد چنان باشد که نیروی مقاومت کل میلگردهای موجود در آن مقطع حداقل دو برابر نیروی لازم در آن مقطع باشد. این نیرو برای کل میلگردها نباید کمتر از $A_b 140$ باشد. در این حالت فاصله وصله‌ها در مقاطع مختلف متوالی از یکدیگر نباید کمتر از ۶۰۰ میلی‌متر باشد.

۲- نیروی کششی مقاوم در میلگردهای وصله شده باید برابر با نیروی مقاوم وصله باشد.



۳- نیروی کششی مقاوم در میلگردهای وصله نشده باید برابر با $A_s f_y$ آنها که به نسبت طول واقعی مهار شده به طول گیرداری لازم آنها کاهش داده شده است، باشد.

۳-۱۱-۵- نیروهای برشی در تیرها

در مقاطع تحت اثر برش، کنترل مقدار برش برای حالت حدی نهایی به کمک رابطه ۳-۳۳ انجام می‌پذیرد. در این رابطه V_r نیروی برشی مقاومتی مقطع است که توسط فولاد بتن تأمین می‌شود و V_u نیروی برشی اعمالی است که در اثر بارهای ضریب‌دار به عضو سازه‌ای وارد می‌شود.

$$V_r = V_s + V_c \geq V_u \quad (3-33)$$

مقدار نیروی برشی سهم بتن که در طرح لرزه‌ای باید بصورت خاصی مورد توجه باشد، از رابطه ۳-۳۴ بدست می‌آید.

$$V_c = v_s \cdot b_w \cdot d \quad (3-34)$$

در این رابطه v_s تنش برشی بتن، b_w و d به ترتیب عرض جان و عمق مؤثر مقطع تیر است. مقدار v_s بر طبق آئین‌نامه بتن ایران (آبا) برابر است با:

$$v_s = 0.12 \sqrt{f_c} \quad (3-35)$$

برای تعیین سهم بتن در مقاومت برشی دو نوع مقطع را باید در نظر گرفت، یکی مقطعی که در آنها لولای خمیری تشکیل نشده و یکی مقطعی که در آنها لولای خمیری تشکیل شده است. بنابراین در طرح تیرها برای برش این دو مقطع را مورد توجه قرار می‌دهیم.

الف- در تمام مقاطع که در آنها لولای خمیری تشکیل نمی‌شود. اگر تیر تحت اثر برش و خمش قرار گرفته باشد رابطه کلی در محاسبه مقاومت برشی بتن رابطه ۳-۳۴ است. اما چنانچه مقاومت برشی بتن با جزئیات بیشتر و دقیقتر موردنظر باشد، بویژه اگر نیروی محوری ولو اندک به آن اعمال شده باشد، می‌توان از رابطه ۳-۳۶ سهم بتن را در برش بدست آورد.

$$V_c = 0.12 \sqrt{f_c} \left(1 + \frac{P_u}{12 A_g}\right) \cdot b_w \cdot d \quad (3-36)$$



رابطه دیگری که می‌توان از آن برای بدست آوردن v_c استفاده کرد عبارتست از:

$$V_c = \left(0.114 \sqrt{f_c} + 1.2 \rho_w \frac{V_u \cdot d}{M_u} \right) \cdot b_w \cdot d \quad (37-3)$$

در این رابطه نسبت $V_u d / M_u$ در واقع نسبت لنگر ناشی از نیروی برشی اعمالی در عمق مقطع تیر به لنگر خمشی نهایی M_u که همزمان با V_u بر مقطع اثر می‌کند، بوده و مقدار این نسبت نباید از واحد بزرگتر باشد.

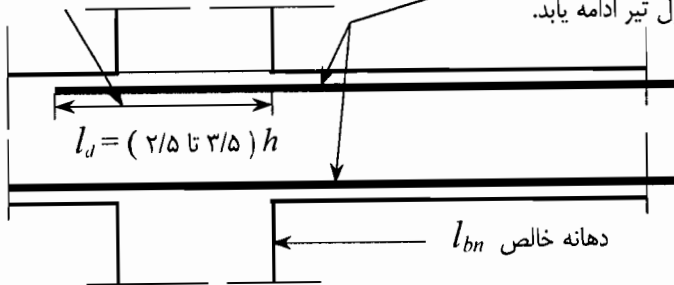
$$\frac{V_u \cdot d}{M_u} \leq 1 \quad (38-3)$$

و اما در هر صورت و در همه حالات باید شرط زیر محقق باشد.

$$V_c \leq 0.21 \sqrt{f_c} \cdot b_w \cdot d \quad (39-3)$$

الف- حداقل دو میلگرد با قطر ۱۲ mm یا بزرگتر از در سراسر تیر
ب- ۰/۲۵ میلگردهای مقطع تکیه گاه (هر انتها که بیشتر دارد)
در سراسر طول تیر ادامه یابد.

طول مهاری مستقیم



شکل ۳-۲۲- ضوابط آبا در مورد فولادهای اعضای خمشی (تیرها)

ب- در مقطع موردنظر لولای خمیری تشکیل شده است.

از آنجا که رفتار مناسب قابها در مقابل نیروی ناشی از زلزله بر این نظریه استوار است که تیرها توانایی پذیرش لولای خمیری را با ظرفیت دورانی کافی دارا هستند، لازم است تا پیش از رسیدن آنها به ظرفیت کامل خمشی خود، هیچ‌گونه گیسختگی برشی در آنها رخ ندهد. نیروهای برشی که برای طراحی به کار می‌روند، برای وضعیتی که در ابتدا و انتهای تیر تحت اثر تغییر مکانهای جانبی

و بارهای ثقلی ضریب دار، لولای خمیری تشکیل می‌شود، محاسبه خواهند شد. برای این منظور به شکل ۳-۲۳ مراجعه نمایید. چنانچه ملاحظه می‌شود، مقاومت خمشی مقطعی که در آن لولای خمیری تشکیل شده، یعنی M_{pr} ، با استفاده از ضریب کاهش مقاومت $\phi = 1$ و فرض تنش $f_{sy} = 1/25 f_y$ در فولادهای خمشی محاسبه می‌گردد. این لنگر بنام لنگر خمشی مقاوم محتمل تعریف شده است [۲۳].

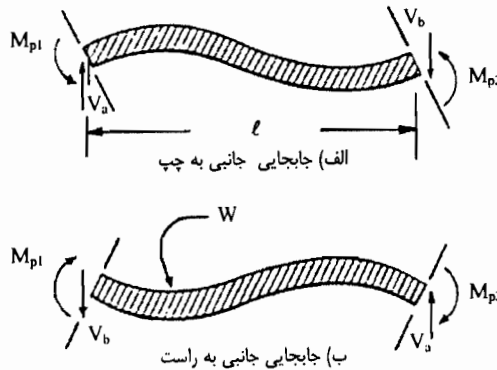
$$V_a = \left(\frac{M_{pr1} + M_{pr2}}{\ell} \right) + 0.75 \left(\frac{W \cdot \ell}{2} \right) \quad (3-40)$$

$$V_b = \left(\frac{M_{pr1} + M_{pr2}}{\ell} \right) - 0.75 \left(\frac{W \cdot \ell}{2} \right) \quad (3-41)$$

محاسبه M_{pr} بر مبنای:

$$\phi = 1 \text{ و } f_{sy} = 1/25 f_y$$

$$W = 1/4 D + 1/7 L$$



شکل ۳-۲۳- نحوه محاسبه میلگردهای برشی برای حالت‌های مختلف بارگذاری

۳-۱۱-۶- سهم فولادهای برشی

همانطور که می‌دانیم تعبیه فولادهای برشی در یک مقطع برای مقاومت در مقابل نیروی برشی است که پس از سهم بتن در مقطع باقی خواهد ماند. معمولاً این فولادها را بصورت خاموت و



عمود بر جهت اصلی عضو تعبیه می‌کنند. بنابراین تفاوت V_c و V_r نیروی برشی است که سهم فولادهای برشی می‌باشد. مقدار فولادهای برشی با فواصلی که بین آنها در نظر گرفته می‌شود چنین محاسبه می‌گردد:

$$V_s = 0.85 A_{sv} f_{yv} \frac{d}{s} \quad (۳-۴۲)$$

در این رابطه s فاصله بین خاموتها و f_{yv} مقاومت جاری شدن آنها است. A_{sv} سطح مقطع یک بسته خاموت یعنی دو ساق خاموت است. اگر از خاموتهای مایل به عنوان میلگرد برشی استفاده شود و ترکهای برشی زاویه ۴۵ درجه با محور طولی تیر بسازند، مقدار V_s چنین می‌شود:

$$V_s = 0.85 A_{sv} f_{yv} (\sin\alpha + \cos\alpha) \frac{d}{a} \quad (۳-۴۳)$$

در این رابطه α زاویه میلگرد برشی با محور طولی تیر است که اگر مقدار آن ۹۰ درجه شود همان رابطه ۳-۴۲ بدست می‌آید.

در این جا ذکر این نکته لازم است که چون نیروی زلزله موجب تغییر جهت نیروی برشی در مقطع تیر می‌شود، تعبیه خاموتها به غیر از زاویه ۹۰ درجه با محور اصلی تیر، اولاً در عمل کاری مشکل بوده و ثانياً قابل قبول نخواهد بود. زیرا فرض اینکه در محل لولای خمیری، صفحه شکست برشی زاویه ۴۵ درجه با محور اصلی تیر بسازد مودر تشکیک و اختلاف نظر است. مشاهده شده است که در محل لولای خمیری، زاویه بین صفحه شکست و محور اصلی تیری که تحت اثر بارهای تناوبی لرزه‌ای قرار گرفته، بیش از ۴۵ درجه بوده است، و میلگردهای برشی شدیداً به حد جاری شدن رسیده بودند، و این در حالی است که بر مبنای توصیه‌های متداول میلگردهای برشی با این فرض که زاویه بین صفحه شکست و محور اصلی تیر ۴۵ درجه باشد، تعبیه شده بودند [۵۸]

بنابراین در طرح لرزه‌ای ساختمانهای بتن مسلح بهتر است از فولادهای برشی مورب استفاده نگردد. ضمناً بر مبنای آبا، نیروی برشی مقاوم نهایی که سهم میلگردهای برشی است، نباید در هیچ حالتی بیشتر از $47V_c$ در نظر گرفته شود. به عبارت دیگر:

$$V_{r_{max}} = 47V_c \quad (۳-۴۴)$$



۳-۱۱-۷- میلگردهای عرضی یا برشی

تعبیه آرماتورهای عرضی چه به صورت حلقه‌های بسته و چه به صورت تنگ‌ها باشند باید شرایط مربوط به محصور کردن بتن و کنترل برش را برآورده سازند. میلگردهای دورگیری موجب می‌شوند که شرایط ایجاد لولای خمیری با ظرفیت دورانی لازم فراهم آید. جزئیات مربوط به این میلگردها در شکل‌های ۳-۲۴ و ۳-۲۵ نشان داده شده است.

میلگردهای محدود کننده به صورت خاموتهای بسته در مناطق زیر مورد نیاز است:

الف- در طول فاصله‌ای به اندازه دو برابر ارتفاع تیر ($2h$) از وجود تکیه‌گاه

ب- در طول فاصله‌ای به اندازه دو برابر ارتفاع مقطع تیر ($2h$) در هر دو طرف مقطعی که احتمال تشکیل لولای خمیری در اثر تغییر مکان جانبی و غیرارتجاعی سازه که خود ناشی از نیروی زلزله است، در آنها وجود دارد.

ج- در طولی که در آن طول برای تأمین ظرفیت خمشی مقطع، نیاز به میلگردهای فشاری داشته باشد.

فاصله این تنگ‌ها یا حلقه‌ها باید شرایط زیر را برآورده سازد:

الف- اولین تنگ می‌بایست در فاصله‌ای حداکثر برابر 50mm از بر تکیه‌گاه قرار داده شود.

ب- حداکثر فاصله بین تنگ‌ها باید کمتر یا مساوی مقادیر زیر باشد:

$$\frac{d}{4} \geq$$

\geq هشت برابر قطر کوچکترین میلگرد طولی؛

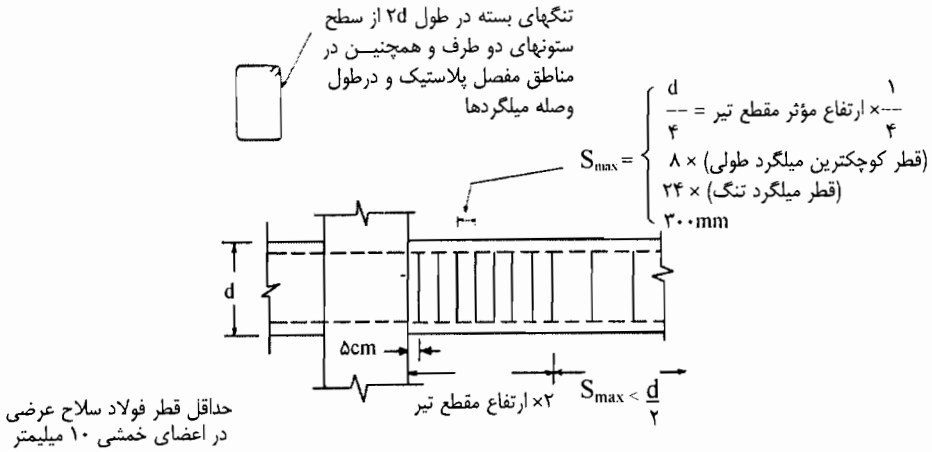
\geq ۲۵ برابر قطر میلگرد خاموت

\geq ۳۰۰ میلی‌متر

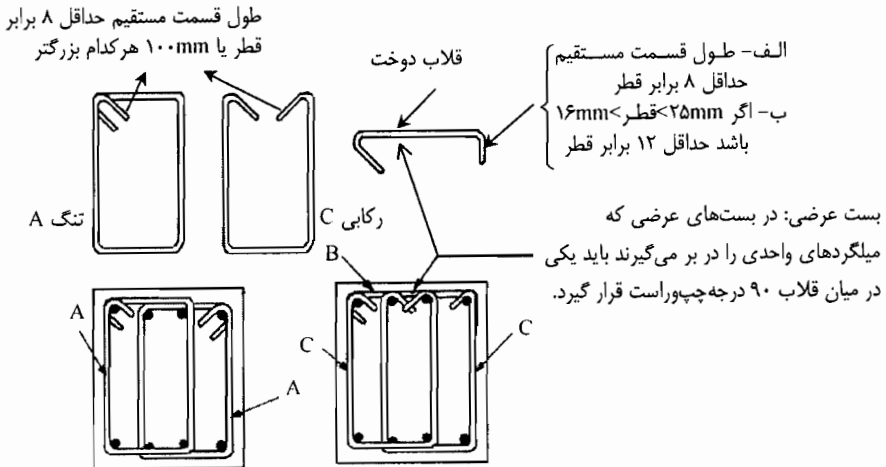
در مکان‌هایی که تنگ‌ها مورد نیاز نیستند، حداکثر فاصله آنها باید کوچکتر یا مساوی $\frac{d}{4}$ باشد.

حداقل قطر میلگرد خاموتها باید ۸ میلی‌متر باشد.

در تعیین آرماتور برشی مورد نیاز، در مواقعی که نیروی برشی ناشی از زلزله بزرگتر از نصف نیروی برشی محاسباتی کلی باشد، می‌بایست از نیروی برشی بتن یعنی V_c صرف نظر کرد. در غیر اینصورت فولاد برشی مورد نیاز براساس مقررات مربوط به مناطق غیر زلزله خیز محاسبه می‌گردد.



شکل ۳-۲۴- ضوابط مربوط به آرماتورهای عرضی تیرها

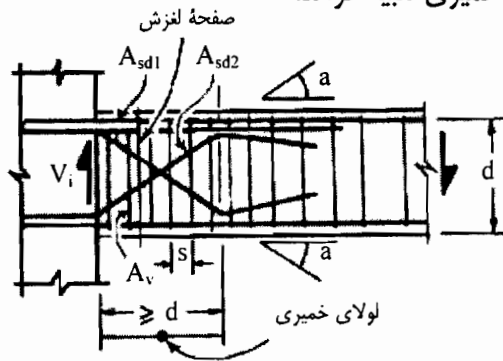


شکل ۳-۲۵- حلقه‌های تکی و دوتایی



۳-۱۱-۸- کنترل برش لغزشی در تیرها

پدیده برش لغزشی از نکات بسیار قابل توجه در سازه‌های تحت اثر نیروی زلزله می‌باشد. این پدیده غالباً در مواردی مانند محل درزهای اجرایی، محل ترکهای خمشی که هنگام اعمال بارهای متناوب به عضو ایجاد می‌شوند، بویژه در مقاطعی که لولای خمیری تشکیل می‌شود، رخ می‌دهد. بر طبق بررسیهای بعمل آمده مشاهده شده است [۲۵] که جابجایی یا تغییر مکان لغزشی در مسیر ترکهای قطری و خمشی مربوط به مقاطع دارای لولای خمیری بطور قابل توجهی موجب کاهش جذب انرژی تیرها شده است. نتیجه بارهای تناوبی موجب بروز برش لغزشی و یا شکست لغزشی در مقاطع شده است. برای جلوگیری از بروز چنین شکستی در مقطع و نیز به منظور افزایش رفتار لرزه پذیری تیرها، از تعبیه فولادهای قطری مطابق شکل ۳-۲۶ استفاده می‌شود تا در محل تشکیل لولاهای خمیری تعبیه گردند.



شکل ۳-۲۶- کنترل برش لغزشی در تیرها و جزئیات مفصل پلاستیکی دورتر از لبه ستون [۷]

مقدار این برش برابر است با:

$$V_r \geq (0.25(r+1)\sqrt{f_c}) \cdot b_w \cdot d \quad (3-45)$$

در این رابطه "r" عبارت است از نسبت نیروی برشی طراحی که همراه با لنگر دو طرفه (مخالف یکدیگر) می‌باشد و در محل بحرانی لولای خمیری اعمال می‌گردد. مقدار r برابر است با:

$$r = \frac{V_{un}}{V_{um}} \leq 0 \quad (3-46)$$

مقدار r همواره کمتر از صفر است یعنی منفی است زیرا اگر یک لنگر مثبت باشد دیگری حتماً منفی است. در رابطه ۳-۴۶ عبارت V_{um} و V_{un} به ترتیب نیروی برشی کمتر و بیشتر را که در جهت مخالف یکدیگر هستند، مشخص می‌کند.



کاربرد رابطه ۳-۴۵ زمانی صحیح است که فولادهای قطری تعبیه شده قادر باشند نیروی برشی را که کمتر از مقدار زیر نباشد، تحمل کنند.

$$V_d \geq 0.7 \left(\frac{v_r}{\sqrt{f_c}} + 0.4 \right) (-r) V_r \quad (\text{Mpa}) \quad (3-47)$$

یعنی اگر فولادهای قطری تعبیه شده نتوانند این نیروی برشی را (V_d) تحمل کنند باید برای این نیرو طراحی شوند. به عبارت دیگر نیروی برشی متناظر با این فولادها را می‌توان با چنین نیروی برشی کنترل و سنجید. مقدار v_r عبارتست از نسبت $v_r / b_w \cdot d$ که برای مقاطعی که لولای خمیری تشکیل می‌شود برابر با $f_c \leq 16 \text{ Mpa}$ در نظر می‌گیرند. در این رابطه نسبت نیروهای برشی یعنی r در نامساوی زیر صادق است.

$$-1 < r < -0.2 \quad (3-48)$$

اگر چنانچه مقدار $r < -0.2$ باشد یعنی اینکه برش لغزشی در مقطع وجود ندارد و در اینصورت نیازی به تعبیه فولادهای قطری نیست.

برای مثال اگر فرض کنیم $r = -1$ و $f_c = 30 \text{ Mpa}$ باشد با استفاده از رابطه ۳-۴۵ داریم. با فرض $v_r = 0.16 f_c$ داریم:

$$V_d \geq 0.7 \left(\frac{0.16 f_c}{\sqrt{f_c}} + 0.4 \right) (-r) V_r$$

$$V_d \geq 0.89 V_r$$

یعنی اینکه در حدود ۸۹ درصد از کل نیروی برشی باید توسط فولادهای قطری مقاومت شود. اما از آنجا که معمولاً نیروی برشی ناشی از بارهای ثقیلی در مقطع وجود خواهد داشت بندرت اتفاق می‌افتد که مقدار $r = -1$ باشد به همین دلیل اگر بخواهیم مثالی نسبتاً منطبق با واقعیت داشته باشیم کافی است قدری عملی‌تر مقدار $r = -0.6$ را در نظر بگیریم و مقدار $v_r = 0.4 \sqrt{f_c}$ که در این صورت خواهیم داشت:

$$V_d \geq 0.7 \left(\frac{0.4 \sqrt{f_c}}{\sqrt{f_c}} + 0.4 \right) (-r) V_r$$

$$V_d \geq 0.34 V_r$$



در این وضعیت ۳۴ درصد کل نیروی برشی باید توسط فولادهای قطری تحمل شود. همانطور که از شکل ۳-۲۶ بر می آید، فولادهای قطری ممکن است بطور همزمان هم برای کشش و هم فشار تعبیه گردد. بنابراین سطح مقطع موردنیاز برای فولادهای قطری که بمنظور کنترل برش لغزشی خواهد بود، چنین محاسبه می شود.

$$V_d \leq (A_{sd1} + A_{sd2}) \sin \alpha \cdot f_{yv} \quad (۳-۴۹)$$

برای تأمین چنین شرطی باید محل لولای خمیری در فاصله‌ای برابر یا بیشتر از (d) عمق مؤثر مقطع از وجه ستون قرار داشته باشد و یا اینکه از مقطع مشابهی که در آن مقطع حداکثر جاری شدن بر اثر نیروی زلزله رفت و برگشتی قابل پیش بینی باشد.

اگر جزئیاتی مانند شکل ۳-۲۶ استفاده شود فولادی که در کشش می افتد مانند (A_{sd1}) می تواند در تحمل برش ناشی از شکست قطری کششی سهمی در مقاومت داشته باشد که در این حالت ممکن است قدری از فولادهای برشی عادی یا خاموتها در لولای خمیری کاسته شود. بر طبق همین شکل داریم:

$$V_r = A_{sd1} \cdot f_{yv} \cdot \sin \alpha + \frac{d}{s} A_{sv} f_{yv} \quad (۳-۵۰)$$

۳-۱۲- طرح ستونها

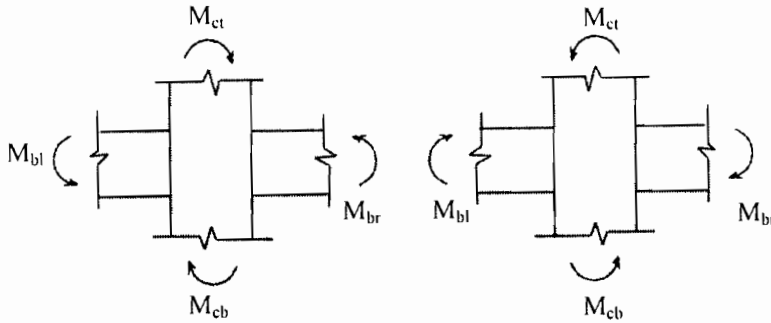
۳-۱۲-۱- مقاومت خمشی ستونها

در طرح لرزه‌ای ساختمانهای شکل پذیر هدف اصلی حفظ پایداری سیستم سازه‌ای است که با وجود پذیرش تغییر مکانهای جانبی زیاد یعنی ضمن دارا بودن شکل پذیری زیاد فرو نریزد. این فرآیند القاء می کند که باید بیشترین لولاهای خمیری در تیرها تشکیل شوند و ستونها کمترین تغییر شکلهای غیرارتجاعی را داشته باشند (به شکل ۳-۱۵ رجوع شود). مفهوم اصلی این رفتار این است که گفته شود این طراحی بر مبنای ستون قوی - تیر ضعیف استوار است. اگر در بالا و پائین ستونی لولای خمیری تشکیل شود موجب تغییر مکان بیش از حد سازه شده و شکست ساختمان را در پی خواهد داشت. بنابراین فلسفه طراحی، در تمامی اتصالات تیرها به ستونها به جز ستونهای قابهای یک و دو طبقه و ستونهای طبقه آخر قابهای چند طبقه و نیز $\frac{3}{4}$ تعداد



ستونهای یک طبقه بشرط آنکه این تعداد بیشتر از چهار باشد، باید رابطه ۳-۴۹ در مورد آنها صادق باشد. در شکل ۳-۲۷ وضعیت این لنگرها نشان داده شده است.

$$\sum M_c \geq 1/2 \sum M_b \quad (۳-۵۱)$$



شکل ۳-۲۷- توزیع لنگر و شرط تیر ضعیف و ستون قوی

که در آن $\sum M_c$ مجموع لنگرهای مقاوم خمشی در بالا و پائین اتصال است که در مرکز اتصال محاسبه شده باشند. لنگرهای خمشی مقاوم ستون باید برای نیروی محوری ضریب‌دار که سازگار با جهت نیروی جانبی مورد بررسی است و کمترین مقاومت خمشی را نتیجه می‌دهد، محاسبه شود. $\sum M_b$ مجموع لنگرهای مقاوم خمشی طراحی تیرها در دو سمت اتصال است که در صفحه گذرنده از ستونها واقع است و در هسته اتصال محاسبه می‌شوند.

۳-۱۲-۲- کنترل ابعاد مقطع

در مقطع ستونها باید شرایط و محدودیت‌های هندسی زیر برقرار باشد:

الف- عرض مقطع ستون نباید کمتر از چهاردهم طول مقطع آن باشد. $(b_c \geq 0/4 h_c)$

ب- در هر حال عرض مقطع ستون نباید کمتر از ۳۰۰ میلیمتر باشد.

ج- برای ستونهایی که در دو انتها در دو جهت خم می‌شوند، نسبت طول آزاد ستون به عرض مقطع آن نباید بیشتر از ۱۶ باشد.

د- برای ستونهای طره‌ای (که در یک انتها تحت اثر لنگر واقع می‌شوند) نسبت طول آزاد ستون به عرض مقطع آن نباید بیشتر از ۱۰ باشد.



۳-۱۲-۳- میلگردهای طولی

میلگردهای طولی براساس ممان محاسبه شده از بحرانی‌ترین حالت برای ترکیب بارهای جانبی و ثقلی همراه با نیروهای محوری ضریب‌دار مربوطه، طرح می‌گردد این طراحی را می‌توان به راحتی با استفاده از نمودارهای اثر اندرکنش نیروی محوری و لنگر خمشی انجام داد. درصد آرماتورهای طولی باید حدود زیر را برآورده سازد:

$$\rho_g = \frac{A_s}{A_y} \geq 0.06 \quad (3-12-52)$$

در شرایطی که میلگردهای طولی دارای حد جاری شدن 40 Mpa باشند، درصد میلگردها در خارج از محدوده وصله‌ها به حداکثر $4/5$ درصد محدود می‌شود. حداکثر فاصله محور تا محور میلگردهای طولی 200 میلیمتر است.

۳-۱۲-۴- وصله‌ها

استفاده از وصله‌های پوششی در مجاورت اتصال ستون به تیر مجاز نیست مگر اینکه طول پوشش وصله‌ها مساوی $1/3$ برابر طول وصله‌های کششی باشد. ولی اگر طول وصله پوششی مساوی طول وصله‌های کششی باشد می‌توان از آن برای نیمه میانی ستون استفاده کرد. چنانچه به دلایل اجرایی محل وصله‌ها در خارج از نیمه میانی ستون تعیین شود باید از خاموت‌های ویژه که ذیلاً مشخص می‌شوند استفاده کرد.

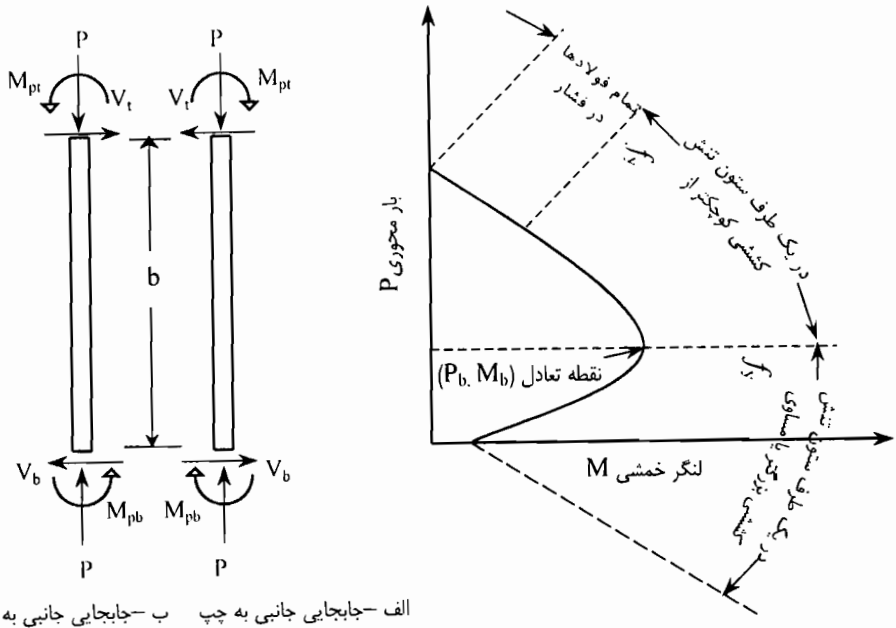
چنانچه وصله میلگردهای طولی یک در میان تعبیه شوند، لازم نیست طول وصله‌ها از طول وصله‌های کششی بیشتر باشد. همچنین اگر وصله‌ها یک در میان باشند و فاصله آنها در میلگردهای طولی مجاور و در امتداد طول ستون بیشتر از 600 میلیمتر باشد، می‌توان از وصله‌های جوشی یا مکانیکی استفاده کرد. در اینصورت مقاومت کششی این وصله‌ها باید برابر با $1/25 A_b f_y$ باشد، که A_b سطح مقطع یک میلگرد است.

۳-۱۲-۵- مقاومت برشی ستون

باید دانست که فرضیه قویتر بودن ستون نسبت به تیر که مبتنی بر مقاومت خمشی نسبی تیر و ستون است، بیشتر برای تأمین تغییرشکل‌های خمیری در تیرهای یک قاب مطرح است، ولی با رعایت چنین رفتاری کماکان احتمال تشکیل شدن لولای خمیری در ستونها وجود دارد. بنابراین، طرح فولاد برشی در ستونها براساس شرایطی است که در ابتدا و انتهای ستون، لنگر مقاوم محتمل



M_{pr} ، که مانند تیرها با در نظر گرفتن $\phi = 1$ ، $f_{sy} = 1/25 f_y$ محاسبه می‌گردد. مقدار این لنگر مقاوم محتمل، برابر مقدار بیشترین لنگر سازگار با نیروهای محوری فشاری ضریب‌دار در داخل ستون است. در شکل ۳-۲۸ حالت‌های مختلفی از بارگذاری و شرایط تغییر مکان جانبی ستونی از یک قاب بتن مسلح نشان داده شده است که با توجه به منحنی عمومی اندرکنش لنگر خمشی و نیروی محوری موقعیت گسیختگی و تنش‌های کششی در میلگرد طولی ستون را ارائه می‌دهد.



الف-جابجایی جانبی به چپ ب-جابجایی جانبی به راست

شکل ۳-۲۸- حالات مختلف بارگذاری برای طراحی آرماتورهای برشی ستونها

مقدار نیروی برشی سهم بتن در ستونها برای مقاطعی که در آنها لولای خمیری تشکیل نمی‌شود و برای حالات مختلف از نیروی محوری بقرار زیر تعیین می‌شود،
الف- اگر نیروی محوری فشاری باشد $(P_u > 0)$:

$$V_c = 0.12 \sqrt{f_c} \left(1 + \frac{P_u}{12 A_g}\right) \cdot b_c \cdot d \quad (53-3)$$

ب- اگر نیروی محوری کششی باشد $(P_u < 0)$:

$$V_c = 0.12 \sqrt{f_c} \left(1 + \frac{P_u}{3 A_g}\right) \cdot b_c \cdot d \quad (54-3)$$

که در این مورد P_u منفی منظور می‌شود.

برای محاسبه دقیقتر V_c در حالتی که نیروی محوری فشاری است می‌توان از رابطه ۳-۵۵ استفاده کرد:

$$V_c = (0.114 \sqrt{f_c} + 1.2 \rho_w \frac{V_u \cdot d}{M_m}) \cdot b_c \cdot d \quad (3-55)$$

مقدار M_m لنگر اصلاح شده در مقطع ستون است که اثر نیروی محوری را بر روی لنگر خمشی نهایی ملحوظ می‌دارد و مقدار این لنگر برابر است با:

$$M_m = M_u - \left(\frac{2h-d}{8} \right) P_u \quad (3-56)$$

بر طبق آبا چنانچه مقدار M_m منفی شود، برای محاسبه V_c باید از رابطه ۳-۵۷ استفاده گردد. اما در هر حال باید دانست که مقدار V_c نباید از مقدار مندرج در رابطه ۳-۵۷ بدست می‌آید بزرگتر باشد.

$$V_c = 0.21 \sqrt{f_c \left(1 + \frac{P_u}{A_g} \right)} \cdot b_c \cdot d \quad (3-57)$$

اما برای مقاطعی که در آنها لولای خمیری تشکیل می‌شود، یعنی در نزدیکی اتصال تیرها به ستونها یا در پای ستونها (روی شالوده‌ها) که نواحی بحرانی در آنجا قرار دارند مقدار $V_c = 0$ در نظر گرفته می‌شود و باید ضوابط زیر را در این نواحی رعایت نمود.
الف- اگر مقطع ستون دایره‌ای باشد.

نسبت حجمی میلگردهای ماریچ یا تنگ‌های حلقوی (ρ_s) نباید از کوچکترین دو مقدار زیر کمتر باشد.

$$\rho_{sv} \geq 0.12 \frac{f_c}{f_{yh}} \quad (3-58)$$

$$\rho_{sv} \geq 0.45 \left[\frac{A_g}{A_{ch}} - 1 \right] \frac{f_c}{f_{yh}} \quad (3-59)$$

که در آن:

f_{yh} مقاومت مشخص شده جاری شدن آرماتور عرضی:

A_{ch} مساحت هسته مقطع ستون که براساس پشت تا پشت آرماتور عرضی تعیین می‌شود.

A_g سطح کل مقطع ستون است.



ب- اگر مقطع ستون مستطیلی باشد.

در صورت استفاده از مقطع مستطیلی، کل سطح مقطع میلگرد عرضی یا تنگ‌های ویژه در فاصله s و عمود بر بعد h_c باید حدود زیر را برآورده سازد:

$$A_{sh} \geq 0.12 S h_c \frac{f_c}{f_{yh}} \quad (3-60)$$

$$A_{sh} \geq 0.3 S h_c \left[\frac{A_g}{A_{ch}} - 1 \right] \frac{f_c}{f_{yh}} \quad (3-61)$$

که در آن:

h_c بعد سطح مقطع هسته ستون که از مرکز تا مرکز میلگرد عرضی اندازه گرفته می‌شود.
 S فاصله بین میلگردهای عرضی در امتداد محور طولی عضو (به میلیمتر).

S_{max} یک چهارم کوچکترین بعد مقطع عرضی عضو و یا ۱۲۵ میلیمتر، هر کدام که کوچکتر باشند.
 بر طبق شکل ۳-۳۰ که فاصله ساقهای خاموتها را و همچنین قلابهای دوخت که در صفحه مقطع عرضی واقع می‌شوند نباید از 350 mm بیشتر شود. میلگردهای عرضی (دورگیر) می‌بایست در طول بحرانی l_e از هر وجه اتصال و نیز در هر دو طرف مقاطعی که امکان جاری شدن خمشی بر اثر تغییر مکانهای جانبی غیرارتجاعی قاب وجود دارد، قرار داده شوند. طول l_e می‌بایست شرایط زیر را ارضاء کند:

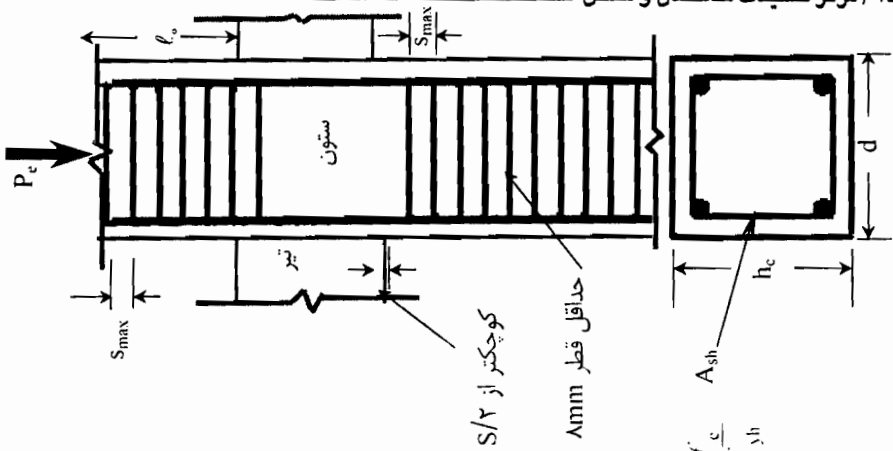
ارتفاع c ستون در مقطع مورد نظر $l_e \geq$

$$l_e \geq \frac{1}{6} \times (\text{ارتفاع آزاد ستون})$$

$$l_e \geq 450 \text{ mm}$$



ب- حلقه محصور کننده مستطیل شکل



شکل ۳-۲۹- جزئیات مربوط به میلگردهای نواحی بحرانی (انتهای ستون) بر طبق آبا

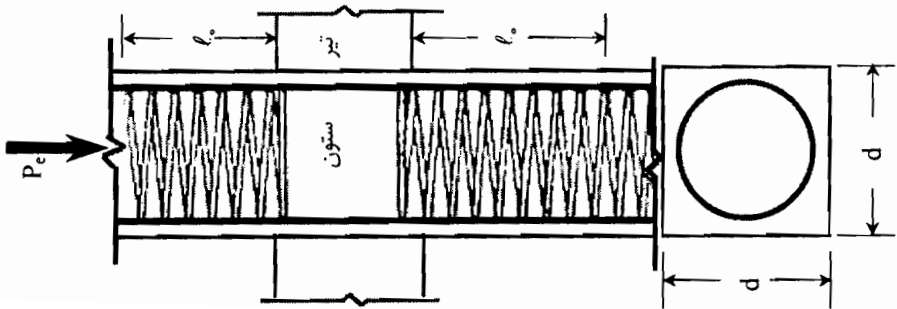
بیشترین مقدار:

$$\ell_0 \geq \begin{cases} \frac{1}{6} \text{ ارتفاع آزاد ستون - الف} \\ \text{بزرگترین بعد مقطع } h \text{ یا } d - \text{ب} \\ ۴۵۰ \text{ mm} - \text{ج} \end{cases}$$

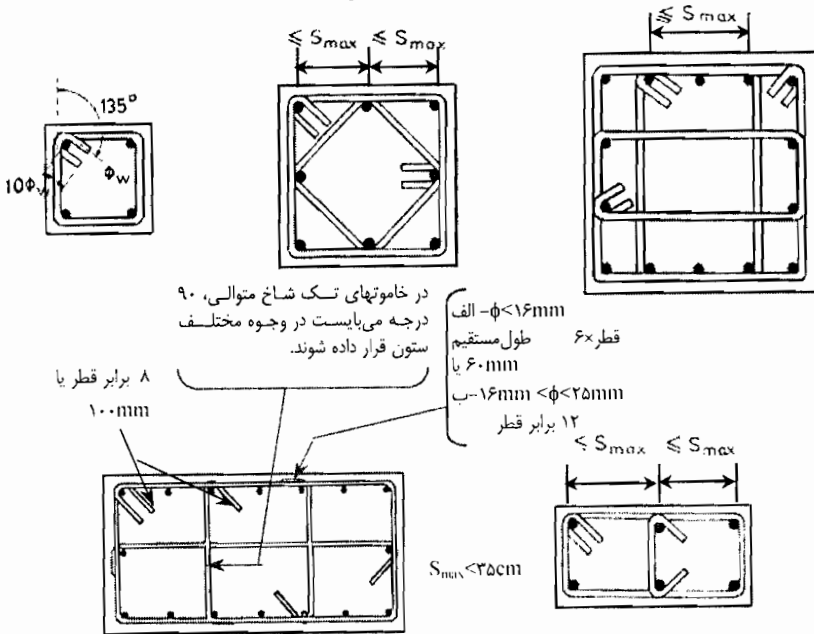
$$S_{max} \begin{cases} \frac{1}{6} \text{ ضلع کوچکتر مقطع - الف} \\ \text{برابر کوچکترین قطر آرماتور طولی - ب} \\ ۱۲۵ \text{ mm} - \text{ج} \end{cases}$$

$$P_s \geq \begin{cases} 0.12 \frac{f_c}{f_{yh}} \\ 0.145 \left(\frac{A_g}{A_c} - 1 \right) \frac{f_c}{f_{yh}} \end{cases} \quad A_{sh} \geq \begin{cases} 0.09 s h_c \frac{f_c}{f_{yh}} \\ 0.13 s h_c \left(\frac{A_g}{A_{ch}} - 1 \right) \frac{f_c}{f_{yh}} \end{cases}$$

نسبت حجمی آرماتورهای محصور کننده دوربج P_s

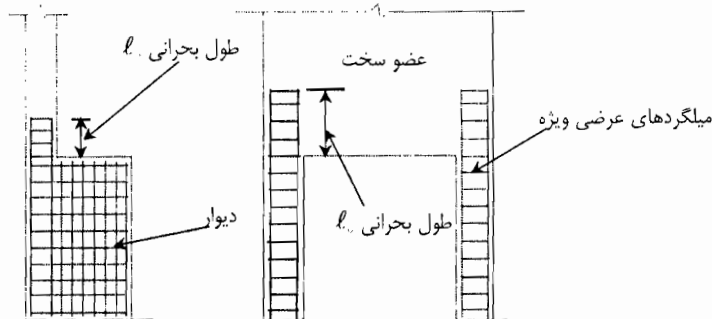


الف- آرماتورهای دوربج محصور کننده



شکل ۳-۳۰- جزئیات میلگردهای عرضی در ستونها

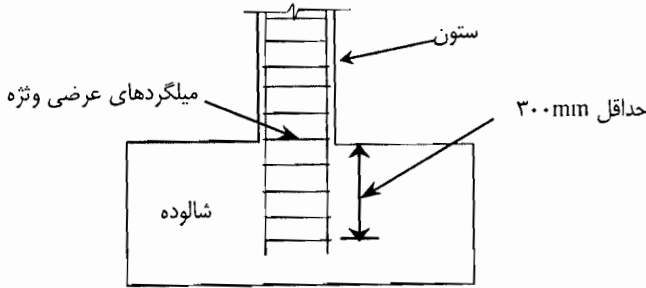
ستونهایی که اعضای سخت را نگهداری می‌کنند و بارهای آنها را تحمل می‌کنند مانند ستونی که دیوار برشی را تحمل می‌کند، میلگردهای عرضی که در طول بحرانی (l_c) تعبیه می‌شوند، باید در تمام ارتفاع این ستونها تعبیه گردد. ضمناً همین خاموت‌گذاری باید به اندازه طول گیرداری یا طول بحرانی در داخل عضو یا عضوهای سختی که آنها را تحمل می‌کند ادامه یابد. همین ضابطه یعنی ادامه نحوه خاموت‌گذاری را نیز باید برای ستونهایی که بر روی دیوار قرار دارند رعایت کرد.



شکل ۳-۳۱- جزئیات میلگردهای لازم برای مناطق بحرانی



ضابطه خاموت‌گذاری مربوط به طول بحرانی (l_0) را باید به اندازه ۳۰۰ میلی‌متر در داخل شالوده‌ای که ستون بر روی آن قرار دارد ادامه داد.



شکل ۳-۳۲- نحوه ادامه میلگردهای طولی و خاموت‌های ویژه به داخل شالوده‌ها

۳-۱۳- طرح اتصالات تیر - ستون

رفتار کلی یک سیستم سازه‌ای به رفتار اجزای آن بستگی دارد ولی در میان اجزای سازه‌ای اتصالات مهمترین قسمتی هستند که سایر اجزا را بیکدیگر متصل کرده و انتقال تمام نیروها از طریق آنها عملی می‌شود. بنابراین رفتار مناسب و صحیح اتصالاتها و عوامل مؤثر بر مقاومت آنها باید بخوبی شناخته شوند. تنشهای برشی و چسبندگی تأثیر خیلی زیادی بر روی اتصالات قابهای خمشی بتن مسلح دارد.

مشاهدات انجام شده بر روی سازه‌هایی که در معرض زلزله‌های شدید قرار گرفته‌اند، بیانگر این واقعیت است که قسمت اصلی آسیب‌پذیر در قاب‌های خمشی اتصالات آنها است. بنابراین برای اجتناب از این گونه آسیبها، باید اتصالات را به نحو مناسبی طرح و فولادگذاری نمود. تراکم میلگردها در محل اتصالات موجب می‌شود تا جزئیات فولادگذاری اتصال در هنگام طرح تیرها و ستونها از دقت لازم برخوردار باشد. چنانچه فولادهای طولی تیرها و ستونها به قدر لازم و حداقل ممکن طراحی شود باعث می‌گردد که فواصل کافی بین میلگردها پیش‌بینی شده و بتن در بین آنها جای گیرد.

همانطور که اشاره شد در زلزله‌های زیادی گزارش شده است که اتصالات تیر - ستون در اثر برش و کمبود مهار لازم برای آرماتورها دچار شکست شده‌اند. بنابراین می‌توان گفت که پاسخ هر



اتصال بستگی به مقاومت برشی و چسبندگی آرماتورها دارد. نتیجه بررسی این گزارشات را می‌توان با ارزیابی صحیح تبدیل به معیارهایی نمود که طراحی اتصالها بر مبنای آنها باشد.

مهمترین معیارهای قابل قبول برای اتصال تیر-ستون در یک قاب شکل‌پذیر که بتواند در برابر زلزله مقاوم باشد بقرار زیر است:

۱- مقاومت اتصال در هیچ شرایطی نباید از مقاومت لولای خمیری که در قاب تشکیل می‌شود و قاب را تبدیل به مکانیزم می‌کند، کمتر باشد. در صورت رخداد زلزله و وارد آمدن خسارت به ساختمان به نحوی که قابل تعمیر و مرمت باشد، این معیار اتصالها را از تعمیر که معمولاً دسترسی به آنها خیلی مشکل است، بی‌نیاز می‌کند. همچنین اگر قرار باشد که اتصال در استهلاک انرژی سهیم باشد، بطور جدی دچار کاهش سختی می‌شود.

۲- رفتار اتصال باید به گونه‌ای باشد که ظرفیت کلی ستون بهیچ‌وجه به خطر نیفتد. به عبارت دیگر اتصال را باید بخشی از ستون بحساب آورد.

۳- اگر زلزله متوسطی به سازه اعمال شد، اتصالها باید رفتارشان در محدوده ارتجاعی باشد و وارد محدوده غیرارتجاعی نشوند.

۴- تغییر شکل اتصال نباید موجب افزایش چشمگیر تغییر مکان نسبی سازه گردد.

۵- برای تأمین پایداری سازه و مقاومت موردنیاز و نیز شکل‌پذیری مطلوب نباید جزئیات آرماتورگذاری در محل اتصال موجب شود تا از نظر اجرایی مشکلات عدیده‌ای با توده انبوهی از میلگردها بوجود آید.

با طرح صحیح و تعبیه میلگردهای مناسب باید اطمینان حاصل کرد که اتصال در سازه‌های بتن مسلح به نحو خوبی رفتار لرزه‌پذیر داشته باشند. البته پیشرفتهایی که در نحوه فولادگذاری شده است تا حد قابل توجهی به این امر کمک می‌کند.

همواره پاسخ اتصالها با برش و چسبندگی کنترل می‌شود که این هر دو، از عاملهای ضعف حلقه هیستریزس هستند. اتصال را باید در زمره نامناسب‌ترین قسمت سازه‌ها برای استهلاک انرژی دانست. بنابراین شایسته است پاسخ اتصال را همواره در محدوده یا قلمرو ارتجاعی نگه داشت. اگر چنانچه شکل‌پذیری قابل توجهی برای سازه موردنظر باشد یا هنگامی که پیش‌بینی می‌شود اعضای سازه‌ای به احتمال زیاد دچار خسارت می‌شوند، در اینصورت می‌توان اجازه داد که رفتار اتصال وارد محدوده غیرارتجاعی شود.

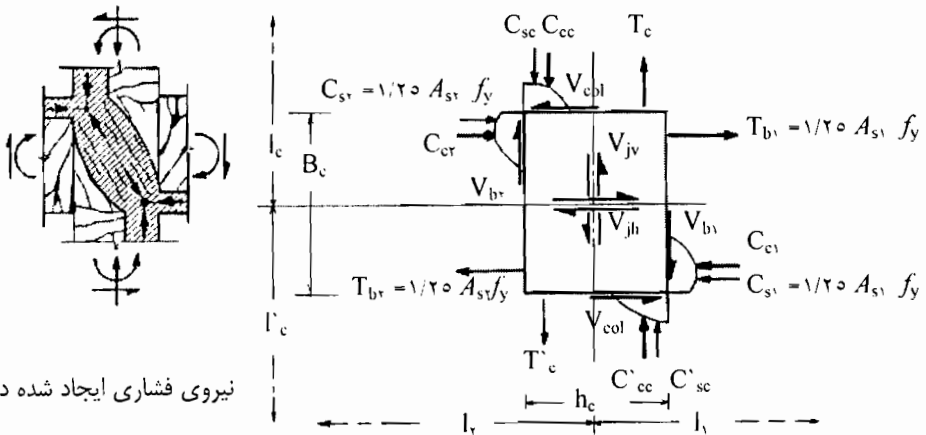
باید مطمئن شد که مکانیزم برش و چسبندگی در محل اتصال تأثیر چندانی بر تغییر مکان نسبی



سازه (*Drift*) نداشته باشد. چنانچه قطر فولادهای تعبیه شده در محل اتصال زیاد باشد، شکست چسبندگی نابهنگام در اتصال می‌تواند تا حدود ۱ درصد بر مقدار تغییرمکان نسبی اثر افزایشی داشته باشد. حتی اگر فولادهای تیر مجاور اتصال به حد جاری شدن نرسیده باشند. [پاوولی]

۳-۱۳-۱- نحوه شکست اتصال

هنگام اعمال نیروی ناشی از زلزله بر سازه، چه لولای خمیری در ستون یا در محل دیگری در داخل تیر ایجاد شده باشد، نیروی برشی زیادی در محل اتصال تیر به ستون تولید می‌شود. این نیروهای برشی در اتصال موجب شکست هسته اتصال بر اثر برش یا چسبندگی و یا هر دو آنها، می‌گردد. یک اتصال را باید بخشی از ستون به حساب آورد و عملکرد آن بدین عنوان مورد ارزیابی قرار گیرد. ستونی را در نظر می‌گیریم که اتصال میانی یک قاب خمشی را در بردارد. اگر فرض کنیم که نقاط عطف در بالا و پایین ستون قرار داشته باشند دیاگرام نیروهای اعمالی و داخلی مطابق شکل ۳-۳۳ خواهد بود. واکنش درونی تیرهای طرفین در محل اتصال بترتیب عبارتند از نیروی کششی، فشار و برشی که در شکل نشان داده شده‌اند.



نیروی فشاری ایجاد شده در بتن

۳-۳۳- نیروهای هسته یک اتصال میانی

توزیع این نیروها که موجب سه نوع شکست در هسته اتصال می‌گردد، مربوط به حالتی است که نیروهای اعمالی استاتیکی باشند، در حالیکه تحت شرایط بارهای دینامیکی یا زلزله وضعیت هسته اتصال شرایط نامساعدتری را خواهد داشت. در هر حال سه نوع شکست مورد اشاره عبارتند از:

الف- شکست برشی هسته اتصال



ب - شکست مهاری میلگردهای تیر در هسته اتصال
 ج - شکست چسبندگی میلگردهای تیر یا ستون که از هسته اتصال عبور می‌کنند.
 طراحی هسته اتصال معمولاً بر مبنای عدم شکست آن انجام می‌شود، یعنی هسته اتصال باید بقدری مقاوم باشد که جاری شدن تیرهای طرفین را شاهد باشد ولی خود همچنان پابرجا بماند. این همان نکته‌ای است که قبلاً شرح داده شد که لولاهای خمیری باید در تیرها تشکیل شوند، پس محل تشکیل آنها باید از هسته اتصال دورتر باشد.

۳-۱۳-۲- نیروی برشی اتصال

نیروهای برشی نهایی مؤثر بر اتصال باید بر مبنای بیشترین نیروی کششی که در میلگردهای اصلی تیرهای دو طرف اتصال و برش موجود در ستونهای بالا و پائین اتصال بوجود می‌آیند، محاسبه گردد. بیشترین نیروی کششی در میلگردهای اصلی تیرهای طرفین وقتی ایجاد می‌شود که در تیرها لولای خمیری تشکیل شده باشد. بنابراین نیروی برشی موجود در اتصال برای شرایطی که تیرهای دو طرف اتصال تشکیل لولای خمیری تیرهای دو طرف اتصال برابر با لنگر خمشی مقاوم محتمل (M_{pr}) در نظر گرفته می‌شود، برای منظور نمودن امکان افزایش مقاومت مصالح و سخت‌شدگی کرنشی میلگرد در محاسبات، تنش فولاد f_s را مساوی $1/25 f_y$ در نظر می‌گیریم. همانطور که شکل ۳-۳۳ نشان می‌دهد، نیروی برشی افقی موجود در یک اتصال داخلی مساوی مقدار زیر خواهد بود:

$$V_j = A_{s1}(1/25 f_y) + A_{s2}(1/25 f_y) - V_{cal} = 1/25 (A_{s1} + A_{s2}) f_y - V_{cal} \quad (۳-۶۲)$$

و نیروی برشی افقی موجود در یک اتصال خارجی عبارت است از:

$$V_j = 1/25 A_s f_y - V_{cal} \quad (۳-۶۳)$$

۳-۱۳-۳- مقاومت برشی

برای اینکه اتصال تحت اثر کششهای قطری تخریب نشود لازم است فولادهای افقی و قائم برشی تعبیه شود. این فولادها موجب می‌شود تا تعادل منطقی در هسته اتصال برای نیروهای فشاری و کششی که متناوباً جایشان به دلیل بار زلزله عوض می‌شود، برقرار گردد. هنگامی که



فولادهای برشی اتصال کافی نباشد، حلقه خاموتها به حد جاری شدن می رسند، که در این وضعیت این فولادها بدون توجه به جهت ترکهای قطری ناگزیر می شوند که نیروهای کششی را تحمل نمایند که در نتیجه کرنشهای غیرارتجاعی غیرمتناوب در آنها ایجاد شود. این پدیده موجب می شود تا سختی اتصال در سطح پائینی از نیروی برشی بشدت کاهش یابد. نتیجه چنین رفتاری عدم توانایی کل سیستم برای استهلاک و جذب انرژی زلزله می باشد. هنگامی که بقدر کافی فولاد برشی در محل اتصال تعبیه شود تا جاری شدن آنها محدود باشد و لولای خمیری در مجاورت اتصال و در تیر تشکیل شود، در اینصورت خرد شدن بتن محل اتصال را باید مورد ارزیابی و توجه قرار داد تا شکست اتصال با شکست بتن آغاز نشود.

چنین حالتی زمانی پیش می آید که میانگین تنشهای برشی و فشاری محوری که قرار است تحمل شوند زیاد باشد. این مود تخریب را با در نظر گرفتن حد بالا یا کرانه فوقانی فشار قطری می توان جلوگیری کرد.

بر طبق آبا حداکثر مقاومت اتصالها برای حالات سه گانه زیر در نظر گرفته می شود:

الف- حداکثر مقاومت برشی اتصالاتی که در هر چهاروجه محصور شده اند، برابر است با:

$$V_j = 1.44 \sqrt{f_c} A_j \quad (3-64)$$

ب- حداکثر مقاومت برشی اتصالاتی که در سه وجه یا دو وجه روبرو محصور شده اند، برابر است با:

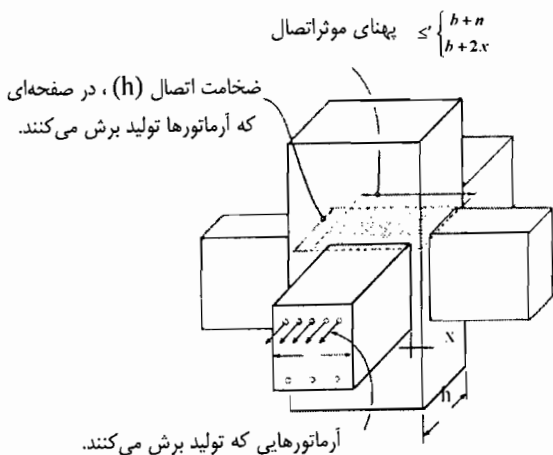
$$V_j = 1.08 \sqrt{f_c} A_j \quad (3-65)$$

ج- حداکثر مقاومت برشی سایر اتصالات برابر است با:

$$V_j = 0.9 \sqrt{f_c} A_j \quad (3-66)$$

اگر نیروی برشی موجود در اتصال از مقاومت برشی اتصال بیشتر شود، باید با افزایش ارتفاع تیرها نیروها را کاهش داد و یا با افزایش سطح مؤثر، مقاومت اتصال را بیشتر کرد.

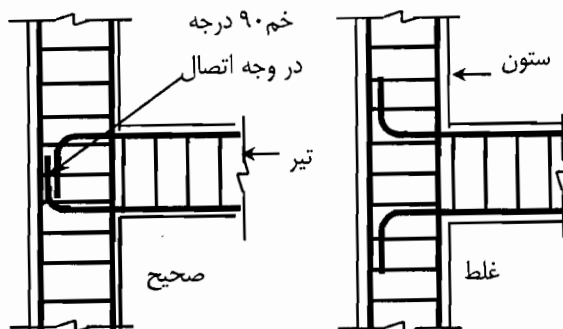
لازم به یادآوری است ضرایب سه گانه فوق بر طبق آئین نامه *ACI* [۱۱] به ترتیب ۱/۴۴۵ ، ۱/۰۶۳ و ۰/۸۵ توصیه شده است که بسیار نزدیک به ضرایب آبا [۲۳] می باشد.



شکل ۳-۳۴- سطح مؤثر اتصال

۳-۱۳-۴- میلگردهای عرضی

در اتصالات تیر - ستون، باید حداقل میلگرد ویژه مطابق بخش ۳-۱۲-۵ (مشابه مناطق مستعد تشکیل لولای خمیری در داخل ستون) تعبیه گردد. برای اتصالاتی که در چهار وجه‌شان به وسیله تیرها محصور شده‌اند، می‌توان معادل ۵۰ درصد در میلگردهای ویژه کاهش داد. در چنین شرایطی فاصله میلگردهای عرضی تا ۱۵۰ میلیمتر قابل افزایش است. برای مهار میلگردهای طولی در هسته اتصال تیر به ستون کناری، دو نوع جزئیات که یکی صحیح و دیگری غلط است در شکل ۳-۳۵ ارائه شده است.



شکل ۳-۳۵- مهار میلگردهای طولی تیر در هسته اتصال



۳-۱۳-۵- میلگردهای طولی

میلگردهای طولی تیرها که به ستون ختم می‌شوند (هسته اتصال) باید تا انتهای دیگر هسته محصور شده ستون ادامه یابند. اگر این میلگردها کششی باشند باید طول گیرداری قلابدار (l_{ab}) که خم آنها ۹۰ درجه است از رابطه ۳-۶۴ محاسبه می‌شود:

$$l_{ab} = \frac{d_b f_y}{4 f_b} \quad (۳-۶۷)$$

که در این رابطه d_b قطر میلگرد و f_b مقاومت چسبندگی بین بتن و میلگرد است که به عوامل زیر بستگی دارد:

الف- قطر میلگرد

ب- پوشش بتن

ج- فاصله آزاد میلگردها

مقدار f_b در جدول ۳-۲ برای حالات مختلف از قطر میلگرد، پوشش بتن و فاصله آزاد میلگردها آورده شده است.

جدول ۳-۲- مقدار تنش چسبندگی بین بتن و میلگرد

| قطر میلگردها | | شرایط عمومی میلگردها |
|-----------------------|--------------------------|----------------------|
| $d_b > 20 \text{ mm}$ | $d_b \leq 20 \text{ mm}$ | |
| | | $S \geq d_b$ |
| | | و |
| $0.42 \sqrt{f_c}$ | $0.55 \sqrt{f_c}$ | $C \geq d_b$ |
| | | و |
| | | حداقل فولاد برشی |
| $0.31 \sqrt{f_c}$ | $0.39 \sqrt{f_c}$ | سایر موارد |

در این جدول S فاصله آزاد بین میلگردها و C پوشش بتن تا روی میلگردها می‌باشد.

۳-۱۴- مقاومت چسبندگی

معمولاً طول مهاری توصیه شده توسط آئین‌نامه‌ها بیش از عمق ستونهای مجاور است و اگر در چسبندگی ۱۵ درصد کاهش ایجاد شود حدود ۳۰ درصد انرژی کل سیستم اتصال مستهلک می‌گردد. در اتصالهای بیرونی (کناری) نباید شکست قلاب مهاری با چسبندگی آرماتور تیرها رخ دهد، زیرا چنین شکستی مقاومت تیر را شدیداً کاهش خواهد داد.

فصل ۴ - رفتار و طراحی دیوارهای برشی

۴-۱- دیوارهای برشی

کلیات: احداث دیوارهای برشی چه در ساختمانهای بلند و چه متوسط و حتی در ساختمانهای کوتاه موجب می شود که مقاومت ساختمان بطور قابل توجهی افزایش یابد و نشان داده شده است که در مقایسه با ساختن قابهای خمشی اقتصادی تر خواهد بود. کنترل خیزجانبی ساختمان به کمک دیوار برشی بهترین شیوه در مقایسه با استفاده از عناصری مانند بادبندها می باشد. یقیناً قابهای خمشی خیلی انعطاف پذیرتر از قابهایی هستند که در کنار دیوار برشی تعبیه شده باشد. سالها تصور می شد که دیوارهای برشی رفتار تردی دارند و بهمین جهت رفتار آنها در قلمرو ارتجاعی و برای مقاومت در برابر زلزله های متوسط کارساز انگاشته می شد. دلیل اصلی این تصور در آن بود که برای تأمین رفتار نرم دیوارها جزئیات آرماتورگذاری آنچنانکه لازم است رعایت نمی شد و از این جهت شکست آنها از نوع برشی بود. از اینرو برخی آئین نامه ها شکل پذیری آن را در مقایسه با قابهای خمشی کمتر در نظر می گرفتند. اما محققین با بررسیهایی که انجام دادند ابراز کردند که می توان انرژی زلزله را در دیوارها کاملاً همانند قابها مستهلک کرد [۳۶ و ۳۷]. البته شرط اساسی در تحقق چنین رفتاری فولادگذاری مناسب با جزئیات خاص در دیوار می باشد. برای اینکه رفتار دیوارها وارد مرحله غیرارتجاعی شود لازم است شالوده دیوار آنقدر قوی باشد که در انتقال نیروها به زمین مشکلی برای دیوار ایجاد نکند. همچنین لازم است رفتار دیافراگم ها یا کف ها همواره در محدوده ارتجاعی باقی بمانند تا از طریق آنها و اتصال صلب آنها به دیوارها کلیه نیروها به دیوار منتقل گردد.

امروزه بخوبی می توان از دیوارهای برشی در کنار قابهای خمشی به نحوی استفاده کرد که رفتار مجموعه سازه نرم، مقاوم و شکل پذیر باشد. در هر حال پاسخ این قبیل سازه ها در برابر



زلزله های شدید نیز پاسخی خمشی و نرم است. در غالب موارد دیوارهای برشی قادرند بیشترین سهم را در تحمل نیروی برشی پایه داشته باشند و این در حالی است که قابها پس از ظهور ترکهای قابل توجه و جدی در دیوارها یا ورود رفتار دیوارها به محدوده غیرارتجاعی، بعنوان سیستم ثانویه مقاوم در برابر زلزله طراحی می شوند. لازم به ذکر است در مناطقی که زلزله های شدید رخ می دهد و احداث قابهای خمشی با شکل پذیری زیاد ممکن نیست، بهترین راه حل برای احداث ساختمان مقاوم در برابر زلزله استفاده از دیوارهای برشی است. بویژه اگر ساختمان دارای ارتفاع متوسط یا بلند باشد. البته استفاده از دیوارهای برشی تا ارتفاع ۲۰ طبقه الزامی نیست ولی برای ساختمانهای بیش از ۳۰ طبقه استفاده از دیوارهای برشی بطور جدی توصیه می شود [۷].

تعبیه بازشوها در دیوارهای برشی چه بصورت بازشوهای هم راستا و یا بازشوهای غیرهم راستا موجب شده است تا رفتار آنها قدری پیچیده و مشکل شود. اما با توجه به پیشرفتهای زیادی که در مطالعه نظری و عملی بر روی این قبیل دیوارها شده است این مشکل نیز تا حدی برطرف شده و با تعبیه جزئیات خاصی می توان تا حدود بسیار قابل توجهی از رفتار نرم، شکل پذیر و در عین حال مقاوم دیوارهای برشی دارای بازشو نیز مطمئن بود.

باید دانست که دیوارهای برشی در مقابل خمش مانند ستونها عمل می کنند اما دیوارهای برشی کوتاه در مقابل خمش مقاومت بیشتری دارند ولی در مقابل برش از مقاومت کافی برخوردار نیستند فلذا رفتار برشی در دیوارهای کوتاه حاکم است. بطور کلی دیوارهای برشی علاوه بر تحمل خمش و برش ناشی از بارهای جانبی، بارهای قائم را هم تحمل می کنند بدین دلیل ضوابط مربوط به ستونها برای این دیوارها نیز صادق است و بایست از دیانگام اندرکنش لنگر و نیروی محوری در طراحی استفاده نمود. آنچه که باید برای دیوارهای برشی موردنظر باشد عبارتند از: مقاومت، شکل پذیری، ظرفیت جذب انرژی و حداقل کاهش در سختی.

برخی از آئین نامه های طراحی [۲۸] توصیه می کنند که اگر قابهای بتن مسلح دارای خصوصیات دینامیکی مشابهی با دیوارهای برشی باشند، بایستی دیوارهای برشی را برای مقاومت بیشتری نسبت به قابها طراحی کرد. دلیل این امر را در ضعف عمومی و کلی دیوارهای برشی در مقابل نیروهای برشی می دانند.

از نکات بسیار با اهمیت در دیوارهای برشی لاغری یا کم بودن ضخامت آنها در مقایسه با ابعاد دیگر آن می باشد که احتمال کماتش حاصل از نیروهای فشاری را ممکن می سازد. این پدیده را



باید بطور ویژه برای احتمال عدم پایداری انتهای تحت فشار مورد توجه قرار داد. با فرض اینکه دالهای کف در تمامی طبقات بصورت دیافراگم صلب هستند، می‌توانند نقش تکیه‌گاه جانبی برای دیوارهای برشی را داشته باشند. بنابراین، طول بحرانی در رابطه با کمانش، ممکن است برابر با ارتفاع طبقه در نظر گرفته شود.

۴-۲- مزیت های دیوارهای برشی

استفاده از دیوارهای بتن مسلح سازه ای (دیوارهای برشی) ، دارای مزیت هایی است که ذیلاً به آنها اشاره می شود.

الف - افزایش چشمگیر سختی ساختمان به نحوی که بر کاهش اثرات ثانویه نقش مؤثری دارد. این مزیت خود بخود موجب افزایش درجه ایمنی در مقابل شکست یا ریزش ساختمان می شود.

ب - کاهش قابل ملاحظه خسارت به عناصر غیرسازه‌ای که در اکثر موارد هزینه آنها کمتر از هزینه اعضای سازه ای نیست.

ج - اثر قابل توجه در ایجاد آرامش خیال و تأمین امنیت روانی ساکنین ساختمانهای بلند مرتبه در هنگام وقوع زلزله.

د - دیوارهای برشی قادرند حتی پس از پذیرش ترکهای زیاد، بارهای ثقلی که برای آنها هم طراحی شده اند، تحمل کنند که این پدیده را به طور کامل نمی‌توان از ستونها انتظار داشت.

ه - رفتار لرزه ای سازه هایی که دارای دیوار برشی هستند بیشتر از قابهای خمشی، اطمینان بخش می باشد.

دلیل این رفتار در دو نکته نهفته است. یکی اینکه در قابهای خمشی لولای خمیری معمولاً در انتهای تیرها تشکیل می شود ولی در مورد سازه هایی که دیوار برشی دارند، محل تشکیل لولای خمیری در پای دیوار می باشد. نکته دوم در این است که وجود میانقابها موجب افزایش ابهام در رفتار لرزه ای قابها می شود زیرا نظم و توزیع مناسب سختی را در سازه دچار اختلال می کند. البته ناگفته نماند که اگر توزیع میانقابها در یک سازه قاب خمشی کاملاً منظم باشد رفتار قاب خمشی تا حدود بسیار زیادی بهبود یافته و حتی در برخی موارد که نظم کاملی در توزیع سختی ایجاد شده باشد، بهتر از سازه هایی که دارای فقط چند دیوار برشی هستند، عمل خواهند کرد.

همچنانکه اشاره شد، علیرغم همه این مزیت ها، برخی آئین نامه ها ضریب رفتار را برای سازه‌هایی که دیوار برشی دارند، کمتر از سازه هایی که دارای قاب خمشی هستند توصیه می‌کنند.



بطور مثال CEB-1985 [۳۲] ضریب پایه برای محاسبه ضریب رفتار را برای قابها بین ۲ تا ۵ و برای سازه هایی که دارای دیوار برشی مزدوج یا دارای بازشو هستند بین ۲ تا ۴ و برای خود دیوارها بین ۱/۴ تا ۲/۸ در نظر می گیرد. در آمریکا آئین نامه UBC-1994 [۲۷] برای ساختمانهایی که دارای دیوار برشی هستند ضریب رفتار را در حدود ۵۰٪ کمتر از ساختمانهای با قاب خمشی توصیه می کند. در آئین نامه طراحی ساختمانها در برابر زلزله (استاندارد ۲۸۰۰ ایران) ویرایش ۲- برای مناطق با خطر نسبی خیلی زیاد و براساس طراحی به روش تنشهای مجاز ضریب رفتار را برای قابهای خمشی با شکل پذیری اندک (LDL) برابر با ۵ و برای قابهای خمشی با شکل پذیری متوسط (MDL) برابر با ۸ و برای قابهایی که شکل پذیری زیاد دارند (HDL) برابر با ۱۰ در نظر می گیرد. از طرف دیگر ارتفاع، این سه نوع قاب را از تراز پایه به ترتیب تا ۱۵، ۵۰ و ۱۸۰ متر محدود می کند و این در حالی است که دیوارهای برشی بتن مسلح معمولی تا ارتفاع ۵۰ متر را در کنار قابهای ساده قرار داده و برای این دو سیستم ضریب رفتار را برابر با ۷ توصیه می کند. همین آئین نامه ضریب رفتار ۵ را برای دیوارهای باربر تا ارتفاع ۷۰ متر در نظر می گیرد. اما برای سیستم های دوگانه یعنی سیستمی که مرکب از قاب خمشی و دیوار برشی است ولی در زمره سیستم MDL واقع می شوند و ارتفاع آنها تا ۷۰ متر محدود است، ضریب رفتار را برابر با ۹ توصیه می کند و اگر این سیستم دوگانه در زمره HDL واقع شده و تا ارتفاع ۲۰۰ متر محدود شوند، ضریب رفتار ۱۱ را برای آنها اعمال می کند. در هر صورت همه نکات فوق حاکی از آن است که اگر شرایط خاصی برای تسلیح دیوار برشی در نظر گرفته نشود خطر اینکه رفتار آن ترد شود وجود دارد.

۴-۳- انواع دیوارهای برشی

دیوارهای برشی را از چند جهت می توان تقسیم بندی کرد. یکی از نظر تغییر در ارتفاع و دیگری از نظر تغییر در شکل مقطع و دیگری از نظر اینکه دارای بازشو باشند یا نباشند.

۴-۳-۱- دیوارهای برشی کوتاه

اگر دیوار برشی دارای ارتفاع کم باشد یعنی نسبت ارتفاع به طول آن کمتر از ۲ یا ۳ باشد به آن دیوار برشی کوتاه می گویند و برای مقاوم ساختن ساختمانهای کوتاه در برابر زلزله می توان از آن استفاده کرد. در برخی موارد برای ساختمانهای بلند نیز از دیوارهای کوتاه استفاده می کنند و آن



هنگامی است که برای مقاوم ساختن ساختمان در برابر بارهای جانبی در تعدادی از دهانه‌های طبقه همکف یا برفراز شالوده از دیوارهای برشی کوتاه بصورت پیوسته بین دهانه‌ها استفاده می‌کنند. رفتار دیوارهای برشی کوتاه با دیوارهای بلند تفاوت زیادی دارد. بیشترین تحقیقات در خصوص رفتار این دیوارها توسط پارک و پاوولی در نیوزلند انجام شده است. آنها توصیه دارند که فولادگذاری در این قبیل دیوارها تا حد امکان یکنواخت باشد و به سمت لبه قائم تمرکز بیشتری داشته باشد.

حداقل فولادگذاری در این دیوارها نیز به مقدار 0.0025 بسنده می‌شود اگر چه ممکن است شکل پذیری کافی را برای دیوار مهیا نسازد ولی از نظر مقاومت و شرایط لازم طراحی کافی بنظر می‌رسد. برای اینکه شکل پذیری نسبتاً قابل قبولی بدست آید لازم است حداقل مقاومت برشی آن برابر با $0.5\sqrt{f_c} Mpa$ باشد. توصیه شده است که چون شکست خمشی دیوارهای برشی کوتاه همواره به همراه ترکهای بزرگ قطری است بنابراین باید از مقاومت برشی بتن صرفنظر شود.

۴-۳-۲- دیوارهای برشی طره ای (بلند)

این دیوارها دارای نسبت ارتفاع به طول زیاد می‌باشند به نحوی که رفتار غالب آنها برخلاف نامشان رفتار خمشی است. همانطور که بیان شد این قبیل دیوارها در تحمل بارهای ناشی از زلزله و استهلاک انرژی آن نقش بسیار مؤثری در ساختمانهای متوسط و بلند دارند. شکل هندسی آنها در مقطع بر رفتار خمشی اثر بسیار زیادی دارد که در جای خود بحث خواهد شد. ولی تغییر طول یا ضخامت آنها در ارتفاع نیز برای رعایت مسائل مختلف سازه‌ای و یا معماری بر رفتارشان اثر می‌گذارد.

۴-۴- اثر شکل مقطع بر رفتار دیوار

مشخص شده است که شکل مقطع دیوار بر رفتار آن اثر چشمگیری دارد. چنانچه دیوار در دو انتهای مقطع خود دارای بال باشد هم از پایداری و هم از شکل پذیری بیشتری در مقایسه با دیوار بدون بال برخوردار است.

در شکل ۴-۱ مقایسه بین دیوارهای بدون بال و دیوارهایی که بال دارند نشان داده شده است. در این شکل بر روی محور y تغییرات نیروی محوری نسبت به مقطع دیوار آورده شده و بر روی محور x شکل پذیری مقطع مشخص شده است. چنانکه ملاحظه می‌شود منحنی "الف" متعلق به یک دیوار با مقطع مستطیل و درصد فولاد $\rho = 0.02$ است، در حالیکه منحنی "ب" متعلق به دیوار



I شکل است که دارای دو بال مساوی است و درصد فولاد در محل بالها $\rho = 0.03$ است، با هم قابل مقایسه اند زیرا نیروی محوری این دو دیوار با یکدیگر مساوی در نظر گرفته شده است. این مقایسه مشخص می کند که با افزایش درصد فولاد مؤثر در مقاومت خمشی و شکل مقطع تا حد قابل توجهی شکل پذیری افزایش می یابد و این مطلب برای طراحی لرزه ای اهمیت بسزائی دارد. اما منحنی 'ج' متعلق به دیواری است با مقطع مستطیلی با درصد فولاد کمتر ($\rho = 0.01$) در مقایسه با منحنی الف مسلح شده است. این دیوار با دیوار I شکل که با منحنی 'د' مشخص شده است و درصد فولاد $\rho = 0.01$ قابل مقایسه است. اثر تغییر شکل در مقطع بخوبی در اختلاف سطح شکل پذیری مشهود است. البته ظرفیت تحمل لنگر در دو دیوار 'ج' و 'د' با یکدیگر مساوی فرض شده است. در این مقایسه نیز ظرفیت بهبود یافته شکل پذیری دیوار 'د' بخوبی آشکار است. اما منحنی 'ه' مربوط به دیواری است که به شکل I است و فولادهای بال $\rho_f = 0.03$ و فولادهای جان $\rho_w = 0.01$ آن به نحو بسیار خوبی محصور شده اند. مشاهده می کنیم که ظرفیت مقاومتی و شکل پذیری دیوار بقدر قابل توجهی افزایش چشمگیر دارد.

الف - $\rho = 0.02\%$

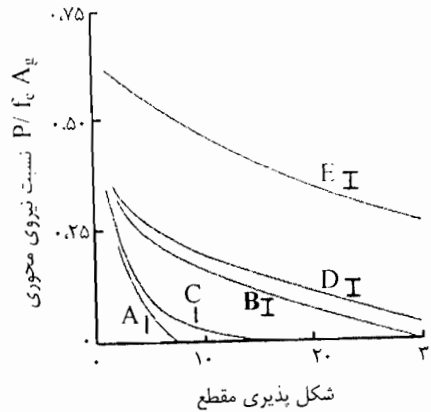
ب - $\rho = 0.03\%$

ج - $\rho = 0.01\%$

د - $\rho = 0.01\%$

ه - $\rho_f = 0.03\%$

و - $\rho_w = 0.02\%$



شکل ۴-۱- اثر شکل مقطع و درصد فولاد بر رفتار دیوارهای برشی

۴-۵- مقاطع بالدار

بدلیل وجود بالها در دو انتهای این قبیل دیوارها رفتار خمشی و شکل پذیری آنها بسیار مناسب تر است و بطور جدی توصیه می شود که از این قبیل مقاطع استفاده شود مگر در شرایطی که



چاره‌ای به جز استفاده از مقاطع مستطیلی نباشد. متداولترین شکلی که برای مقطع دیوار بکار می‌برند از نوع Γ است.

در شکل ۲-۴ حدود یازده نوع مقطع برای دیوارهای برشی آورده شده است که یکی از آنها مستطیل و بدون بال است و ده مورد دیگر به شیوه‌های مختلفی دارای بال هستند.



شکل ۲-۴. مقاطع متداول در دیوارهای برشی طره‌ای

بال مربوط به سه مورد ب، ج، د بیشتر برای درگیری با تیرهای جانبی در سازه بکار می‌روند. حتی اگر گیردار شدن تیرهای جانبی مدنظر نباشد وجود این بالها موجب می‌شود پایداری افزایش یافته کمانش جان تا حد قابل توجهی کاهش داشته باشد. ضمناً چون محل تشکیل لولای خمیری در دو انتهای پای دیوار است وجود این بالها کمک بسیار زیادی در بهبود رفتار خمشی آنها می‌نماید.

در شکل ۲-۴ مقاطع ح، ی که بال نسبتاً طولانی دارند و بصورت دیوارهای عرضی تلقی می‌شوند رفتار سخت تری نسبت به سایر مقاطع دارند اما نکته بسیار مهم درباره آنها مؤثر بودن طول محدودی از بال در رفتار خمشی دیوار نقش مثبت دارد. بدین منظور طراح باید با روش خاصی طول مؤثر از بال را محاسبه کرده و آنرا در رفتار خمشی دیوار ملحوظ دارد.

۴-۶- اندازه بال و پایداری جانبی دیوارهای برشی

هنگامی دو یا چند دیوار برشی در پلان یک سازه با یکدیگر تلاقی دارند، دیوارهای جدیدی به شکل L یا T یا Γ را تشکیل می‌دهند. این قبیل دیوارها معمولاً برای مقاومت در برابر زلزله در دو جهت بکار می‌روند و معمولاً از مقاومت بالا و خوبی برخوردار هستند. نشان داده شده است که اگر بال این قبیل دیوارها در فشار قرار گیرند، مقاومت لرزه‌ای خوب و شکل پذیری بالایی از خود نشان می‌دهند ولی اگر بال آنها در کشش واقع شود، ظرفیت شکل پذیری آنها کاهش خواهد داشت.



در برخی موارد مقدار طول بال دیوارهایی که مانند نمونه ح و ی از شکل ۲-۴ هستند بسیار زیاد است و باید مهندس محاسب به نحوی طول مؤثر در رفتار مطلوب آنها را بدست آورد. آئین نامه ACI برای طول مؤثر بال دیوارهای L و T شکل چنین توصیه می کند که اگر تیر معادلی که طول دهانه اش ۲ برابر ارتفاع دیوار باشد، در نظر بگیریم، همان دستورالعملی که برای عرض مؤثر بالهای فشاری در تیرهای T و L بکار می رود، در مورد دیوارها هم صادق خواهد بود. همچنانکه در مورد سازه های چند طبقه و شکل پذیر مطرح است، برای دیوارهای برشی و شکل پذیر نیز باید مقطع بحرانی برای مقاومت افزون مشخص شود. در دیوارهایی که بال دارند مقدار مقاومت افزون بستگی به جزئیات و مقدار فولادهای کششی آن دارد که در رفتار غیرارتجاعی و برای کنترل خیز یا جابجایی لرزه ای نقش تعیین کننده ای را ایفا می کند. بنابراین یک قضاوت مهندسی لازم است تا عرض مؤثر بال را در دیوارها که تحت اثر کشش قرار می گیرند بدست آورد. البته عرض مؤثر در فشار چندان تأثیری بر مقاومت افزون دیوار ندارد در حالیکه در مورد بالی که در کشش قرار می گیرد، عرض مؤثر آن بسیار در مقاومت افزون تأثیرگذار است. در شکل ۳-۴ عرض مؤثر در بال این قبیل دیوارها چه در فشار و چه در کشش مشخص شده است. در این تخمین تقریبی چنین فرض شده که نیروهای ثقلی یا قائم در اثر نیروی برشی ایجاد شده در جان دیوار، به بالهای آن وارد می شود [۷]. این وضعیت موجب می شود که از یکطرف به یک بال فشار وارد شود و در بال دیگر کشش ایجاد گردد. در قسمت کششی توزیع نیروهای قائم با زاویه $26/6^\circ$ درجه است که با شیب ۱:۲ در نظر می گیرند. بنابراین با رجوع به شکل ۳-۴ مقدار عرض مؤثر کششی برابر است با:

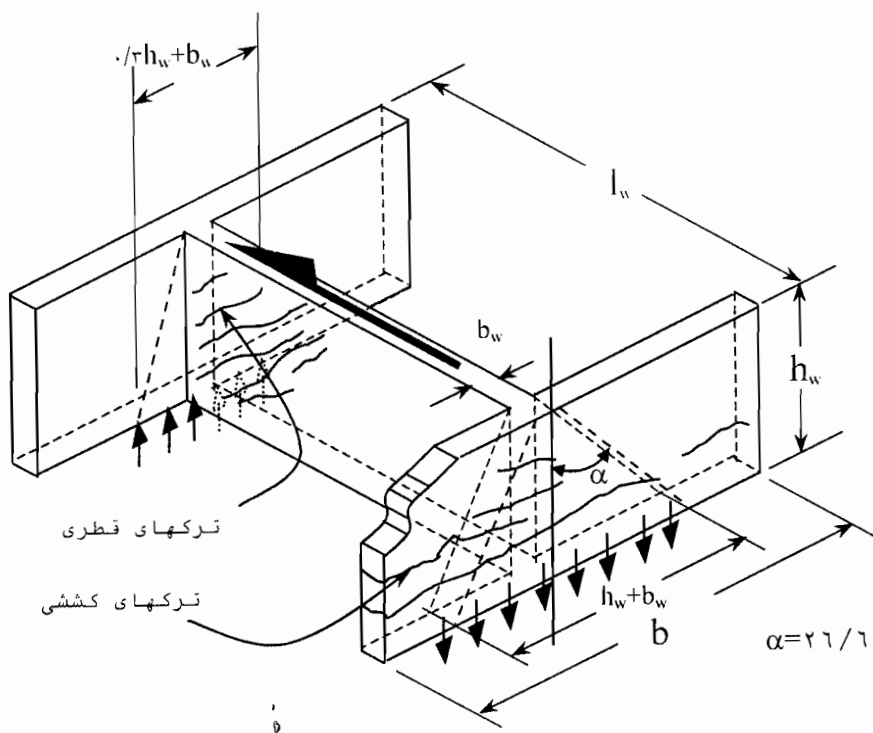
$$b_{el} = (h_w + t_w) \leq b \quad (1-4)$$

لازم است یادآور شویم که برای محاسبه مقاومت افزون خمشی دیوارها این فرض هنوز جوابهای محافظه کارانه بدست نمی دهد و شایسته است با تحقیقات بیشتری این مسئله روشن تر شود. درخصوص دیوارهای آجری این زاویه به ۴۵ درجه می رسد. برای عرض مؤثر فشاری در بال دیوارها از رابطه تقریبی زیر استفاده می شود.

$$b_{ec} = (0.3h_w + t_w) \leq b \quad (2-4)$$



البته باید توجه داشت که مقاومت خمشی دیوار در برابر بالی که تحت اثر فشار قرار دارد چندان حساس نیست و توجه به این نکته که پس از ایجاد تنش‌های کششی در بال دیوار، طول مؤثر فشاری در اثر تعویض مکرر محل فشاری و کششی (در اثر بارهای لرزه‌ای و تناوبی)، کاهش می‌یابد به نحوی که فولادهای دو انتهای عرض فشاری دارای کرنشهای کششی خواهند بود.



شکل ۳-۴- تخمین عرض مؤثر بال در دیوارهای برشی

معمولاً جان دیوارهای برشی در مقایسه با سایر ابعاد آن از ضخامت کمی برخوردار است. بنابراین دیوارها عنصر سازه‌ای لاغر هستند که متناوباً تحت اثر بارهای لرزه‌ای مثل زلزله قرار می‌گیرند. از اینرو احتمال کماتش جان در دیوارها خیلی زیاد است. لذا طراح باید نسبت به وقوع کماتش موضعی و صفحه‌ای در جان و در برخی موارد در بالهای نازک توجه ویژه داشته باشد. برای کنترل چنین مسئله‌ای لازم است توصیه‌های زیر رعایت شود.



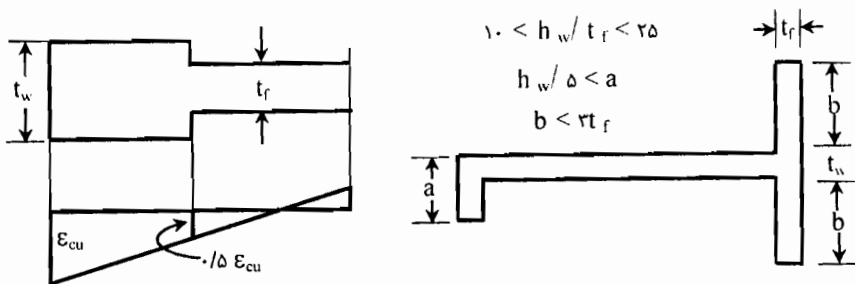
اگر h_w را ارتفاع آزاد دیوار بین طبقات یا هر تکیه گاه جانبی دیگری در نظر بگیریم و t_w و t_f به ترتیب ضخامت بال و جان دیوار باشد باید برای کنترل کمانش نسبت های زیر برقرار باشند:

الف - برای جان دیوار اگر مقدار کرنش کمتر یا مساوی $0.5 \epsilon_{cu}$ باشد:

$$10 \leq \frac{h_w}{t_w} \leq 25$$

ب - برای بال دیوارها چنانچه مقدار کرنش بیش از $0.5 \epsilon_{cu}$ باشد:

$$10 \leq \frac{h_w}{t_f} \leq 25$$



شکل ۴-۴- توصیه های اولیه برای جلوگیری از کمانش جانبی دیوارها

در سال ۱۹۹۲ پاولی و پریستلی پیشنهاد کرده اند [۳۷] که ضخامت بحرانی مقطع دیوار در انتهایی که شدیداً تحت فشار قرار می گیرد و در آن قسمت لولای خمیر تشکیل می شود باید بر طبق رابطه ۳-۴ محاسبه شود تا اینکه کمانش برون صفحه ای برای دیوار رخ ندهد.

$$t_c = 0.171 l_w \sqrt{\mu \phi} \quad (3-4)$$

$\mu \phi$ ضریب شکل پذیری انحنایی دیوار است که به توزیع کرنش در مقطع دیوار بستگی دارد.

۴-۷- تقسیم بندی دیوارهای برشی از نظر تغییر در ارتفاع

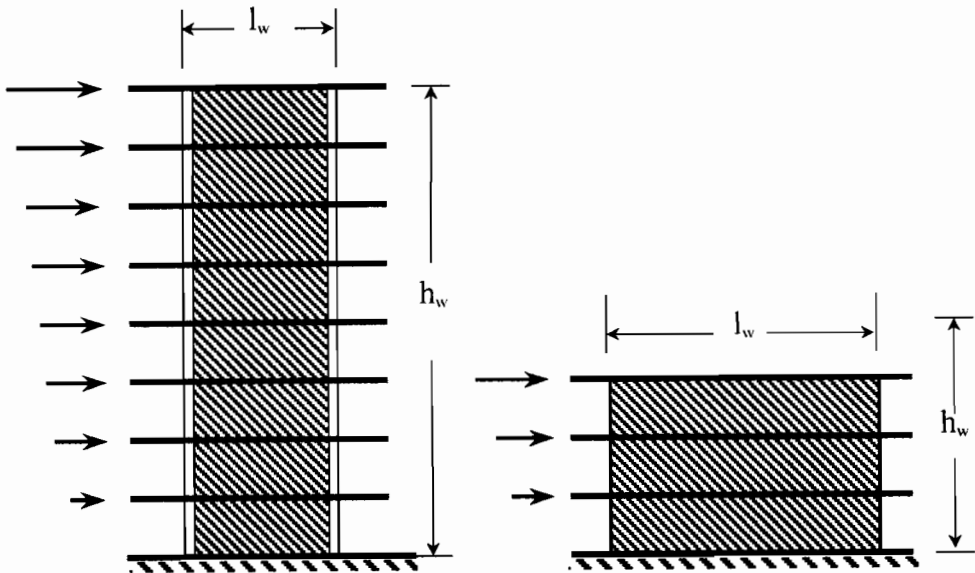
در ساختمانهای با ارتفاع متوسط شکل مقطع دیوارها از شالوده تا بالاترین تراز تقریباً ثابت می ماند. این عدم تغییر در مقطع دیوار بیشتر برای دیوارهای یکنواخت بکار می رود. از طرفی نیاز



مقاومتی دیوار در اثر بارهای جانبی کاهش فولادگذاری در مقطع را از پائین به بالا دیکته می‌کند که مهمترین تغییر در ضخامت آن خواهد بود. معمولا و نه بطور گسترده دیوارها دارای بازشو هستند که این بازشوها یا در جان و یا در بال دیوارها تعبیه می‌شوند و نیز لازم است با یک قضاوت مهندسی عرض و ارتفاع این بازشوها به نحوی تعیین شوند که نه آنقدر کوچک باشند که در طراحی از وجود آنها صرفنظر شود و نه آنقدر بزرگ باشند که بر روی مقاومت برشی و خمشی اثر نامطلوب بگذارد. واضح است که در حالت اخیر باید محاسبه مقاومت و نیز جزئیات فولادگذاری بطور دقیق مشخص شود. بهمین دلیل باید وضع دیوارهای برشی را در دو حالت دارای بازشو و بدون بازشو مورد بررسی دقیق قرار داد.

۴-۷-۱- دیوارهای طره بدون بازشو

بیشتر دیوارهای برشی طره ای بدون بازشو را می‌توان مطابق شکل ۴-۵- الف به صورت تیر و ستون مدل کرد. بارهای جانبی را می‌توان به صورت بارهای متمرکزی در تراز کف ها به دیوار اعمال کرد و در این حالت کف ها نقش دیافراگم خواهند داشت. این دیافراگم ها موجب پایداری دیوارها شده و در نتیجه ضخامت کمتری برای دیوار طلب می‌کند. در این قبیل دیوارها به سهولت می‌توان محل تلاقی دیوار با شالوده را بهترین محل برای تشکیل لولای خمیری در نظر گرفت و بقدر کافی ظرفیت دورانی خوبی برای دیوار ایجاد کرد.



شکل ۴-۵- دیوارهای برشی طره ای بدون بازشو



در ساختمانهای کوتاه از دیوارهای برشی کوتاه، مانند آنچه که در شکل ۴-۵ ب آمده است، استفاده می‌شود و از مشخصه های این دیوارها نسبت پائین (h_w/l_w) در آنها است. در این دیوارها مقاومت خمشی بالا بوده و حتی در حالتی که بر طبق توصیه‌های آئین نامه‌ای حداقل فولادهای قائم ضروری است، این مقاومت خمشی بالا خواهد بود ولی از آنجا که ارتفاع کوتاه است باید تحمل آنها در برابر برش بسیار زیاد باشد تا اینکه لولای خمیری در پای دیوار تشکیل شود. بنابراین در این قبیل دیوارها باید کنترل مقاومت برشی همواره مورد توجه قرار گیرد. در هر صورت رفتار غیرارتجاعی دیوارهای برشی بدون بازشو بلند و کوتاه به ترتیب با خمش و برش تبیین می‌شود. لازم است توجه داشته باشیم که دیوارهای کوتاه بر اثر نیروهای برشی دچار شکست نشوند، زیرا مقدار جذب انرژی آنها بسیار اندک خواهد بود. بنابراین توصیه می‌شود که دیوارهای برشی کوتاه را برای نیروی جانبی بزرگتری طراحی کرد تا نیاز شکل پذیری آن کاهش یابد. آئین نامه نیوزلند توصیه می‌کند برای اینکه اثر کوتاهی دیوار خیلی تعیین کننده نباشد مقدار بار جانبی دیوارهای معمولی را با ضریب Z_1 افزایش داد که از رابطه زیر محاسبه می‌شود.

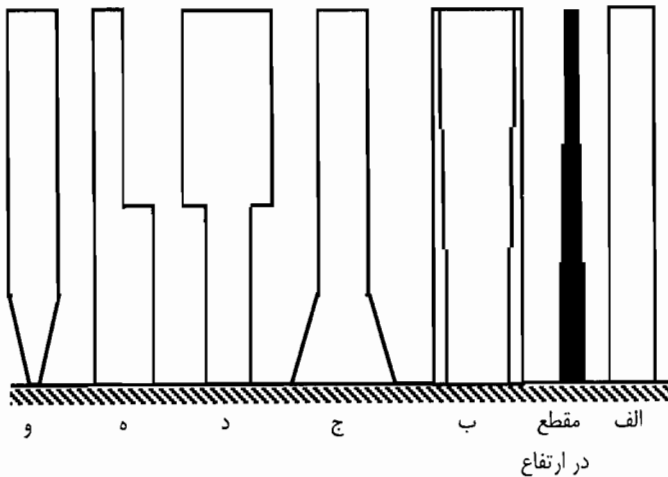
$$1/0 < (Z_1 = (2/5 - 0/5 \frac{h_w}{l_w})) < 2/0 \quad (4-4)$$

از رابطه ۴-۴ مشخص می‌شود که اگر بنا باشد Z_1 در این محدوده بگنجد باید نسبت h_w/l_w همواره از ۳ کمتر باشد. در اکثر موارد مشاهده شده است که این شرط نمی‌تواند مبین خسارت باشد زیرا مقاومت خمشی ذاتی این دیوارها چنین ایجاب می‌کند. چنانچه طول دیوار و عرض بال آن در تمام ارتفاع ثابت باشد، ضخامت آن چه در جان دیوار و چه در بال آن می‌تواند در ارتفاع متغیر باشد. تعیین این تغییرات بستگی به اندرکنش آنها در طبقات دارد. در شکل ۴-۶ این مسئله نشان داده شده است. البته تغییر در ضخامت می‌تواند پله کانی و یا تدریجی باشد. تغییر ناگهانی در ضخامت موجب تغییر ناگهانی در سختی دیوار و در طبقات می‌شود که در شکل ۴-۶ ب تا و چنین است. در این وضعیت تغییر در ضخامت چه بصورت تدریجی و چه بصورت پله ای و در یک مقطع باشد بسیار خطرناک است. در شکل ۴-۶-۵ رفتار دیوار از نقطه نظر سازه‌ای خیلی خوب و مؤثر است.

در هر حال باید دقت کرد که محل تشکیل لولای خمیری در دیوارها کجا باشد، زیرا قدرت جذب انرژی بیشتر و رفتار لرزه ای مناسب دیوار بستگی زیادی به محل تشکیل لولای خمیری دارد. دیوارهای برشی که در ارتفاع باریک می‌شوند ممکن است برای معماران بسیار مطلوب باشد ولی باید دانست که شرط تشکیل لولای خمیری در پای دیوار این است که ارتفاع آن محدود شود.



از طرفی برای مقدار معینی از نیاز شکل پذیری جابجایی، شکل پذیری انحنایی زیادی ایجاد می‌شود که استفاده از این قبیل دیوارها باید به‌همراه قابهای خمشی و شکل پذیر باشد. از این جهت نیز باید لولای خمیری در پای دیوار تشکیل شود.



شکل ۴-۶ - دیوارهای غیریکنواخت در ارتفاع

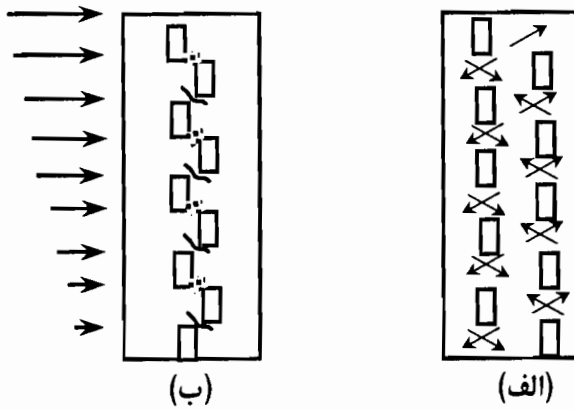
۴-۷-۲- دیوارهای برشی دارای بازشو

در اغلب موارد تعبیه بازشوه‌های منظم برای پنجره یا دربها در دیوارهای برشی اجتناب ناپذیر است. تعیین محل بازشوها باید به نحوی باشد که رفتار سازه ای دیوار برای تحمل بارهای وارده مطلوب باشد. لازم است طراح مطمئن باشد که رفتار کلی و خمشی دیوار با کاهش قابل توجه در سطح مقطع آن دچار مشکل نمی‌شود. همچنین با تعبیه بازشوها نباید به‌هیچ وجه از مقاومت برشی و موردنیاز دیوار کاسته شود زیرا در اینصورت رفتار دیوار ترد شده و قبل از اینکه به حداکثر ظرفیت خمشی خود برسد تحت اثر شکست برشی فرو می‌ریزد.

در برخی از حالات که باید تعبیه بازشوها مطابق شکل ۴-۷-الف باشد، آرایش آنها مرادف با وضع پله‌ها بوده و در یک ردیف نخواهند بود. در چنین وضعیتی بسیار مشکل است که از رفتار خمشی و ظرفیت کافی شکل پذیری دیوار مطمئن بود و بهتر است تا حد امکان از بکارگیری چنین دیوارهایی اجتناب شود یا اینکه بازشوها در یک ردیف تعبیه شوند. از آنجا که فاصله یا فضای بین بازشوه‌های غیر هم راستا بیشتر است، این امر موجب می‌شود که پس از تشکیل ترکهای قطری، به ترتیب فشار و کشش قطری مؤثری مطابق شکل ۴-۷-ب ایجاد گردد. چنانچه این گونه دیوارها



بخوبی فولادگذاری شوند، یعنی آرایش صحیحی داشته باشد در این صورت مقاومت برشی آن تأمین شده و رفتار خمشی آن مطلوب می شود، یعنی اینکه لنگر حداکثر در پای دیوار تشکیل می شود. البته شاید بهترین آرایش فولادگذاری برای تأمین مقاومت برشی، بصورت قطری باشد.



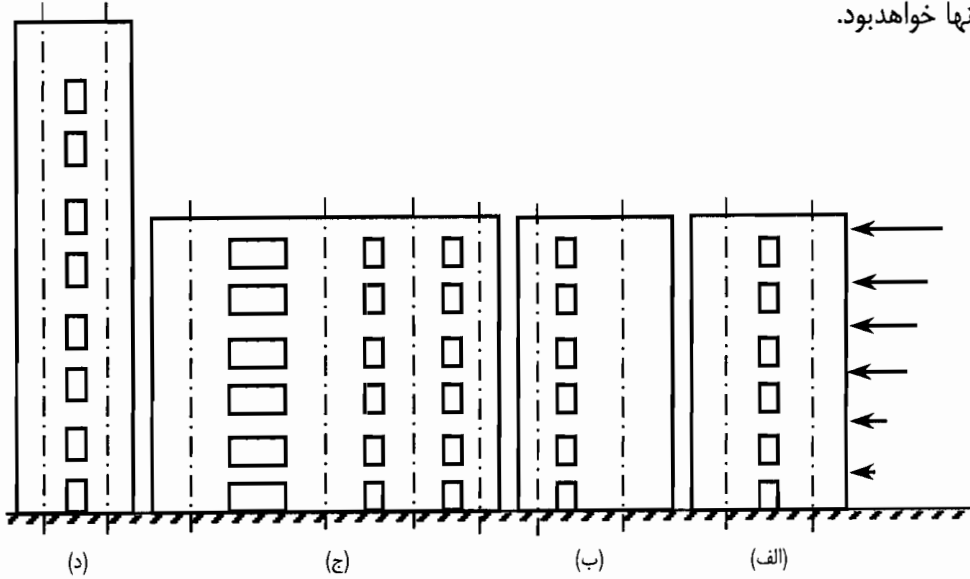
شکل ۴-۷. اثر بازشوها بر روی مقاومت برشی دیوارها

در شکل ۴-۸ انواع مختلف دیوارهای برشی دارای بازشوهای منظم که دارای رفتار شکل پذیر خوبی هستند نشان داده شده است. این قبیل دیوار خاصیت استهلاک انرژی بالایی دارند و توصیه می شود تا حد امکان از این قبیل دیوارها در ساختمانها استفاده شود. در این دیوارها که در واقع مرکب از دو یا چند دیوار که توسط تیرهای رابط بیکدیگر متصل شده اند، مهمترین نقطه ضعف همان تیر رابط است. این تیرهای رابط دارای طولی کوتاه و عمقی زیاد هستند و اگر ضخامت آنها کم باشد تبدیل به تیر عمیق شده که رفتار مناسب و مطلوبی ندارند. تیرهای رابط معمولاً از دیوارها ضعیف تر هستند. بر اثر حرکت جانبی - خمشی دیوارها چرخش قابل ملاحظه‌ای در محل اتصال دیوارها به تیرهای رابط بر تیرها اعمال می گردد و همین چرخش موجب تولید لنگر قابل توجه و نهایتاً جاری شدن مقاطع تیرها می شود. بنابراین برای اینکه این تیرهای رابط بتوانند مقدار قابل توجهی از انرژی زلزله را مستهلک کنند لازم است دارای آرایش مناسبی از فولادگذاری باشند.

در شکل ۴-۸ الف و ۴-۸ ب دو دیوار برشی توسط تیرهای رابط منفرد و در شکل ۴-۸ ج چهار دیوار با تیرهای رابط سه گانه بیکدیگر متصل شده اند. اما در شکل ۴-۸ د تیر رابط فوقانی از



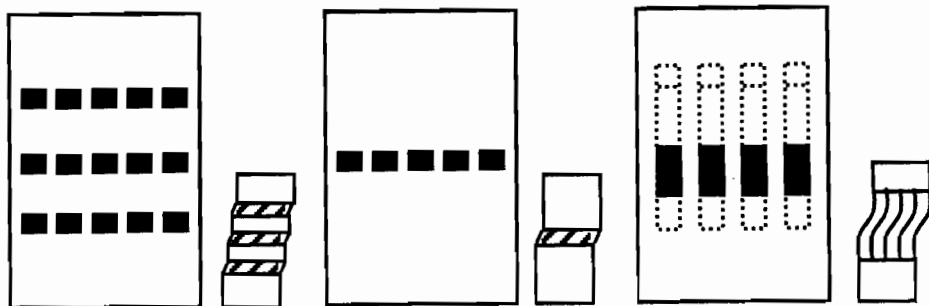
عمق بیشتری برخوردار است که در واقع سختی خیلی زیادی دارد. بی تردید برای جذب انرژی زلزله توسط دیوارهای برشی مزدوج یا دارای بازشو، مسئولیت بسیار زیادی به عهده تیرهای رابط آنها خواهد بود.



شکل ۴-۸ انواع دیوارهای برشی دارای بازشو

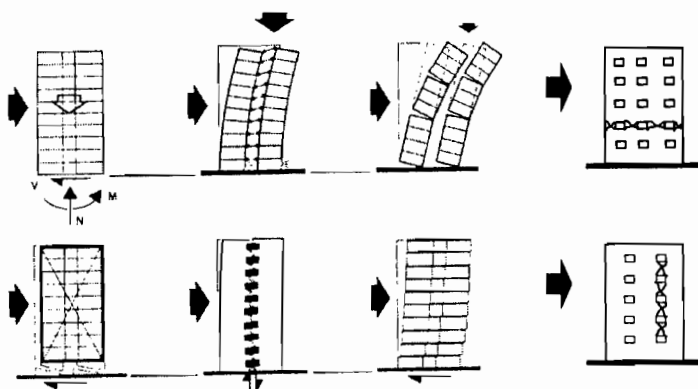
بهمین دلیل تحلیل و طراحی این تیرها از اهمیت بسزایی برخوردار بوده و لازم است دقت لازم برای دستیابی به جزئیات فولادگذاری مناسب بکار برده شود. از طرف دیگر ممکن است در شرایطی تیرهای رابط مانند آنچه که در شکل ۴-۹ آمده است قوی تر و سخت تر از دیوارهای مزدوج از یک مجموعه دیوار برشی باشند، در اینصورت رفتار هر یک از دیوارها یا قسمت هایی از آنها ممکن است وارد محدوده غیرارتجاعی شده در حالیکه تیرهای رابط در محدوده ارتجاعی باقی بمانند. نتیجه چنین وضعی تخریب دیوارها است که شدیداً ظرفیت جذب و استهلاک انرژی آن پائین خواهد بود.

مشاهدات پس از وقوع زلزله و همچنین تحلیل دیوارهای برشی دارای بازشو رفتار و مشکلات فوق را نشان داده اند. باید توجه داشت که در طرح تیرهای رابط، نیاز شکل پذیری بالای آنها همواره مورد توجه باشد چه اگر آنها خیلی سخت و صلب طراحی شوند، (همچنانکه قبلاً بیان شد) شکست قطری دو تیر رابط یا دیوار رخ خواهد داد. نتیجه اینکه در طراحی دیوارهای برشی باید مقاطع خمیری در رفتار خمشی به نحوی پیش بینی گردد که هیچگونه شکست یا تخریب قطری چه در تیرهای رابط و چه در دیوارها اتفاق نیفتد.



شکل ۹-۴- دیوار برشی نامطلوب و دارای بازشو

در شکل ۴-۱۰ سطوح بحرانی در یک دیوار برشی دارای بازشو نشان داده شده است. این سطوح جزرهای بین بازشوها است که موجب شکست برشی دیوار می‌شوند.



شکل ۴-۱۰- سطوح بحرانی در دیوار برشی دارای بازشو

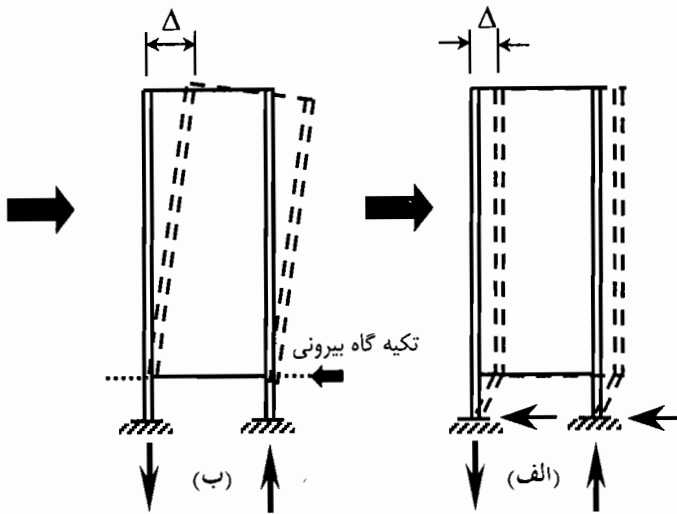
۴-۷-۳- دیوارهای برشی بر روی ستون

گاهی بدلائل نوع ساختمان و شیوه‌های موردنظر در بهره‌برداری از آن موجب می‌شود که پیوستگی دیوار برشی نقض گردد. مانند دیوارهای برشی شکل ۴-۱۱ که بر روی دو ستون در دو انتها تکیه دارند. در این قبیل موارد نقاط بحرانی دارای ضعف شدیدی خواهند بود. زیرا نیروی برشی بسیار بزرگی باید از طریق محل تکیه گاه دیوار به ستونها وارد شود در حالیکه طبقه زیرین



یاهمکف که بدلیل عدم تداوم دیوار به یک طبقه نرم تبدیل شده است، موجب می گردد تا نیاز شکل پذیری ستونها شدیداً افزایش یابد. در این مواقع لنگر واژگونی نیروی محوری شدیدی را بر یک ستون تحمیل خواهد کرد. بنابراین بهتر است از این روش چشم پوشی گردد و بطور جدی مورد استفاده قرار نگیرد.

البته در برخی مواقع می توان به کمک کف های صلب جانبی یا عناصر صلب مشابه در ترازى که ضعف مقاومتی وجود دارد، یک تکیه گاه جانبی بیرونی برای دیوار پیش بینی کرد، که در اینصورت از جابجایی جانبی ستونها در این تراز تا حد قابل قبولی جلوگیری می شود. این روش در شکل ۴-۱۱- ب نشان داده شده است.



شکل ۴-۱۱- دیوارهای برشی بر روی ستون ها

۴-۸- نحوه انتخاب محل دیوار برشی در پلان

هر دیوار برشی ممکن است در اثر نیروهای محوری، دچار جابجایی یا تغییرشکل انتقالی و چرخشی شود. اینکه یک دیوار برشی تا چه میزان و چگونه تحت تأثیر لنگر واژگونی، نیروهای برشی یا پیش قرار گیرد بستگی به شکل هندسی، جهت آن در برابر نیروی زلزله و محل استقرار آن در پلان ساختمان دارد. البته محل استقرار دیوارهای برشی در پلان تابعی از طرح معماری و نحوه بهره برداری از ساختمان است و این مسئله ممکن است از نقطه نظر سازه‌ای مطلوب باشد یا نباشد. به یقین اگر خواست های کارفرما یا اصرار معمار در طرح معماری موجب شود تا موقعیت



دیوارهای برشی تطبیق خوبی با شرایط لازم برای طراحی مناسب لرزه ای فراهم نسازد، کار طرح سازه‌ای پیچیده و مشکل خواهد شد.

از نکات دیگر ولی مهم اینکه رفتار دیوارهای برشی تحت اثر نیروهای جانبی ناشی از باد معمولاً در قلمرو ارتجاعی باقی خواهد ماند. در حالیکه اگر ساختمان تحت اثر زلزله واقع شود و بویژه شدت زلزله زیاد باشد، رفتار دیوار وارد محدوده غیرارتجاعی خواهد شد.

در میان نکات بسیار مهمی که از نظر سازه ای رعایت آنها الزامی است، باید به موارد ذیل اشاره کرد:

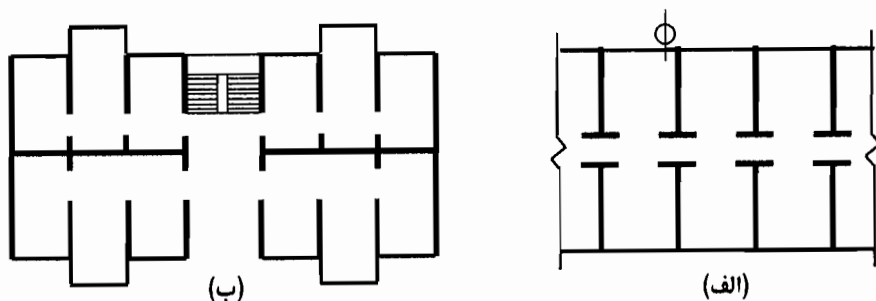
الف - برای دیوارهای منفرد، تأمین تقارن در سختی، پایداری پیچشی و ظرفیت مناسب و خوب شالوده اهمیت زیاد دارد.

ب - توزیع یکنواخت تغییر شکل‌های غیرارتجاعی در تمان سطح پلان ساختمان در نظر گرفته شود.

ج - از تمرکز تغییرشکل غیرارتجاعی در نقاط یا محلهای خاصی از پلان ساختمان که موجب تمرکز تغییرشکل غیرارتجاعی برای برخی از دیوارها می شود، باید احتراز کرد. زیرا درغیر اینصورت ممکن است برخی از دیوارها در محدوده ارتجاعی بمانند در حالیکه نیاز شکل پذیری برخی دیگر خیلی زیاد می شود.

اگر مانند برخی از ساختمانها مثل ساختمانهای اداری، هتل ها و آپارتمانها پلان آنها در تمام طبقات یکسان باشد یا بسیار نزدیک بیکدیگر باشند می توان از تعداد قابل توجهی دیوار برشی برای تحمل بارهای جانبی ناشی از زلزله و حتی بارهای ثقلی استفاده کرد. در شکل ۴-۱۲ پلان دو نمونه از این قبیل ساختمانها مشاهده می شود که تعداد دیوارها در جهت y بسیار زیاد بوده و این مسئله موجب می شود تا سهم هر دیوار در تحمل بارهای جانبی اندک باشد. مقاومت لرزه‌ای ساختمان در جهت x برای شکل ۴-۱۲ الف بدلیل وجود تعداد زیادی باز شو کم است اما در شکل ۴-۱۲ ب در جهت y دیوارهای میانی به تعداد زیاد ولی منقطع بوده در حالیکه دو دیوار انتهایی دارای طول نسبتاً زیاد بوده که بیشترین مقاومت و سختی را بخود اختصاص داده اند و همین مسئله موجب می شود که توزیع سختی در پلان یکنواخت باشد.

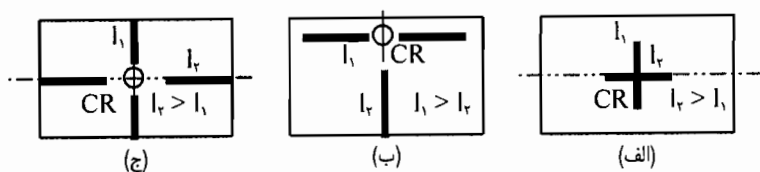
اگر در یک پلان خواص مهندسی دیوارها تقریباً مشابه باشند، میزان تأثیر زلزله را بر دیوارها می توان با نسبت مجموع مقاطع دیوارها در یک جهت به کل سطح داخلی پلان ساختمان تعریف کرد.



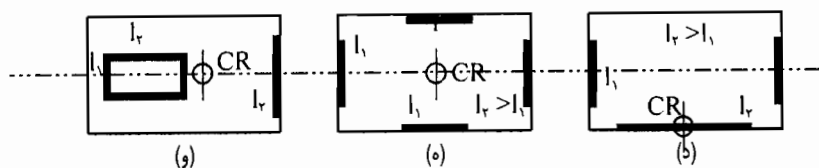
شکل ۴-۱۲- استقرار دیوارهای برشی در دو نوع ساختمان

۴-۹- پایداری پیچشی

پایداری پیچشی در دیوارهای برشی نیز بستگی به نحوه استقرار آنها در پلان دارد. اگر حالت‌های مختلف استقرار دیوارهای برشی در شکل ۴-۱۳ را مورد ارزیابی قرار دهیم متوجه می‌شویم که چنانچه مقاومت جانبی هر یک از دیوارهای سیستم الف، ب، ج در جهت محورضعیفشان کافی باشد، هر یک از سیستم‌های فوق از پایداری پیچشی خوبی برخوردار خواهند بود اما از آنجا که چنین وضعی وجود ندارد پایداری پیچشی این سه سیستم مناسب نیست.



سیستم ناپایدار



سیستم پایدار

شکل ۴-۱۳- مثالهایی از سیستم پیچشی پایدار و ناپایدار [۷]



ممکن است نتیجه محاسبات نشان دهد که در دو سیستم الف و ج خروج از مرکزیت نیروهای اینرسی وجود نداشته باشد ولی بر اثر عواملی مانند حرکت پیچشی زمین، عدم تطبیق سختی پیچشی دیوارها بامقادیر محاسبه شده و کاهش سختی در زمان وقوع زلزله هنگامی که رفتار آنها وارد مرحله غیرارتجاعی می‌شوند، لازم باشد ساختمان را برای پیچش مقاوم کرد. از اینرو آئین‌نامه‌های مختلف مقدار خروج از مرکزیت تصادفی برای این قبیل ساختمانها در نظر می‌گیرند. اما سه سیستم د، ه، و شکل ۴-۱۳، به دلیل آرایش مناسب هندسی دیوارها از مقاومت نسبتاً خوبی در مقابل پیچش برخوردار هستند. در سیستم ه خروج از مرکزیت قابل توجهی وجود دارد. لیکن به دلیل وجود هسته جعبه‌ای شکل مقاومت پیچشی خوبی را از خود نشان می‌دهد.

در مجموع برای دو سیستم د، و شکل ۴-۱۳ به دلیل خروج از مرکزیت لازم است از حضور قابها در مقاومت پیچشی و لرزه‌ای ساختمان استفاده کرد تا بتوان گفت که مجموعه عناصر سازه‌ای می‌توانند ساختمان شکل پذیری را در مقابل زلزله بسازند. علاوه بر مباحث فوق لازم است موارد زیر نیز به منظور انتخاب بهترین محل برای دیوارها مورد توجه و رعایت قرار گیرد.

- ۱- بمنظور تأمین مقاومت پیچشی خوب برای ساختمان، تا آنجا که ممکن است دیوارهای برشی در محیط پلان تعبیه شوند. این دیوارها می‌توانند به صورت منفرد یا مزدوج باشند.
- ۲- نیروهای ثقلی بیشتری را می‌توان از طریق دیوار به شالوده منتقل ساخت، درچنین وضعیتی نیاز به فولادگذاری خمشی زیاد، کاهش می‌یابد و هم چنین شالوده قادر خواهد بود لنگر واژگونی ناشی از دیوار را بخوبی تحمل کند.
- ۳- چنانچه در مناطق با خطر نسبی بالا یا زلزله خیزی شدید، در ساختمانهای بلند از یک یا دو دیوار برشی استفاده شود، نیروهای زلزله در این دیوارها متمرکز شده که موجب می‌شود نیروی بسیار زیادی به شالوده ساختمان منتقل گردد که دراین صورت باید شالوده ای وسیع و ویژه برای مقاومت در برابر زلزله پیش بینی گردد.

۴-۱۰- نحوه شکست دیوارهای برشی

در پی مشاهدات انجام شده از تخریب ساختمانهای دارای دیوارهای برشی، در زلزله‌های گذشته مشخص شده است که دیوارهای برشی غالباً تحت اثر چهار نوع ضعف دچار تخریب شده‌اند. بنابر مشاهدات و مبتنی بر توصیه‌های اکید بسیاری از آئین‌نامه‌ها و توصیه اکثر طراحان باید حالت‌های



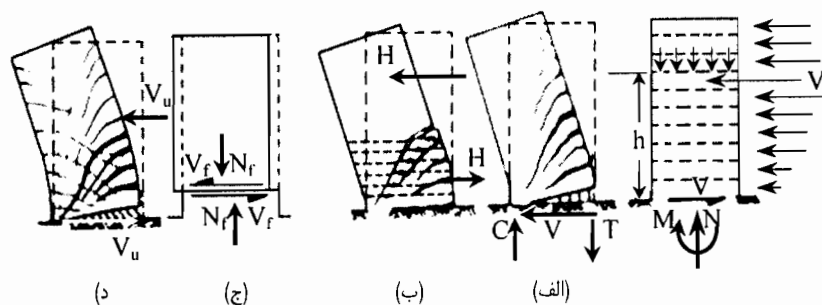
شکست را شناسایی کرده و برای جلوگیری از آن در فرآیند طراحی و ساخت و ساز، تمهیدات لازم اندیشیده شود. بطور کلی حالت‌های تخریب برای اینگونه دیوارها را می‌توان چنین برشمرد:

الف - تخریب خمشی

ب - تخریب برشی

ج - تخریب لغزندگی

د - تخریب، چرخش پایه یا شالوده



شکل ۴-۱۴- انواع تخریب‌های متداول در دیوارهای برشی
الف - تخریب خمشی ب - تخریب برشی ج - تخریب لغزندگی د - تخریب، چرخش پایه یا شالوده

در تخریب خمشی، مفصل یا لولای خمیری در پای دیوار تشکیل می‌شود، که این مقاطع محل حداکثر نیروی برشی نیز می‌باشد. با مطالعات عدیده مشخص شده است که منطقه اصلی مفصل خمیری در ارتفاعی می‌باشد که به آن طول لولای خمیری می‌گویند و در روابط ۴-۱۶ و ۴-۱۷ مقدار آن داده شده است. برای کنترل برش طول این ناحیه را معمولاً بین یک تا یک و نیم برابر طول دیوار در نظر می‌گیرند. این منطقه از دیوار بایستی بخوبی فولادگذاری شود و بقدر کافی فولادهای برشی نیز در آن تعبیه گردد.

۴-۱۰-۱- تخریب ناشی از برش

تخریب ناشی از برش در دیوارهای برشی در منطقه مفصل خمیری اتفاق می‌افتد. در این منطقه ترکهای ناشی از خمش رشد کافی یافته، هم در ضخامت و هم در طول بزرگتر شده و سپس با ترکهای ناشی از کشش قطری یعنی تنشهای کششی اصلی حاصل از برش ترکیب شده و پس از چند تناوب، بتن قادر به تحمل برش نبوده و تنها فولادهایی که بصورت افقی تعبیه شده باشند



می توانند در مقابل برش مقاومت نمایند. از اینرو باید دانست که دیوار برشی که برای تحمل لنگر خمشی طراحی شده است در حالت شدید و بحرانی دچار تنشهای حاکم برشی شده و رفتار آن در منطقه لولای خمیری تابع نیروی برشی خواهد شد. البته لازم به یادآوری است که اگر فولادهای افقی بقدر کافی در مقطع تعبیه شده باشند، تخریب قطری فشاری در مقطع اتفاق خواهد افتاد و در صورت عکس این مطلب تخریب بصورت قطری کششی خواهد بود. مقاومت برشی در واقع ترکیبی از مقاومت برش بتن و فولادهای افقی است که بر اثر تناوب در اعمال بارهای جانبی بتدریج از مقاومت برشی بتن کاسته می شود تا جائیکه تنها فولادهای افقی وظیفه تحمل تنشهای برشی را خواهند داشت. همانطور که مشخص است بایستی از تخریب برشی دیوارها و کلیه مقاطع جلوگیری بعمل آورد ولی از طرفی در حالت نهائی، حداکثر ظرفیت خمشی دیوار در مقطع پای دیوار است و در همین مقطع نیروی برشی حداکثر نیز اثر می کند که این نیروی برشی تابعی است از ارتفاع نقطه اثر برآیند نیروهای جانبی. در آئین نامه ها تغییرات شتاب طبقات را بصورت خطی در نظر می گیرند که البته شتاب طبقات برحسب ارتفاع آنها تا پای دیوار (ساختمان) در نظر گرفته می شود و بهمین دلیل توزیع نیروهای جانبی را معمولاً بصورت خطی و مثلثی می گیرند. بدیهی است که برای روشهای استاتیکی معادل همین نوع تغییرات شتاب را که شکل توزیع نیروهای جانبی در مود اصلی ارتعاش است توصیه می کنند و محل اثر برآیندها در $2/3$ ارتفاع است. از طرفی دیگر تحلیل دینامیکی در منطقه خمیری نشان می دهد که در اثر ترکیب مودهای مختلف محل اثر برآیند نیروهای جانبی در ارتفاعی بمراتب کمتر از $2/3$ ارتفاع خواهد بود. بنابراین اگر ظرفیت کامل خمشی در مقطع پای دیوار در حالت نهائی مدنظر باشد، مقدار نیروی برشی نظیر آن بدلیل کاهش در بازوی لنگر خیلی بیشتر از مقادیر محاسبه شده می شود.

۴-۱۰-۲- تخریب برشی در لغزش

در اینگونه تخریب دیوار در جهت طول خود یعنی در جهت افقی دچار حرکت می شود. برای جلوگیری از این حرکت لازم است با تعبیه فولادهای قائم در دیوار و فونداسیون چاره اندیشی کرد. البته علاوه بر این فولادها بایستی از فولادهای قطری نیز بهره جست. این قبیل تخریب در محل درزهای اجرائی نیز اتفاق می افتد.

در بررسیهایی که از ساختمانهای تخریب شده در اثر زلزله بعمل آمده است، این قبیل تخریب ها



شناسائی شده است. همانگونه که اشاره شد این نوع تخریب‌ها در محل درزه‌های اجرائی نیز اتفاق می‌افتد که می‌تواند ناشی از اشکالات عمده اجرائی، از قبیل عدم رعایت سطح مضرس بتن روز قبل برای حصول چسبندگی بیشتر با بتن روز بعد، عدم وجود آرماتورهای دوخت، عدم تجانس بتن دو مرحله قبل و بعد و این قبیل مشکلات، باشد. بهر حال بیشترین حالتی که ممکن است دیوار برشی دچار چنین تخریبی شود، کم بودن نیروهای ثقلی منتقل شده به دیوار است که پایداری آنرا افزایش نداده باشد. مطالعه در برش لغزشی و در مراحل ارتجاعی - غیرارتجاعی و غیرارتجاعی نشان داده است که در اثر بارهای تناوبی، مقاومت و سختی دیوار بشدت کاهش یافته و از قدرت جذب انرژی دیوار بطرز فاحشی کاسته می‌شود [۷، ۳۶، ۲۶ و ۳۰].

۴-۱۰-۳- تخریب ناشی از چرخش شالوده

در شکل ۴-۱۵ منحنی هیستریزیس مربوط به رابطه بار-خیز دیوار برشی از یک ساختمان بلند چندطبقه آمده است که در آن بلند شدن فونداسیون نشان داده شده است. در این منحنی رفتار مربوط به بارگذاری و حذف بار تقریباً مشابه هستند و بهمین دلیل قدرت استهلاک انرژی بسیار کم می‌باشد. در چنین حالتی باید در طرح اولیه تجدیدنظر شود و ابعاد دیوار و یا کل سازه و توزیع دیوارهای برشی در آن، مورد بررسی مجدد واقع گردد. زیرا اینگونه تخریب خود می‌تواند، خرابیهای دیگری را موجب شود.

مقدار نشست ناهمگون پی که خود موجب دوران می‌شود در تحلیل دیوار اثر قابل توجهی دارد. از طرفی این پدیده رابطه مستقیمی با درجه گیرداری دیوار به شالوده دارد. چنانچه لنگر اعمالی در پای دیوار (و در قابها در پای ستونها) برابر با لنگر مقاومتی ناشی از پی و پای دیوار باشد می‌گویند که اتصال دیوار به شالوده گیردار یا صلب است. به عبارت ساده تر نسبت لنگر اعمالی به لنگر مقاومتی را درجه گیرداری دیوار به شالوده تعریف می‌کنند. چنانچه پی به هر دلیلی دوران یابد مقدار لنگر مقاومتی بهمان میزان کاهش خواهد یافت. یعنی اینکه لنگر دورانی در پی ضریبی از لنگر اعمالی است.

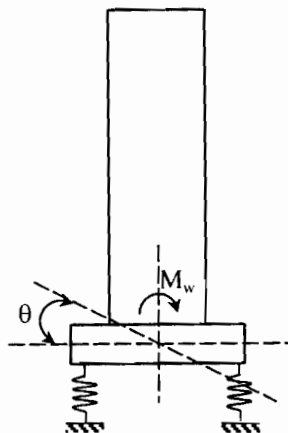
با رجوع به شکل ۴-۱۵ الف دوران پی را با تعبیه دو فنر خطی در دو انتهای زیرشالوده مدلسازی می‌کنند. چنانچه لنگر اعمالی در تکیه گاه برابر با M و لنگر مقاومتی در پای دیوار (یا پای ستون) برابر با M_w باشد مقدار لنگر نظیر دوران θ برابر با تفاصل این دو لنگر خواهد بود. یعنی خواهیم داشت:

$$M = M_w + M_B \quad (۴-۵)$$

که M_B همان لنگر نظیر دوران پی است و برابر است با:

$$M_B = K_b \cdot \theta \quad (۴-۶)$$

در این رابطه θ مقدار دوران پی و K_b سختی پیچشی در تکیه گاه یا شالوده تعریف می شود.



شکل ۴-۱۵- رابطه بار- تغییر مکان برای دیواری که شالوده آن دوران یافته

۴-۱۱- مقاومت خمشی دیوارهای سازه‌ای

چنانچه نسبت ارتفاع دیوار به طول افقی آن بیش از ۲ باشد، رفتار خمشی بر دیوار حاکم می شود. البته باید از مقاومت برشی دیوار تا حد لزوم اطمینان داشت. بنابراین می توان قواعد مربوط به محاسبه مقاومت خمشی تیرهای بتن مسلح را برای دیوارها نیز بکار گرفت. برای اینکار معمولاً فولادهای اصلی خمشی را در دو انتهای طول دیوار تعبیه می کنند. از آنجا که مقاومت دیوار تحت تأثیر شکل مقطع واقع می شود این مطلب را برای مقاطع مستطیلی و غیر آن بطور جداگانه مطرح می کنیم.

الف - مقطع مستطیلی

در سال ۱۹۷۳ هاگنستاد، کاردنس، هانسن و کوربی رابطه‌ای برای مقاومت خمشی - نهایی دیوار برشی با مقطع مستطیلی به صورت رابطه ۴-۷ ارائه کرده‌اند [۲۶ و ۷].

$$M_u = \frac{1}{4} A_s f_y \ell_w \left(1 + \frac{N_u}{A_s f_y} \right) \left(1 - \frac{x}{\ell_w} \right) \quad (۴-۷)$$



این رابطه برای کلیه دیمانسیون های هماهنگ صدق می کند و مقدار $\frac{x}{\ell_w}$ بصورت زیر تعریف شده است:

$$\frac{x}{\ell_w} = \frac{\alpha + \beta}{2\beta + 0.85\beta_1} \quad (۸-۴)$$

در حالیکه مقدار α و β از روابط زیر محاسبه می شوند:

$$\alpha = \frac{1/2 A_s f_y}{t_w \ell_w f_{cu}} = \frac{A_s f_y}{t_w \ell_w f_c} \quad (۹-۴)$$

$$\beta = \frac{1/2 N_u}{t_w \ell_w f_{cu}} = \frac{N_u}{t_w \ell_w f_c} \quad (۱۰-۴)$$

در این روابط f_{cu} و f_c مربوط به مقاومت نمونه استوانه ای و مکعبی بتن است و فرض شده است که مقاومت نمونه مکعبی بیست درصد بیشتر از مقاومت نمونه استوانه ای است.

$$f_{cu} = 1/2 f_c$$

و عوامل دیگر عبارتند از:

$$M_u = \text{لنگر مقاومت نهایی (N-mm)}$$

$$N_u = \text{نیروی محوری نهایی و نوع فشاری آن مثبت فرض می شود (N)}$$

$$A_s = \text{مجموع سطوح فولادهای قائم (mm}^2\text{)}$$

$$f_y = \text{مقاومت جاری شدن فولادها (Mpa)}$$

$$\ell_w = \text{طول افقی دیوار برشی (mm)}$$

$$t_w = \text{ضخامت دیوار برشی (mm)}$$

$$x = \text{فاصله دورترین تار فشاری تا محور خنثی مقطع یا عمق محور خنثی (mm)}$$

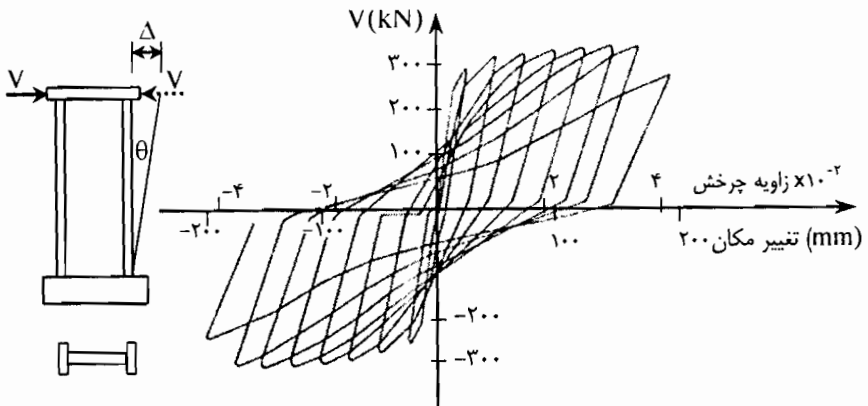
$$\beta_1 = \text{بر مبنای مقادیر ارائه شده در جدول ۳-۱ محاسبه شود.}$$

ب - مقطع غیرمستطیل (مقطع بالدار)

اثر بالها شبیه آنچه که در مورد تیرها است، موجب افزایش سطح تحت فشار و پایداری دیوار می شود. اگر مقدار بار محوری خیلی زیاد باشد تمام بال و بخشی از جان ممکن است تحت فشار قرار گیرند که در این صورت طراحی قسمت تحت فشار مثل طراحی ستونها خواهد بود.



بطور معمول مقدار نیروی محوری در اثر بارهای قائم کمتر از مقدار مربوط به حد تخریب در تعادل می باشد. علاوه اینکه، دیوارها بصورت متناوب دارای فولادهای فشاری قابل توجهی می باشند، بنابراین فولادهایی که در کشش قرار می گیرند، در مرحله نهائی به حد جاری شدن خواهند رسید که نتیجه این امر دیوار دارای نرمی زیاد بوده و افزایش ظرفیت در جذب انرژی خواهد داشت. بطوریکه در شکل ۴-۱۶ مشاهده می شود رابطه بار- تغییر مکان (خیز) دیواری که دارای تخریب خمشی است، نشان داده شده است. همچنانکه از شکل ۴-۱۶ بر می آید رفتار نرم دیوار و قدرت جذب انرژی آن مشخص است. در هر حال با افزایش نیروی محوری بنحوی که مقدار آن قابل توجه شود، محور خمشی بسمت تارهای کششی حرکت خواهد کرد. این مسئله موجب افزایش کرنش فشاری و در نتیجه کاهش نرمی در مقطع دیوار خواهد شد. حال اگر بتن در قسمت فشاری نگهداشته شود یا محصور شود نرمی در حد قابل قبولی تأمین خواهد شد، البته این مسائل برای مقاطعی که دارای جان و بال هستند کمتر صدق می کند و در آن حالت به نرمی قابل قبولی خواهیم رسید. به عبارت دیگر سهم نیروی محوری در تحمل لنگر واژگونی M_{ot} ، ۳۳٪ تا ۶۶٪ خواهد بود. این سهم به مقدار a بستگی دارد و a به تناسب سختی دو دیوار (۱) و (۲) بستگی دارد. بنابراین در تعبیه بازشوها باید به این نکته توجه داشت که رفتار خمشی مجموعه‌ای یک دیوار برشی دارای بازشو شبیه دیوار برشی بدون بازشو است.



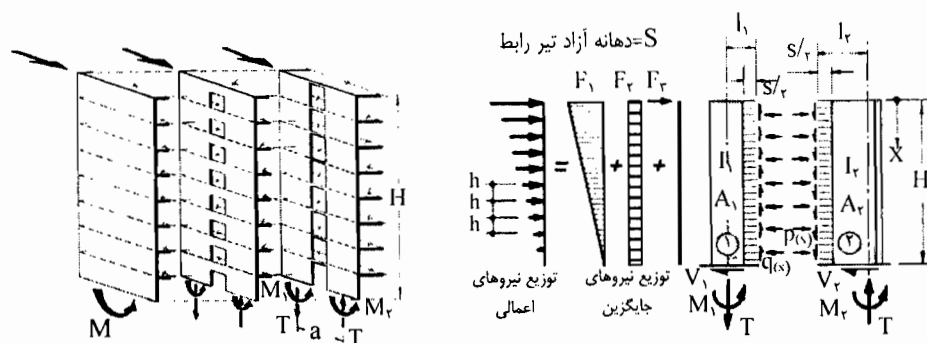
شکل ۴-۱۶- رفتار خمشی یک دیوار برشی بالدار



ج - دیوار دارای بازشو

آنچه که در شکل ۴-۱۷ آمده است اثر بار جانبی متمرکز در بالای دیوار را به همراه عکس العمل‌های آن نشان می‌دهد. در مورد دیواری که بازشو دارد، این نیروی جانبی موجب می‌شود تا لنگر واژگونی M_{ot} توسط دو دیوار (۱) و (۲) مقاومت گردد. فرض می‌کنیم که قسمت بازشو نقشی در تحمل این لنگر ندارد و دو دیوار (۱) و (۲) باید در مقابل این لنگر ایستادگی کامل داشته باشند. بنابراین مقدار لنگر واژگونی برابر است با:

$$M_{ot} = M_1 + M_2 + T.a \quad (۱۱-۴)$$



شکل ۴-۱۷ - ساز و کار مقاومت خمشی دیوارهای برشی

نیروی T در این دو دیوار یکی به صورت فشاری و دیگری بصورت کششی ایجاد می‌شود و به تناسب سختی و ابعاد این دو دیوار که به فاصله a از یکدیگر قرار دارند، بستگی دارد. در هر ترازی مقدار نیروی محوری برابر است با مجموع برش تیرهای رابط بالاتر از آن تراز که به سختی و مقاومت تیرهای رابط بستگی دارد. از طرفی دیگر سهم نیروی محوری T در مقابله با لنگر خمشی یا لنگر واژگونی M_{ot} را با نسبت $T.a$ به M_{ot} بیان می‌کنند که آنرا با η_w نشان می‌دهیم. بنابراین سهم نیروی محوری در تحمل لنگر واژگونی برابر است با:

$$\eta_w = \left(\frac{T.a}{M_{ot}} \right) \quad (۱۲-۴)$$

آئین نامه نیوزلند [۳۳] مقدار η_w را در رفتار دیوار مؤثر می‌داند و ضریب رفتار یا ضریب کاهش نیرو را برای دیوارهای برشی از رابطه ۴-۱۳ بدست می‌دهد.

$$R_w = 3\eta_w + 4 \quad (۱۳-۴)$$



از طرفی مقدار R_w را برای دیوار طره ای قائم و لاغر (بلند)، از رابطه ۴-۱۴ ارائه می کند:

$$5 \geq R_w \geq 6 \quad (4-14)$$

از مقایسه دو رابطه ۴-۱۳ و ۴-۱۴ در می یابیم که:

$$\frac{2}{3} \geq \eta_w \geq \frac{1}{3} \quad (4-15)$$

۴-۱۲- طول لولای خمیری

برای محاسبه شکل پذیری دیوارهای برشی لازم است طول بحرانی یا طول لولای خمیری که در پای دیوار تشکیل می شود معلوم باشد. باید دانست که تعیین طول لولای خمیری در دیوارها مانند تیرها یا ستونها چندان ساده نیست زیرا در همان طولی که جاری شدن فولادهای خمشی رخ می دهد نیروهای برشی و نیروهای محوری حضور دارند. اما برای ساده کردن این محاسبه پاولوی و پریسلی در سال ۱۹۹۲ رابطه ای پیشنهاد کرده اند [۷] که طول لولای خمیری را بدست می دهد.

$$0.3 \ell_w < \ell_p = 0.2 \ell_w + 0.44 h_w < 0.8 \ell_w \quad (4-16)$$

در این رابطه ℓ_w طول دیوار و h_w ارتفاع آزاد دیوار و ℓ_p طول لولای خمیری در پای دیوار است که از پایه به سمت بالا اندازه گرفته می شود.

چنانچه طول دیوار از ارتفاع نخستین طبقه (h_1) به اندازه $h_1/6 > \ell_w$ باشد. در رابطه ۱۵ به جای ℓ_w باید مقدار $h_1/6$ را جایگزین کرد. یعنی خواهیم داشت:

$$0.48 h_1 < \ell_p = 0.32 h_1 + 0.44 h_w < 1.28 h_1 \quad (4-17)$$

همانگونه که اشاره شد حضور نیروی برشی بسیار زیاد در پای دیوار مشکلاتی در محل تشکیل لولای خمیری بوجود می آورد که برای مقابله با آن باید بقدر کافی دیوار را در این محدوده برای تحمل برش مقاوم کرد. در بحث مقاومت برشی دیوارها این تمهیدات اشاره شده است.

۴-۱۳- مقاومت برشی دیوارهای سازه ای

مقاومت برشی دیوارهای سازه ای باید بقدری باشد که مانع از تحقق رفتار شکل پذیر دیوار و مقاومت خمشی آن در حدی که مورد نیاز است نشود. بنابراین لازم است مقاومت برشی بقدری



تأمین گردد که اگر شدیدترین زلزله به سازه وارد شد، پاسخ لرزه‌ای دیوار تضمین کننده استهلاک انرژی و جاری شدن خمشی آن باشد.

در یک مقایسه ساده بین تیرها و دیوارهای برشی، می‌توان نتیجه گرفت که با توجه به تأثیر خواص مهندسی مصالح، دیوارها پدیده‌های رفتاری نامشخص دارند. بویژه رفتار لرزه‌ای در مودهای دوم و به بالا موجب بهم ریختگی در توزیع نیروی ناشی از زلزله بر دیوار می‌شود که فرضیات متداول و مندرج در آئین نامه را تحت الشعاع قرار می‌دهد.

گفته می‌شود که بر اثر تحریک دینامیکی دیوارها مقدار نیروی برشی یا برش پایه افزایش خواهد یافت. مقدار این افزایش در اثر مقاومت افزون دیوار و تحریک دینامیکی آن بصورت اعمال ضریب افزایش در نظر گرفته می‌شود. این پدیده موجب می‌شود که توزیع نیروی جانبی شبیه شکل مودی دیوار باشد. از آنجا که غالباً مود دوم و سوم متناظر با رفتار غیرارتجاعی دیوار است نتیجه می‌گیریم که لولای خمیری در مودهای دوم به بعد نیز در پای دیوار تشکیل می‌شود، زیرا مقاومت دیوار در مودهای دوم به بعد یعنی هنگامی که رفتارش وارد قلمرو غیرارتجاعی شده است، کمتر از مقاومت مربوط به پاسخ ارتجاعی آن است.

ضریب افزایش نیروی برش پایه را ضریب بزرگنمایی برش دینامیکی نیز می‌گویند [۷] و مقدار آن برابر است با:

$$w = 0.9 + \frac{n}{10} \quad \text{الف - برای ساختمانهای تا ۶ طبقه}$$

$$w = 1.3 + \frac{n}{30} \quad \text{ب - برای ساختمانهای بیش از ۶ طبقه}$$

$n =$ تعداد طبقات ساختمان است.

محققین نشان داده اند که ضریب بزرگنمایی برش دینامیکی می‌تواند تابعی از شتاب زمین باشد [۷ و ۳۸]، این موضوع نیاز به بررسی و پژوهش بیشتری دارد، لیکن روشن می‌سازد که برای دستیابی به رفتار خمشی و مطلوب دیوارها لازم است مقاومت برشی آنها بخوبی و بقدر کافی تأمین شود.

در هر صورت باید مقاومت برشی دیوارهای سازه‌ای بیش از نیروی برشی نهایی باشد که از تحلیل بدست می‌آید. آئین‌نامه بتن ایران (آبا) به جای ضریب بزرگنمایی از ضریبی بنام ضریب اصلاح سخن می‌گوید، یعنی اینکه باید نیروی برشی که از تحلیل بدست می‌آید مساوی یا کمتر از 0.7 مقاومت برشی باشد، به عبارت دیگر لازم است مقاومت برشی بزرگتر یا مساوی $1/43$ برابر نیروی برشی باشد که از تحلیل بدست می‌آید.



اگر V_u نیروی برشی بدست آمده از تحلیل باشد و V_r مقاومت برشی دیوار باشد بر طبق آبا باید داشته باشیم:

$$V_u \leq 0.7V_r \quad (18-4)$$

و یا اینکه

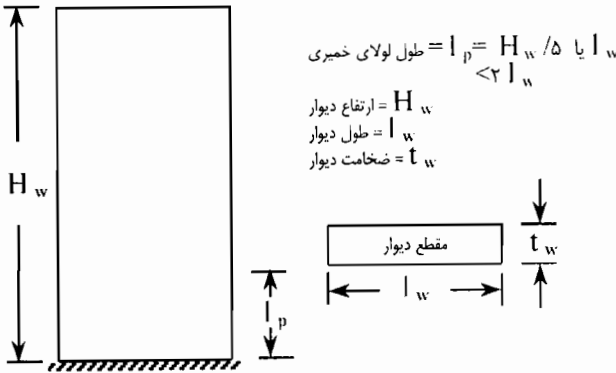
$$1/43 V_u \leq V_r \quad (19-4)$$

لازم به ذکر است که مقاومت برشی دیوارهای سازه‌ای نتیجه مقاومت بتن و آرماتورها است. اما مقاومت برشی بتن همیشه در مقاومت برشی دیوار مشارکت ندارد بلکه تحت شرایطی که ذیلاً آورده می‌شود سهم هر یک از دو عنصر بتن و میلگردها معلوم می‌گردد. قبل از اینکه این سهم‌بندی مشخص شود لازم است به مطلب مهمی در طرح لرزه‌ای دیوارهای سازه‌ای توجه کنیم و آن اینکه دو نکته مهم موجب می‌شود که طراحی مقاومت برشی دیوارها به دو قسم منفک شود نکته اول اینکه لولای خمیری چه ظرفیت برشی دارد و دوم اینکه در مقاطعی که لولای خمیری تشکیل نشده است آیا ضابط و ویژه‌ای باید حاکم شود؟ برای پاسخ به این سؤالها دو منطقه بشرح زیر برای طراحی برش در نظر می‌گیریم.

الف- در محل لولای خمیری که معمولاً در پای دیوار تشکیل می‌شود و باید دارای رفتار شکل‌پذیر باشد.

ب- در مقاطعی که لولای خمیری وجود ندارد.

قبلاً در مورد طول لولای خمیری و محل آن بحث کردیم و مشخص شد که در دیوارهای سازه‌ای منطقه تشکیل لولای خمیری در رفتار لرزه‌ای آن نقش تعیین‌کننده‌ای دارد. از این جهت لازم است وضعیت مقاومت برشی در این ناحیه مورد ارزیابی قرار گیرد. از آنجا که فولادهای قائم در محل لولای خمیری به حد جاری شدن می‌رسند و ممکن است محل جاری شدن فولادها در یک مقطع یا محل مشخص نباشد باید برای لولای خمیری محدوده مناسبی بنام منطقه لولای خمیری در نظر گرفت. معمولاً محدوده این منطقه برابر با طول دیوار l_w یا یک پنجم ارتفاع دیوار $(\frac{h_w}{5})$ است. ولی در هر صورت نباید از دو برابر طول دیوار $(2l_w)$ بیشتر باشد [۷].



شکل ۴-۱۸- محدوده لولای خمیری در دیوارهای سازه‌ای

در هر صورت مقدار مقاومت برشی دیوار در محل لولای خمیری یا در منطقه لولای خمیری تحت اثر جاری شدن فولادهای قائم که در بارهای متناوب رخ می دهد قرار دارد. مقاومت برشی توسط بتن و فولادهای افقی تأمین می شود. اگر بخواهیم سهم بتن و فولادهای افقی را در مقاومت برشی دیوار تعیین کنیم باید به نکاتی به شرح زیر توجه شود. بر طبق نظر ACI ۳۱۸-۹۸ [۱۱] سهم بتن چنین است:

۱- چنانچه تنش فشاری محوری در مقطع مورد نظر که در آن لولای خمیری تشکیل شده است کمتر از $0.2f_c$ باشد از سهم بتن در مقاومت برشی باید صرف نظر کرد. اما باید دانست که در چنین وضعیتی ممکن است ترکیب ناخوشایند شتاب افقی و قائم زلزله اثر نامطلوبی بر رفتار دیوار بگذارد.

۲- اما اگر مقدار تنش فشاری محوری در مقطع بیشتر از $0.2f_c$ باشد می توان سهم بتن را در تحمل برش در نظر گرفت. در اینصورت حضور نیروی محوری فشاری که همزمان با نیروی برشی اثر می کند، باید ملحوظ شود.

آئین نامه بتن ایران تنها زمانی که مقطع تحت اثر برش، خمش و کشش محوری قابل ملاحظه قرار گرفته باشد سهم بتن را نادیده می گیرد و حتی موضوع را بصورت کمی روشن نکرده است. اما در جائیکه می خواهد سهم بتن را تعیین کند از طریق رابطه محاسباتی اثر نیروی کشش محوری را منفی می گیرد که بعداً راجع به آن صحبت خواهیم کرد.



در هر حال با توجه به شرایط خاص بارگذاری سهم هر یک از دو عنصر بتن و آرماتورها معلوم خواهد شد. این آئین نامه برای ساختمانهای با شکل پذیری کم توصیه‌های خاصی در طرح لرزه‌ای ندارد بلکه آنچه که در مورد ساختمانهای عادی بحث کرده برای آنها مجاز می‌شمارد و الزامات خود را در مورد سازه‌های با شکل پذیری متوسط و زیاد شبیه یکدیگر مقرر می‌دارد و در مواردی استثنایی برای ساختمانهای با شکل پذیری متوسط نکاتی را ملحوظ می‌دارد که ما بدانها اشاره خواهیم کرد.

عجالتا برای چنین مناطقی آئین نامه‌های مختلف توصیه‌هایی تقریباً نزدیک بهم دارند بطور مثال مقررات آباء، ACI و آئین نامه نیوزلند را مقایسه می‌کنیم.

• آئین نامه نیوزلند برای دیواری که تحت اثر نیروی محوری فشاری قرار دارد، مقدار مقاومت برشی بتن را از رابطه ۴-۲۰ ارائه می‌کند.

$$V_c = 0.6 b_w d \sqrt{\frac{N_u}{A_g}} \quad (20-4)$$

یعنی اگر نیروی محوری وجود نداشته باشد سهم بتن برابر با صفر می‌شود. در این رابطه A_g سطح مقطع کل دیوار است و N_u نیروی محوری طراحی است که بصورت فشاری خواهد بود و b_w ضخامت دیوار سازه‌ای است و d عبارت است از عمق مؤثر که در جهت طول دیوار (l_w) محاسبه می‌شود. همین آئین نامه برای دو نوع دیوار با شکل پذیری بالا و شکل پذیری محدود، حد بالایی از مقاومت برشی بنام مقاومت برشی ایده آل در نظر می‌گیرد که عبارتند از:

برای دیوار با شکل پذیری محدود

$$V_c = 0.9 b_w d \sqrt{f_c} \quad (21-4)$$

برای دیوار با شکل پذیری زیاد و در مقایسه با شکل پذیری محدود سهم کمتری برای بتن قائل شده است:

$$V_c = 0.5 b_w d \sqrt{f_c} \quad (22-4)$$

بر طبق این آئین نامه سهم میلگردهای افقی در مقاومت برشی برابر است با:

$$V_s = f_{yh} A_h d / S_h \quad (23-4)$$

A_h سطح مقطع میلگردهای افقی و S_h فاصله آنها است.



در همین محدوده لولای خمیری، اگر قرار باشد فولادهای قائم زودتر از تشکیل ترکهای قطری برشی جاری شوند که بهتر است چنین شود، حداقل فولاد افقی لازم را می توان از رابطه ۴-۲۴ بدست آورد.

$$\rho_{min} = \frac{4}{3} \left[\frac{d_s V_u}{M_u} \cdot \frac{f_{yv}}{f_{yh}} \rho_v - \frac{V_c}{b_w d \cdot f_{yh}} \right] \quad (4-24)$$

که در این رابطه f_{yv} ، f_{yh} به ترتیب مقاومت جاری شدن فولادهای افقی و قائم بوده و ρ_v درصد کل فولادهای قائم و d_s عمق مؤثر برای فولادهای افقی است.

• آئین نامه بتن ایران (آبا) سهم بتن را وابسته به نسبت ارتفاع دیوار به طول دیوار می داند و با تغییر این نسبت این سهم را معین می کند.

$$V_c = \alpha_c A_{cv} v_c \quad (25-4)$$

اگر نسبت $\frac{h_w}{l_w} \geq 2$ باشد مقدار: $\alpha_c = 1$

اگر نسبت $\frac{h_w}{l_w} \geq 1/5$ باشد مقدار: $\alpha_c = 1/5$

اگر نسبت $2 < \frac{h_w}{l_w} < 1/5$ باشد برای مقدار α_c باید بصورت خطی بین دو مقدار ۱ و ۱/۵ درونیابی (یا میانیابی) انجام داد.

و سهم فولاد در مقاومت برشی برابر است با:

$$V_s = \phi_s \rho_H f_y A_{cv} \quad (4-26)$$

که در این روابط ρ_H درصد میلگردهای افقی دیوار و h_w و l_w به ترتیب طول دیوار در جهت نیروی برشی و ارتفاع دیوار می باشد. بنابراین مقاومت برشی بر طبق آبا برابر است با:

$$V_r = V_c + V_s = A_{cv} (\alpha_c v_c + \phi_s \rho_H f_y) \quad (4-27)$$

بر طبق آبا $v_c = 0.2 \phi_c \sqrt{f_c} = 0.12 \sqrt{f_c}$

$$\phi_s = 0.15$$

$$A_{cv} = b_w d$$

b_w ضخامت جان دیوار و d فاصله دورترین تار فشاری تا مرکز میلگردهای کششی و در جهت طول (l_w) دیوار است. بنابراین مقاومت برشی برابر است با:

$$V_r = b_w d (0.12 \alpha_c \sqrt{f_c} + 0.15 \rho_H f_y) \quad (4-28)$$



• آئین‌نامه ۹۸-۳۱۸ ACI بیش از آنکه بین دو منطقه دارای لولای خمیری و بدون لولای خمیری تفکیک قائل شود، توصیه‌های خود را بر روی تفکیک دیوارهای بلند و کوتاه متمرکز ساخته است. در واقع آنچه که **ابا** نیز قائل است همین است. زیرا در منطقه تشکیل مفصل پلاستیک یا لولای خمیری، به دلیل شکل‌پذیر شدن دیوار در آن منطقه ترجیحاً از مقاومت برشی بتن صرف‌نظر شده است و فقط در صورتی که نیروی محوری فشاری قابل ملاحظه‌ای اعمال شود، بتن می‌تواند نقش خود را در مقاومت برشی دیوار ظاهر سازد. از اینرو در این آئین‌نامه اولاً مقاومت برشی بتن تحت اثر حضور نیروی محوری است و ثانیاً مقاومت برشی دیوار به رفتار آن در دو حالت دیوار کوتاه و بلند بستگی دارد. بنابراین چون در جوار منطقه لولای خمیری مقاومت بتن در سیکلهای بار لرزه‌ای رو به زوال می‌گذارد بهتر است از مقاومت بتن صرف‌نظر شود و آنرا برای حالات دوگانه نیروی محوری شرح زیر در نظر گرفت. البته باید یادآور شد که هر قدر دیوار بلند باشد رفتار خمشی بر آن حاکمیت دارد و هر قدر کوتاه باشد رفتار برشی اولویت دارد. به عبارت دیگر در دیوار کوتاه مقاومت برشی بیشتر است.

الف- دیوار تحت اثر نیروی محوری فشاری قرار دارد:

$$V_c = \left[0.158 \sqrt{f_c} + 17/2 \rho_w \frac{V_u d}{M_u - N_u \left(\frac{4 \ell_w - d}{8} \right)} \right] b_w d \quad (29-3)$$

در این رابطه ρ_w درصد فولاد در جان دیوار، N_u نیروی محوری که ضرایب بار نهایی را در بر دارد، M_u مقاومت خمشی نهایی، V_u نیروی برشی نهایی در مقطع، b_w ضخامت جان، d عمق مؤثر و ℓ_w طول جان دیوار می‌باشد.

حد V_c را نیز بر طبق رابطه ۴-۳۰ مشخص می‌کند:

$$V_c = 3/5 \sqrt{f_c} b_w d \sqrt{1 + \frac{N_u}{3/45 A_g}} \quad (30-3)$$

ب - چنانچه نیروی محوری بصورت کششی باشد مقدار مقاومت برشی بتن برابر است با:

$$V_c = \frac{1}{6} \sqrt{f_c} b_w d \left(1 + \frac{N_u}{3/45 A_g} \right) \quad (31-3)$$

در این رابطه برای اینکه N_u کششی باشد آنرا منفی در نظر می‌گیریم.



بنابراین در حالت کلی:

$$V_r = V_c + V_s = (b_w d v_c + A_{sh} f_{yh} \frac{d}{S_h}) \quad (۳۲-۴)$$

دیوار بلند: اگر نسبت ارتفاع دیوار به طول آن (h_w/ℓ_w) بیش از ۲ باشد مقاومت برشی دیوار نباید بیشتر از مقدار زیر باشد:

$$V_r = \left(\frac{1}{6} \sqrt{f_c} + \rho_h f_{yh} \right) A_g \quad (۳۳-۴)$$

دیوار کوتاه: چنانچه نسبت h_w/ℓ_w کمتر از ۲ باشد مقدار مقاومت برشی نسبت به حالت قبل اندکی متفاوت خواهد بود و این تفاوت در بکارگیری ضریب α_c است.

$$V_r = (\alpha \sqrt{f_c} + \rho_h f_{yh}) A_g \quad (۳۴-۴)$$

اگر $h_w/\ell_w = 1/5$ باشد مقدار $\alpha_c = 3$ است و اگر $h_w/\ell_w = 2$ باشد مقدار $\alpha_c = 1/6$ خواهد بود و در حد فاصل این دو نسبت بصورت خطی متغیر می‌باشد.

برای قسمت‌هایی از دیوار برشی که دور از محل تشکیل لولای خمیری هستند توصیه‌های عمومی برای مقاومت برشی کافی بنظر می‌رسد. زیرا غالباً این قسمت‌ها، وارد محدوده غیرارتجاعی نشده‌اند. بر طبق آبا کمترین مقدار از دو رابطه زیر برای مقاومت بتن بکار گرفته شود.

$$V_c = 0.198 \sqrt{f_c} b_w d + \frac{N_u d}{5 \ell_w} \quad (۳۵-۴)$$

و یا

$$V_c = \left[0.36 \sqrt{f_c} + \frac{\ell_w (0.72 \sqrt{f_c} + 0.15 \frac{N_u}{\ell_w b_w})}{(\frac{M_u}{V_u} - \frac{\ell_w}{4})} \right] b_w d \quad (۳۶-۴)$$

در این رابطه اگر نیروی محوری نهایی N_u فشاری باشد مثبت و اگر کششی باشد منفی در نظر گرفته می‌شود. M_u مقاومت خمشی نهایی دیوار است. اگر چنانچه مقدار عبارت $(\frac{M_u}{V_u} - \frac{\ell_w}{4})$ منفی شود نباید از رابطه ۴-۳۶ استفاده کرد. باید توجه داشت که اگر نیروی برشی مقطع بیش از ظرفیت مقاومت برشی بتن باشد باید از میلگردهای برشی استفاده کرد که مقدار آن چنین است:

$$V_{sh} = \phi_s A_{sh} f_{yh} \frac{d}{S_h} \quad (۳۷-۴)$$



در این رابطه $\phi_s = 0/85$ ضریب جزئی ایمنی میلگردها، A_{sh} سطح مقطع میلگردهای افقی، f_{yh} حد جاری شدن و S_h فاصله میلگردهای افقی است. d هم قبلاً تعریف شده است. برای تأمین V_s علاوه بر آرماتورهای افقی باید از آرماتورهای برشی قائم نیز استفاده کرد. آبا مقدار آنرا از رابطه زیر بدست می‌دهد:

$$\rho_v = 0/0025 + \frac{1}{4} \left(2/5 - \frac{h_w}{\ell_w} \right) (\rho_h - 0/0025) \quad (4-38)$$

ضرورت ندارد که مقدار ρ_v بیشتر از ρ_h باشد.

بطور کلی و در هر شرایطی مقاومت برشی دیوار (V_r) نباید از مقدار $(5V_c b_w d)$ بیشتر باشد که اگر چنین شود بدان مفهوم است که تسلیح برشی زیاد بوده و شکست دیوار با خرد شدن بتن رخ می‌دهد و این رفتار برای طرح لرزه‌ای مطلوب نیست.

۴-۱۴- تیر رابط یا تیر همبند

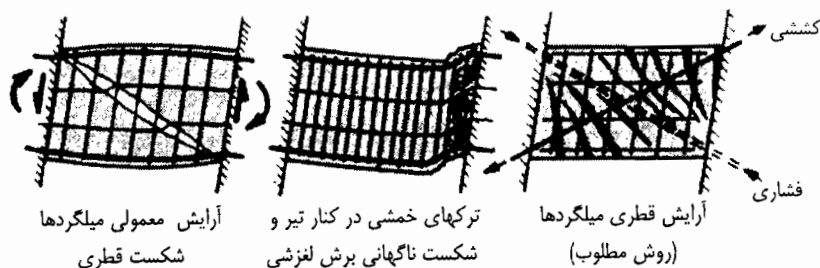
در دیوارهای سازه‌ای که دارای بازشو هستند، بخشی از دیوار که بین بازشوی بالایی و پائینی واقع می‌شود بنام تیر رابط یا تیر همبند معروف شده است. این تیر نقش بسیار مهمی در رفتار لرزه‌ای دیوارهای سازه‌ای دارد. تاکنون تحقیقات بسیار زیادی بر روی این تیر انجام شده است تا شرایط و چگونگی تخریب آنها مشخص شود و از این رهگذر ضوابط و قواعد مربوط به طراحی آن بخوبی بدست آید. بطور خلاصه و کلی سه نوع تخریب برای این تیرها متصور است، به عبارت دیگر غلبه این نوع تخریب بر سایر تخریب‌های احتمالی بیشتر است و آنها عبارتند از:

۱- تخریب خمشی

۲- شکست کششی قطری

۳- شکست قطری فشاری و کششی

هر یک از این سه نوع در شکل ۴-۱۹ نشان داده شده‌اند. در این تیرها آرایش فولادگذاری مانند تیرهای متداول یا معمولی بوده است. البته در نوع تخریب خمشی، در کنار تیر پس از ایجاد ترکهای خمشی قابل ملاحظه، سرانجام بر اثر لغزش آرماتورها، شکست ناگهانی رخ می‌دهد. در حالت سوم که بنوعی می‌تواند برآیند دو رفتار اول و دوم تصور شود، ترکهای قطری و کششی در مسیر یک قطر و خردشدگی بتن در مسیر قطر دیگر اتفاق می‌افتد.



شکل ۴-۱۹- انواع تخریب در تیرهای رابط [۷]

در هر صورت برای دیوارهای سازه‌ای دارای بازشو، نشان داده شده است که محل تیرهای همبند بسیار بحرانی است و غالباً شکست دیوارها در این نواحی رخ داده است. نتایج کلیه بررسیها دیکته می‌کند که رفتار ارتجاعی و غیرارتجاعی تیرهای رابط باید بطور مشخص مورد بررسی قرار گیرد. هنگام وقوع زلزله، تیرهای همبند تحت اثر نیاز شکل‌پذیری زیاد قرار می‌گیرند و اگر آنها را خیلی سخت طراحی کنیم ممکن است دچار شکست کششی قطری شوند. بنابراین ضمن اینکه باید دارای مقاومت خوب و بالا باشند، باید از شکل‌پذیری زیادی نیز برخوردار باشند. البته تحلیل و طراحی دیوارها باید به نحوی باشد که ما را از تشکیل لولای خمیری (جاری شدن فولادها) مطمئن سازد به نحوی که شکست قطری کششی نه در دیوار و نه در تیرهای رابط رخ ندهد. به عبارت دیگر باید لولای خمیری ابتدا در تیرهای همبند و سرانجام در پای دیوار تشکیل شود.

پارک و پاوولی برای اینکه تیرهای همبند در کشش قطری تخریب نشوند تحقیقات زیادی انجام داده و برای حد بالای مقاومت میلگردهای اصلی تیر همبند رابطه ۴-۳۹ را ارائه کرده‌اند [۷].

$$\frac{A_s}{bd} > \frac{4/7 l_b \sqrt{f_c}}{(d-d') f_y} \quad (۴-۳۹)$$

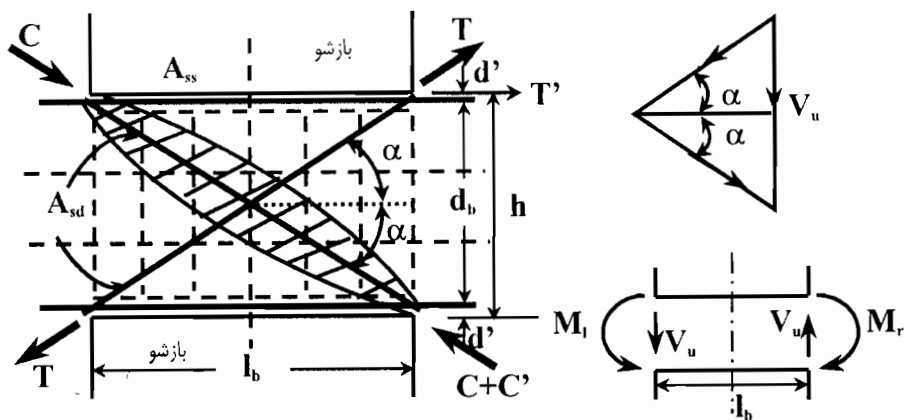
در شکل ۴-۲۰- الف علائم بکار رفته در رابطه ۴-۳۹ نشان داده شده‌اند.



مقدار آرماتور قطری اصلی مورد نیاز آبا همان مقدار مندرج در رابطه ۴-۴۰ می‌باشد.

آئین‌نامه بتن ایران "آبا" برای اندازه‌های تیر همبند محدودیت‌هایی اعمال می‌کند. اولاً ضخامت این تیرها نباید از ۲۰ سانتیمتر کمتر باشد و اگر نسبت طول دهانه آزاد به ارتفاع تیر بزرگتر یا مساوی ۳ باشد $l_b/h_b \geq 3$ می‌توان با رعایت ضوابط مربوط به مقاطع خمشی تیر همبند را آرماتورگذاری کرد ولی اگر این نسبت کوچکتر از ۳ باشد $l_b/h_b < 3$ حتماً باید از آرماتورهای قطری بر طبق جزئیات شکل ۴-۲۰ استفاده کرد.

یکی دیگر از نکات بسیار مهم در مورد تیرهای همبند که باید مورد توجه قرار گیرد این است که اگر سقف یا کف با بخشی از تیر همبند اجرا شود به نحوی که سقف با تیر همبند بصورت یکپارچه رفتار نماید، در اینصورت میلگردهای سقف در مقاومت تیر رابط مشارکت خواهند داشت. برای این منظور به شکل ۴-۲۱ مراجعه نمایید، در این شکل سقف به قسمت فوقانی تیر همبند متصل است و با توجه به توزیع نیروها مشخص می‌شود که مقدار لنگر در دو طرف تیر نمی‌تواند مساوی باشد. اگر لنگر سمت چپ را با M_ℓ و لنگر سمت راست را با M_r نشان دهیم مقدار لنگر سمت راست اندکی بیشتر از لنگر سمت چپ خواهد بود.



شکل ۴-۲۱- مشارکت سقف در مقاومت تیر همبند

لنگر اضافی در سمت راست ناشی از وجود نیروی T' در میلگردهای سقف (A_{ss}) است که در بازوی d_b عمل می‌کند، بنابراین داریم:

$$M_r = M_\ell + T' \cdot d_b = (A_{sd} \cos \alpha + A_{ss}) f_y d_b \quad (4-41)$$



و مقدار متوسط برش در تیر همبند برابر است با:

$$V_u = \frac{M_\ell + M_r}{\ell_b} = (\gamma A_{sd} \cos \alpha + A_{ss}) f_y \frac{d_b}{\ell_b} \quad (42-4)$$

در این وضعیت سهم بتن در تحمل نیروی فشاری قطری در تیر رابط برابر است با:

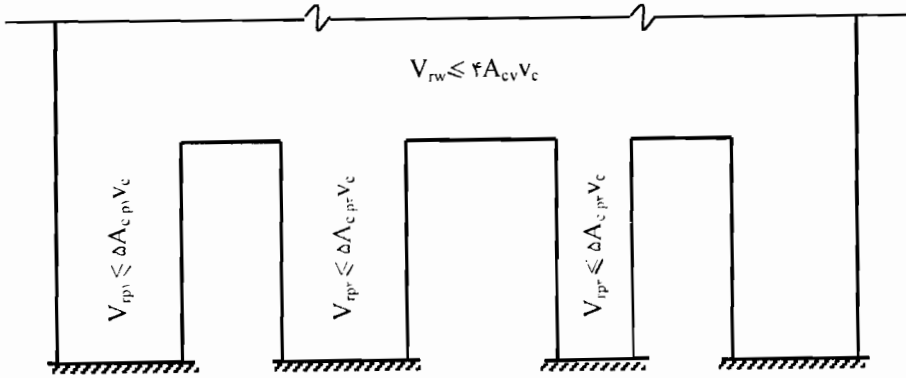
$$C' = \frac{T'}{\cos \alpha} \quad (43-4)$$

با اندکی دقت مشخص می‌شود که موقعیت دال سقف در توزیع نیروی T' یا لنگر اضافی $T' d_b$ بین دو طرف تیر رابط نقش اساسی دارد به عبارت دیگر اگر d_b در وسط ارتفاع تیر رابط باشد، لنگر سمت راست و سمت چپ با هم مساوی خواهند شد و سهم هر یک از لنگر اضافی برابر با $T' d_b / 2$ خواهد بود. از این جهت با توجه به نقشه معماری و الزامات دیگر ساختمان این مطلب باید مورد توجه قرار گیرد.

۴-۱۵- سایر الزامات طراحی

الف- پایه‌های دیواری

اگر دیوار برشی در پائین‌ترین قسمت خود دارای یک یا چند بازشو باشد هر یک از اجزای دیوار را در طرفین بازشوها، پایه‌های دیواری می‌گویند. اینها نه ستون هستند و نه دیوار، زیرا نه آنقدر از نظر ابعاد (در مقطع) کوچک هستند که بتوان آنها را در زمره ستون‌ها قرار داد و نه آنقدر بزرگ که دیوار تلقی شوند، و از این جهت از یکطرف مانند پایه هستند و از طرف دیگر شبیه دیوار و بهمین دلیل به آنها پایه‌های دیواری می‌گویند. این پایه‌های دیواری بطور مشترک نیروی جانبی را تحمل می‌کنند. بر طبق آبا مقاومت برشی این قبیل دیوارها نباید بیش از ۴ برابر حاصلضرب تنش برشی مجاز (v_c) بتن در مجموع سطح مقطع پایه‌های دیواری (A_{cv}) باشد، و مقاومت برشی برای هر یک از پایه‌های دیواری نیز نباید از ۵ برابر حاصلضرب تنش برشی مجاز بتن (v_c) در سطح مقطع (A_{cp}) همان پایه بیشتر باشد. در شکل ۴-۲۲ این مطلب نشان داده شده است.



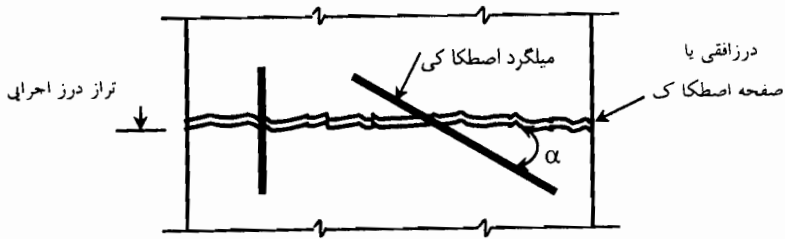
شکل ۴-۲۲- محدودیت مقاومت برشی پایه‌های دیواری

این محدودیت توسط ACI ۳۱۸-۹۸ با نظر آبا متفاوت است. یعنی اینکه حد مقاومت برشی توسط آبا در حدود ۴۰ درصد برای دیوار و حدود ۳۸ درصد برای پایه‌های دیواری کمتر از ACI است. به عبارت دیگر توصیه آبا محافظه کارانه‌تر از ACI است.

ب- درزهای اجرایی

هنگام اجرای دیوارهای سازه‌ای ممکن است به علت بلند بودن دیوار و عدم امکان بتن‌ریزی آن در یک مرحله (که غالباً چنین است)، در ترازهایی بتن‌ریزی قطع شده و مدتی بعد (ولو مدت کوتاه) بتن‌ریزی مراحل بعدی شروع می‌شود. بدین ترتیب درزهای افقی در حین اجرا بوجود می‌آیند که به آنها درزهای اجرایی می‌گویند. در زلزله‌هایی مشخص شده است که دیوارهای برشی در این محل دچار شکست برشی شده‌اند که از نوع برش لغزشی است. برای مقابله با این پدیده خطرناک که در اثر نیروهای رفت و برگشتی رخ می‌دهد باید از دو عامل استفاده کرد، یکی مضرس یا زبر بودن سطح بتن قدیم که با ایجاد ناهمواری به عمق تقریبی حداقل پنج میلیمتر صورت می‌گیرد، و دیگری استفاده از آرماتورهای مورب یا قائم اضافی. برای محاسبه مقدار برش از روش برش اصطکاکی بهره می‌گیریم.

با رجوع به شکل ۴-۲۳ تعبیه میلگردهای اضافی به وجود نیروی محوری فشاری یا کششی بستگی دارد.



شکل ۴-۲۳- درز اجرایی در دیوارهای سازه‌ای

اگر در محل درز اجرایی علاوه بر نیروی برشی، نیروی کششی هم اثر کند، حتماً باید از آرماتورهای اضافی برای تحمل کشش در امتداد نیروی کششی اعمال شده استفاده کرد. و اگر در این محل علاوه بر نیروی برشی، نیروی فشار دائمی وجود داشته باشد، مقدار این نیروی فشاری را باید به آن بخش از نیروی اصطکاکی که متعلق به آرماتور برش اصطکاکی است، اضافه کرد. اگر آرماتور برش اصطکاکی نسبت به صفحه برش زاویه α داشته باشد مقدار نیروی برشی اگر در نیم سیکل بارگذاری در آن ایجاد کشش کند، در نیم سیکل بعدی ایجاد فشار خواهد کرد، از اینرو در چنین شرایطی و با توجه به رفت و برگشتی بودن برش ایجاد شده، باید از آرماتورهای مورب ضربدری استفاده شود. در غیر اینصورت بهتر است از آرماتورهای قائم استفاده کرد. در هر حال محاسبه نیروی برش اصطکاکی بر مبنای ایجاد کشش در آرماتورها انجام می‌شود. چنانچه حالت کلی را در نظر بگیریم، آرماتور با زاویه α مورب باشد خواهیم داشت:

$$V_r = \phi_s A_{sf} f_y (\mu \sin \alpha + \cos \alpha) \quad (4-44)$$

که در آن μ ضریب اصطکاک بین بتن قدیم و بتن جدید است که مقدار آن بر طبق آبا برای حالات زیر متفاوت اختیار می‌شود:

- اگر بتن بصورت یکپارچه ریخته شده باشد: $\mu = 1/25$
- اگر بتن جدید بر روی بتن قدیم ریخته شود به صورتی که بتن قدیم تمیز و عاری از دوغاب خشک‌شده و مضرس باشد: $\mu = 0/9$
- اگر سطح بتن قدیم خیلی مضرس نباشد: $\mu = 0/5$



اگر میلگردهای برش اصطکاکی زاویه ۹۰ درجه با سطح برش داشته باشند، یا اینکه عمودی باشند:

$$V_r = \mu \phi_s A_{sf} f_y \quad (۴-۴۵)$$

حد نهایی مقاومت مقطع در چنین شرایطی کوچکترین دو مقدار زیر می‌باشد که در آنها A_{cv} مساحت مقطع بتنی است که در مقابل برش مقاومت می‌کند:

$$0/۶۵ \phi_c A_{cv} \quad \text{و یا} \quad 0/۲۵ \phi_c A_{cv}$$

$$0/۳۹ A_{cv} \quad (0/۱۵ f_c A_{cv})$$

لازم به ذکر است که باید میلگردهای برش اصطکاکی را به نحو مناسبی در تمام سطح صفحه برش توزیع کرد و برای اینکه بتوانند به تنش جاری شدن برسند لازم است بطور کامل در دو سمت بالا و پائین درز اجرایی بخوبی مهار شوند. باید توجه داشت که اگر مؤلفه قائم زلزله شدید باشد، موجب کاهش اثر نیروی محوری فشاری موجود در دیوار خواهد شد که این اثر باید در محاسبات منظور گردد.

۴-۱۶- حد اقل میلگردهای لازم

علاوه بر محاسبات و کنترل‌های دقیقی که در خمش و برش انجام می‌شود، باید نتایج بدست آمده از طراحی در تعبیه آرماتورها با حد اقل مورد نیاز که در همه آئین‌نامه‌ها پیش‌بینی شده است، کنترل شود. به عبارت ساده‌تر در هیچ شرایطی نباید مقدار آرماتورهای محاسبه شده از حد اقل مورد نظر آئین‌نامه کمتر باشد. از اینرو مقدار حد اقل آرماتور لازم در برش و خمش آورده می‌شود.

الف- آرماتورهای قائم (ρ_v)

بر طبق آئین‌نامه بتن ایران "آب" در هیچ شرایطی نباید نسبت آرماتور قائم به مساحت کل مقطع کمتر از ۰/۰۰۲۵ و بیشتر از ۰/۰۴ باشد. مگر در شرایطی که نیروی برشی نهایی موجود در مقطع از مقدار $0/۵ A_{cv}$ کمتر باشد که در اینصورت باید شرایط زیر رعایت شود.

۱- اگر از میلگردهای آجدار با قطر ۱۶ میلیمتر و کمتر با مقاومت مشخصه ۴۰۰ مگاپاسکال و بیشتر استفاده شود این نسبت ۰/۰۰۱۲ توصیه می‌شود.

۲- برای سایر میلگردهای آجدار نسبت ۰/۰۰۱۵ اختیار شود.

۳- برای شبکه‌های جوش شده، صاف یا آجدار که قطر میله‌های آنها ۱۶ میلیمتر یا کمتر باشد، این نسبت ۰/۰۰۱۲ اختیار شود.



ب- آرماتورهای افقی (ρ_h)

حداقل نسبت آرماتورهای افقی به مساحت کل مقطع نباید کمتر از ۰/۰۰۲۵ و بیشتر از ۰/۰۴ اختیار شود و برای میلگردهای مختلف بشرح زیر تعیین می‌شود.

۱- اگر میلگردها از نوع آجدار با مقاومت مشخصه ۴۰۰ مگاپاسکال یا بیشتر باشند و قطر آنها ۱۶ میلیمتر و یا کمتر باشد، ۰/۰۰۲۰ تعیین می‌شود.

۲- برای سایر میلگردهای آجدار نسبت فوق ۰/۰۰۲۵ اختیار شود.

۳- برای استفاده از شبکه‌های جوش شده، صاف یا آجدار که قطر آنها ۱۶ میلیمتر یا کمتر است نسبت فوق ۰/۰۰۲۰ تعیین می‌شود.

ج- فاصله آرماتورها

فاصله فولادهای افقی و قائم از یکدیگر نباید از کمترین دو مقدار ۳۵۰ میلیمتر و سه برابر ضخامت دیوار ($3b_w$) بیشتر باشد. اگر چنانچه مقدار کل آرماتور قائم از یکصدم مساحت کل مقطع (A_g ۰/۰۱) کمتر باشد و یا در مواردی که برای تحمل نیروی فشاری نیازی به آرماتورهای قائم نباشد، می‌توان از بستن آنها با تنگ‌ها صرف‌نظر کرد. برای مقادیر بیشتر میلگردهای قائم، آرماتوربندی دیوارها باید مشابه ستونها باشد.

د- نسبت سطح مقطع آرماتورهای برشی افقی (ρ_{vh}) که در امتداد صفحه برش قرار می‌گیرند، به سطح مقطع کل بتن که عمود بر امتداد آرماتورهای برشی است، نباید کمتر از ۰/۰۰۲۵ باشد. فاصله این آرماتورها نباید از کمتر از سه مقدار $3b_w$ ، $1/5l_w$ و ۳۵۰ میلیمتر در نظر گرفته شود. و اگر آرماتورهای برشی قائم (ρ_w) در امتداد عمود بر صفحه برش بودند، این نسبت نیز نباید کمتر از ۰/۰۰۲۵ و یا مقدار ارائه شده توسط رابطه ۴-۴۶، هر کدام کمتر است، باشد.

$$\rho_w = 0.0025 + \frac{1}{4} \left(2/5 - \frac{h_w}{l_w} \right) (\rho_{vh} - 0.0025) \quad (4-46)$$

البته لازم نیست که مقدار آرماتور برشی قائم (ρ_w) بیشتر از آرماتور برشی افقی (ρ_{vh}) در نظر گرفته شود. فاصله این میلگردها از یکدیگر نباید کمتر از سه مقدار $3b_w$ ، $1/3l_w$ و ۳۵۰ میلیمتر در نظر گرفته شود.

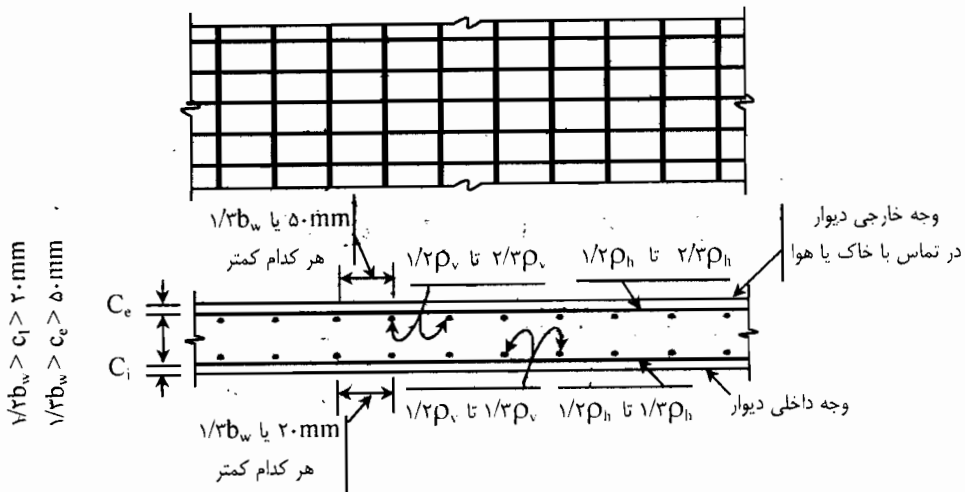


۴-۱۷- تعبیه آرماتورها

نحوه تعبیه آرماتورها در دیوارهای سازه‌ای با توجه به اجزاء مختلف آن دارای شرایطی است که ذیلاً هر یک از آنها بیان می‌شود.

بطور کلی اگر ضخامت دیوار سازه‌ای بیشتر از ۲۵۰ میلی‌متر باشد باید آرماتورهای قائم و افقی را در دو وجه دیوار تعبیه کرد. البته دیوارهای زیرزمین و دیوارهای حایل از این توصیه مستثنی هستند. در هر حال نحوه تعبیه آرماتورها باید مطابق شرایط زیر باشد.

در شکل ۴-۲۴ نشان داده شده است که اگر وجه خارجی دیوار در تماس با هوای آزاد یا خاک زمین باشد، باید حداقل نصف و حداکثر دو سوم آرماتورهای افقی و قائم در فاصله‌ای که بیش از ۵۰ میلی‌متر و کمتر از یک سوم ضخامت دیوار است تعبیه شود.



شکل ۴-۲۴- نحوه تعبیه آرماتورها در دیوار سازه‌ای

برای وجه داخلی دیوار تعبیه آرماتورهای باقی‌مانده یعنی حداقل نصف یا یک سوم آرماتورهای افقی و قائم (به تفکیک) و در فاصله‌ای که کمتر از ۲۰ میلی‌متر یا یک سوم ضخامت دیوار (هر کدام کمتر) تعبیه می‌شوند.

پوشش بتن در وجه خارجی باید بیش از ۵۰ میلی‌متر و کمتر از یک سوم ضخامت دیوار باشد و پوشش بتن در وجه داخلی باید بیش از ۲۰ میلی‌متر و کمتر از یک سوم ضخامت دیوار باشد. ولی اگر شرایط وجه خارجی و داخلی دیوار یکسان بود می‌توان نصف هر یک از آرماتورهای افقی و



قائم را در دو طرف تعبیه کرد. در این حالت فاصله بین آرماتورها باید از کمترین دو مقدار $3b_w$ یا 350 میلیمتر کمتر باشد و اگر دیوار دارای لبه‌های کناری یا بالهای انتهایی باشد فاصله آرماتورها نباید از 200 میلیمتر بیشتر باشد. پوشش این قبیل آرماتورها در دو وجه مساوی بوده و باید از 20 میلیمتر بیشتر و از یک سوم ضخامت دیوار ($b_w/3$) کمتر باشد.

چنانچه مقدار تنش فشاری در بتن که تحت اثر بارهای نهائی شامل بار زلزله قرار دارد به بیش از $0.12f_c$ تجاوز کند، بایستی از ستونهای حاشیه‌ای برای دیوار بهره گرفت. این ستونهای حاشیه‌ای بایستی قادر باشند بارهای زیر را تحمل کنند:

الف - تمام بارهای ثقلی نهایی روی دیوار (شامل وزن دیوار و بارهای ثقلی سهم دیوار)

ب - نیروهای حاصل از لنگر واژگونی (نظیر بارهای ضریب‌دار زلزله)

استفاده کردن از خاموتها یا تنگ‌های نزدیک بهم در محل این ستونها ضروری است بطوری که ضوابط مربوط به ستونهای قابهای بتن مسلح در این موارد باید رعایت شود و بویژه لازم است که آرماتورهای افقی در دیوار بخوبی در قسمت هسته دارای تنگها در ستونهای حاشیه، مهار شوند تا بدین ترتیب باعث افزایش مقاومت کششی گردد.

۴-۱۸ - آرماتورهای عرضی ویژه

اگر دیوار سازه‌ای دارای بازشو باشد یا در انتها دارای بال یا لبه‌هایی باشد چنانچه مقدار تنش فشاری بتن در دورترین تار فشاری ناشی از بارهای نهایی و اثر زلزله، بیش از $0.12f_c$ باشد، در اجزای لبه، سطح مقطع کل تنگ‌های ویژه (A_{sh})، در هر امتداد (قائم و افقی) نباید کمتر از یکی از دو مقدار زیر باشد:

$$A_{sh} = 0.3 (S h_c \frac{f_c}{f_{yh}}) (\frac{A_g}{A_{ch}} - 1) \quad (4-47)$$

$$A_{sh} = 0.9 (S h_c \frac{f_c}{f_{yh}}) \quad (4-48)$$

در این دو رابطه S فاصله آرماتورها برحسب میلیمتر و h_c مرکز تا مرکز میلگردهای محصورکننده و برحسب میلیمتر می‌باشد. A_{ch} مساحت آن قسمت از مقطع که توسط میلگردهای عرضی محصور شده است و بر مبنای پشت تا پشت میلگردها محاسبه می‌شود. A_{sh} عبارتست از سطح



مقطع کل آرماتور عرضی، با احتساب رکابی‌های تک‌شاخه‌ای در فاصله S و در امتداد عمود بر لبه h_c که هر دو برحسب میلیمتر مربع هستند. قطر میلگردهای عرضی در ناحیه بحرانی (محل تشکیل لولای خمیری) نباید کمتر از ۸ میلیمتر باشد و فاصله آنها نباید بیشتر از مقادیر زیر باشد:

الف- یک چهارم ضلع کوچکتر مقطع

ب- هشت برابر کوچکترین قطر و میلگرد طولی

ج- ۱۲۵ میلیمتر

Handwritten text, possibly a signature or a name, written in a cursive script. The text is faint and difficult to decipher, but appears to be a single line of writing.

Handwritten text, possibly a signature or a name, written in a cursive script. The text is faint and difficult to decipher, but appears to be a single line of writing.

فصل ۵ - شالوده ها

۵-۱- مقدمه:

معمولاً برای طراحی شالوده ساختمانها حرکت‌های توده‌ای و دائمی خاک را که بسیار کند و آرام هستند در نظر نمی‌گیرند، اما نشست، جابجایی یا آبگونی خاک که در اثر زلزله و در زمان کوتاه رخ می‌دهد، باید برای طراحی ساختمانها در نظر گرفته شوند. طراحی شالوده‌های مقاوم در برابر زلزله چندان متفاوت از طراحی آنها در برابر بارهای استاتیکی نیست مگر برای در نظر گرفتن مسائلی از قبیل؛ اندرکنش ساختمان با رفتار دینامیکی زمین، نیروهای برکنده و بالاخره جابجایی و بهم ریختگی دینامیکی خاک.

نیروهای برشی افقی که در اثر حرکت لرزه‌ای بین زمین و شالوده ایجاد می‌شود باید مدنظر طراح قرار گیرد. معمولاً احتمال گسیختگی یا شکست برشی بین پی ساختمان و زمین به جز در مورد ساختمانهای کوچک و صلب، چندان عمومیت ندارد، از این نظر کنترل اثر این نیروی برشی برای ساختمانهای کوچک و صلب ضروری است.

معمولاً پی‌ها را نباید شکل پذیر طراحی کرد، بلکه لازم است آنها را برای محدوده ارتجاعی طراحی کرد. زیرا اگر بخواهیم پی ساختمان وارد قلمرو غیرارتجاعی شود و شکل‌پذیر باشد تا بتواند بخشی از انرژی زلزله را مستهلک و جذب نماید، باید از مرحله ترک خوردگی عبور و وارد مرحله تسلیم شود. در چنین شرایطی وجود ترک موجب نفوذ مواد خورنده آرماتورها شده و این خوردگی آرماتورها مسائل پیچیده دیگری به دنبال دارد که بهیچ وجه قابل قبول نیست. بنابراین طراحی لرزه‌ای شالوده‌ها در محدوده ارتجاعی آنها مطرح است. نکته دیگر که موجب می‌شود تا



طرح شالوده‌ها برای حالت شکل‌پذیر عملی نباشد این است که تعمیر و مرمت آنها پس از تجربه یک زلزله، کار چندان ساده‌ای نیست، از اینرو بهتر است تا هنگامی که سازه لازم است انرژی زلزله را جذب کند، رفتار شالوده در مرحله ارتجاعی باقی بماند و در شرایط بسیار حاد که سازه قادر نیست انرژی بیشتری را متسهلک کند و ممکن است دچار شکست شود، شالوده وارد قلمرو غیرارتجاعی گردد. اما بطور کلی طراحی ارتجاعی شالوده‌ها توصیه می‌شود و باید رفتار حاکم بر آنها از نوع خمشی باشد.

۵-۲- انواع شالوده‌ها

شالوده‌ها را از چند جهت می‌توان دسته‌بندی کرد ولی یکی از متداولترین تقسیم‌بندی آنها مربوط به محل استقرار و نحوه انتقال نیروها از شالوده به زمین است که عبارتست از:

۱- شالوده کم عمق یا سطحی

۲- شالوده عمیق

هر یک از دو تقسیم‌بندی فوق به انواع دیگر تفکیک می‌شوند که هر یک از آنها به قرار زیر می‌باشد:

شالوده‌های کم عمق: منفرد

مرکب

گسترده (رادیه)

نواری

باسکولی

حفره‌ای (سلولی)

شالوده‌های عمیق: شمع‌ها

صندوقچه‌ها

در شکل ۵-۱ انواع شالوده‌ها و کاربرد هر یک از آنها نشان داده شده است.

۵-۲-۱- شالوده‌های منفرد

از ساده‌ترین شالوده‌ها نوع منفرد آن است که معمولاً در زیر ستونها تعبیه می‌شوند. این شالوده‌ها می‌توانند بار یک ستون یا دو ستون مجاور درز انبساط را تحمل نمایند و به زمین منتقل کنند.



پلان این قبیل شالوده‌ها می‌تواند، مربع، مستطیل، چند ضلعی منظم یا دایره‌ای باشد و مقطع آن نیز بصورت مستطیل، دوزنقه یا پلکانی باشد.

عوامل تعیین‌کننده عمق این قبیل شالوده‌ها عبارتست از:

- عمق یخبندان
- انقباض و انبساط
- فرسایش خاک
- نیاز به زیرزمین در طرح ساختمان

۵-۲-۲- شالوده‌های مرکب

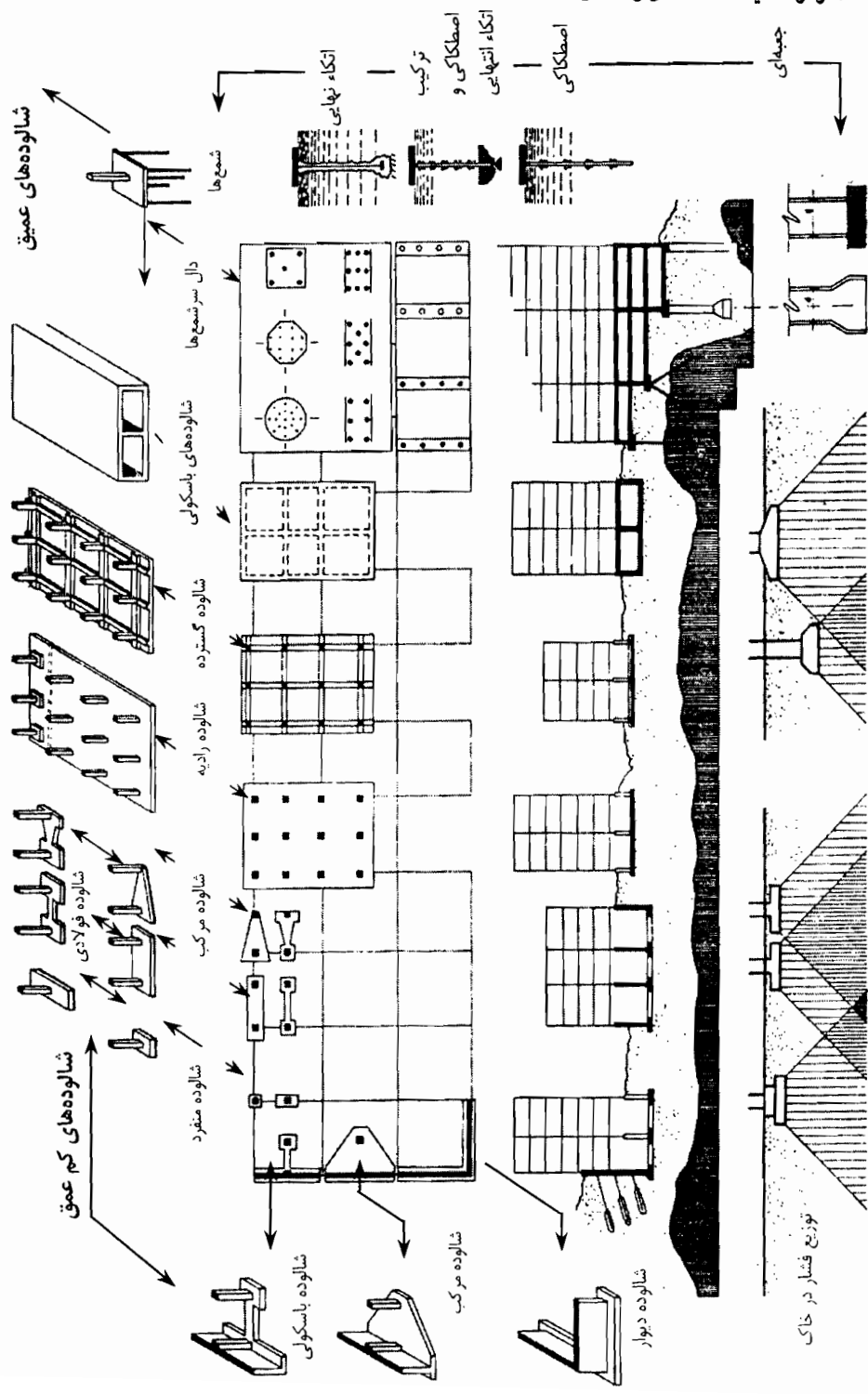
یکی دیگر از انواع شالوده‌های سطحی، نوع مرکب آن است که در واقع از ترکیب دو شالوده منفرد حاصل می‌شود، یعنی این قبیل شالوده‌ها حداقل بار دو ستون را به زمین منتقل می‌نمایند. یکی از راههای خوب و مؤثر برای جلوگیری از نشست ناهمگون و حرکت جانبی آنها، متصل کردن پی‌های منفرد بیکدیگر است.

۵-۲-۳- شالوده‌های نواری

شالوده‌هایی که یکسره بوده و بار چند ستون یا یک دیوار را به زمین منتقل می‌کنند، در مواقعی که فاصله ستونهای یک محور خیلی زیاد نیست احتمالاً شالوده‌هایشان بیش از اندازه بهم نزدیک می‌گردند و حتی در مواردی با یکدیگر تداخل پیدا می‌کنند، در چنین شرایطی باید از این شالوده‌ها استفاده شود. در اغلب موارد نوارهای شالوده‌ها در دو جهت عمود بر هم قرار می‌گیرند و یک شالوده شبکه‌ای مانند را بوجود می‌آورند.

۵-۲-۴- شالوده‌های گسترده (تخت)

اگر شالوده‌ای بار چند ستون یا دیوار را به زمین منتقل کند به آن شالوده گسترده یا تخت می‌گویند. این قبیل شالوده‌ها از یک دال تخت بتن مسلح که معمولاً سطح اشغال آن بیشتر از سطح اشغال ساختمان است، تشکیل می‌شوند. این شالوده‌ها باید سخت‌تر از شالوده‌های منفرد باشند. استفاده از این شالوده‌ها برای مواقعی است که طراح بخواهد از نشست ناهمگون زمین در اثر اختلاف نیروهای محوری ستونها، جلوگیری کند یا ایجاد یکپارچگی در مجموعه سازه و شالوده موردنظر او باشد.



شکل ۵-۱ - انواع شالوده‌ها



۵-۲-۵- شالوده باسکولی

این قبیل شالوده‌ها برای ایجاد تعادل بین دو شالوده منفرد بکار می‌رود. به عبارت دیگر دو شالوده منفرد بوسیله یک تیر صلب به یکدیگر متصل شده تا بخشی از بار یک شالوده به دیگری منتقل شود به نحوی که تیر صلب بر روی خاک تکیه نداشته باشد. بنابراین در مواردی که بار یک شالوده منفرد نسبت به شالوده منفرد مجاور خیلی زیاد باشد از این شالوده‌ها استفاده می‌کنند.

۵-۲-۶- شالوده‌های حفره‌ای (سلولی)

این قبیل شالوده‌ها نوعی خاص از شالوده‌های گسترده هستند که در شکل ۵-۱ یک مورد از بکارگیری آن برای یک ساختمان نشان داده شده است.

۵-۲-۷- شمع‌ها

در مواقعی که لایه‌های فوقانی خاک زیر ساختمان شست باشد از این نوع شالوده‌ها استفاده می‌شود. به عبارت دیگر این قبیل شالوده‌ها بارهای ساختمان را از لایه‌های فوقانی و ضعیف خاک به لایه‌های زیرین که شرایط لازم تکیه‌گاهی را دارند، منتقل می‌نمایند. استفاده از شمع‌ها برای مواقعی که احتمال شست شدن زمین یا فرسایش خاک، ناشی از جریان آب وجود دارد، ضروری است. شمع‌ها بسته به اینکه بارها را چگونه به زمین انتقال دهند تقسیم‌بندی می‌شوند، یکی اینکه در انتهای شمع، بارها به خاکهای لایه زیرین منتقل شود، یعنی بارها بصورت نیروی محوری تا انتهای شمع منتقل شده و در آنجا با سطح بیشتری که دارد به زمین منتقل می‌شود. نوع دیگر آن است که بارهای ساختمان را از طریق اصطکاک جداره خود با لایه‌های خاک به زمین انتقال می‌دهد و بالاخره نوع سوم آنکه از ترکیب این دو برای انتقال بارهای ساختمان به زمین استفاده شود.

شمع را به دو صورت بکار می‌برند یکی اینکه آنها را بصورت پیش‌ساخته آماده کرده و در لایه‌های نرم زمین می‌کوبند و دیگری اینکه محل شمع قبلاً حفاری می‌شود و شمع چه بصورت درجا یا بصورت پیش‌ساخته در داخل چاه حفر شده نصب می‌گردد.

شمع‌ها می‌توانند منفرد یا گروهی باشند. شمع منفرد مستقیماً بار یک ستون را به زمین منتقل می‌کند و گروه شمع‌ها بار یک یا چند ستون را از طریق سرشمع مشترک بر روی آنها دریافت و هر یک سهمی از آن را به زمین منتقل می‌کند.



۳-۵- شالوده برای مناطق زلزله خیز

با توجه به اینکه استاندارد ۲۸۰۰ ایران چهار منطقه برای خطر نسبی در نظر می‌گیرد باید برای مناطق با خطر نسبی خیلی زیاد و زیاد نکات خاصی برای طرح لرزه‌ای ساختمانها در ارتباط با شالوده آن در نظر گرفت. هنگام رخداد زلزله رفتار دینامیکی خاک بر سازه اثر می‌گذارد و متقابلاً رفتار دینامیکی سازه بر خاک که این پدیده را اصطلاحاً اندرکنش دینامیکی خاک - سازه می‌گویند و باید برای طراحی لرزه‌ای سازه‌ها در نظر گرفته شود. در هر حال تغییرمکانهای زمین که ذیلاً اهم آنها بصورت فشرده بیان می‌شوند باید در طراحی شالوده‌ها ملحوظ گردد و اثر آنها بر سازه مورد توجه قرار گیرد. این تغییرمکانها می‌توانند در اثر نیروهای اعمالی، نشست تحکیم خاک و آبگونی اتفاق افتد.

۳-۵-۱- تقسیم‌بندی زمین برای طرح لرزه‌ای

اساساً برای طرح لرزه‌ای، زمین را بر مبنای عدد مشخصه آن تقسیم‌بندی می‌کنند. در جدول ۱-۵ تقسیم‌بندی زمین‌ها برای طرح لرزه‌ای و بر مبنای عدد مشخصه زمین ارائه شده است. عدد مشخصه زمین از رابطه ۱-۵ محاسبه می‌شود [۳۹]:

$$T_0 = 4 \sum_{i=1}^n \frac{H_i}{V_{si}} \quad (1-5)$$

که در این رابطه T_0 ، عدد مشخصه زمین برحسب ثانیه، H_i ضخامت لایه i ام زمین برحسب متر و V_{si} سرعت موج برشی زلزله در لایه i ام زمین که برحسب متر بر ثانیه است.

جدول ۱-۵- تقسیم‌بندی زمین برای طرح لرزه‌ای (استاندارد ۲۸۰۰ ایران)

| نوع زمین | T_0 ، عدد مشخصه زمین برحسب (Sec) |
|--------------|------------------------------------|
| زمین نوع I | $T_0 < 0.2$ |
| زمین نوع II | $0.2 \leq T_0 \leq 0.6$ |
| زمین نوع III | $T_0 = 0.7$ |
| زمین نوع IV | $T_0 = 0.8$ |

**۵-۳-۲- تغییر مکان سازه**

تغییر مکان سازه یا ساختمان تحت اثر دو عامل قرار دارد، یکی در اثر بارهای اعمالی بر آن و دیگری در اثر تغییرشکل‌های زمین که مستقیماً بر شالوده و از شالوده بر ساختمان اثر می‌گذارد. البته در این قسمت منظور از تغییر مکان‌های ارتجاعی سازه است و نه تغییر مکان‌های غیر ارتجاعی که مثلاً اعضای بتنی پیش‌تنیده دچار آن می‌شوند مثل خزش. از اینرو تغییر مکان سازه ناشی از حرکت زمین در این قسمت مورد توجه قرار دارد.

۵-۳-۲-۱- تغییر مکان ارتجاعی زمین

برای محاسبه تغییر مکان ارتجاعی زمین از دو روش استفاده می‌شود، یکی روش عددی اجزاء محدود (FEM) که با در اختیار داشتن نرم‌افزارهایی که شرایط مرزی را در نظر می‌گیرند و نیز با استفاده از کامپیوترهای پیشرفته، می‌توان مقدار آنرا محاسبه کرد. البته دقت نتایج این روش به عددهای ثابت مربوط به خواص خاک (زمین) مورد نظر بشدت وابسته است. روش دیگر که بسیار ساده و مبتنی بر مدل‌سازی خطی زمین است. در این روش اثر خاک را با یک فنر خطی به عنوان جانشین ضریب عکس‌العمل زمین (K) در نظر می‌گیرند. دقت نتایج این روش نیز به ضرایب ثابت زمین وابسته است ولی بطور کلی نتایج آن قابل اعتماد بوده و می‌توان از آنها در طراحی استفاده کرد. روش اخیر که ضمن ساده بودن از سرعت خوبی برخوردار است شرح داده می‌شود.

۵-۳-۲-۲- روش ساده محاسبه تغییر مکان ارتجاعی زمین

تغییر مکان ارتجاعی زمین که مقدار آن برای طراحی شالوده باید در اختیار باشد، به روش زیر محاسبه می‌شود. در این روش سختی قائم یا ضریب عکس‌العمل زمین یا به اصطلاح سختی زمین در نظر گرفته می‌شود و برای سهولت شالوده‌های سطحی در نظر گرفته می‌شوند.

الف- تغییر مکان قائم از رابطه ۵-۲ محاسبه می‌شود:

$$\Delta_v = \frac{1}{K_v} \frac{P}{A_b} \quad (۲-۵)$$

در این رابطه؛

P : نیروی اعمالی نقلی یا قائم (برحسب Kgf)

Δ_v : تغییر مکان در تراز زیرشالوده و در مرکز آن (برحسب Cm)

K_v : سختی قائم یا ضریب عکس‌العمل در جهت قائم (Kgf / Cm^2)



ب- تغییر مکان افقی در اثر تغییر شکل برشی زمین از رابطه ۳-۵ بدست می‌آید:

$$\Delta_h = \frac{1}{K_B} \cdot \frac{H}{X \cdot L} \quad (3-5)$$

که در آن؛

Δ_h : تغییر مکان افقی در تراز زیر شالوده (Cm)

H: نیروی افقی اعمالی در تراز زیر شالوده (Kgf)

X: طول افقی عکس‌العمل زیرین (Cm)

L: طول شالوده در زیر آن (Cm)

K_B : سختی برشی یا ضریب برشی زمین در جهت افقی و در تراز زیر شالوده (Kgf / Cm^2) که مقدار آن حدوداً $1/3$ تا $1/4$ برابر K_v است.

ج- زاویه دوران در تراز زیر شالوده از رابطه ۴-۵ محاسبه می‌شود:

$$\theta = \frac{M_b}{K_v \cdot I} \quad (4-5)$$

در این رابطه؛

θ : زاویه دوران زیر شالوده (رادیان)

M_b : لنگر اعمالی در تراز زیر شالوده (Kgf-Cm)

I: ممان اینرسی مقطع شالوده در تراز زیر آن (Cm^4)

مقدار K_v که ضریب عکس‌العمل زمین در جهت قائم است از حساسیت خاصی برخوردار است. زیرا روشهای مختلفی برای بدست آوردن آن بکار برده می‌شود و دقت مقدار آن به انجام آزمایشهای بسیار زیاد بر روی خاک منطقه موردنظر بستگی دارد. از اینرو در بکارگیری آن لازم است خواص خاک و اجزای شالوده به درستی مشخص شده باشند. در هر حال مقدار K_v از رابطه ۵-۵ بدست می‌آید:

$$K_v = K_{v0} \left(\frac{B_v}{30} \right)^{-2} \quad (5-5)$$

چنانچه لایه‌های شنی زیرشالوده با افزایش عمق دارای تراکم خوب و جرم حجمی بالا باشد می‌توان K_v را از رابطه ۵-۶ بدست آورد.

$$K_v = K_{v0} \left(\frac{B_v + 30}{2B_v} \right)^2 \quad (6-5)$$

در این رابطه:



K_v : ضریب عکس‌العمل قائم زمین برحسب Kgf/cm^3

K_{v0} : ضریب ویژه عکس‌العمل قائم زمین که از نظر مقدار برابر است با نتیجه بدست آمده از آزمایش بارگذاری بر روی یک صفحه صلب دایره‌ای به قطر ۳۰ سانتیمتر. مقدار آن از رابطه ۵-۷ بدست می‌آید:

$$K_{v0} = \frac{1}{30} \alpha E_0 \quad (7-5)$$

B_v : عرض معادل شالوده برحسب سانتیمتر که از رابطه ۵-۸ بدست خواهد آمد. اگر شالوده دایره‌ای باشد به جای B_v می‌توان قطر شالوده را جایگزین کرد.

$$B_v = \sqrt{A_v} \quad (8-5)$$

E_0 : ضریب تغییرشکل لایه خاک که برحسب Kgf/cm^2 است و مقدار آن برای آزمایشهای مختلف در جدول ۵-۲ ارائه شده است.

α : ضریب ثابتی است که بر طبق آئین‌نامه ژاپن [۴۰] برای محاسبه ضریب عکس‌العمل زمین بکار می‌رود و مقدار آن در شرایط آزمایشهای مختلف در جدول ۵-۲ ارائه گردیده است.

A_v : سطح بارگذاری برحسب سانتیمتر مربع و در جهت قائم

جدول ۵-۲- مقادیر α و E_0 برای رابطه ۵-۶ [۴۰]

| مقدار ضریب α | | ضریب تغییرشکل (E_0) برحسب Kgf/cm^2 برای روشهای مختلف آزمایش بدست می‌آید. |
|---------------------|-------------|---|
| شرایط عادی | هنگام زلزله | |
| ۱ | ۲ | نصف ضریب تغییرشکل بدست آمده از آزمایش بارگذاری بر روی صفحه صلب دایره‌ای به قطر ۳۰ سانتیمتر |
| ۴ | ۸ | برابر با مدول تغییرشکل اندازه‌گیری شده از آزمایش گمانه تحت بار جانبی |
| ۴ | ۸ | برابر با مدول تغییرشکل اندازه‌گیری شده از آزمایش فشار سه محوری |
| ۱ | ۲ | برابر با مدول تغییرشکل بدست آمده از $E_0 = 28N$ با توجه به اینکه N از آزمایشهای نفوذ بدست می‌آید. |

۵-۳-۳- نشست خاک

گفته می‌شود که اگر ماسه‌های خشک تحت ارتعاش و لرزه قرار گیرند، ممکن است از درجه تخلخل آنها کاسته شده و تحکیم یابند. بر این اساس معمولاً فرض می‌شود که این پدیده هنگام



رخداد زلزله بر وضعیت این قبیل خاکها اثر گذاشته و موجب نشست آنها شود. بنابراین برای طراحی شالوده‌ها لازم است تا مقدار این نشست محاسبه شود. بر پایه چنین فرضی از رابطه ۸-۵ می‌توان مقدار نشست خاک را که به میزان تخلخل خاک بستگی دارد بدست آورد. این رابطه حداکثر مقدار تقریبی نشست (S) را با این فرض که خاک خشک بوده و تحت فشار کم تراکم خاک محصورکننده است، بدست می‌دهد.

$$S = \frac{(e - e_f)H}{(1 - e)} \quad (9-5)$$

در این رابطه H عمق خاک برحسب سانتیمتر و e_f عبارتست از نسبت تخلخل پایدار که پس از آن تحت هیچ شرایطی تخلخل خاک کاسته نخواهد شد. e نسبت تخلخل اولیه در عمق موردنظر. مقدار e_f وابسته به حداکثر (e_{max}) و حداقل (e_{min}) تخلخل خاک می‌باشد [۲۶ و ۴۱] که مقدار آن از رابطه ۹-۵ محاسبه می‌شود:

$$e_f = e_{min} + (e_{max} - e_{min}) \exp(0.076 x_g) \quad (10-5)$$

در این رابطه x_g حداکثر جابجایی زمین به متر می‌باشد. چنانچه نسبت تخلخل اولیه بیش از e_f نباشد، تحکیمی صورت نمی‌گیرد.

۵-۳-۴- آبگونگی

اگر خاک محل احداث ساختمان از نوع اشباع و غیرچسبنده باشد و تحت اثر لرزه گیرد، فشار آبهای موجود بین ذرات خاک افزایش می‌یابد. هنگامی که مقدار فشار آبهای درون خاک به حد فشار تراکم خاک برسد بطور ناگهانی مقاومت خاک به صفر رسیده و رفتار آن شبیه مایعات خواهد شد. بنابراین هنگام وقوع زلزله احتمال بروز چنین پدیده‌ای که بنام آبگونگی نامیده می‌شود بسیار زیاد خواهد بود. در زلزله‌های مختلفی چنین پدیده‌ای رخ داده است که از آن جمله می‌توان به زلزله شهر نیگاتا در ژاپن اشاره کرد که در سال ۱۹۶۴ میلادی اتفاق افتاد. در این زلزله پدیده آبگونگی موجب شد تا دیوارهای حایل ساختمانهای چند طبقه بطور کامل دچار شکست شده و آنها بطور کامل واژگون شدند. همچنین در زلزله آلاسکا خانه‌های زیادی (۱۹۶۴ میلادی) بر اثر این پدیده فرو ریختند. برای بدست آوردن ظرفیت آبگونگی یک خاک ممکن است از آزمایش استاندارد نفوذ (SPT) استفاده کرد. این روش برای هر منطقه‌ای که خاکش بدون چسبندگی



باشد به صورت یک آزمایش صحرایی قابل انجام است. مشاهده شده است که آبگونی در سطح زمین اتفاق نمی‌افتد. مثلاً در شهر نیگاتا آبگونی در عمق $4/5$ و $5/8$ متری رخ داده بود [۳۹]. برای کاهش احتمال وقوع آبگونی در خاک می‌توان از عوامل زیر که اهمیت قابل توجهی دارند، استفاده کرد:

- ۱- افزایش چگالی نسبی ماسه از طریق متراکم تر کردن آن
 - ۲- کاهش مدت لرزه یا ارتعاش
 - ۳- افزایش فشار تراکم در خاک
 - ۴- افزایش پایداری سازه
 - ۵- افزایش زمانی که خاک تحت فشار ممتد قرار دارد.
 - ۶- افزایش در نسبت فوق تحکیم
 - ۷- جایگزینی خاک محل با خاک تحکیم شده ای که احتمال آبگونی در آن اندک است.
 - ۸- بکار بردن سیستم زهکشی در داخل زمین
 - ۹- شمع کوبی در لایه ای که کمتر در معرض آبگونی قرار دارد.
- روش دیگری برای کنترل آبگونی مطرح است که مبتنی بر نسبت تنش برشی تناوبی به تنش مؤثر قائم، می‌باشد. شرح مبسوط این روش در کتب دینامیک خاک آورده شده است.

۵-۳-۵- اندرکنش خاک و سازه

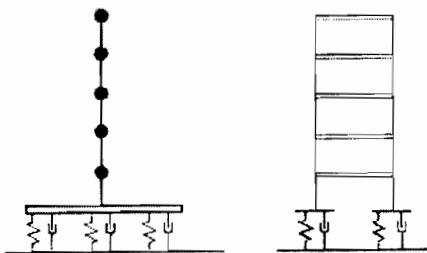
یکی از مباحث بسیار مهم که باید در طراحی لرزه‌ای ساختمانها مورد توجه قرار گیرد مسئله اندرکنش خاک و سازه است. در این بحث دو حالت مهم بشرح زیر در نظر گرفته می‌شود.

حالت اول - ساختمان در مقایسه با توده خاک زیر شالوده، سبک و انعطاف پذیر است.

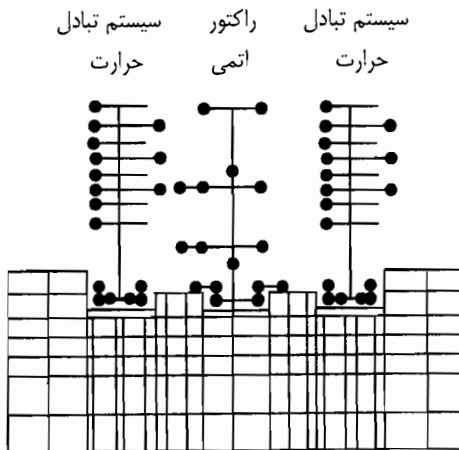
حالت دوم - ساختمان در مقایسه با توده خاک زیر شالوده، سنگین و صلب است.

حالت اول: در این حالت ساختمانها بطور معمول در مقایسه با توده خاک زیر پی خود سبک بوده و انعطاف پذیر می باشند به نحوی که اگر بر این ساختمان قسمت‌های دیگری اضافه شود بر حرکت سطحی زمین چندان تأثیری ندارد. اما باید دانست که انعطاف موضعی خاک زیر پی ساختمان بر روی رفتار و پاسخ آن اثر می‌گذارد. این پدیده بر روی مود ارتعاشی سازه نیز اثر گذاشته و فرکانس طبیعی آنرا کاهش می دهد که نتیجه آن افزایش میرایی در خاک مجاور سازه (در فرآیند استهلاک انرژی) می باشد. اگر چه این مسئله موجب افزایش پاسخ سازه می شود لیکن برش پایه را کاهش می دهد.

حالت دوم: نوع دوم اندرکنش خاک و سازه هنگامی مورد توجه است که وزن ساختمان در مقایسه با توده خاک زیر شالوده بسیار زیاد است و سازه در مجموع صلب می باشد. در این وضعیت سازه می تواند بر روی ارتعاش و حرکت خاک زیرشالوده و مجاورت آن اثر بگذارد. در مدل سازی سازه لازم است لایه های خاک زیر شالوده را تا عمقی که به صخره برسد در نظر گرفت. این قبیل مدل سازی برای حالت های بسیار ویژه و ساختمانهای خاص مانند نیروگاههای اتمی به کار می رود. در شکل ۵-۲ دو نوع مدل سازی متناسب با دو حالت فوق آورده شده است.



الف - مدل های سازه ای که برای اندرکنش خاک و سازه که بصورت فنر در نظر گرفته شده است.



ب - مدل اندرکنش خاک و سازه برای یک راکتور اتمی (در این مدل راکتور اتمی و مبدل حرارتی بصورت ساده فرض شده اند)

شکل ۵-۲- مدل های اندرکنش خاک و سازه



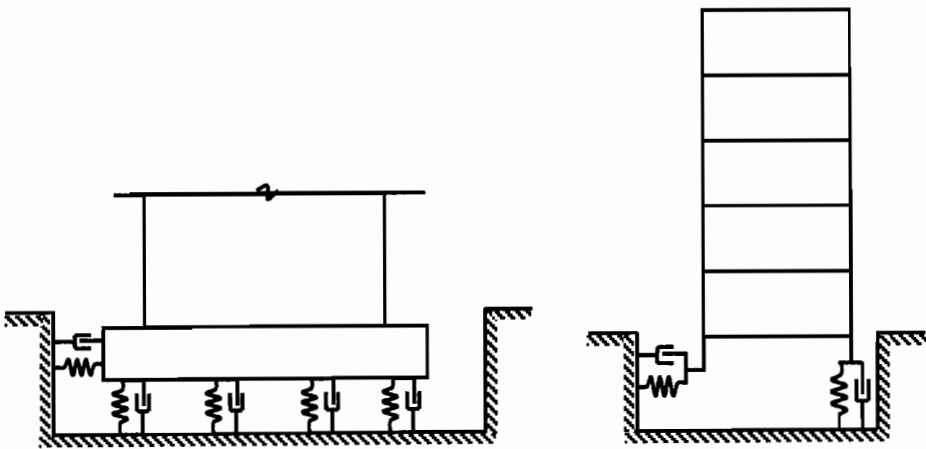
اگر خاک زیرشالوده ارتجاعی و انعطاف پذیری آن بقدری باشد که بر رفتار سازه اثر بگذارد، موجب می شود تا برش پایه کاهش یابد که این امر موجب کاهش نیروها در اعضای سازه می شود. در چنین شرایطی رفتار شالوده در مود گهواره‌ای بوده و ممکن است تغییرمکانها افزایش یابند که این پدیده دو نتیجه اساسی در بردارد. نخست اینکه ممکن است بر اثر $P-\Delta$ تنشهای ثانویه در ستونها چشمگیر شوند، دوم اینکه افزایش تغییرمکان و شتاب باعث می شود که بر اجزاء غیرسازه‌ای و عناصر معماری اثر نامطلوب بگذارد.

مدل کردن خاک نرم و انعطاف پذیر زیرشالوده برای دو نوع شالوده منفرد و پیوسته در شکل ۳-۵ نشان داده شده است.

در محل تلاقی خاک با شالوده، اثر دو عامل زیر موجب افزایش میرایی می شود:

۱- خواص غیرخطی خاک

۲- جابجایی یا انتقال انرژی که ناشی از امواج تشعشعی زلزله پدید می آید.



ب - شالوده پیوسته

الف - شالوده منفرد

شکل ۳-۵- نحوه مدل کردن سختی و میرایی زیر شالوده

مقادیر معادل با سختی فنرهای خطی و ضریب میرایی در جدولهای ۳-۵ و ۴-۵ به ترتیب برای شالوده‌های مدور و مستطیلی آورده شده است.



جدول ۵-۳- اندرکنش شالوده، مقادیر فنر و میراننده برای شالوده های مدور [۲۶]

| حرکت | عدد ثابت فنر (سختی معادل) | ضریب میرایی معادل |
|-----------|------------------------------------|--|
| افقی | $k_x = \frac{32(1-\nu)GR}{7-8\nu}$ | $C_x = 0.576 k_x R(\rho/G)^{1/2}$ |
| گهواره‌ای | $k_\psi = \frac{8GR^2}{3(1-\nu)}$ | $C_\psi = \frac{0.3}{1+B_\psi} k_\psi R(\rho/G)^{1/2}$ |
| قائم | $k_z = \frac{4GR}{1-\nu}$ | $C_z = 0.85 k_z R(\rho/G)^{1/2}$ |
| پیچشی | $k_t = 16GR^2/3$ | $C_t = \frac{(k_t I_t)^{1/2}}{1+2I_t/\rho R^6}$ |

در این جدول عوامل به صورت زیر تعریف شده اند:

ν = ضریب پواسیون برای شالوده

G = مدول برشی شالوده

R = شعاع شالوده مدور

ρ = چگالی نسبی شالوده

I_0 = ممان اینرسی کلی سازه و شالوده حول محور حرکت گهواره‌ای

I_t = ممان اینرسی قطبی سازه و شالوده

و مقدار B_ψ چنین است:

$$B_\psi = \frac{3(1-\nu)I_0}{8\rho R^6}$$

جدول ۵-۴- اندرکنش شالوده مقادیر سختی فنر و میرایی برای شالوده های مستطیلی [۲۶]

| حرکت | عدد ثابت فنر (سختی معادل) | عدد ضریب میرایی معادل |
|-----------|---|--|
| افقی | $k_x = 2(1+\nu)G\beta_x(BL)^{1/2}$ | همان روابط شالوده مدور بکار رود ولی شعاع معادل از روابط زیر استفاده شود. |
| گهواره‌ای | $k_\psi = \frac{G}{1-\nu}\beta_\psi BL^2$ | برای حرکت انتقالی |
| قائم | $k_z = \frac{G}{1-\nu}\beta_z(BL)^{1/2}$ | برای حرکت گهواره‌ای |
| پیچشی | $k_t = 16GR^2/3$ | برای |

$$R = \left(\frac{BL}{\pi}\right)^{1/2}$$

$$R = \left(\frac{BL^2}{3\pi}\right)^{1/2}$$

$$R = [BL(B'+L')/6\pi]^{1/2}$$



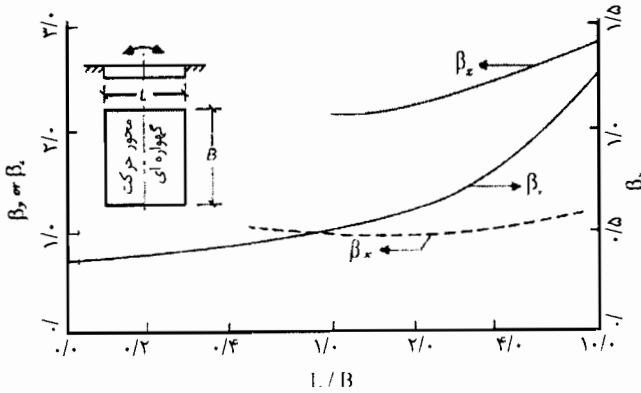
در این جدول نیز عوامل مختلف چنین تعریف شده اند:

ν و G به ترتیب ضریب پواسیون و مدول برشی خاک

$B =$ عرض شالوده عمود بر جهت افقی لرزه

$L =$ طول شالوده در جهت افقی لرزه

$\beta_x, \beta_\psi, \beta_z$ از روی شکل ۴-۵ بدست می آیند که ثابت بوده و بستگی به نسبت L/B دارند.



شکل ۴-۵- مقدار ثابت های $\beta_x, \beta_\psi, \beta_z$ برای شالوده های مستطیلی [۲۶ و ۴۲]

۵-۴- طراحی شالوده‌ها

۵-۴-۱- بارگذاری

برای طراحی شالوده‌ها باید بارهای بدون ضریب را با ترکیب زیر به بارهای نهایی تبدیل کرده و برای تحلیل بکار برده شوند.

$$1/25D + 1/5L$$

$$0/75 (D + 1/2L + 1/2E)$$

$$0/85D + 1/2E$$

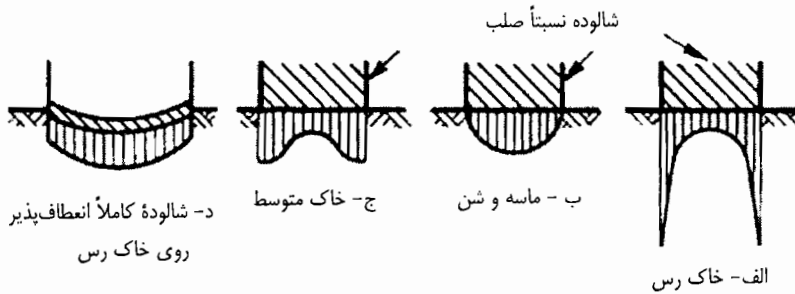
(۵-۱۱)

ترکیب‌های فوق برای تعیین حداکثر برش و لنگر در مقاطع بحرانی شالوده بکار برده می‌شوند. برای حصول از اطمینان در ایمنی شالوده‌ها لازم است ضرایب کاهش مقاومت (ϕ) برای لنگر $0/9$ ، برای برش $0/85$ و برای فشار روی بتن $0/7$ در نظر گرفته شود. به عبارت دیگر لازم است مقاومت طراحی کوچکتر یا مساوی از حاصلضرب ضریب کاهش در مقاومت اسمی باشد.



۵-۴-۲- توزیع فشار در زیر شالوده‌ها

چنانچه شالوده صلب بر روی خاک غیرچسبنده (دانه‌ای) استوار باشد، فشار زیرشالوده مطابق شکل ۵-۵-۵ الف می‌باشد که مقدار آن در مرکز شالوده حداکثر و به سمت لبه‌ها کاهش می‌یابد. علت این امر در آن است که بر اثر فشار اعمالی دانه‌های خاک که غیرچسبنده هستند به سمت لبه شالوده رانده می‌شوند و در این رانش بر روی یکدیگر می‌لغزند.



شکل ۵-۵-۵- توزیع فشار در زیر شالوده صلب

و اگر شالوده صلب بر روی خاک چسبنده مانند خاک رسی استوار باشد، توزیع تنش مانند حالت شکل ۵-۵-۵ ب بوده که در وسط شالوده فشار کمترین مقدار و در کنار لبه‌ها بیشترین مقدار را دارد. علت این پدیده خاصیت چسبندگی خاک است که رانش ذرات خاک براحتی ممکن نیست و مقاومت برشی خاک در محدوده لبه‌های پی خیلی زیاد است. بنابراین تنش‌های خیلی زیادی در این قسمت‌ها ایجاد می‌شود.

شالوده‌های ارتجاعی که بر بستر رسی واقع شوند، توزیع فشار در زیر شالوده مطابق شکل ۵-۵-۵ د خواهد بود. در حالتی که نیروی ثقلی کاملاً در محور قائم باشد و شالوده در حد بسیار زیاد صلب باشد توزیع فشار بصورت یکنواخت خواهد بود که در شکل ۵-۵-۵ ج نشان داده شده است.

چنانچه مسیر بار محوری اعمالی نسبت به مرکز شالوده خروج از محوریت داشته باشد، یا اینکه علاوه بر بار محوری، لنگر خمشی نیز در پای ستون به شالوده اعمال شود، توزیع فشار زیر شالوده یکنواخت نخواهد بود.

اگر خاک زیرشالوده تحکیم‌پذیر باشد، توزیع غیریکنواخت فشار می‌تواند موجب دوران پی گردد اما



اگر خاک زیرشالوده از نوع صخره‌ای یا غیرتحکیم‌پذیر باشد، می‌توان از شالوده‌هایی که تحت بارهای محوری با خروج از مرکزیت هستند، نیز استفاده کرد.

شالوده‌ها را به صورت تیرطره، ساده، گیردار طراحی می‌کنند. اگر نتوان شالوده را به صورت یک سازه صلب در نظر گرفت، باید آنرا بعنوان یک سازه ارتجاعی تحلیل کرد.

علی‌القاعده، شالوده‌ها باید دارای ضخامت کافی باشند چه بعنوان یک عضو از کل سازه یا یک سازه صلب. ضخامت شالوده‌ها برای دو حالت زیر در نظر گرفته می‌شود.

الف- ضخامت لازم بعنوان یک عضو

در این وضعیت باید ضخامت شالوده بتواند در مقابل لنگر، برش و برش حاصل از اثر منگنه مقاومت داشته باشد.

ب- ضخامت لازم بعنوان یک جزء صلب

هنگامی که شالوده برای اتصال چند شمع (بعنوان دال سرشمع) یا اتصال ستون و دیوار بکار می‌رود باید دارای ضخامت تأمین‌کننده این منظور باشد. به عبارت ساده‌تر باید ضخامت شالوده آنقدر باشد تا آنرا نسبت به سایر اعضای سازه‌ای بعنوان یک جزء کاملاً سخت و صلب مطرح نماید. یعنی باید سختی از آن از سایر اعضاء سازه‌ای بیشتر باشد.

توزیع فشار زیرشالوده را بصورت خطی در نظر می‌گیرند و مقدار حداکثر آن نباید از تنش مجاز خاک بیشتر باشد و در هر حال مقدار حداکثر و حداقل آن برابر است با:

$$q_{\min}^{\max} = \frac{P}{BL} \pm \frac{M \cdot y}{I} \quad (۱۲-۵)$$

ولی اگر نیروی محوری منطبق بر محور ستون و از مرکز شالوده عبور کند خواهیم داشت:

$$q_{\min}^{\max} = \frac{P}{BL} \pm \frac{eM}{B'L} \quad (۱۳-۵)$$

در این روابط:

P : نیروی محوری اعمالی

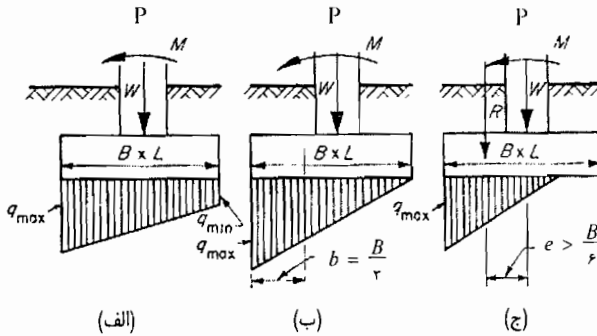
M : لنگر خمشی

B : عرض شالوده

L : طول شالوده

y : فاصله مرکز ثقل شالوده تا لبه آزاد آن

I : ممان اینرسی پلان شالوده



شکل ۵-۶- شالوده تحت بارهای غیرمتمرکز

اگر نیروی محوری P و لنگر خمشی M خارج از محدوده یک سوم سطح میانی اعمال شود. رابطه ۵-۱۳ بصورت زیر در می‌آید.

$$q_{max} = \frac{4P}{3L(B-2e)} \quad (۵-۱۴)$$

که در آن e فاصله محور بار P تا محور شالوده یا محور برآیند نیروها R است.

۵-۴-۳- تعیین ابعاد شالوده

برای تعیین ابعاد اولیه شالوده باید تنش حاصل از بارهای اعمالی بر شالوده مساوی یا کمتر از تنش مجاز خاک باشد. مقدار تنش مجاز خاک را بر طبق اصول مکانیک خاک، آزمایشهای بارگذاری یا سایر روشهای تجربی بدست می‌آورند.

اگر تنش مجاز خاک را برای بارهای بهره‌برداری q_a و برای بارهای نهایی q_u و همچنین مساحت شالوده A_b و D, L, W, E به ترتیب بارهای زنده، مرده، باد و زلزله باشند مقدار A_b تحت بارهای بدون ضریب برابر است با:

$$A_b = \frac{D+L+E}{1.33 q_a} \quad \text{یا} \quad A_b = \frac{D+L+W}{1.33 q_a} \quad (۵-۱۵)$$

رابطه ۵-۱۵ نشان می‌دهد که با حضور نیروی ناشی از باد یا زلزله حدود ۳۳ درصد تنش مجاز خاک افزایش داده شده است. اما اگر نیروی ناشی از باد یا زلزله حضور نداشته باشد در مخرج کسر هم (طرف راست رابطه ۵-۱۵) فقط q_a خواهد بود.



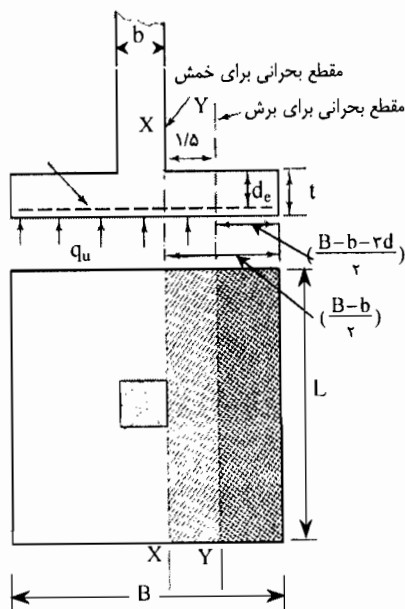
چنانکه ملاحظه شد برای بدست آوردن A_b بارهای اعمالی از نوع بدون ضریب هستند. در حالیکه باید بخاطر داشت که برای تعیین ضخامت شالوده و طراحی آن بارهای اعمالی باید ضریب‌دار باشند. از آنجا که اصول طراحی شالوده‌ها بسیار شبیه دالها است، کلیه قواعد و ضوابط آئین‌نامه طراحی ساختمانهای بتنی (آبا) در مورد آنها نیز صادق است و نیازی به شرح مبسوط در این مورد نیست. بنابراین تعیین ضخامت دال و طراحی آن برای بتن و فولاد موردنیاز براساس بارهای ضریب‌دار خواهد بود.

۵-۴-۴- مقاومت خمشی و برشی

برای محاسبه مقاومت خمشی شالوده‌ها از ضوابط مربوط به طراحی دالها در آئین‌نامه استفاده می‌شود اما از نظر تحلیل، قسمت کنارستونی در هر طرف بعنوان کنسول یا طره در نظر گرفته می‌شود که تحت بار گسترده از پائین به بالا قرار گرفته باشد. بنابراین بر طبق شکل ۵-۶ در مقطع xx داریم:

$$M_b = \frac{q_u (B-b)^2}{8} \quad (5-16)$$

که در آن M_b لنگر خمشی در واحد طول شالوده است (طول شالوده عمود بر عرض B می‌باشد).



شکل ۵-۷- مقطع بحرانی خمشی و برشی برای یک شالوده تحت فشار یکنواخت

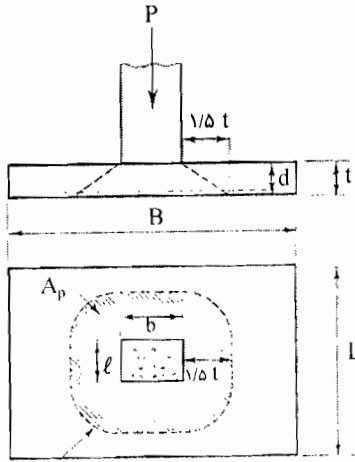


همچنین مقدار تنش برشی در مقطع ℓ که در فاصله d $1/5$ قرار دارد برابر است با:

$$v_b = \frac{q_u(B-b-3d)}{2d} \quad (17-5)$$

که در این رابطه d عمق مؤثر شالوده است.

یکی دیگر از کنترل‌هایی که باید برای شالوده انجام داد، کنترل برش منگنه است که مطابق شکل ۵-۸ سطح منگنه و مقطع بحرانی در نظر گرفته می‌شود.



مقطع بحرانی برای برش منگنه

شکل ۵-۸- برش منگنه برای شالوده یک ستون

مقدار تنش برشی منگنه از رابطه ۵-۱۸ بدست می‌آید.

$$v_p = \frac{P(1 - \frac{A_p}{B \cdot L})}{2(b + l + \sqrt{5}\pi t)d} \quad (18-5)$$

که در آن A_p سطح منگنه در داخل محدوده مقطع بحرانی برای برش منگنه بوده و بقیه عوامل بر روی شکل ۵-۸ مشخص شده‌اند. اساس روش طراحی در مورد شالوده‌های مرکب (نواری و گسترده) چندان تفاوتی با شالوده‌های منفرد ندارد، تنها نکته مهم این است که نحوه توزیع تنش در خاک زیر شالوده چگونه است. بطور کلی توزیع تنش در زیر شالوده‌های مرکب را به یکی از دو فرض صلب بودن شالوده یا انعطاف‌پذیر بودن آن وابسته می‌دانند. اگر شالوده صلب باشد، توزیع



فشار در زیر آن بصورت خطی خواهد بود که در این حالت از روابطی که برای شالوده‌های منفرد ارائه شد می‌توان برای این قبیل شالوده‌ها نیز استفاده کرد.

برای اینکه شالوده صلب فرض شود، باید به عوامل زیر توجه کرد:

- فاصله بین ستونها
- سختی شالوده
- سختی سازه متکی بر شالوده

بر طبق توصیه‌های آئین‌نامه‌ای شالوده‌های دو ستون را می‌توان به صورت صلب در نظر گرفت. اما در مورد شالوده‌های نواری و گسترده باید ابتدا نوع رفتار شالوده که صلب یا انعطاف‌پذیر باشد، معلوم گردد. برای طراحی شالوده‌های منفرد مراحل زیر انجام می‌شود.

۱- محاسبه سطح شالوده و تعیین ابعاد آن با استفاده از بارهای بدون ضریب و فشار مجاز خاک q_u هر کدام بیشتر است.

$$A = \frac{D+L}{q_a} \quad \text{یا} \quad \frac{D+L+E}{1/33 q_a} \quad (19-5)$$

$$B \cdot L = A$$

۲- با استفاده از ابعاد یا سطح شالوده (سطح تماس با خاک) فشار نهایی خاک بدست می‌آید.

$$q_u = \frac{P_u}{B \cdot L} \quad (20-5)$$

P_u بار ضریب‌دار است.

۳- تعیین ارتفاع مؤثر شالوده (d)

برای تعیین ارتفاع مؤثر شالوده می‌توان براساس برش در یک جهت مقدار آنرا تخمین زد و به کمک روش سعی و خطا عمق مؤثر و مالا ضخامت شالوده را تعیین کرد. روش دیگر اینکه از تعادل ظرفیت مجاز برشی با برش حاصل از فشار خاک می‌توان ارتفاع مؤثر را بدست آورد. در هر حالت پس از تعیین d باید کفایت مقدار آن توسط برش جهت دیگر و برش منگنه کنترل شود. اگر به کمک برش منگنه مقدار d محاسبه شود لازم است توسط برش هر یک از دو جهت شالوده، کنترل شود.

در هر صورت اگر مطابق شکل ۵-۸ قرار باشد از طریق برش منگنه مقدار d بدست آید خواهیم داشت:

$$q_u [B \cdot L - (b+d)(\ell+d)] = 2(b+\ell+2d) d v_c$$



که پس از ساده کردن:

$$(q_u + \gamma v_c) d^2 + (q_u + \gamma v_c)(b + \ell) d + q_u(b\ell - BL) = 0 \quad (5-21)$$

در این رابطه v_c مقدار مقاومت برشی است که بر طبق آبا برابر است با $0.12\sqrt{f_c}$ و قبلاً در فصل سوم ارائه شده بود. مقدار d از رابطه ۵-۲۳ محاسبه می‌شود که باید برای برش یک جهت کنترل گردد.

۴- تعیین ظرفیت خمشی شالوده

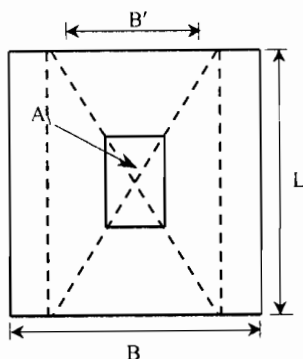
برای تعیین ظرفیت خمشی (یا میلگردهای خمشی) با توجه به اینکه مقطع بحرانی در بر ستون قرار دارد، بر اثر فشارهای خاک زیر شالوده و خاک روی شالوده (در صورت وجود) مقدار لنگر حول مقطع بحرانی محاسبه شده و بر طبق ضوابط طراحی خمشی متداول مقدار فولادهای موردنیاز محاسبه می‌شود (طبق شکل ۵-۷).

۵- کنترل تنش فشاری محصور

تنش فشاری در پای ستون به شالوده منتقل می‌شود ولی این تنش فشاری در بتن شالوده به صورت غیرمستقیم افزایش می‌یابد. علت این افزایش در آن است که بار ستون به بخشی از سطح شالوده منتقل می‌شود و بتن نواحی دیگر (دورتر) برای این بخش نقش تکیه‌گاه یا محصورکننده را ایفا می‌کند و بهمین دلیل بخشی که متحمل بار ستون شده توسط بتن‌های اطراف خود محصور می‌شود از این جهت مقاومت آن افزایش می‌یابد. از اینرو تنش فشاری در شالوده که محصور شده است، افزایش می‌یابد. بدین سبب تنش بتن برابر است با حاصلضرب ضریب γ_b در مقدار معمول تنش بتن. این ضریب عبارتست از مجذور نسبت حداکثر مساحت قسمتی از سطح شالوده که با سطح بارگذاری (سطح ستون) هم‌مرکز باشد، به مساحت ستون.

در شکل ۵-۹ این دو سطح با A_1 و A_2 نشان داده شده و ضریب افزایش $1 \geq \gamma_b = \sqrt{\frac{A_2}{A_1}} \geq 2$

است برای این شکل مقدار $\gamma_b = L/\ell$ است.



شکل ۵-۹ - سطوح مربوط به تنش فشاری محصور

اگر سطح شالوده شیبدار یا پله‌ای باشد، مقدار A_2 برابر با مساحت قاعدهٔ تحتانی بزرگترین هرم یا مخروط ناقصی است که بصورت قائم در داخل شالوده جای دارد و قاعدهٔ فوقانی آن A_1 است. نیروها و لنگرهای پای ستون، دیوار یا ستون پایه باید با عملکرد اتکایی بتن و کشش یا فشار میلگردهای ادامه یافته طولی ستون یا میلگردهای انتظار به شالوده یاستون پایه منتقل شوند. تنش اتکایی بتن در سطح تماس شالوده و ستون نباید از مقاومت اتکایی نهایی بتن در هر یک از سطوح تماس نباید از مقدار $0.5f_c A_1$ بیشتر باشد.

میلگردهای طولی ستون یا میلگردهای انتظار که در محل ستون و شالوده هستند باید حداقل ۰.۰۵٪ سطح مقطع ستون باشند. این میلگردها باید بتوانند نیروی فشاری مازاد بر مقاومت اتکایی بتن بین ستون و شالوده را و همچنین هرگونه نیروی کششی که در سطح تماس ستون و شالوده محاسبه شده است، تحمل کنند. تردیدی نیست که این میلگردها باید ضوابط چسبندگی بتن و فولاد را تأمین نمایند تا انتقال لنگرهای خمشی به شالوده میسر باشد. چنانچه از مهره‌های مهاری یا اتصال‌دهنده‌های مکانیکی برای اتصال میلگردهای طولی ستون به شالوده استفاده شود، این وسایل باید چنان طراحی شوند که قبل از گسیختگی پیچ یا مهره مهاری و یا گسیختگی بتن اطراف آن، به مقاومت تسلیم خود برسند.

نکته مهم در طراحی شالوده‌ها، کنترل پایداری آنها است. برای این منظور باید نسبت لنگر مقاوم به لنگر واژگونی که از بدترین حالت ترکیبات بارگذاری بدست می‌آید، را محاسبه کرد و برطبق ضوابط موجود این نسبت نباید کمتر از ۱/۵ باشد. بنابراین اگر SF ضریب ایمنی در مقابل واژگونی باشد خواهیم داشت:

$$SF = \text{لنگر واژگونی} / \text{لنگر مقاوم} = \frac{M_R}{M_u} \geq 1/5 \quad (۲۲-۵)$$



در طرح شالوده‌های مرکب فرض می‌شود که توزیع تنش در زیر شالوده بصورت خطی است و اگر برآیند نیروهای اعمالی از مرکز ثقل شالوده عبور کند، توزیع فشار خاک را یکنواخت در نظر می‌گیرند. بنابراین فرض توزیع خطی فشار ایجاب می‌کند که شالوده بصورت یک جسم صلب و سخت بر بستر هموزن عمل کند. البته با این فرضیات نه شالوده بطور کامل و واقعی صلب خواهد بود و نه اینکه فشار زیر آن یکنواخت است، بلکه نشان داده شده است که این راه حل بقدر کافی از دقت لازم برخوردار است و مشکل خاصی وجود ندارد زیرا نتیجه طراحی دست بالا خواهد شد.

در هر حال برای طراحی این قبیل شالوده‌ها مراحل زیر انجام می‌شود:

۱- تعیین محل اثر برآیند نیروهای اعمالی ستونها

۲- تخمین ابعاد شالوده به نحوی که مرکز ثقل آن منطبق با برآیند نیروهای ستونها باشد.

۳- توزیع لنگر و برش تعیین شود.

۴- ضخامت شالوده برای کنترل برش تعیین گردد.

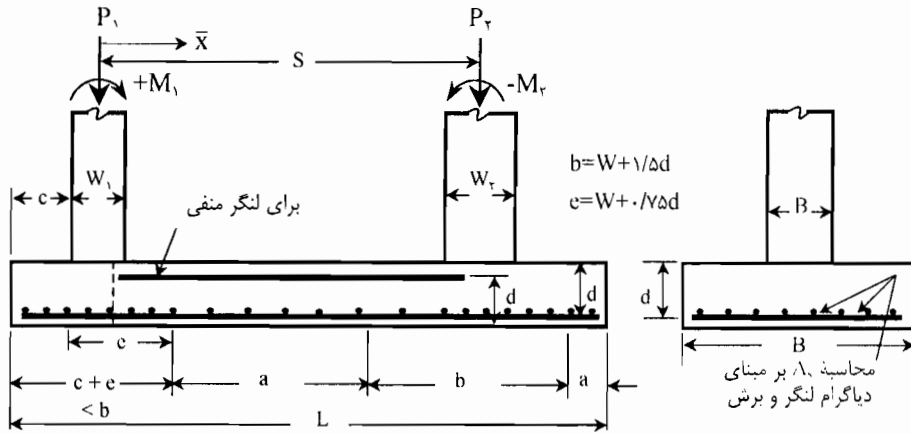
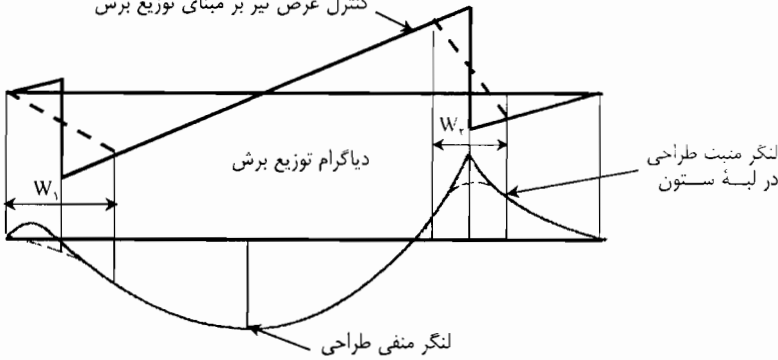
۵- طراحی میلگردهای لازم برای لنگرهای منفی و مثبت محاسبه شوند.

در شکل ۵-۱۰ دیاگرام برش و لنگر برای یک شالوده مرکب از نوع دو ستونی و همچنین نحوه میلگردگذاری در حالت کلی نشان داده شده است.

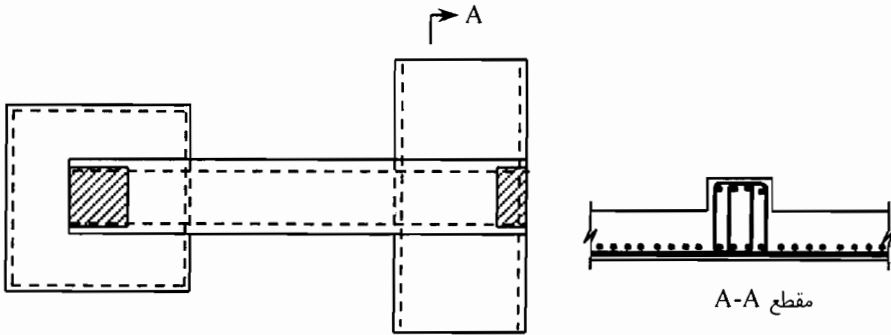
در این قبیل شالوده‌ها، گاهی اتفاق می‌افتد که یکی از ستونها در انتهای زمین محل احداث ساختمان واقع می‌شود (شالوده باسکولی). در این حالت شالوده ستون کنار زمین به صورت یک شالوده منفرد تلقی شده و طراحی می‌شود. اما از آنجا که همین شالوده منفرد به صورت خارج از مرکز بارگذاری شده است، تیر کلاف که بین دو شالوده قرار می‌گیرد به صورت یک اهرم متعادل کننده عمل خواهد کرد. از اینرو این تیر باید آنقدر صلب و سخت باشد که بتواند برش حاصل از عدم تعادل بین دو شالوده ستونها را تحمل کند. هنگام وقوع زلزله که نقش دو ستون در رفتار سازه با یکدیگر متفاوت خواهد بود، بر روی رفتار شالوده اثر می‌گذارد و اگر چنانچه خاک زیرشالوده نرم باشد، تیر کلاف تمایل به بلند شدن خواهد داشت. بنابراین در چنین مواقعی نباید از این روش برای طراحی این قبیل شالوده‌ها استفاده شود.



کنترل عرض تیر بر مبنای توزیع برش



شکل ۵-۱۰- دیگرام برش، لنگر و نحوه تعبیه میلگردهای یک شالوده مرکب



شکل ۵-۱۱- پلان و مقطع عمومی یک شالوده مرکب با ستون کناری و تیر کلاف



۵-۵- طراحی پی های شمعی

رفتار دینامیکی شمع ها به گونه ای است که چندان اثری بر سختی جانبی زمین ندارند. اما اثر دینامیکی آنها بر مود گهواره ای ساختمان خیلی زیاد است و موجب افزایش سختی در این مود می شود. مقاومت و پاسخ شمع ها بسیار تحت تأثیر آبیگونی قرار می گیرد. چنانچه تکیه گاههای جانبی موقت برای شمع ها پیش بینی نشده باشد یا اینکه لنگر خمشی زیادی در آنها ایجاد شود جابجایی زیادی برای آنها بوجود می آید.

پی های شمعی به همراه حرکت های جانبی زمین دچار انحناء گردیده و انحنای آنها در محل تغییر در لایه های خاک تند شده که باید در طراحی به این موضوع دقت شود.

از آنجا که حرکت زمین موجب انحناء شمع و در نتیجه ایجاد لنگر در آن می شود، این لنگرها با مدول ارتجاعی شمع E و ضخامت آن متناسب است. بهمین دلیل تا آنجا که ممکن است باید ضخامت شمع کم و سختی مصالح بکار رفته در آن کوچک باشد. معمولاً شمع ها در قسمت های زیرین دچار شکست نمی شوند.

دستورالعملهای مربوط به طراحی لرزه ای شمع ها هرگز اجازه نمی دهد که شمع ها بدون آرماتور طراحی شوند، بلکه باید در قسمتهای فوقانی خود بقدر کافی شکل پذیر باشند زیرا در این قسمت ها ممکن است بر اثر زلزله های شدید مقطع شمع تسلیم شود.

ظرفیت باربری خاک باید بزرگتر از نیروی محوری شمع که حاصل از بار قائم و لنگر واژگونی سازه اصلی است، باشد.

[اثر لنگر واژگونی سازه + بار قائم = نیروی محوری شمع] > ظرفیت باربری خاک

برای تحلیل و طراحی شمع ها، آنها را به دو دسته بلند و کوتاه تقسیم می کنند، سپس برای هر دسته توزیع تنش و مقاومت افقی نهایی با فرض یک مود گسیختگی مناسب به روش استاتیکی معادل محاسبه می نمایند. این روش نسبتاً ساده بوده و نتایج آن با نتایج تجربی همخوانی خوبی دارد. اگر عوامل زیر را برای شکل ۵-۱۲ تعریف کنیم، بر طبق این روش می توان توزیع لنگر خمشی را برای حالات مختلف این شکل بدست آورد.

P : بار جانبی

e : ارتفاع آزاد شمع (بیرون از زمین)



D : قطر شمع

L : ارتفاع مدفون شمع

C_u : مقاومت برشی بدون زهکش

K_p : ضریب فشار جانبی رانکین

γ : چگالی خاک

بر مبنای روش فوق لنگرهای خمشی در شمع‌ها محاسبه می‌شوند که در شکل ۵-۱۳، ۵-۱۴ و ۵-۱۵ برای وضعیت‌های گوناگون نشان داده شده‌اند.

همینکه در شمع لولای خمیری تشکیل شود، توزیع فشار خاک در حد زیادی و قابل توجهی تغییر خواهد کرد. البته و غالباً لولاهای خمیری در شمع‌های بلند تشکیل می‌شوند و کمتر در شمع‌های کوتاه که سختی بیشتری دارند چنین مقاطع خمیری تشکیل می‌شود. معمولاً فرض می‌کنند که در عمق ۱/۵ برابر قطر شمع، فشار جانبی قابل توجهی از طرف خاک ایجاد نمی‌شود.

در شکل ۵-۱۳ توزیع لنگر و عکس‌العمل خاک برای شمع‌های کوتاه و بلند بدون قید، در خاک چسبنده برای دو حالت دارای مقطع خمیری (جاری شدن) و بدون مقطع خمیری نشان داده شده است. که در آن شکل H_u بار نهایی جانبی، f عمق متناظر با حداکثر لنگر خمشی می‌باشند که رابطه ۵-۲۳ تعادل نیروها را ارائه می‌کند.

$$H_u = 9f C_u d \quad (5-23)$$

$$f = \frac{H_u}{9C_u d} \quad \text{و یا}$$

در شکل ۵-۱۴ توزیع لنگر و فشار خاک برای شمع‌های کوتاه، متوسط و بلند که در سرشمع دارای قید هستند نشان داده شده است. در مورد شمع‌های کوتاه مقدار لنگر حداکثر از رابطه ۳-۲۴ محاسبه می‌شود:

$$M_{max} = H_u (0.5L + 0.75d) \quad (5-24)$$

در این شمع‌ها ابتدا در سرشمع جاری شدن اتفاق می‌افتد. برای بدست آوردن f ، g و M_{max} می‌توان از تعادل استاتیکی نیروهای افقی و تجزیه لنگر حول سرشمع استفاده کرد.

اگر مقدار M_{max} در سرشمع آنقدر اضافه شود تا به حد M_u برسد، در اینصورت با وضعیت شمع متوسط تطبیق خواهد داشت و اگر چنانچه در طول شمع و در جهت دیگر نیز مقدار لنگر به M_u برسد با وضعیت شمع بلند مطابقت خواهد داشت.



باید توجه داشت که در هر یک از این سه وضعیت خاک دارای چسبندگی قابل توجه است. اما اگر خاک بدون چسبندگی باشد، نیروی نهایی افقی حدوداً سه برابر فشار غیرفعال رانکین خواهد شد که مقدار آن از رابطه ۵-۲۵ بدست می‌آید.

$$P_u = 3\sigma'_v K_p \quad (5-25)$$

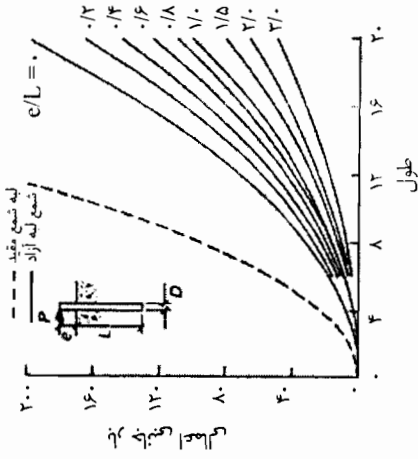
σ'_v : فشار قائم خاک سربار

K_p : ضریب فشار غیرفعال و برابر است با:

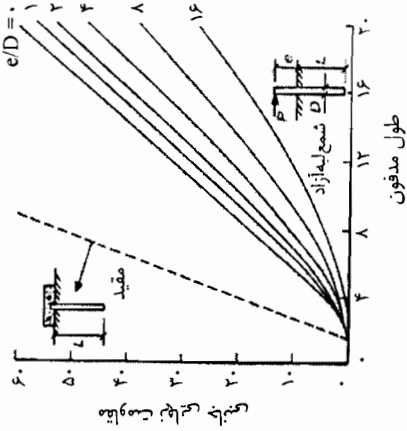
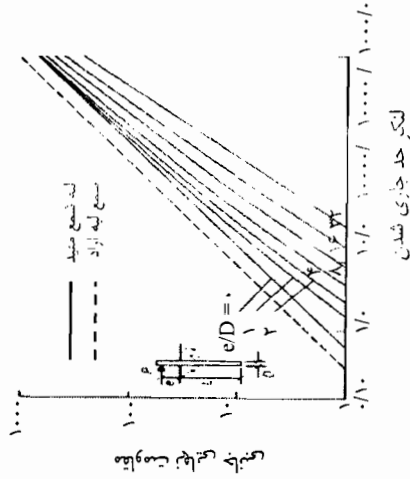
$$K_p = \frac{1 + \sin\phi}{1 - \sin\phi}$$

ϕ : زاویه اصطکاک داخلی ذرات خاک

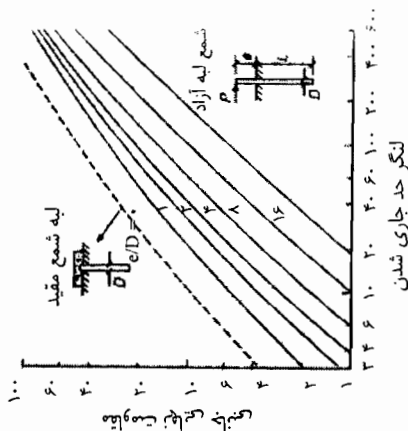
در شکل ۵-۱۵ توزیع فشار و لنگر برای شمع‌های کوتاه و بلند بدون قید که در خاک غیرچسبنده قرار داشته باشند آورده شده است. چنانچه ملاحظه می‌شود برای شمع کوتاه لنگر حداکثر (M_{max}) و برای شمع بلند لنگر جاری شدن M_{yield} در عمق f ایجاد می‌شود.



ب- مقاومت جانبی و نهایی شمع برای خاک بدون چسبندگی



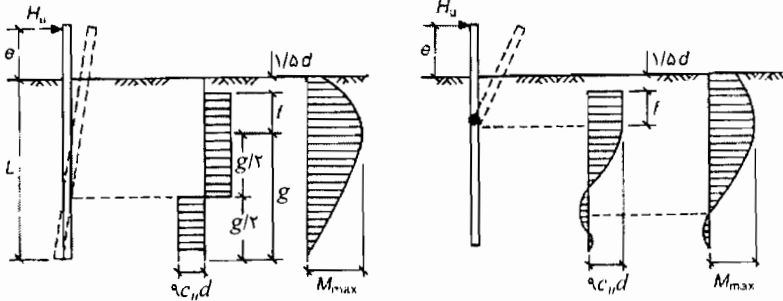
الف - مقاومت جانبی و نهایی شمع برای خاک دارای چسبندگی



د - مقاومت نهایی جانبی شمع برای خاک بدون چسبندگی بر حسب لنگر تسلیم

ج - مقاومت جانبی و نهایی شمع برای خاک دارای چسبندگی بر حسب لنگر تسلیم

شکل ۵-۱۲ - مقدار بار نهایی برای حالات مختلف خاک در شمع‌ها [۲۶ و ۴۶]



ب - شمع بلند

الف - شمع کوتاه

شکل ۵-۱۳- بارچابی استاتیکی بر شمع لبه آزاد در خاک چسبنده [۲۶ و ۴۶]

۵-۶- خواص مهندسی خاک

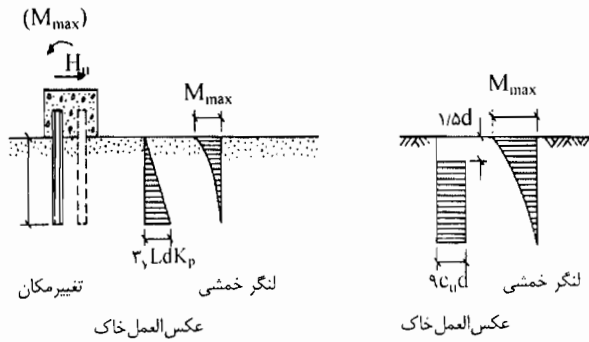
می دانیم که رفتار خاک غیرخطی است و برای در نظر گرفتن خواص ارتجاعی آن لازم است متناسب با مقدار معینی از کرنش این رفتار را خطی در نظر بگیریم. معمولاً آزمایشهای صحرایی نتایجی را ارائه می دهد که متناظر با سطح پائینی از کرنش خاک می باشد، در حالیکه هنگام وقوع زلزله و حرکت های شدید زمین کرنشهای بزرگی در خاک ایجاد می شود. از طرفی آزمایش های آزمایشگاهی نسبتاً در حد کرنشهای بزرگ انجام می گیرد و در برخی موارد ممکن است تا حد کرنشهای ناشی از زلزله نیز انجام شود. در آزمایشهای صحرایی معمولاً می توان سرعت امواج برشی V_s و سرعت امواج فشاری V_p را در کرنشهای کوچک به حساب آورد. در آزمایشگاه می توان به طور مستقیم مدول ارتجاعی E و مدول برشی G خاک را در کرنشهای زیاد بدست آورد. حداکثر مقدار مدول ارتجاعی E و مدول برشی G خاک را می توان از روی سرعت موج برشی و سرعت موج فشاری از طریق روابط ۵-۲۶ و ۵-۲۷ بدست آورد.

$$E_{max} = \rho V_p^2 \quad (5-26)$$

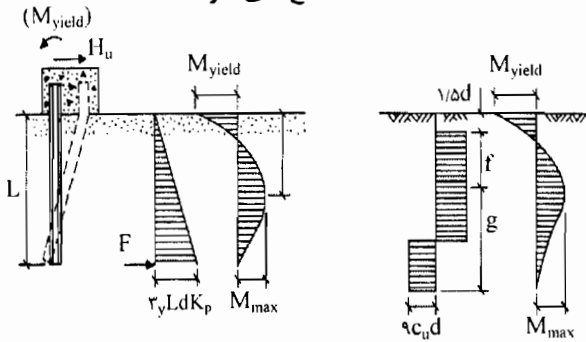
$$G_{max} = \rho V_s^2 \quad (5-27)$$

در این روابط ρ جرم متراکم یا جرم مخصوص خاک است و واحدها برحسب دستگاه بین المللی است. رابطه بین E_{max} ، G_{max} را می توان از ضریب پواسون نیز در اختیار داشت:

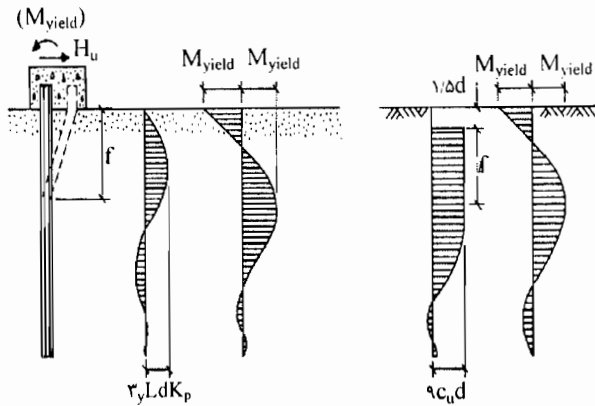
$$E_{max} = 2(1+\nu) G_{max} \quad (5-28)$$



الف - شمع‌های کوتاه

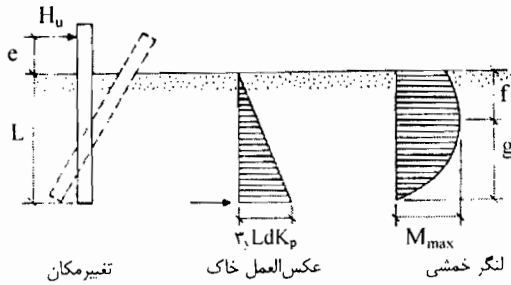


ب - شمع‌های متوسط

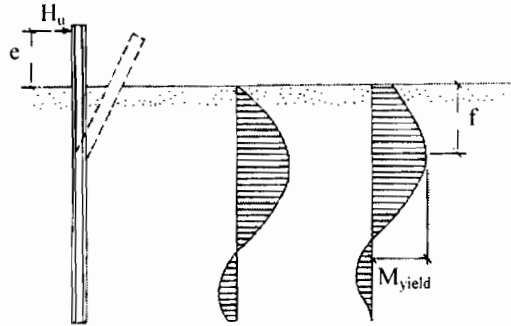


ج - شمع‌های بلند

شکل ۵-۱۴- بار جانبی استاتیکی بر شمع‌های گیردار [۲۶ و ۴۶]



الف - شمع کوتاه



ب - شمع بلند

شکل ۵-۱۵- بار جانبی استاتیکی بر شمع لبه آزاد در خاک بدون چسبندگی [۲۶ و ۴۶]

۵-۶-۱- ضریب پواسیون

ضریب پواسیون را نیز می توان به کمک سرعت موج برشی و سرعت موج فشاری بر طبق رابطه ۵-۲۹ بدست آورد. در جدول ۵-۵ ضرایب پواسیون برای انواع خاکها آورده شده است.

$$v = \frac{(V_p/V_s)^2 - 2}{2(V_p/V_s)^2 - 2} \quad (۵-۲۹)$$

جدول ۵-۵- مقادیر متداول ضرایب پواسیون [۲۶ و ۴۳]

| | |
|----------|----------------------|
| ۰/۴-۰/۵ | خاک رس اشباع |
| ۰/۱-۰/۳ | خاک رس غیراشباع |
| ۰/۲-۰/۳ | خاک رس همراه با ماسه |
| ۰/۳-۰/۳۵ | سیلت |
| ۰/۲-۰/۴ | ماسه متراکم |
| ۰/۱۵ | ماسه غیرمتراکم |
| ۰/۲۵ | ماسه نرم |

۵-۶-۲- مدول ارتجاعی E

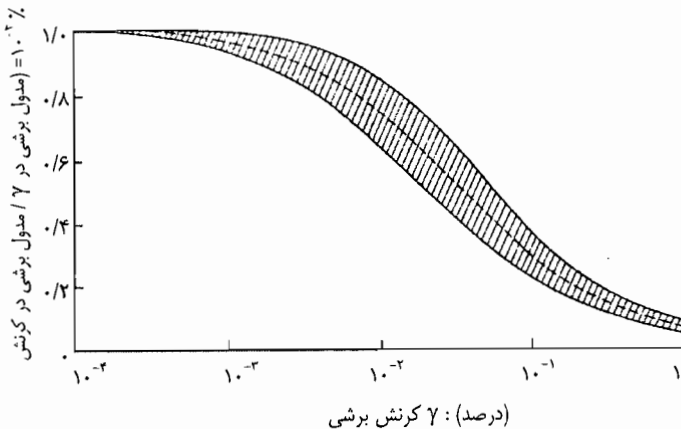
مدول ارتجاعی را باید از طریق آزمایش بدست آورد لیکن جدول ۵-۶ اعداد برخی از خاکها را بدست می‌دهد.

جدول ۵-۶- مقدار مدول ارتجاعی برخی از خاکها [۲۶]

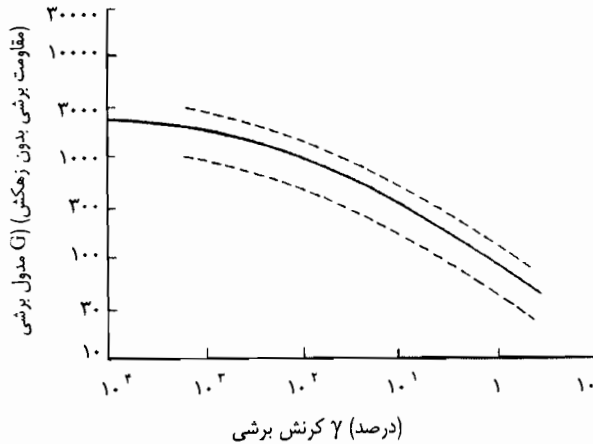
| نوع خاک | $E (N/mm^2)$ |
|-------------------------|--------------|
| خاک رس نرم | تا ۱۵ |
| خاک رس متوسط تا محکم | ۱۰ تا ۱۵ |
| خاک رس خیلی سخت | ۲۵ تا ۲۰۰ |
| ماسه سیلتی | ۷ تا ۷۰ |
| ماسه نامتراکم | ۱۵ تا ۵۰ |
| ماسه متراکم | ۵۰ تا ۱۲۰ |
| ماسه متراکم به همراه شن | ۹۰ تا ۲۰۰ |

۵-۶-۳- مدول برشی (G)

با استفاده از شکل ۵-۱۶ می‌توان تغییرات مدول برشی را بر مبنای تغییرات کرنش برشی بدست آورد. معمولاً برای بدست آوردن G برای خاکهای چسبنده از روی نمونه های آزمایشگاهی اقدام می‌شود. اما به هر صورت برای تخمین اولیه و هنگامی که مقاومت برشی در دست باشد یا بتوان آنرا بدست آورد، می‌توان از روی شکل ۵-۱۷ استفاده کرد.



شکل ۵-۱۶- تغییرات مدول برشی و کرنش برشی برای ماسه‌ها [۲۶]



شکل ۵-۱۷- مدول برشی نرمال شده برای خاک رس اشباع [۲۶]

۵-۶-۴- میرایی

میرایی خاک در حالت لرزه‌ای یا میرایی لرزه‌ای به تراکم یا جرم مخصوص خاک بستگی ندارد و مقدار آنرا برای خاکهای چسبنده و غیرچسبنده می‌توان از حداکثر مقدار میرایی در کرنشهای زیاد و در رابطه‌ای که هاردین و درینویچ [۲۶ و ۴] ارائه کرده اند بدست آورد.

$$\xi = \frac{\xi_{max} \gamma}{\gamma_r + \gamma} \quad (۳۰-۵)$$

در این رابطه ξ نسبت میرایی غلظتی و γ کرنش برشی و γ_r نسبت حداکثر کرنش برشی به G_{max} است که به آن کرنش مرجع می‌گویند.

$$\gamma_r = \frac{\gamma_{max}}{G_{max}}$$

مقدار ξ_{max} برای ماسه از رابطه ۵-۳۱ بدست می‌آید:

$$\xi_{max} = \frac{D - 1/5 \text{Log} N}{100} \quad (۳۱-۵)$$

که در این رابطه N تعداد سیکل‌های ارتعاش است.

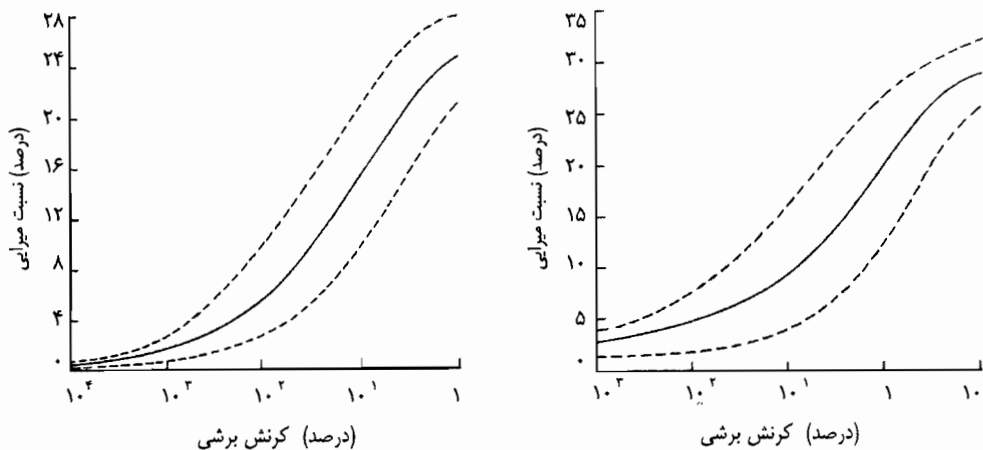
مقدار D برای خاکهای ماسه تمیز و خشک برابر با ۳۳٪ و برای خاک ماسه ای تمیز و اشباع برابر با ۲۸٪ است. نشان داده شده است که تغییرات اندک در مقدار میرایی بستگی به تعداد



سیکلهای مؤثر ارتعاش دارد [۲۶ و ۴۴]. مقدار ξ_{max} برای خاکهای چسبنده از رابطه ۵-۳۲ بدست می‌آید.

$$\xi_{max} = 31 - (3 + 0.3f) \bar{\sigma}_m^{-1} + 1/5 f^{-1} - 1/5 \log N \quad (5-32)$$

که در این رابطه f فرکانس بار ارتعاشی اعمال شده برحسب هرتز است و $\bar{\sigma}_m$ میانگین تنش مؤثر و اصلی برحسب kg/cm^2 است. در شکل ۵-۱۸ مقدار میرایی برای ماسه و رس اشباع نشان داده شده است.



شکل ۵-۱۸- نسبت میرایی برای ماسه و خاکهای رس اشباع

با توجه به اینکه در اکثر زلزله‌ها مقدار کرنش برشی خاک بین 10^{-3} تا 10^{-1} تغییر می‌کند، مقدار میرایی برای ماسه‌های خشک بین ۲ و ۱۶ درصد است و برای رس اشباع بین ۳ و ۱۰ درصد خواهد بود.



مراجع:

۱. ن. ن. امبرسز و ج. پ. ملویل، "تاریخ زمینلرزه‌های ایران"، ترجمه ابوالحسن‌رده، انتشارات آگاه، ۱۳۷۱
۲. پرویز مظفری و همکاران، "زمینلرزه‌های ایران از سال ۱۹۰۰ تا ۱۹۹۲ میلادی"، گزارش علمی، بخش زلزله‌شناسی مؤسسه ژئوفیزیک دانشگاه تهران، مهرماه ۱۳۷۲
3. Earthquake facts and statistics, United States Geological Survey National Earthquake Information Center (USGS NEIC), 2001.
۴. مانوئل بربریان، "نخستین کاتالوگ زلزله و پدیده‌های طبیعی ایران زمین"، جلد نخست؛ خطرهای طبیعی پیش از سده بیستم، مؤسسه زلزله‌شناسی و مهندسی زلزله، انتشارات احیاء کتاب، ۱۳۷۴
۵. برگی، خسرو، "اصول مهندسی زلزله"، انتشارات جهاد دانشگاهی (ماجد)، تابستان ۱۳۷۳.
6. Wakabayashi, M., "Design of earthquake resistant buildings", Mc Graw-Hill Book Compony, 1986.
7. Paulay, T., and Priestley, M.I.N "Seismic design of reinforced concrete and masonry buildings", J. Wiley & Sons, New Yourk, 1992.
8. George G., Denelis and Kappos A.J. "Earthquake resistant concrete structures", E&FN Spon, London, 1997.
9. Tasnimi, A.A., "Prediction of forces within prestressed sections", Ph.D, Thesis, Bradford University, 1988.
10. Aoyama, H. and Noguchi, H. "Mechanical properties of concrete under load cycles idealizing seismic actions, Bull. d Inf. CEB, 131, (1979), pp 29-63.
11. ACI 318M, "Building code requirements for reinforced concrete", American Concrete Institute, 1989.
12. BS8110, Structural use of concrete British Standards Institution 1985.
13. CEN Techn. Comm. 250 SG2 Eurocode2: Desing of concrete structures- PartI: General rules and rules for buildigns, CEN, Berlin, 1991.
14. Karsan, I.D. and Jirsa, J.D., "Behaviour of concrete under compressive loadings. Journal of the struct. Div. ASCE, 95, pp-2543-63, 1969.
۱۵. استاندارد شماره ۳۹۱ - چاپ پنجم ۱۳۷۳، ۳۹۲ - چاپ هشتم ۱۳۷۴ و ۳۹۴ - چاپ سوم ۱۳۶۶، "سیمان پرتلند"، مؤسسه استاندارد و تحقیقات صنعتی ایران
۱۶. استاندارد شماره ۳۰۰ - چاپ چهارم ۱۳۶۴، "مصالح سنگی ریزدانه برای بتن و بتن مسلح"، مؤسسه استاندارد و تحقیقات صنعتی ایران
۱۷. استاندارد شماره ۳۰۲ - چاپ اول ۱۳۴۵، "شن برای بتن و بتن مسلح"، مؤسسه استاندارد و تحقیقات صنعتی ایران



۱۸. استاندارد شماره ۳۱۳۲ - چاپ ۲، تجدیدنظر اول ۱۳۷۴، "ویژگیها و روش آزمون میلگردهای گرم نوردیده مصرفی در بتن"، مؤسسه استاندارد و تحقیقات صنعتی ایران
۱۹. استاندارد ۵۱۹ - چاپ هفدهم ۱۳۷۴، "حداقل بار وارد بر ساختمانها"، مؤسسه استاندارد و تحقیقات صنعتی ایران
۲۰. استاندارد ۲۸۰۰ ایران، "آئین نامه طراحی ساختمانها در برابر زلزله"، مرکز تحقیقات ساختمان و مسکن، نشریه شماره ض-۲۵۳، ویرایش دوم، آذر ۱۳۷۸
21. Schueller Wolfgang, "The vertical building structures", Pub. VanNostrand Reinhold, 1990.
22. SANZ (1984) Code of practice for general structural design and design loading for buildings (NZS 4203:1984), Wellington.
۲۲. آئین نامه بتن ایران (آبا)، تجدیدنظر اول، سازمان مدیریت و برنامه ریزی، نشریه شماره ۱۲۰ سال ۱۳۷۹.
۲۴. عادل، حجتا...، "مهندسی زلزله"، دانشگاه تهران، جلد اول، ۱۳۵۹
25. Hakuno Motoniko, "Earthquake damage; the mother of earthquake engineering, learning from the observation of earthquake damage, Kajima Institute publishing, 1992.
26. Key David, "Earthquake design practice for buildings", 1988, Pub. Thomas Telford Ltd. London
27. UBC-1997, "Uniform Building Code", Structural Engineering Design Provisions, USA.
28. Structural Engineers Association of California. recommended-lateral force requirements. sacramento: SEAOC, 1996
29. ATC-40, Seismic evaluation and retrofit of concrete buildings, Vol.I, by Applied Technolgoey Council. Report No. SSC 96-01, 1996
30. Naeim F, "The Seismic design handbook", Van Nostrand Reinhold, New York, 1989.
31. Park, R. and Panlay, T., "Reinforced concrete structures", J. Wiley & Sons, New yourk, 1975.
32. CEB (1985), Model code for Seismic design of concrete structures, Bull. d'Inf. CEB, 165, paris.
33. SANZ (Standards Association of New Zealand)(1982)(a) Code of practice for the design of concrete structures (NZS 3101-Part 1:1982); Wellington.
34. CEN Techn. Comm.250/SC8(1995) Eurocode 8: Earthquake resistant design of structures - Part I: General rules (ENV 998-1-1/2/3), CEN, Berlin.
35. Bertero, V.V., and Popov, E.P., "Seismic behaviour of ductile moment-resisting concrete frames", ACI publication SP-53, American Concrete Institute, Detroit, 1977.

36. Paulay, T., "Earthquake resisting shear walls: New Zealand Design Trends, "Journal ACI, Vol-77, No.3, May-June 1980.
 37. Paulay, T., "The Design of ductile reinforced concrete structural walls for earthquake resistance", Earthquake spectra, Vol.2, No.4, Oct. 1986
 38. Markevicius, V.P., and Gosh, S.K., "Required shear strength of earthquake resistant shear walls, research report 87-1, Department of civil engineering and engineering Mechanics, University of Illinois at Chicago, 1987.
 39. Fukui, J. & Hirotsu, A., "Foundation engineering", International Institute of Siesmology and Earthquake Engineering. Buildign Research Institute, Ministry of construction, Japan, 2000.
 40. AIJ Strucutural Design Guidelines for Reinforced Concrete Buildings, 1994.
 41. Newmark, N.M. & Rosenblueth, E., "Fundamentals of earthquake engineering. Englewood Cliffs: Prentice-hall. 1971.
 42. Whitman, R.V. and Richart, F.E., "Design procedures for dynamically loaded foundations. J. Soil Mech. Fdns. Div. Am. Soc. Civ. Engrs, 93, 1967.
 43. Joseph E. Bowles, "Foundation analysis and design", New york, Pub. Mc Graw-Hill, 1996.
 44. Hardin, B.O. & Drnevich, V.P., "Shear modulus and damping in soils: measurement and parameter effects", J. Soil Mech. Fdns Div. Am. Soc. Civ. Engrs. 98, July No.7, 1972.
 45. Seed, H.B. & Idriss, I.M., "Solid moduli and damping factors for dynamic response analysis", Report EERC 70-10. Univ. of California at Berkeley: Earthquake Engineering Research Center. 1970
 46. Broms, B.B., "Design of laterally loaded piles", J. Soil mech. Fdns. Div. Am. Soc. Civ. Engrs 91, No.3, May 1965.
۴۷. طاهری بهبهانی، علی اصغر، "نگرشی فلسفی به ضوابط محاسباتی ساختمانها در برابر زلزله"، مرکز تحقیقات ساختمان و مسکن، شماره ۲۳۹، ۱۳۷۶.
48. Chen, W.F. "Plasticity in reinforced concrete", Mc Graw-Hill, New yourk, 1982.
 49. Darwin, D. and Pechnold, D.A., "Analysis of RC shear panels under cyclic loading", Journal of the struct. Divn. ASCE, 102, pp.355-369, 1976.
 50. Sheikh, S.A. and Uzumevi, S.M., "Analytical model for concrete confinement in tied columns", The Journal of the Structural Division, ASCE, Vol. 108, ST12, Dec, 1982. PP 2703-2722.
 51. Mander, J.B., Priestly, M.I.N., and Park, R. "Observed stress-strain behaviour of confined concrete", Journal of Structural Engineering, ASCE, Vol.114, No.8, August 1988, pp.1827-1849.
 52. Carreira, D.J. and Chu, K.H., "Stress-strain relationships for plain concrete in compression, Journal of M. ACI, pp, 797-804, 1985.
 53. Soroushian, P. and Sim, J. "Axial behaviour of reinforced concrete columns under dynaic loads. Journal of the ACI, 83, pp-1018-25, 1986.



54. Mander, J.B., Priestley, M.J.N. and Park, R., "Theoretical stress-strain model for confined concrete, Journal of struct. Eng. ASCE, 114, pp. 1804-1826, 1988.
55. Norman B. Green, M.S., "Earthquake resistant building design and construction", pub. Van-Nostrand Reinhold Company, Newyork, 1978.
56. CEB (1993), CEB-FID Model Code 1990, Bull d Inf. CEB, Lausanne. Pp, 213-214, 1993.
57. Dowrick D, "Earthquake resistant design for engineers and architects", 2nd Edition, J Wiley, 1987.
58. Fenwick, R.C., "Strength degradation of concrete beams under cyclic loading", Bulletin of the New Zealand National Society for Earthquake Engineering, Vol.16, No.1, March 1983, pp.25-38



واژه نامه فارسی به انگلیسی

| | |
|------------------------------------|-----------------------------|
| Liquifaction | آبگونیگی |
| Micrometer test | آزمایش ریزلرزه |
| Cyclic triaxial test | آزمایش سه بعدی تناوبی |
| Penetration resistance tests | آزمایشهای مقاومت نفوذ |
| Joint | اتصال |
| Cummulative | اثر تجمیعی |
| Uplift | از جا بلندشدگی - برکنندگی |
| BS sieve | الک استاندارد BS |
| Q-waves (Love waves) | امواج Q (امواج لاو) |
| R-waves (Rayleigh waves) | امواج R (امواج رالی) |
| Shear waves | امواج برشی |
| Secondary waves | امواج ثانویه |
| Body waves | امواج درونی (حجمی) |
| Longitudinal P-waves | امواج طولی P |
| Transvers S-waves | امواج عرضی S |
| Push-Pull waves | امواج فشار-کشش |
| Compressional waves | امواج فشاری |
| Primary waves | امواج نخستین |
| Curvature | انحناء |
| Dynamic soil structure interaction | اندرکنش دینامیکی خاک - سازه |
| Strain energy | انرژی کرنشی |
| Monotonic loading | بار افزایشی یکنوا |
| Preconsolidated load | بار پیش تحکیم |
| Redistribution | بار توزیع |
| Ultimate lateral load | بار نهایی جانبی |
| Force - displacement | بار-تغییر مکان |
| Response | بازتاب |
| Undrained | بدون زهکشی |



| | |
|-------------------------------------|---|
| Frictional shear | برش اصطکاکی |
| Punching shear | برش منگنه |
| Torsional stability | پایداری پیچشی |
| Tsunami | پدیده ایجاد امواج سهمگین در اثر زلزله در اقیانوس‌ها و دریاها (سونامی) |
| Concrete cover | پوشش بتن |
| Pile foundations | پی‌های شمعی |
| Frequency domain | تحلیل در قلمرو فرکانس |
| Shear failure | تخریب برشی |
| Flexural failure | تخریب خمشی |
| Diagonal failure | تخریب قطری |
| Compaction | تراکم |
| Cracking | ترک خوردگی |
| Resonance | تشدید |
| Lateral displacement | تغییر مکان جانبی |
| Interstory deflection (story drift) | تغییر مکان نسبی افقی طبقات |
| Iteration | تکرار - تکراری |
| Cyclic | تناوبی |
| Shear stress | تنش برشی |
| Residual stress | تنش پسماند |
| Flexural stress | تنش خمشی |
| Allowable bearing capacity of soil | تنش مجاز خاک |
| Granular distribution | توزیع دانه‌بندی |
| Coupling beam | تیر رابط یا تیر همبند |
| Generalized mass | جرم تعمیم یافته |
| Cohesion | چسبندگی |
| Density | چگالی نسبی |
| Plastic limit | حد خمیری |
| Liquid limit | حد مایع |



| | |
|--|----------------------------------|
| Sensitivities | حساسیتهای |
| Cohesive soils | خاکهای چسبنده |
| Creep | خزش |
| Fully plastic | خمیری کامل |
| Coupling walls | دیوارهای مزدوج |
| Orthogonality relationship | رابطه تعامد |
| Exact analysis method | روش تحلیل دقیق |
| Computer method of analysis | روش تحلیل کامپیوتری |
| Approximate buckling analysis | روش تحلیل کمانش تقریبی |
| Complete quadraffic combination (CQC) | روش ترکیب مربعی کامل (CQC) |
| Approximate buckling analysis | روش تقریبی تحلیل کمانش |
| Iterative method | روش تکرار یا روش اصلاح تغییرمکان |
| Iterative method | روش تکرار یا روش اصلاح تغییرمکان |
| Square root of sum of squares (SRSS) | روش جذر مجموع مربعات (SRSS) |
| Load and resistance factor design (LRFD) | روش ضریب بار و مقاومت |
| Direct method | روش مستقیم |
| Direct method | روش مستقیم |
| Negative – bracing – member method | روش مهار منفی |
| Negative-Bracing-Member method | روش مهار منفی |
| Epicenter | رومركز زلزله |
| Internal friction angle | زاویه اصطکاک داخلی |
| Kwanto earthquake | زلزله کانتو |
| Fundamental period | زمان تناوب اصلی |
| Natural period | زمان تناوب طبیعی |
| Strength decay | زوال مقاومت |
| Generalized stiffness | سختی تعمیم یافته |
| Equivalent stiffness | سختی معادل |
| Pilecap | سرشمع – لبه آزاد |
| Velocity | سرعت |
| Shear wave velocity | سرعت موج برشی |



| | |
|--|--------------------------------|
| Serviceability limit state | سطح حد بهره‌برداری |
| Ultimate limit state | سطح حد نهایی |
| High ductility level (HDL) | سطح شکل‌پذیری زیاد |
| Low ductility level (LDL) | سطح شکل‌پذیری کم |
| Medium ductility level (MDL) | سطح شکل‌پذیری متوسط |
| Contribution of the concrete to shear strength | سهم بتن در مقاومت برشی |
| Compression index | شاخص فشردگی |
| Asiesmic foundations | شالوده‌ها یا پی‌های ضد زلزله |
| Simulated ground acceleration | شبه شتاب زمین |
| Pick ground acceleration, (PGA) | شتاب اوج زمین |
| Bonding failure | شکست چسبندگی |
| Anchorage failure | شکست مهارری |
| Mode shape | شکل مودی |
| Mode-shape | شکل مودی |
| Strain ductility | شکل‌پذیری کرنشی |
| Pile | شمع |
| Applied Technological Council (ATC) | شورای فناوری کاربردی در آمریکا |
| Coefficient of friction | ضریب اصطکاک |
| Strength enhancement factor | ضریب بزرگنمایی مقاومت |
| Poisson's ratio | ضریب پواسیون |
| Behaviour coefficient | ضریب رفتار |
| Earthquake coefficient | ضریب زلزله |
| Ground reaction coefficient | ضریب عکس‌العمل زمین |
| Hysteretic damping ratio | ضریب میرایی چرخه‌ای |
| Allowable stress design | طراحی به روش تنش مجاز |
| Strength design | طراحی به روش مقاومت |
| Capacity design | طرح ظرفیت |
| Critical length | طول بحرانی |
| Spectrum | طیف |



| | |
|------------------------------|---------------------------|
| Response spectrum | طیف بازتاب |
| Design spectrum | طیف طرح |
| Energy dissipating capacity | ظرفیت استهلاک انرژی |
| Crack width | عرض ترک |
| Compression member | عضو فشاری |
| Non-linear | غیرخطی |
| Epicenter distance | فاصله رومرکز زلزله |
| Confining pressure | فشار تحکیم |
| Diagonal compression | فشار قطری |
| MRF, Moment resisting frames | قاب‌های خمشی |
| Ascending portion | قسمت افزایشی |
| Descending portion | قسمت کاهش‌ی |
| Hypocenter | کانون زلزله |
| Stiffness degradation | کاهش سختی |
| Residual strain | کرنش پسماند |
| Reference strain | کرنش مرجع |
| Diagonal tension | کشش قطری |
| Borehole | گمانه |
| Sliding | لغزش |
| Overturning moment | لنگر واژگونی |
| Plastic Hinge | لولای خمیری |
| Hollow-tube | لوله توخالی |
| Vector | ماتریس ستونی |
| Normal coordinates vector | ماتریس ستونی مختصات نرمال |
| Frequency content | محتوای فرکانسی |
| Shear modulus | مدول برشی |
| Eigenvalue equation | معادله مقادیر مشخصه |
| Plastic hinge | مفصل خمیری |
| Over strength | مقاومت افزون |
| Shear strength | مقاومت برشی |



| | |
|------------------------------|--|
| Undrained shear strength | مقاومت برشی بدون زهکش |
| Compressive strength | مقاومت فشاری |
| Strength demand | مقاومت نیاز |
| Shear wave | موج برشی |
| Vibrating mode | مود ارتعاشی |
| Racking mode | مود گهوارهای |
| Damping | میرایی |
| Generalized damping | میرایی تعمیم یافته |
| Hysteretic damping | میرایی چرخه‌ای |
| Doubly | میلگردهای دوگانه |
| Strain softening | نرم‌شدگی کرنشی |
| Void ratio | نسبت تخلخل |
| Equal energy principle | نظریه تساوی انرژی رفتار ارتجاعی با رفتار غیرارتجاعی |
| Equal displacement principle | نظریه تساوی تغییر مکان رفتار ارتجاعی با رفتار غیرارتجاعی |
| Equal acceleration principle | نظریه تساوی شتاب در رفتار ارتجاعی با رفتار غیرارتجاعی |
| Plate tectonics | نظریه لایه زمین ساخت |
| Tensile strain penetration | نفوذ کرنش کششی |
| Core-peneterometer | نفوذسنج‌های مغزه‌ای |
| Ultimate | نهایی |
| Uplift forces | نیروهای بالابرنده |
| Compressive force | نیروی فشاری |
| Axial force | نیروی محوری |
| Overlap | هم‌پوشانی |
| Shrinkage | وارفتگی |
| Transpose | وارونه |
| Middle third of the base | یک سوم سطح میانی پایه |
| Monotonic | یکطرفه - یکتوا |



واژه نامه انگلیسی به فارسی

| | |
|-------------------------------------|-------------------------------|
| Allowable bearing capacity of soil | تنش مجاز خاک |
| Allowable stress design | طراحی به روش تنش مجاز |
| Anchorage failure | شکست مهاری |
| Applied Technological Council (ATC) | شورای فناوری کاربرد در آمریکا |
| Approximate buckling analysis | روش تحلیل کمانش تقریبی |
| Approximate buckling analysis | روش تقریبی تحلیل کمانش |
| Ascending portion | قسمت افزایشی |
| Asiesmic foundations | شالوده‌ها یا پی‌های ضد زلزله |
| Axial force | نیروی محوری |
| Behaviour coefficient | ضریب رفتار |
| Body waves | امواج درونی (حجمی) |
| Bonding failure | شکست چسبندگی |
| Borehole | گمانه |
| BS sieve | الک استاندارد BS |
| Campaction | تراکم |
| Capacity design | طرح ظرفیت |
| Coefficient of friction | ضریب اصطکاک |
| Cohesion | چسبندگی |
| Cohesive soils | خاکهای چسبنده |
| Complete quadrafc combination (CQC) | روش ترکیب مربعی کامل (CQC) |
| Compression index | شاخص فشردگی |
| Compression member | عضو فشاری |
| Compressional waves | امواج فشاری |
| Compressive force | نیروی فشاری |
| Compressive strength | مقاومت فشاری |
| Computer method of analysis | روش تحلیل کامپیوتری |
| Concrete cover | پوشش بتن |
| Confining pressure | فشار تحکیم |



| | |
|--|---|
| Contribution of the concrete to shear strength | سهم بتن در مقاومت برشی |
| Core-penetrometer | نفوذسنجهای مغزه‌ای |
| Coupling beam | تیر رابط یا تیر همبند |
| Coupling walls | دیوارهای مزدوج |
| Crack width | عرض ترک |
| Cracking | ترک خوردگی |
| Creep | خزش |
| Critical length | طول بحرانی |
| Cummulative | اثر تجمیعی |
| Curvature | انحناء |
| Cyclic | تناوبی |
| Cyclic triaxial test | آزمایش سه بعدی تناوبی |
| Damping | میرایی |
| Density | چگالی نسبی |
| Descending portion | قسمت کاهشی |
| Design spectrum | طیف طرح |
| Diagonal compression | فشار قطری |
| Diagonal failure | تخریب قطری |
| Diagonal tension | کشش قطری |
| Direct method | روش مستقیم |
| Direct method | روش مستقیم |
| Doubly | میلگردهای دوگانه |
| Dynamic soil structure interaction | اندرکنش دینامیکی خاک - سازه |
| Earthquake coefficient | ضریب زلزله |
| Eigenvalue equation | معادله مقادیر مشخصه |
| Energy dissipating capacity | ظرفیت استهلاک انرژی |
| Epicenter | رومرکز زلزله |
| Epicenter distance | فاصله رومرکز زلزله |
| Equal acceleration principle | نظریه تساوی شتاب در رفتار ارتجاعی با رفتار غیرارتجاعی |



| | |
|-------------------------------------|---|
| Equal displacement principle | نظریه تساوی تغییرمکان رفتار ارتجاعی با رفتار غیرارتجاعی |
| Equal energy principle | نظریه تساوی انرژی رفتار ارتجاعی با رفتار غیرارتجاعی |
| Equivalent stiffness | سختی معادل |
| Exact analysis method | روش تحلیل دقیق |
| Flexural failure | تخریب خمشی |
| Flexural stress | تنش خمشی |
| Force – displacement | بار-تغییرمکان |
| Frequency content | محتوای فرکانسی |
| Frequency domain | تحلیل در قلمرو فرکانس |
| Frictional shear | برش اصطکاکی |
| Fully plastic | خمیری کامل |
| Fundamental period | زمان تناوب اصلی |
| Generalized damping | میرایی تعمیم یافته |
| Generalized mass | جرم تعمیم یافته |
| Generalized stiffness | سختی تعمیم یافته |
| Granular distribution | توزیع دانه‌بندی |
| Ground reaction coefficient | ضریب عکس‌العمل زمین |
| High ductility level (HDL) | سطح شکل‌پذیری زیاد |
| Hollow-tube | لوله توخالی |
| Hypocenter | کانون زلزله |
| Hysteretic damping | میرایی چرخه‌ای |
| Hysteretic damping ratio | ضریب میرایی چرخه‌ای |
| Internal friction angle | زاویه اصطکاک داخلی |
| Interstory deflection (story drift) | تغییرمکان نسبی افقی طبقات |
| Iteration | تکرر – تکراری |
| Iterative method | روش تکرر یا روش اصلاح تغییرمکان |
| Iterative method | روش تکرر یا روش اصلاح تغییرمکان |
| Joint | اتصال |
| Kwanto earthquake | زلزله کانتو |
| Lateral displacement | تغییرمکان جانبی |



| | |
|--|---------------------------|
| Liquid limit | حد مایع |
| Liquifaction | آبگونگی |
| Load and resistance factor design (LRFD) | روش ضریب بار و مقاومت |
| Longitudinal P-waves | امواج طولی P |
| Low ductility level (LDL) | سطح شکل پذیری کم |
| Medium ductility level (MDL) | سطح شکل پذیری متوسط |
| Micrometer test | آزمایش ریزلرزه |
| Middle third of the base | یک سوم سطح میانی پایه |
| Mode shape | شکل مودی |
| Mode-shape | شکل مودی |
| Monotonic | یکطرفه - یکنوا |
| Monotonic loading | بار افزایشی یکنوا |
| MRF, Moment resisting frames | قاب‌های خمشی |
| Natural period | زمان تناوب طبیعی |
| Negative - bracing - member method | روش مهار منفی |
| Negative-Bracing-Member method | روش مهار منفی |
| Non-linear | غیرخطی |
| Normal coordinates vector | ماتریس ستونی مختصات نرمال |
| Ortogonality relationship | رابطه تعامد |
| Overe strength | مقاومت افزون |
| Overlap | هم‌پوشانی |
| Overturning moment | لنگر واژگونی |
| Penetration resistance tests | آزمایشهای مقاومت نفوذ |
| Pick ground acceleration, (PGA) | شتاب اوج زمین |
| Pile | شمع |
| Pile foundations | پی‌های شمعی |
| Pilecap | سرشمع - لبه آزاد |
| Plastic hing | مفصل خمیری |
| Plastic Hinge | لولای خمیری |



| | |
|-------------------------------|----------------------|
| Plastic limit | حد خمیری |
| Plate tectonics | نظریه لایه زمین ساخت |
| Poisson's ratio | ضریب پواسیون |
| Preconsolidated load | بار پیش تحکیم |
| Primary waves | امواج نخستین |
| Punching shear | برش منگنه |
| Push-Pull waves | امواج فشار-کشش |
| Q-waves (Love waves) | امواج Q (امواج لاو) |
| Racking mode | مود گهواره‌ای |
| Redistribution | بار توزیع |
| Reference strain | کرنش مرجع |
| Residual strain | کرنش پسماند |
| Residual stress | تنش پسماند |
| Resonance | تشدید |
| Response | بازتاب |
| Response spectrum | طیف بازتاب |
| R-waves (Rayleigh waves) | امواج R (امواج رالی) |
| Secondary waves | امواج ثانویه |
| Sensitivities | حساسیتهای |
| Serviceability limit state | سطح حد بهره‌برداری |
| Shear failure | تخریب برشی |
| Shear modules | مدول برشی |
| Shear strength | مقاومت برشی |
| Shear stress | تنش برشی |
| Shear wave | موج برشی |
| Shear wave velocity | سرعت موج برشی |
| Shear waves | امواج برشی |
| Shrinkage | وارفتگی |
| Simulated ground acceleration | شبه شتاب زمین |
| Sliding | لغزش |



| | |
|--------------------------------------|---|
| Spectrum | طیف |
| Square root of sum of squares (SRSS) | روش جذر مجموع مربعات (SRSS) |
| Stiffness degradation | کاهش سختی |
| Strain ductility | شکل پذیری کرنشی |
| Strain energy | انرژی کرنشی |
| Strain softening | نرم‌شدگی کرنشی |
| Strength decay | زوال مقاومت |
| Strength demand | مقاومت نیاز |
| Strength design | طراحی به روش مقاومت |
| Strength enhancement factor | ضریب بزرگنمایی مقاومت |
| Tensile strain penetration | نفوذ کرنش کششی |
| Torsional stability | پایداری پیچشی |
| Transpose | وارونه |
| Transvers S-waves | امواج عرضی S |
| Tsunami | پدیده ایجاد امواج سهمگین در اثر زلزله در اقیانوس‌ها و دریاها (سونامی) |
| Ultimate | نهایی |
| Ultimate lateral load | بار نهایی جانبی |
| Ultimate limit state | سطح حد نهایی |
| Undrained | بدون زهکشی |
| Undrained shear strength | مقاومت برشی بدون زهکش |
| Uplift | از جا بلندشدگی - برکنندگی |
| Uplift forces | نیروهای بالا برنده |
| Vector | ماتریس ستونی |
| Velocity | سرعت |
| Vibrating mode | مود ارتعاشی |
| Void ratio | نسبت تخلخل |



فهرست اسامی

| | |
|-------------------|----------------|
| Omori | اوموری |
| Bertero, V. V. | برترو |
| Blume | بلومی |
| Park, R. | پارک |
| Paulay, T. | پاولی |
| Priestley, M.I.N. | پریستلی |
| Jirsa | جیرسا |
| Rayleigh | ریلی |
| Kapose | کاپوس |
| Cardenas | کاردنس |
| Kaku, T. | کاکو |
| Koyji Suyehiro | کوئجی سوی هیرو |
| Corbey | کوربی |
| Corining | کورنینگ |
| Loma Prieta | لوماپری‌یتا |
| Morita, S. | موریتا |
| Mononobe | مونونوبه |
| Minami | مینامی |
| Northridge | نرتریج |
| Newmark | نیومارک |
| Hanson | هانسن |
| Wakabayashi, M. | واکابایاشی |
| Whithny | ویتنی |



فهرست موضوعی

- آبگونگی، ۴۲، ۲۱۵، ۲۲۰، ۲۲۵، ۲۴۰
 اتصال، ۴۶، ۱۰۳، ۱۰۸، ۱۰۸، ۱۴۱، ۱۵۳، ۱۵۴، ۱۵۶، ۱۵۷، ۱۶۰، ۱۶۱، ۱۶۲، ۱۶۳، ۱۶۴، ۱۶۵، ۱۶۶، ۱۶۷، ۱۸۰، ۱۸۹، ۲۳۲، ۲۳۸
 اتصال صلب، ۱۶۷
 اثر تجمیعی، ۷۵، ۷۹
 اثر ثانویه، ۷۶
 استاتیکی، ۷، ۸، ۱۰، ۱۴، ۲۴، ۲۵، ۳۱، ۴۷، ۴۸، ۵۰، ۵۲، ۵۳، ۵۴، ۵۵، ۵۷، ۵۸، ۶۲، ۷۴، ۸۱، ۸۲، ۸۳، ۸۴، ۸۵، ۹۸، ۱۰۰، ۱۰۱، ۱۰۲، ۱۶۲، ۱۸۸، ۲۱۵، ۲۴۱، ۲۴۲، ۲۴۵، ۲۴۶، ۲۴۷
 استاتیکی معادل، ۲۴، ۴۸، ۵۰، ۵۲، ۵۳، ۵۴، ۵۵، ۵۷، ۵۸، ۶۲، ۷۴، ۸۱، ۸۲، ۸۳، ۸۴، ۸۵، ۱۰۰، ۱۰۱، ۱۰۲، ۱۸۸، ۲۴۱
 استهلاک انرژی، ۱۲، ۴۶، ۵۴، ۶۲، ۶۳، ۱۰۰، ۱۲۸، ۱۳۵، ۱۳۹، ۱۶۱، ۱۷۱، ۱۸۰، ۱۸۱، ۱۸۹، ۱۹۵، ۲۲۶
 اصطکاک، ۴۱، ۴۶، ۱۰۸، ۲۰۸، ۲۱۹، ۲۴۳
 الک استاندارد، ۱۸
 امواج R (امواج رالی)، ۴۳
 امواج ارتعاشی، ۴۲
 امواج اولیه، ۴۳
 امواج اولیه نخستین، ۴۳
 امواج برشی، ۴۳، ۲۴۵
 امواج ثانویه، ۴۳
 امواج درونی (حجمی)، ۴۳
 امواج زلزله، ۴۳، ۴۴، ۴۹، ۸۶
 امواج طولی P، ۴۲
 امواج عرضی S، ۴۳
 امواج فشار - کشش، ۴۳
 امواج فشاری، ۴۳، ۲۴۵
 انحناء، ۹، ۱۰، ۱۱۰، ۱۱۱، ۱۱۵، ۱۲۲، ۱۲۳، ۱۲۴، ۱۲۵، ۱۲۶، ۱۲۷، ۱۲۸، ۱۲۹، ۱۳۰، ۱۳۱، ۱۳۲، ۱۳۳، ۱۳۴، ۲۴۱
 اندرکنش، ۵۳، ۸۳، ۱۰۸، ۱۱۸، ۱۵۴، ۱۵۵، ۱۶۸، ۱۷۸، ۲۱۵، ۲۲۰، ۲۲۶، ۲۲۷، ۲۲۸، ۲۲۹
 اندرکنش دینامیکی خاک - سازه، ۲۲۰
 انرژی ارتجاعی، ۴۱، ۶۳
 انرژی کرنشی، ۴۱
 بار زنده، ۲۶، ۳۱، ۳۲، ۳۳
 بار مرده، ۲۶، ۳۰، ۳۲، ۳۳، ۸۰
 بار نهایی جانبی، ۲۴۲
 بار یکنوا، ۱۰
 بار-تغییر مکان، ۱۰۹
 بارهای تناوبی، ۸، ۱۰، ۳۶، ۱۱۱، ۱۴۷، ۱۵۰، ۱۸۹
 بارهای ثقلی، ۲۱، ۲۵، ۲۸، ۷۴، ۷۵، ۷۶، ۷۷، ۸۰، ۱۳۸، ۱۳۹، ۱۶۹، ۱۸۴، ۲۱۲
 بارهای زنده، ۲۵، ۳۰، ۳۱، ۷۳، ۷۴، ۷۷، ۱۳۸، ۱۳۹، ۲۳۳
 بارهای یکنوا، ۸، ۹، ۱۵، ۲۰
 باز توزیع، ۳۴، ۱۰۲، ۱۱۰، ۱۴۰
 بازتاب، ۲۷، ۳۱، ۴۵، ۴۶، ۴۷، ۵۴، ۵۵، ۵۶، ۵۷، ۵۸، ۸۲، ۸۴، ۸۵، ۹۷، ۱۰۰، ۱۰۱، ۱۰۲
 بتن پوشش، ۱۱، ۱۲، ۱۱۹، ۱۲۵، ۱۲۶



| | |
|--|--|
| تخریب خمشی، ۱۸۷، ۱۹۲، ۲۰۲ | بتن سبک، ۲۶ |
| تخریب قطری، ۱۸۱، ۱۸۸ | بتن غیر محصور، ۷، ۱۰، ۱۲، ۱۲۲ |
| تخلخل، ۲۲۳، ۲۲۴، ۲۲۵ | بتن محصور، ۱۱، ۱۲، ۱۴، ۱۰۸، ۱۱۹، ۱۲۰، ۱۲۲، ۱۲۳ |
| تراکم، ۱۷، ۸۳، ۱۴۱، ۱۶۰، ۲۲۲، ۲۲۴، ۲۲۵، ۲۴۹ | ۱۲۵، ۱۲۳ |
| ترک خوردگی، ۱۱۰، ۱۱۱، ۲۱۵ | بتن مسلح، ۵، ۷، ۱۱، ۱۲، ۱۸، ۱۹، ۲۱، ۲۶، ۳۲ |
| ترک‌های برشی، ۱۴۷ | ۳۳، ۳۴، ۳۵، ۴۰، ۴۹، ۵۰، ۵۸، ۶۷ |
| ترک‌های قطری، ۱۳۹، ۱۵۰، ۱۶۴، ۱۷۹، ۱۹۹، ۲۰۲ | ۷۴، ۸۰، ۸۱، ۱۰۲، ۱۰۳، ۱۰۵، ۱۰۶، ۱۰۷ |
| تشدید، ۴۵، ۴۷، ۴۸ | ۱۰۸، ۱۰۹، ۱۱۰، ۱۱۱، ۱۱۲، ۱۱۵، ۱۱۷، ۱۲۱ |
| تغییر مکان، ۲۴، ۳۷، ۳۸، ۵۰، ۵۲، ۵۹، ۶۱، ۶۲، ۶۳ | ۱۲۵، ۱۲۷، ۱۳۰، ۱۳۴، ۱۳۵، ۱۳۷، ۱۳۸، ۱۴۷ |
| ۶۴، ۷۴، ۷۵، ۷۶، ۷۷، ۷۸، ۷۹، ۸۰، ۸۴، ۸۷ | ۱۵۵، ۱۶۰، ۱۶۱، ۱۶۹، ۱۷۰، ۱۹۰، ۲۱۷ |
| ۹۲، ۹۳، ۹۴، ۹۵، ۹۶، ۹۷، ۱۰۱، ۱۰۲، ۱۰۳ | برش، ۲۸، ۳۵، ۵۰، ۵۱، ۵۲، ۵۹، ۶۷، ۶۸، ۷۷، ۷۹ |
| ۱۰۹، ۱۲۳، ۱۲۷، ۱۲۸، ۱۳۰، ۱۳۴، ۱۴۳، ۱۴۸ | ۸۰، ۹۷، ۹۸، ۱۰۰، ۱۰۱، ۱۰۲، ۱۰۶، ۱۰۹ |
| ۱۵۲، ۱۵۵، ۱۶۱، ۱۶۲، ۱۹۰، ۱۹۲، ۲۲۱، ۲۲۲ | ۱۱۶، ۱۳۵، ۱۳۶، ۱۳۷، ۱۳۸، ۱۴۴، ۱۴۸، ۱۵۰ |
| ۲۲۷ | ۱۵۱، ۱۵۲، ۱۶۰، ۱۶۱، ۱۶۲، ۱۶۳، ۱۶۸، ۱۷۸ |
| تغییر مکان جانبی، ۲۴، ۳۷، ۷۵، ۷۶، ۷۷، ۷۸، ۸۰ | ۱۸۷، ۱۸۹، ۱۹۳، ۱۹۴، ۱۹۵، ۱۹۶، ۱۹۷، ۲۰۶ |
| ۸۷، ۹۷، ۱۴۳، ۱۴۸، ۱۵۵ | ۲۰۷، ۲۰۸، ۲۰۹، ۲۱۰، ۲۲۶، ۲۲۷، ۲۳۰، ۲۳۲ |
| تغییر مکان نسبی، ۵۰، ۷۴، ۷۵، ۷۶، ۷۷، ۹۴، ۱۰۲ | ۲۳۴، ۲۳۵، ۲۳۶، ۲۳۷، ۲۳۹، ۲۴۰ |
| ۱۰۳، ۱۲۸، ۱۶۱، ۱۶۲ | برش اصطکاکی، ۲۰۷، ۲۰۸، ۲۰۹ |
| تغییر مکانهای خمیری، ۳۶ | برش پایه، ۵۰، ۵۱، ۵۲، ۵۹، ۶۷، ۶۸، ۹۷، ۹۸ |
| تکرر، ۷۸، ۷۹، ۸۰ | ۱۰۰، ۱۰۱، ۱۰۲، ۱۹۵، ۲۲۶، ۲۲۷ |
| تلاوی، ۸، ۱۰، ۱۱، ۲۰، ۳۶، ۳۷، ۴۳، ۱۱۱، ۱۴۷ | برش لغزشی، ۱۵۰، ۱۵۱، ۱۵۲، ۱۸۹، ۲۰۷ |
| ۱۵۰، ۱۷۵، ۱۸۹، ۲۲۵ | برش منگنه، ۲۳۵، ۲۳۶ |
| تنش برشی، ۱۴۴، ۲۰۶، ۲۲۵، ۲۳۴، ۲۳۵ | بسامه، ۳۹ |
| تنش خمشی، ۳۵ | بلوک فشاری، ۱۱۲، ۱۱۳، ۱۱۴ |
| تنش مجاز، ۹، ۳۲، ۳۳، ۵۹، ۲۳۲، ۲۳۳ | بیشینه شتاب، ۱۰۱ |
| تنش مجاز خاک، ۲۳۲، ۲۳۳ | پاسخ دینامیکی، ۸۶، ۸۹ |
| تنشهای پسماند، ۳۲ | پایداری پیچشی، ۱۸۴، ۱۸۵ |
| تنشهای مجاز، ۳۲، ۳۳، ۱۷۰ | پوش منحنی، ۱۰ |
| تنگها، ۱۲، ۲۱۲ | پوشش بتن، ۱۰۸، ۱۶۶، ۲۱۱ |
| توابع سینوسی، ۳۷ | پی های شمعی، ۲۴۰، ۲۴۱ |
| توزیع سختی، ۲۵، ۵۰، ۶۷، ۱۶۹، ۱۸۴ | تار فشاری، ۱۲۵، ۱۹۱، ۱۹۹، ۲۱۲ |
| تیر رابط، ۱۸۰، ۱۸۱، ۲۰۲، ۲۰۴، ۲۰۵، ۲۰۶ | تخریب برشی، ۱۸۱، ۱۸۷ |



دینامیکی، ۷، ۱۴، ۲۴، ۲۵، ۲۷، ۳۱، ۳۷، ۳۸، ۴۱، ۴۷، ۴۹، ۵۱، ۵۲، ۵۳، ۵۴، ۵۵، ۶۱، ۸۱، ۸۲، ۸۳، ۸۴، ۸۵، ۸۶، ۸۷، ۸۹، ۹۳، ۹۴، ۹۷، ۱۰۰، ۱۰۱، ۱۰۵، ۱۰۷، ۱۲۱، ۱۶۲، ۱۶۸، ۱۸۸، ۱۹۵، ۲۱۵، ۲۲۰، ۲۴۰

دیوار برشی، ۷۲، ۱۵۹، ۱۶۷، ۱۶۹، ۱۷۰، ۱۷۳، ۱۸۰، ۱۸۱، ۱۸۲، ۱۸۳، ۱۸۴، ۱۸۶، ۱۸۸، ۱۸۹، ۱۹۰، ۱۹۱، ۱۹۲، ۲۰۱، ۲۰۶

دیوار سازه‌ای، ۱۹۸، ۲۰۴، ۲۱۱، ۲۱۲

دیوارهای برشی، ۲۸، ۶۷، ۷۲، ۱۰۶، ۱۳۵، ۱۶۷، ۱۶۸، ۱۶۹، ۱۷۰، ۱۷۱، ۱۷۲، ۱۷۳، ۱۷۴، ۱۷۵، ۱۷۶، ۱۷۷، ۱۷۸، ۱۷۹، ۱۸۰، ۱۸۱، ۱۸۲، ۱۸۳، ۱۸۴، ۱۸۵، ۱۸۶، ۱۸۷، ۱۸۹، ۱۹۳، ۱۹۴، ۱۹۵

۲۰۷

دیوارهای مزدوج، ۱۸۱

رابطه تعامد، ۹۱، ۹۲

رفتار ارتجاعی، ۹، ۳۵، ۳۶، ۶۲، ۶۳، ۱۲۳، ۲۰۳

رفتار برشی، ۱۳۴، ۱۳۵، ۱۶۸، ۲۰۰

رفتار دینامیکی، ۴۰، ۵۷، ۱۰۵، ۲۱۵، ۲۲۰، ۲۴۰

رفتار لرزه‌ای، ۷، ۱۱، ۲۵، ۵۰، ۵۹، ۶۰، ۶۸، ۸۱، ۸۶، ۱۰۰، ۱۰۸، ۱۹۵، ۱۹۶، ۲۰۲

رفتار نرم، ۹، ۶۱، ۱۱۳، ۱۱۵، ۱۱۹، ۱۶۷، ۱۶۸، ۱۹۲

روش تحلیل کمانش، ۷۸

روش ترکیب مربعی کامل (CQC)، ۹۹

روش تکرر یا روش اصلاح تغییر مکان، ۷۸

روش جذر مجموع مربعات (SRSS)، ۹۹

روش ضریب بار، ۳۲

روش ضریب بار و مقاومت، ۳۲

روش مستقیم، ۷۸

روش مهار منفی، ۷۸

رومکز زلزله، ۴۳

تیر همبند، ۲۰۲، ۲۰۳، ۲۰۵، ۲۰۶

تیرهای رابط، ۱۳۵، ۱۸۰، ۱۸۱، ۱۹۳، ۲۰۳

جابجایی، ۸، ۳۶، ۳۷، ۳۸، ۴۰، ۴۲، ۴۵، ۴۷، ۵۱، ۵۲، ۶۴، ۶۷، ۶۸، ۷۶، ۷۷، ۱۰۶، ۱۲۲، ۱۲۳، ۱۲۷، ۱۲۸، ۱۲۹، ۱۳۱، ۱۵۰، ۱۷۴، ۱۷۹، ۱۸۳، ۲۱۵، ۲۲۵، ۲۲۷، ۲۴۰

جداگرها، ۵۰

جرم تعمیم یافته، ۹۳

جرم مودی، ۹۳، ۹۷

چسبندگی، ۷، ۱۰۸، ۱۰۹، ۱۳۱، ۱۶۰، ۱۶۱، ۱۶۲، ۱۶۳، ۱۶۶، ۱۸۹، ۲۰۴، ۲۲۵، ۲۳۰، ۲۳۸، ۲۴۳

۲۴۷

چگالی نسبی، ۲۲۵، ۲۲۸

حد خمیری، ۳۴

حد نهایی، ۲۰۹

حساسیت، ۸۱، ۲۲۲

حلقه هیستریزیس، ۱۰۶، ۱۱۶، ۱۳۹

خاکهای چسبنده، ۲۴۸، ۲۴۹، ۲۵۰

خاموت، ۱۲، ۱۳، ۱۵، ۳۵، ۱۰۸، ۱۴۶، ۱۴۷، ۱۴۸، ۱۵۹، ۱۶۰

خزش، ۳۳، ۲۲۱

خطر نسبی، ۳۴، ۵۶، ۶۵، ۱۷۰، ۱۸۶، ۲۲۰

خمش، ۲۳، ۲۸، ۳۵، ۱۰۹، ۱۱۳، ۱۴۱، ۱۴۴، ۱۶۸، ۱۷۸، ۱۸۷، ۱۹۷، ۲۰۹، ۲۳۴

خمیری کامل، ۱۲۷

خواص دینامیکی، ۳۱، ۴۷، ۵۳، ۵۴، ۵۶، ۶۱

دانه‌بندی، ۱۸

درجات نامعینی، ۶۱

دوره بازگشت، ۳۹، ۸۳، ۸۶، ۱۰۱

دیافراگم، ۱۶۷، ۱۶۹، ۱۷۷



| | |
|--|---|
| سهم بتن در مقاومت برشی، ۱۹۷، ۱۴۴، ۱۶۸ | ریشتر، ۴، ۳، ۲، ۱ |
| سیستم ثانویه، ۱۶۸ | ریلی، ۵۰، ۵۱ |
| سیستم سازه‌ای، ۲۶، ۵۴، ۶۵، ۶۶، ۶۷، ۱۰۲، ۱۵۲، ۱۶۰ | زاویه اصطکاک داخلی، ۲۴۳ |
| سیستم یک درجه آزاد، ۳۵، ۳۶، ۳۷، ۴۰، ۴۴، ۵۲ | زلزله شدید، ۲، ۷۴، ۱۰۲، ۱۰۳، ۲۰۹ |
| ۱۳۱، ۸۴، ۶۱ | زلزله طراحی، ۲، ۴، ۴۹، ۱۶۸ |
| سیمان، ۱۱، ۱۶، ۱۷، ۱۸ | زلزله طرح، ۶۰، ۸۳، ۸۴، ۱۰۲، ۱۰۳ |
| شاخص پایداری، ۷۷، ۷۹ | زلزله متوسط، ۲، ۴، ۱۶۱ |
| شالوده صلب، ۵۲، ۳۰ | زمان تناوب اصلی، ۴۹، ۵۸، ۶۸، ۸۲ |
| شالوده، ۲۵، ۲۸، ۴۳، ۵۹، ۶۷، ۷۳، ۷۴، ۸۳، ۹۵، ۱۲۷، ۱۲۷، ۱۶۰، ۱۶۷، ۱۷۶، ۱۷۷، ۱۸۴، ۱۸۶، ۱۸۷، ۱۸۹، ۱۹۰، ۲۱۵، ۲۱۶، ۲۱۷، ۲۱۹، ۲۲۰، ۲۲۱، ۲۲۲، ۲۲۳، ۲۲۶، ۲۲۷، ۲۲۸، ۲۲۹، ۲۳۰، ۲۳۱، ۲۳۲، ۲۳۳، ۲۳۴، ۲۳۵، ۲۳۶، ۲۳۷، ۲۳۸، ۲۳۹، ۲۴۰ | زمان تناوب طبیعی، ۳۸، ۳۹، ۴۰، ۴۲، ۴۳، ۴۵، ۴۶ |
| شبه شتاب زمین، ۴۵ | ۴۷، ۴۸، ۴۹، ۵۱، ۵۴، ۵۵، ۵۶، ۶۱، ۶۲، ۶۴، ۶۵ |
| شتاب ثقل، ۲۷، ۴۴، ۵۵، ۵۶، ۸۴ | زوال مقاومت، ۷۳ |
| شتاب زلزله، ۲۳، ۴۴ | ساختمانگاه، ۵۷، ۸۴، ۸۵، ۸۶ |
| شتاب زمین، ۲۷، ۴۴، ۴۵، ۴۶، ۶۴، ۱۹۵ | ساختمانهای بلند، ۳۹، ۴۵، ۴۶، ۷۶، ۸۷، ۱۶۷، ۱۶۹، ۱۷۰، ۱۸۶ |
| شتاب مبنای طرح، ۵۵، ۵۶، ۸۵ | سختی، ۹، ۱۸، ۱۹، ۲۱، ۲۴، ۲۶، ۳۶، ۳۷، ۳۸، ۳۹ |
| شتابینگاشت، ۴۵، ۸۴، ۸۶ | ۴۰، ۴۱، ۴۴، ۴۵، ۴۹، ۵۱، ۵۴، ۵۶، ۶۲، ۶۵ |
| شدت زلزله، ۵۳، ۵۴، ۱۸۴ | ۶۶، ۶۷، ۶۸، ۷۰، ۷۱، ۷۲، ۷۳، ۸۲، ۸۳، ۸۷ |
| شکست برشی، ۸، ۱۰۸، ۱۳۴، ۱۳۵، ۱۶۲، ۱۷۹، ۱۸۲، ۲۱۵ | ۸۸، ۸۹، ۹۳، ۹۴، ۱۰۶، ۱۰۷، ۱۱۰، ۱۱۱، ۱۱۵ |
| شکست چسبندگی، ۱۶۲، ۱۶۳ | ۱۱۶، ۱۱۷، ۱۲۰، ۱۲۴، ۱۲۸، ۱۳۵، ۱۳۸، ۱۵۹ |
| شکست مهاری، ۱۶۳ | ۱۶۱، ۱۶۴، ۱۶۸، ۱۶۹، ۱۷۸، ۱۸۱، ۱۸۴، ۱۸۶ |
| شکل پذیر انحنایی، ۱۲۱، ۱۲۲، ۱۲۳، ۱۲۴ | ۱۸۹، ۱۹۰، ۱۹۲، ۱۹۳، ۲۲۱، ۲۲۲، ۲۲۸، ۲۲۹ |
| ۱۲۵، ۱۲۶، ۱۲۹، ۱۳۱، ۱۳۳، ۱۳۶، ۱۷۹ | ۲۳۲، ۲۳۶، ۲۴۰، ۲۴۱، ۲۴۲ |
| شکل پذیری تغییر مکانی، ۱۲۱، ۱۲۲، ۱۲۷، ۱۲۸ | سختی تعمیم یافته، ۹۴ |
| ۱۲۹، ۱۳۳ | سختی جانبی، ۶۵، ۶۶، ۲۴۰ |
| شکل پذیر زیاده، ۳۴، ۱۰۲، ۱۰۳، ۱۱۹، ۱۵۲، ۲۰۳، ۱۹۸، ۱۷۰، ۱۶۸ | سختی معادل، ۷۱، ۲۲۸، ۲۲۹ |
| | سرعت، ۳۷، ۳۸، ۴۲، ۴۳، ۵۷، ۸۴، ۸۹، ۹۳، ۲۲۰ |
| | ۲۲۱، ۲۴۵، ۲۴۷ |
| | سرعت زاویه‌ای، ۳۷ |
| | سرعت موج برشی، ۵۷، ۲۲۰، ۲۴۵، ۲۴۷ |
| | سطح بهره‌برداری، ۳۴، ۱۰۱، ۱۰۲، ۱۰۳ |
| | سطح منگنه، ۲۳۵ |



طول بحرانی، ۱۴۳، ۱۵۹، ۱۶۹، ۱۹۴

طول گیرداری، ۱۴۴، ۱۵۹، ۱۶۶، ۲۰۴

طیف، ۴۵، ۴۶، ۵۳، ۵۶، ۶۳، ۶۴، ۶۷، ۸۳، ۸۴، ۸۵

۸۶، ۸۷، ۹۷، ۱۰۱، ۱۰۲

طیف بازتاب، ۴۵، ۴۶، ۴۷، ۸۴، ۹۷، ۱۰۲

طیف طرح، ۶۳، ۸۳، ۸۴، ۸۵، ۸۶

عضو فشاری، ۱۳۸

غیرخطی، ۹، ۴۵، ۵۳، ۷۹، ۸۰، ۸۱، ۱۰۲، ۱۳۰

۲۲۷، ۲۴۵

غیرمحصور، ۱۲، ۱۵

فرسایش خاک، ۲۱۷، ۲۱۹

فرکانس زاویه‌ای، ۳۸، ۹۰، ۹۱، ۹۵

فشار قطری، ۱۶۴

فولادهای فرعی، ۱۲

قاب خمشی، ۵۰، ۶۶، ۶۷، ۱۰۲، ۱۰۳، ۱۶۲، ۱۶۹

۱۷۰

قابهای بتن مسلح، ۱۲، ۲۸، ۲۸، ۱۰۵، ۱۲۸، ۱۶۸، ۲۱۲

قابهای خمشی، ۴۹، ۵۰، ۱۰۲، ۱۲۸، ۱۶۰، ۱۶۷

۱۶۹، ۱۷۰، ۱۷۹

قسمت افزایشی، ۹

قسمت کاهش، ۹، ۱۴، ۱۴، ۱۲۱

کانون زلزله، ۴۲، ۴۳، ۴۴

کاهش سختی، ۳۷، ۷۳، ۱۰۶، ۱۱۱، ۱۱۷، ۱۳۸

۱۶۱، ۱۸۶

کاهش سربار، ۳۰

کرش مرجع، ۲۴۹

کشش قطری، ۱۷۹، ۱۸۷، ۲۰۳

کمانش، ۱۲، ۱۶۸، ۱۶۹، ۱۷۳، ۱۷۵، ۱۷۶

شکل پذیری کرنشی، ۱۲۲، ۱۲۳

شکل پذیری متوسط، ۱۲۳

شکل مودی، ۹۰، ۹۲، ۱۹۵

شکل پذیری، ۱۲، ۳۴، ۵۴، ۵۵، ۵۹، ۶۰، ۶۱، ۶۲

۶۳، ۶۴، ۷۴، ۱۰۰، ۱۰۲، ۱۰۳، ۱۲۱، ۱۲۷

۱۳۱، ۱۳۳، ۱۳۴، ۱۵۲، ۱۶۱، ۱۷۰، ۱۹۸، ۲۰۳

۲۰۴

شکل پذیری کم، ۱۰۲، ۱۹۸

شکل پذیری متوسط، ۱۷۰، ۱۹۸

شمع، ۲۱۶، ۲۱۹، ۲۲۵، ۲۳۲، ۲۴۰، ۲۴۱، ۲۴۲

۲۴۳، ۲۴۴، ۲۴۵، ۲۴۷

شمع منفرد، ۲۱۹

شورای فن آوری کاربردی در آمریکا، ۴۹

صفحه شکست، ۱۴۷

ضریب اصطکاک، ۲۰۸

ضریب بزرگنمایی، ۸۰، ۱۲۰، ۱۹۵

ضریب بزرگنمایی مقاومت، ۱۲۰

ضریب پواسیون، ۱۳، ۲۲۸، ۲۲۹، ۲۴۵، ۲۴۷

ضریب رفتار، ۵۵، ۵۹، ۶۱، ۶۲، ۶۳، ۶۴، ۶۵، ۶۶، ۷۵

۸۰، ۸۵، ۱۰۱، ۱۰۳، ۱۲۳، ۱۶۹، ۱۷۰، ۱۹۳

ضریب زلزله، ۵۳، ۵۴، ۵۵، ۶۱

ضریب عکس‌العمل، ۲۲۱، ۲۲۲، ۲۲۳

ضریب عکس‌العمل زمین، ۲۲۱، ۲۲۲، ۲۲۳

ضریب مقاومت، ۳۲، ۳۴

ضریب میرایی، ۳۸، ۴۵، ۲۲۸، ۲۲۹

طبقه نرم، ۱۲۸

طراحی به روش تنش مجاز، ۳۲، ۴۴

طراحی به روش مقاومت، ۳۲

طراحی لرزه‌ای، ۱، ۵، ۱۲، ۱۳، ۲۱، ۲۴، ۳۱، ۴۱

۵۴، ۵۸، ۷۴، ۲۱۵، ۲۲۰، ۲۲۶

طرح ارتجاعی، ۳۳، ۳۴، ۶۳، ۸۵

طرح خمیری، ۳۲، ۳۴

گمانه، ۲۲۳

گسل، ۲، ۴۱، ۴۲

کواتتو، ۵۲

کمانش، ۱۲، ۱۶۸، ۱۶۹، ۱۷۳، ۱۷۵، ۱۷۶

کشش قطری، ۱۷۹، ۱۸۷، ۲۰۳

کرش مرجع، ۲۴۹

کاهش سربار، ۳۰

۱۶۱، ۱۸۶

کاهش سختی، ۳۷، ۷۳، ۱۰۶، ۱۱۱، ۱۱۷، ۱۳۸

کانون زلزله، ۴۲، ۴۳، ۴۴

قسمت کاهش، ۹، ۱۴، ۱۴، ۱۲۱

قسمت افزایشی، ۹

۱۶۹، ۱۷۰، ۱۷۹

قابهای خمشی، ۴۹، ۵۰، ۱۰۲، ۱۲۸، ۱۶۰، ۱۶۷

قابهای بتن مسلح، ۱۲، ۲۸، ۲۸، ۱۰۵، ۱۲۸، ۱۶۸، ۲۱۲

۱۷۰

قاب خمشی، ۵۰، ۶۶، ۶۷، ۱۰۲، ۱۰۳، ۱۶۲، ۱۶۹

فولادهای فرعی، ۱۲

فشار قطری، ۱۶۴

فرکانس زاویه‌ای، ۳۸، ۹۰، ۹۱، ۹۵

فرسایش خاک، ۲۱۷، ۲۱۹

غیرمحصور، ۱۲، ۱۵

۲۲۷، ۲۴۵

غیرخطی، ۹، ۴۵، ۵۳، ۷۹، ۸۰، ۸۱، ۱۰۲، ۱۳۰

عضو فشاری، ۱۳۸

طیف طرح، ۶۳، ۸۳، ۸۴، ۸۵، ۸۶

طیف بازتاب، ۴۵، ۴۶، ۴۷، ۸۴، ۹۷، ۱۰۲

۸۶، ۸۷، ۹۷، ۱۰۱، ۱۰۲

طیف، ۴۵، ۴۶، ۵۳، ۵۶، ۶۳، ۶۴، ۶۷، ۸۳، ۸۴، ۸۵

طول گیرداری، ۱۴۴، ۱۵۹، ۱۶۶، ۲۰۴

طول بحرانی، ۱۴۳، ۱۵۹، ۱۶۹، ۱۹۴



- مقاومت، ۲، ۷، ۸، ۹، ۱۰، ۱۱، ۱۲، ۱۳، ۱۴، ۱۷، ۱۹، ۲۶، ۲۷، ۲۸، ۳۰، ۳۲، ۳۳، ۳۴، ۳۵، ۳۷، ۳۸، ۴۴، ۴۹، ۵۲، ۵۴، ۵۹، ۶۰، ۶۱، ۶۲، ۶۳، ۶۴، ۶۷، ۷۱، ۷۳، ۱۰۲، ۱۰۵، ۱۰۷، ۱۰۸، ۱۰۹، ۱۱۰، ۱۱۱، ۱۱۲، ۱۱۳، ۱۱۴، ۱۱۵، ۱۱۶، ۱۱۷، ۱۱۸، ۱۱۹، ۱۲۰، ۱۲۱، ۱۲۵، ۱۲۶، ۱۳۲، ۱۳۴، ۱۳۵، ۱۳۷، ۱۳۸، ۱۳۹، ۱۴۳، ۱۴۴، ۱۴۶، ۱۵۱، ۱۵۲، ۱۵۳، ۱۵۴، ۱۵۶، ۱۶۰، ۱۶۱، ۱۶۳، ۱۶۴، ۱۶۶، ۱۶۷، ۱۶۸، ۱۷۱، ۱۷۲، ۱۷۳، ۱۷۴، ۱۷۵، ۱۷۷، ۱۷۸، ۱۷۹، ۱۸۰، ۱۸۴، ۱۸۵، ۱۸۶، ۱۸۸، ۱۸۹، ۱۹۰، ۱۹۱، ۱۹۳، ۱۹۴، ۱۹۵، ۱۹۶، ۱۹۷، ۱۹۸، ۱۹۹، ۲۰۰، ۲۰۱، ۲۰۲، ۲۰۳، ۲۰۵، ۲۰۶، ۲۰۷، ۲۰۹، ۲۱۰، ۲۱۲، ۲۱۵، ۲۲۰، ۲۲۳، ۲۳۴، ۲۳۷، ۲۳۸، ۲۴۰، ۲۴۱، ۲۴۲، ۲۴۸
- مقاومت افزون، ۱۷۴، ۱۹۵
- مقاومت برشی، ۱۰۷، ۱۳۵، ۱۳۷، ۱۳۸، ۱۴۴، ۱۵۴، ۱۶۱، ۱۶۲، ۱۶۴، ۱۷۱، ۱۷۲، ۱۷۸، ۱۷۹، ۱۸۰، ۱۸۱، ۱۸۸، ۲۰۰، ۲۰۱، ۲۰۲، ۲۰۶، ۲۰۷، ۲۳۴، ۲۴۲
- مقاومت چسبندگی، ۱۰۸، ۱۰۹، ۱۶۶
- مقاومت فشاری، ۱۳، ۱۱۵، ۱۲۵، ۱۲۶، ۱۳۷
- مقاومت لرزهای، ۱۳۹، ۱۸۴
- مقاومت مصالح، ۳۲، ۳۴، ۱۶۳
- مقاومت نهایی، ۹، ۱۲، ۱۰۲، ۱۱۳، ۱۱۷، ۱۱۸، ۱۳۴، ۱۹۱
- مقاومت نیاز، ۶۰، ۶۴
- مقطع بحرانی، ۱۳۲، ۱۷۴، ۲۳۴، ۲۳۵، ۲۳۷
- مکانیک خاک، ۳۳۳
- مختنی هیستریزس، ۳۶، ۳۷، ۱۰۹، ۱۱۱، ۱۸۹
- مهندسی زلزله، ۴۱، ۸۱
- موج برشی، ۵۷، ۲۲۰، ۲۴۵، ۲۴۷
- لایه‌های زمین، ۴۲، ۴۴، ۴۸، ۵۷
- لغزش، ۴۱، ۴۲، ۱۰۹، ۱۸۸، ۲۰۲
- لنگر پیچشی، ۷۰، ۷۱، ۷۲، ۷۳
- لنگر وازگونی، ۷۳، ۷۴، ۹۸، ۱۸۳، ۱۸۶، ۱۹۲، ۱۹۳، ۲۳۸، ۲۴۱
- لوس آنجلس، ۵۲
- لوای خمیری، ۱۲، ۳۴، ۱۰۲، ۱۰۳، ۱۲۳، ۱۲۸، ۱۲۹، ۱۳۰، ۱۳۱، ۱۳۲، ۱۳۹، ۱۴۱، ۱۴۳، ۱۴۴، ۱۴۵، ۱۴۶، ۱۴۷، ۱۴۸، ۱۵۰، ۱۵۱، ۱۵۲، ۱۵۵، ۱۵۶، ۱۶۱، ۱۶۲، ۱۶۳، ۱۶۴، ۱۶۵، ۱۶۹، ۱۷۳، ۱۷۷، ۱۷۸، ۱۷۹، ۱۸۷، ۱۸۸، ۱۹۴، ۱۹۵، ۱۹۶، ۱۹۷، ۱۹۹، ۲۰۰، ۲۰۱، ۲۱۳، ۲۳۲
- مؤلفه قائم، ۳۲، ۸۱
- ماتریس جرم، ۸۸، ۹۱، ۹۲
- ماتریس ستونی، ۸۸، ۸۹، ۹۰، ۹۲، ۹۵
- ماتریس سختی، ۵۱، ۸۹، ۹۱، ۹۲
- محتوای فرکانسی، ۴۹، ۵۳، ۵۴، ۸۴
- محصول، ۷، ۱۱، ۱۲، ۱۳، ۱۴، ۱۵، ۱۶، ۱۰۸، ۱۱۰، ۱۱۹، ۱۲۰، ۱۲۶، ۱۴۸، ۱۶۴، ۱۶۵، ۱۷۳، ۱۹۲، ۲۱۲، ۲۳۷، ۲۳۸
- محور خنثی، ۱۱۲، ۱۱۴، ۱۱۸، ۱۲۴، ۱۲۵، ۱۲۶، ۱۹۱، ۱۹۲
- مختصات نرمال، ۹۲، ۹۳
- مدول برشی، ۲۳۸، ۲۳۹، ۲۴۵، ۲۴۸، ۲۴۹
- مرکز برش، ۷۰
- مرکز جرم، ۷۰، ۷۱، ۷۲، ۷۳، ۱۰۱، ۱۰۷
- مرکز سختی، ۷۰، ۷۱، ۷۲، ۷۳، ۱۰۷
- مصالح بنایی، ۲۶، ۳۲، ۴۸، ۱۰۵
- معادله مقادیر مشخصه، ۹۰
- معماری، ۲۱، ۳۳، ۵۳، ۱۷۱، ۱۸۳، ۲۰۶، ۲۳۷
- مفصل خمیری، ۱۸۷



هارمونیک، ۳۷، ۳۹، ۵۲
هم‌پوشانی، ۱۶
وارفتگی، ۳۳، ۹
وارونه، ۳۵، ۴۴، ۴۵، ۹۱
وصله‌ها، ۱۴۳، ۱۵۴

مود، ۴۰، ۴۴، ۴۶، ۵۱، ۵۴، ۶۷، ۶۸، ۶۹، ۸۷، ۹۰، ۹۱، ۹۳، ۹۵، ۹۶، ۹۷، ۹۸، ۹۹، ۱۶۴، ۱۸۸، ۱۹۵، ۲۲۶، ۲۳۷، ۲۴۰، ۲۴۱
مود ارتعاشی، ۴۶، ۶۸، ۶۹، ۸۷، ۹۳، ۹۸، ۲۲۶
مود گهواره‌ای، ۲۲۷
مود نوسان، ۶۷
مونونویه، ۵۲
میرایی، ۳۸، ۴۰، ۴۵، ۴۶، ۵۴، ۶۱، ۶۴، ۸۹، ۹۳، ۹۵، ۹۹، ۲۲۶، ۲۲۷، ۲۲۸، ۲۲۹، ۲۳۹، ۲۵۰
میرایی تعمیر یافته، ۹۳
میلگردهای دوگانه، ۱۰۹
نامنظمی، ۳۴
نرخ کرنش، ۸، ۱۴
نرم شدگی کرنشی، ۹، ۱۰
نسبت تخلخل، ۲۳۴، ۲۳۵
نظریه تسلوی انرژی، ۶۲، ۶۳
نظریه تسلوی انرژی رفتار ارتجاعی با رفتار غیرارتجاعی، ۶۲
نظریه تسلوی تغییر مکان رفتار ارتجاعی با رفتار غیرارتجاعی، ۶۲
نظریه تسلوی شتاب، ۶۲، ۶۴
نظریه تسلوی شتاب در رفتار ارتجاعی با رفتار غیرارتجاعی، ۶۲
نفوذ کرنش کششی، ۱۳۳
نیروی اینرسی، ۳۸، ۴۵، ۷۰، ۸۷، ۸۸
نیروی فشاری، ۷۳، ۱۱۸، ۱۱۹، ۱۳۴، ۲۰۶، ۲۰۸، ۲۱۰، ۲۳۸
نیروی محوری، ۱۳، ۱۱۱، ۱۱۵، ۱۱۶، ۱۱۷، ۱۱۸، ۱۱۹، ۱۲۰، ۱۲۳، ۱۲۵، ۱۲۶، ۱۳۳، ۱۴۰، ۱۴۴، ۱۵۵، ۱۵۶، ۱۶۸، ۱۷۱، ۱۸۳، ۱۹۱، ۱۹۲، ۱۹۳، ۱۹۷، ۱۹۸، ۲۰۰، ۲۰۱، ۲۰۹، ۲۱۹، ۲۳۲، ۲۳۳
۳۴۱



**Building & Housing
Research Center**

**Seismic Behaviour and Design
of Reinforced Concrete Buildings**
(Volume I)

Dr. A.A. Tasnimi

BHRC Publication No. B-344